

۲ مواد کنترast در MRI

۲-۱ - مقدمه

تغییر شدت سیگنال در بافت غیرطبیعی اساس تصویربرداری تشدید مغناطیسی در رادیولوژی تشخیصی است. شدت سیگنالی که در تصاویر MR مشاهده می‌شود نتیجه برهم کنش پیچیده چند عامل است، که می‌توان آنها را به عواملی که خصوصیات ذاتی بافت‌های بیولوژیک را منعکس می‌کند، نظیر زمان‌های آسایش T_1 و T_2 و دانسیته پروتون، و عواملی که مرتبط با تجهیزات هستند، نظیر شدت میدان یا دنباله پالس، طبقه‌بندی کرد. با این حال، به دلیل تنوع گسترده بیولوژیکی، زمان‌های آسایش بافت‌های نرمال و غیرنرمال روی هم می‌افتد. این سبب می‌شود که توانایی تصویربرداری ساده MR در آشکار کردن و حتی مشخص کردن بافت غیرنرمال محدود گردد. با استفاده از دنباله‌های پالس بسیار خاص فقط بخشی از این محدودیت جبران می‌شود. یک راه حل جایگزین توسط مواد کنترast MR به دست می‌آید، که زمان‌های آسایش بافت را تغییر می‌دهند، و بنابراین برای دستکاری شدت سیگنال از آنها استفاده می‌شود.

اینها عمدتاً مواد کنتراستی با خصوصیات پارامغناطیسی یا سوپر پارامغناطیسی هستند که برای کاهش زمان‌های آسایش T_1 و T_2 استفاده می‌شود.

۲-۲ - مکانیسم عمل

اساس عمل مواد کنتراست یک تغییر شیمیایی زمان آسایش پروتون است. ترکیبات شیمیایی خاصی خصوصیات منحصر به فرد مغناطیسی دارند که از حرکت الکترون‌ها، پروتون‌ها و نوترون‌ها حاصل می‌شود. هنگامی که پروتون‌ها و نوترون‌ها جفت هستند، مانند هسته‌هایی با تعداد زوج پروتون‌ها و نوترون‌ها گشتاور مغناطیسی آنها در جهات مخالف قرار می‌گیرد و خنثی می‌شود. اما، هسته‌هایی با تعداد فرد پروتون‌ها و نوترون‌ها گشتاور مغناطیسی خالص غیرصفر دارند، که اگر در یک میدان مغناطیسی خارجی قرار گیرند با فرکانس لارمور پریسنس می‌کنند؛ الکترون‌های اطراف هسته نیز به میدان مغناطیسی اعمال شده پاسخ می‌دهند. گشتاورهای دو قطبی مغناطیسی حاصل از الکترون‌ها به طور قابل توجهی بزرگ‌تر از گشتاورهای مغناطیسی هسته‌ای می‌باشد. بنابراین، اگر اتم‌ها، یون‌ها، یا مولکول‌ها با گشتاورهای دوقطبی بزرگ الکترونی در مجاورت پروتون‌ها قرار گیرند، گشتاور دوقطبی مغناطیسی آنها با یکدیگر برهم کنش می‌کند و زمان آسایش پروتون‌ها را کوتاه‌تر می‌کند و شدت سیگنال بافت را تغییر می‌دهد. بنابراین، ترکیباتی با گشتاور دوقطبی مغناطیسی بزرگ می‌تواند به عنوان مواد کنترast در تصویربرداری MR استفاده شود.

پارامغناطیس

پارامغناطیس در اتم‌هایی دیده می‌شود که الکترون‌های جفت نشده دارند، در یک میدان مغناطیسی خارجی، به دلیل جهت‌گیری گشتاورهای دوقطبی پارامغناطیسی به موازات میدان مغناطیسی خارجی این اتم‌ها مگنتایزیشن خالص قابل ملاحظه‌ای را نشان می‌دهند؛ بزرگی آن متناسب با میدان مغناطیس خارجی است. مهمترین زیر گروه شیمیایی ترکیبات پارامغناطیسی یون‌های فلزی (مثل Mn^{2+} و Fe^{2+}) و عناصر لantanید، نظیر گادولینیوم (Gd) و دیسپروسیوم (Dy) هستند. گادولینیوم به دلیل هفت الکtron جفت نشده آن، یکی از قوی‌ترین اجسام پارامغناطیس خارجی است. مواد پارامغناطیسی زمان آسایش T_1 را کوتاه می‌کند و زمان آسایش T_2 را نیز، به خصوص در غلاظت‌های بالاتر، کوتاه می‌کند.

سوپر پارامغناطیس

سوپر پارامغناطیس توسط ذرات کوچکتر فرومغناطیسی که فقط یک حوزه منفرد مغناطیسی دارند ایجاد می‌شود. در یک میدان مغناطیسی خارجی، این ذرات یک منحنی مگنتایزیشن شبیه مواد پارامغناطیسی نشان می‌دهند، اما با یک پاسخ بسیار قوی‌تر، و آثار اشباعی که به راحتی به دست می‌آید. افزایش مگنتایزیشن در شدت میدان بین 0.3 T و 0.5 T غیرخطی است. بعد از حذف میدان مغناطیسی، هیچ مگنتایزیشن خالصی باقی نمی‌ماند. مواد کتراست سوپر پارامغناطیسی اساساً ذرات کوچک و بسیار کوچک اکسید آهن هستند که عمدتاً زمان آسایش T_2 را کوتاه می‌کنند. ذرات کوچکتر زمان آسایش T_1 را نیز کوچک می‌کنند.

زمان آسایش، سرعت آسایش و آسایش دهی (relaxivity)

زمان‌های آسایش T_1 و T_2 زمان‌های مشخصه‌ای هستند که توصیف می‌کنند چقدر طول می‌کشد تا مکانیسم تولید سیگنال در تشکیل مغناطیسی به حالت اولیه برگردد یا آسایش پیدا کند. زمانی که صرف برگشت به مگنتایزیشن طولی اولیه می‌شود با زمان آسایش T_1 توصیف می‌شود. زمان آسایش T_2 به مؤلفه بردار مگنتایزیشن توده‌ای (bulk magnetization vector) اشاره دارد که توصیف می‌کند با چه سرعتی مگنتایزیشن عرضی کاهش می‌یابد. زمان‌های آسایش T_1 و T_2 اندازه‌های دقیق زمانی که برای آسایش صرف می‌شوند نیستند؛ در عوض، ثابت‌های زمانی هستند که سرعت این فرآیند را توصیف می‌کنند و از این نظر، قابل مقایسه با ثابت‌های زمانی است که، به طور مثال، استحاله رادیواکتیو را توصیف می‌کنند. هر دو زمان آسایش T_1 و T_2 برای هر بافت مختص به آن بافت است. یک T_1 کوتاه به صورت سیگنالی روشن ظاهر می‌شود، و یک T_2 کوتاه به صورت سیگنالی تاریک در تصاویر MR ظاهر می‌شود.

همان‌طور که قبل ذکر شد، مواد کتراست پارامغناطیس و سوپر پارامغناطیس زمان‌های آسایش T_1 و T_2 را کوتاه می‌کنند یا، به عبارت دیگر، سرعت آسایش (که به صورت $1/T_1$ و $1/T_2$ تعریف می‌شود) را افزایش می‌دهد. توانایی یک ماده کتراست در کوتاه کردن زمان‌های آسایش هم به غلظت ماده کتراست در بافت و هم به زمان آسایش ذاتی بافت بستگی دارد. یک غلظت $M_{\text{Gd}} = 1\text{ mM}$ از ترکیب پارامغناطیسی Gd یک افزایش دهنده قوی آسایش است، کافی برای کاهش 50% زمان آسایش مایعات بیولوژیکی. اما برای تحت تأثیر قرار دادن بافت‌هایی با زمان آسایش ذاتی کوتاهتر به همین میزان، غلظت بالاتر ماده کتراست مورد نیاز است. توان یا کارایی یک ماده کتراست برای بهبود سرعت آسایش را «آسایش دهی» (relaxivity) می‌نامند. برای مثال، کارایی Gd-DTPA در بهبود آسایش طولی آب به صورت آسایش دهی $(M_{\text{Gd}})^{-1}$ می‌باشد. برای مثال، کارایی Gd-DTPA در بهبود آسایش طولی آب به صورت آسایش دهی $(M_{\text{Gd}})^{-1} = R_1/R_2 = 6/7$ است. نسبت R_1/R_2 به مقدار $1/3$ برای مواد کتراست پارامغناطیسی نوعاً همین مقدار است. چون ذاتاً آسایش T_1 در مقایسه با آسایش T_2 آهسته است، اثر غالب روی T_1 است.

۲-۳- مواد کتراست خارج سلولی

مواد کتراست خارج سلولی را می‌توان به موادی با وزن مولکولی پایین و بالا تقسیم‌بندی کرد. مواد با وزن مولکولی پایین متعلق به ترکیبات پارامغناطیسی Gd است. اولین ترکیب از این گروه Gd-DTPA (Schering AG, Berlin, Germany) است، که اولین ماده حاجب MR بود که در ۱۹۸۸ وارد بازار شد. جدول ۲-۱ مواد کتراست خارج سلولی را فهرست می‌کند.

(Gd-BOPTA, Braco, Milan, Italy) MultiHance ابتدا به عنوان یک ماده کتراست هپاتوبیلیاری طراحی شد. اما چون حدود ۹۶٪ ترکیب از کلیه‌ها دفع می‌شود به عنوان ماده کتراست خارج سلولی طبقه‌بندی می‌شود. یک ویژگی اختصاصی دیگری که باید ذکر کنیم در مورد ۱.۰ Gdovist (Schering AG, Berlin, Germany) است؛ این عامل به جای $5/0$ M دارای غلظت $1M$ گادولینیوم است. در مقایسه با دیگر مواد کتراست خارج سلولی غلظت دو برابر $Gadovist$ سبب می‌شود برای دوز یکسان حجم تزریق نصف شود، که برای تصویربرداری اولین عبور، نظیر تصویربرداری پرفیوژن و آنژیوگرافی $3D$ MR دارای مزیت می‌باشد.

جدا از این ویژگی‌ها، تمام ترکیبات Gd اساساً خصوصیات فارماکو دینامیک و فارماکو سیتیکی یکسانی دارند.

کاربردهای بالینی

مواد کتراست خارج سلولی کاربرد وسیعی دارند، که در فصل‌های مربوطه توضیح داده می‌شوند. حدود ۶۰-۷۰ درصد آزمون‌های MRI با تزریق کتراست در کاربردهای CNS انجام می‌گیرد. که دلیل آن وجود سد خونی-مغزی (BBB) می‌باشد. بنابراین، فقط در صورت نشتنی در BBB ماده کتراست تزریقی می‌تواند به فضای میان بافتی CNS انتشار یابد و سبب افزایش کتراست آن شود، وجود نشتنی در BBB به دلیل تومور، ترومما، اینفارکشن یا بیماری التهابی یا دمیلیناسیون می‌باشد.

بیماری‌های عضلات اسکلتی نظیر تومورهای استخوان یا بیماری‌های التهابی، همچنین تومورهای کلیه، غدد فوق کلیه، اندام‌های لگنی، پستان و کلیه دیگر موارد کاربرد مهم مواد کتراست در MRI می‌باشند. در تصویربرداری از کبد، عوامل خارج سلولی اطلاعات مهمی را برای آشکار کردن آسیب‌های پرعروق و به طور کلی در مشخصات آسیب (با استفاده از دنباله‌های دینامیک) به دست می‌دهد. تصویربرداری از پستان یک کاربرد مهم دیگر است. اگرچه، باید توجه کرد که فقط در موارد بسیار خاصی، نظیر بافت متراکم پستان، جراحی قبلی پستان یا ایمپلنت‌های سلیکونی، تصویربرداری MR به عنوان تکنیک تصویربرداری انتخابی پذیرفته شده است.

یک کاربرد جدید و بسیار نویدبخش آنژیوگرافی $3D$ MR است. این تکنیک به دلیل استفاده از دنباله‌های بسیار سریع نیاز به مواد کتراست دارد. بیشتر این آزمون‌ها را می‌توان با استفاده از ترکیبات Gd به صورت تصویربرداری اولین عبور انجام داد.

دوز

در اکثر کاربردها دوز Gd/kg ۰/۰۱mmol یا $0/2ml$ را می‌توان به عنوان دوز استاندارد پذیرفته شده برای تصویربرداری MR در نظر گرفت. چند استثناء را باید ذکر کرد: یک کاهش دوز تا $(0/1ml/kg)$ ۰/۰۵mmol برای آشکارسازی اولیه میکرو آدنوماهای هیپوفیز در حین یک دنباله دینامیک تصویربرداری، و یک افزایش دوز را در موارد ذیل باید در نظر گرفت:

۱- آنژیوگرافی $3D$ MR با گرادیان عالی (high-gradient). این آنژیوگرافی در ۱۹۹۵ معرفی شد. بیشینه دوز در این تکنیک kg $0/3-1/0$ mmol یا $6/0-2/0ml/kg$ می‌باشد.

۲- آشکار کردن و تعیین مشخصات آسیب‌های لوكال CNS. مطالعات بالینی نشان داده است که با دوز دو برابر تا سه برابر ($0/3-2/0mmol/kg$) متاستازهای اضافی در مغز در ۲۰٪ موارد مشاهده می‌شود. همچنین دوز دو برابر یا سه برابر در تعیین مشخصات بهتر گلیومای درجه پایین، آشکار کردن بهتر عود تومور، و انتخاب مطمئن‌تر محل

بیوپسی در این تومورها می‌باشد. اگرچه، در بیشتر این بیماران، این اطلاعات اضافی هیچ پیامد درمانی را به دنبال ندارد. بنابراین دوز عمومی تزریق 0.1 mmol/kg (یا 0.2 ml/kg) از هر کیلات Gd و افزایش دادن دوز با یک تزریق اضافی $0.1-0.2\text{ mmol/kg}$ فقط در بیمارانی توصیه می‌شود که این اطلاعات اضافی تأثیر مستقیمی روی درمان آنها خواهد داشت.

- پروفیوژن مغز. تصویربرداری پروفیوژن به طور نرمال با استفاده از دنباله‌های وزن T_2^* و تصویربرداری قابلیت پذیرش انجام می‌شود. دوز بهینه برای این تکنیک به دنباله مورد استفاده بستگی دارد. اگر تصویربرداری پروفیوژن مغز با یک دنباله سریع GRE انجام می‌شود، دوز بهینه در گستره حدود 0.3 mmol/kg (یا 0.6 ml/kg) می‌باشد. اگر آزمون با استفاده از دنباله‌های EPI انجام می‌شود، دوز بهینه احتمالاً اندکی کمتر از 0.3 mmol/kg خواهد بود، که به دلیل حساسیت بیشتر این دنباله به آثار قابلیت پذیرش می‌باشد.

جدول ۲-۱ مواد کنتراست خارج سلولی.

نام تجاری و ژنریک	سازنده	ساختمان کیلات	دوز (mmol/kg)			کودکان
			مغز و نخاع	بدن	نخاع	
Magnevist® gadopentetate (Gd-DTPA/dimegl.)	Schering AG	Open chain	0.3	0.3	0.2	
Dotarem® gadoterate (Gd-DOTA/megl.)	Guerbet	Macrocyclic ionic	0.2	0.1	0.1	
MultiHance® gadobenate (Gd-BOPTA)	Bracco	Open chain ionic	Liver 0.1	Liver 0.05		
Omniscan® gadodiamide (Gd-DTP-BMA)	Amersham	Open chain neutral	0.3	0.1	0.1	
ProHance® gadoteridol (Gd-HP-DO3A)	Bracco	Macrocyclic neutral	0.3	0.1	0.1	
Optimark® gadoversetamide (Gd-DTPA-BMEA)	Mallinckrodt	Open chain neutral	Submitted	Submitted		
Gadovist® 1.0 and 0.5 gadobutrol	Schering AG	Macrocyclic neutral	0.3	MRA- submitted		

۳ هموراژ

۱-۳- مقدمه

تشخیص هموراژ با تصویربرداری MR بر دیگر مدلایتهای تصویربرداری ارجحیت دارد و می‌تواند نتایج مهمی برای مدیریت بالینی و پیامدهای یک بیمار داشته باشد.

بسته به فاکتورهای بیولوژیک و همچنین تکنیک‌های تصویربرداری، هموراژ تمام الگوهای ممکن سیگنال MR را نمایش می‌دهد. بنابراین هموراژ یک وسیله عالی برای شناخت اصول اساسی موثر بر کتراست MR است، به علاوه به ما امکان می‌دهد که مشخصات سیگنالی بسیاری از ماهیت‌های دیگر را پیش‌بینی کنیم. به ویژه مفید است که یک دانش پایه از فرآیندهای بیولوژیکی و فیزیکی عامل تغییرات سیگنال یک هماتوم در حال تکامل به دست آوریم.

تظاهر یک هموراژ عمده‌ای به سن یک هماتوم و نوع کتراست MR (وزن T_1 یا وزن T_2) بستگی دارد. ترکیب تظاهر سیگنال MR در تصاویر وزن T_1 یا T_2 پنج مرحله زمانی را که می‌توان در تصویربرداری MR تشخیص داد تعیین می‌کند. سیگنال هموراژ در مغز با یک الگوی زمانی تقریباً قابل پیش‌بینی تکامل می‌یابد، در حالی که تظاهر هموراژ در دیگر اندامها ممکن است تغییر کند. تصویربرداری MR گستره یک هماتوم ایتراسبرال و سن آن را نشان می‌دهد.

۲-۳- اکسیداسیون و دناتوراسیون هموگلوبین

یک عامل مهم تأثیرگذار روی تظاهر MR هموراژ در تصاویر وزن T_1 یا T_2 شکل اختصاصی هموگلوبین در ناحیه هموراژ است. همین‌طور که سن هماتوم افزایش می‌یابد، پیش از آنکه تجزیه سلول‌های قرمز خون آغاز شود، هموگلوبین از چند حالت گذر می‌کند (اکسی، دی اکسی، و مت هموگلوبین، و نهایتاً همی کروم). برای پیوند شدن برگشت‌پذیر اکسیژن، آهن هم (haem) در هموگلوبینی که در جریان گردش خون وجود دارد (اکسی و دی اکسی هموگلوبین) باید به حالت فروس (Fe^{2+}) باشد. با خارج شدن از سطح پر اکسیژن جریان گردش خون، هموگلوبین به مت هموگلوبین دناتوره و آهن هم به شکل فریک (Fe^{3+}) اکسیده می‌شود. همین‌طور که دناتوراسیون و اکسیداسیون ادامه می‌یابد، مت هموگلوبین به همی کروم‌ها تبدیل می‌شود. آهن در حالت فریک باقی می‌ماند، اما ساختار سوم مولکول گلوبین تغییر می‌کند. در ادامه، سلول‌های قرمز تجزیه می‌شوند، و همی کروم‌ها به هم و مولکول گلوبین تجزیه می‌شوند. بعد از فاگوسیتیز توسط ماکروفازها یا سلول‌های ایتراترانیال گلیال، آهن به صورت مشتقی به نام فریتین (ferritin) ذخیره می‌شود، که حاوی ذرات محلول در آب فسفات-هیدرواکسید فریک متصل به یک پروتئین ذخیره‌کننده آهن (haemosiderin) است، که آهن را در مرکز هیدروفوتبیک خود نگه می‌دارد. در صورت فقدان آپوفریتین، هموسیدرین (haemosiderin) آپوفریتین) است، که آهن را در حاوی ذرات نامحلول در آب فریتین می‌باشد.

۳-۳- خصوصیات مغناطیسی هموراژ

دیامنیتیزم و پارامنیتیزم دو نوع خصوصیت اصلی مغناطیسی مواد بیولوژیک در تظاهر MR آنها می‌باشد. اکسی هموگلوبین و همی کروم‌ها دیامنیتیک هستند (آهن در هم الکترون‌های جفت شده دارد)، در صورتی که دی‌اکسی و مت هموگلوبین پارامنیتیک هستند چون الکترون‌های آهن هم جفت نشده هستند.

۴-۳- مکانیسم‌های آسایش

آثار دیامنیتیک

تغییرات زمان آسایش T_1 یا T_2 یک ساختار آناتومیک به تغییر تظاهر MR منجر می‌شود؛ چندین مکانیسم وجود دارد که می‌تواند سبب کوتاه شدن T_1 و T_2 در هموراژ شود.

پیوند پروتئین

آب آزاد فرکانس حرکتی بسیار بالایی دارد که به آسایش خیلی بلند و ناکارآی T_1 در موادی با محتویات زیاد آب مانند مایع مغزی نخاعی (CSF) منجر می‌گردد. اضافه شدن پروتئین منجر به جذب مولکول قطبی آب به گروه‌های باردار پروتئین می‌شود، که یک لایه هیدراسیونی ایجاد می‌کند. «پیوند آب-پروتئین» از حرکت آزاد جلوگیری می‌کند و زمان‌های آسایش T_1 کوتاهتری از CSF خالص دارد، و بنابراین زمان آسایش اکسی هموگلوبین دیامنیتیک بسیار کوتاه‌تر از CSF و تقریباً قابل مقایسه با پارانشیم مغز می‌باشد.

آثار پارامنیتیک

اجسام پارامنیتیک بطور قابل ملاحظه ای T_1 بسیار کوتاه‌تری از آنچه آثار پیوند پروتئین فراهم می‌کند ارائه می‌دهد. این به دلیل برهم‌کنش‌های دو قطبی - دو قطبی بین اجسام پارامنیتیک با الکترون‌های جفت نشده و محیط آبی اطراف ایجاد می‌گردد.

بزرگی این آثار عمدتاً به برهم‌کنش بین مولکول‌های آب و هموگلوبین بستگی دارد - هسته‌های هیدروژن باید قادر به رسیدن به آهن هم باشند، زیرا این برهم‌کنش با توان ششم فاصله بین آنها کاهش می‌یابد. چون مولکولهای آب قادر نیستند به اندازه کافی به آهن هم نزدیک شوند، مت هموگلوبین کوتاه شدگی پارامنیتیک T_1 را نشان می‌دهد در صورتیکه دی‌اکسی هموگلوبین نشان نمی‌دهد.

مقدار کوتاه شدگی T_1 همچنین به تعداد الکترون‌های جفت نشده بستگی دارد، هرچه تعداد الکترون‌های جفت نشده یک جسم بیشتر باشد، آثار پارامنیتیک بزرگ‌تر است.

اگر مقدار کافی آب در محیط پروتئینی پیوند شود، تقریباً یک ژل موسینی تشکیل می‌شود، کوتاه شدن مشهود T_2 رخ می‌دهد. یک مکانیسم مشابه برای کوتاه شدن T_2 بدليل افزایش هماتوکریت وقتی آب هموراژ جذب می‌شود مشاهده می‌گردد.

آثار قابلیت پذیرش

کوتاه شدگی بسیار بیشتر T_2^* به دلیل آثار قابلیت پذیرش مغناطیسی ناشی از جدایی (compartmentalization) دی اکسی یا مت هموگلوبین پارامنیتیک درون گلبول های قرمز سالم است.

اصطلاح قابلیت پذیرش مغناطیسی بیان می کند چطور یک جسم هنگامیکه در یک میدان مغناطیسی قرار می گیرد مغناطیس می شود، نسبت بین میدان مغناطیسی اعمال شده و القاء شده را معین می کند.

اگر میدان مغناطیسی القاء شده در سلول قرمز از میدان القاء شده در پلاسمای غیر پارامنیتیک بزرگتر باشد جدایی اجسام پارامنیتیک با قابلیت پذیرش مغناطیسی بالا درون سلول های قرمز سالم یک غیر یکنواختی میدان مغناطیسی در حجم تصویر برداری ایجاد می کند. این به کوتاه شدگی قابل ملاحظه T_2^* بدليل دفازینگ سریع اسپین و افت سیگنال در تصاویر GRE با وزن T_2^* منجر می گردد. پروتون های آب در سراسر این نواحی غیر یکنواخت انتشار یافته و همدوسری فاز را از دست می دهد، که همچنین به کاهش شدت سیگنال در تصاویر وزن T_2 منجر می گردد.

بطور خلاصه، حساسیت به قابلیت پذیرش مغناطیسی از دنباله TSE به CSE، از وزن T_1 به T_2^* و از شدت میدان پایین به شدت میدان بالاتر افزایش می یابد.

۳-۵ تکامل هموراژ پارانشیمی

با در نظر گرفتن تغییرات سیگنال که در بالا ذکر شد، ترکیب تصاویر وزن T_1 و T_2 تعیین پنج مرحله تکاملی هموراژ را امکانپذیر می کند: فوق حاد (hyper-acute) (اکسی هموگلوبین داخل سلولی، چند ساعت اول)، حاد (دی اکسی هموگلوبین داخل سلولی، ۱-۳ روز)، اوایل تحت حاد (مت هموگلوبین داخل سلولی، ۳-۷ روز)، اواخر تحت حاد (مت هموگلوبین خارج سلولی، بیش از ۱۴ روز) و مزمن (فریتین و هموسیدرین داخل سلولی، بیش از ۴ هفته). زمان های دقیق ممکن است تغییر کند.

۳-۶ ملاحظات تکنیکی

شدت میدان اصلی

چون میزان آثار پارا یا دیامنیتیک و قابلیت پذیرش مستقیماً به شدت میدان اصلی بستگی دارد، شدت میدان یک سیستم تصویر برداری بر رفتار سیگنالی هموراژ تاثیر مهمی دارد. تغییر شدت میدان بیشتر حساسیت تصاویر وزن T_2 به آثار قابلیت پذیرش را متأثر می کند، سبب کاهش سیگنال در تصاویر وزن T_2 می شود.

در شدت های میدان پایین با استفاده از دنباله های اسپین اکو ممکن است هموراژ حاد در تصاویر وزن T_2 آشکار نشود.

بطور کلی، تصویربرداری با سیستم های شدت پایین کتراست کمتری از آسیب بدست می دهد و فرآیند پیر شدن یک هماتوم را طولانی تر جلوه می دهد.

أنواع دنباله

یک هموراژ ایتراسپرال در کتراست MR عمدتاً به دنباله پالس بکار رفته بستگی دارد. پروتکل های تصویربرداری بطور کلی از سه دنباله پالس متفاوت استفاده می کنند: GRE، CSE و TSE.

دنباله های گرادیان اکو از یک گرادیان معکوس استفاده می کنند تا برای تولید اکو اسپین ها را ریفارز کنند، حساسیت بسیار بالایی برای آثار قابلیت پذیرش فراهم می کنند. اگرچه با این نوع دنباله ها حساسیت به محتویات پارامنیتیک هماتوم و آثار قابلیت پذیرش مغناطیسی افزایش می یابد، اما نواحی دیگری با قابلیت پذیرش تغییر یافته (برای مثال، مرزهای بین هوا و یافت) افت شدید سیگنال، درهم ریختگی های هندسی و مشاهده نشدن قسمت های بزرگی از مغز را بدنبال دارند. گاهی مشکل بتوان این آرتیفیکت ها را از پاتولوژی حقیقی تمایز کرد. این آثار دفازینگ به اندازه واکسل بستگی دارد و با کاهش اندازه واکسل، که بزرگی گرادیان های مغناطیسی بین دو واکسل را کاهش میدهد، می توان این آثار را تا حد معینی کاهش داد.

دنباله های GRE برای آشکار کردن هموراژ خفیف ایتراسپرال بسیار حساس هستند، اما اغلب ثبت های نابجای آناتومی (anatomical misregistrations) را بدنبال دارند. بنابراین ترجیحاً از دنباله های گرادیان اکو باید در شدت های میدان پایین تر استفاده کرد. همچنین اگر دنباله های دیگر در آشکار کردن هماتوم های کوچک یا خفیف ایتراسپرال ناموفق بودند، می توان از آنها به عنوان یک دنباله بسیار حساس برای آشکار کردن این هماتوم ها استفاده کرد.

دنباله های CSE به روش متفاوتی اکوها را تولید می کنند. آنها از یک پالس رادیوفرکانس 180° برای ریفوکاس کردن مگتایزیشن عرضی در حال دیفارز (dephasing transversal magnetization) استفاده می کنند تا یک اکو تولید کنند. به دلیل این طراحی دنباله، آنها قادر هستند آثار درهم ریختگی ناشی از ناهمگنی های میدان را که بطور معمول سبب افت سیگنال می شود تصحیح کنند.

دنباله های TSE از دنباله های CSE از این جهت متفاوت می باشد که در هر زمان تکرار (TR) اسپین اکوهای متعددی را تولید می کنند، که یک قطار اکو نامیده می شود. تعداد اکوها در هر چرخه تهییج را همچنین طول قطار اکو (ETL) می نامند. در ترکیب با یک زمان کوتاه شده بین اکویی (interecho time)، این طراحی دنباله بطور قابل ملاحظه ای کل زمان دستیابی را کوتاه می کند.

استفاده از اسپین اکوهای متعدد در ترکیب با یک زمان کوتاه شده بین اکویی به دنباله های TSE منجر می شود که در مقایسه با CSE حساسیت کمتری به قابلیت پذیرش مغناطیسی و آثار دیفیوژن دارد. حساسیت به این آثار با افزایش ETL کاهش می یابد.

اگر از دنباله TSE برای آشکار سازی هموراژ ایتراسپرال استفاده می کنید، فقط از دنباله هایی با ETL کوتاه (مثلاً ۳-۵ اکو در هر قطار اکو) استفاده کنید.

دنباله های گرادیان و اسپین اکو (GRASE) که همچنین دنباله های توربو-گرادیان اسپین اکو (TGSE) نامیده می شوند، نوعی تکنیک دورگه با مخلوط اکوهای گرادیانی و اسپینی است. یک دنباله GRASE با طول قطار اکو ۲۱ (ETL 21) از یک دنباله TSE با یک ETL ۷ با اضافه کردن یک گرادیان اکو قبل و بعد از یک اسپین اکومشتق می شود، که یک اکو سه تابی (triplet) را تشکیل می دهد.

بدلیل محتویات گرادیان اکویی GRASE در ترکیب با تفکیک آناتومیک خوب ناشی از محتوای اسپین اکویی آن انتظار می رفت حساسیت بالاتری به آثار قابلیت پذیرش ایجاد کند، اما چندین مطالعه نشان داد که دنباله های GRE هنوز حساستر به آثار قابلیت پذیرش هستند. زمان های دستیابی در دنباله های GRASE بسیار کوتاه است، اما قادر به آشکار سازی آسیب های پارانشیمی کوچک نیست.

در نتیجه، دنباله های GRE انواع انتخابی دنباله برای آشکار سازی و طبقه بندي هموراژها است.

۴ مغز

۱-۴ کویل ها و وضعیت بیمار

آزمون های تصویربرداری MRI از مغز را می توان، بسته به سیستم MRI و اطلاعات مورد نیاز، با چندین نوع کویل انجام داد.

- اکثر آزمون های مغز با کویل های سر پلاریزه حلقوی (CP) انجام می شود. این کویل های حجمی بطور تگاتنگ اطراف سر بیمار شکل داده می شود. در بهترین حالت، برای کویل های CP در مقایسه با کویل های غیر CP بهره سیگنال به نزد $\sqrt{2}$ برابر خواهد بود. در سیستم های ابر رسانا، پیکربندی این کویل ها به صورت «قفس پرنده» می باشد.

- یک پیشرفت جدید استفاده از کویل های آرایه فازی سر می باشد، که حاوی عناصر کویلی مستقل در یک طراحی یکپارچه است که تمام سر را فرا می گیرد (مثلاً کویل سر ۸ کاناله). چون توزیع SNR در سراسر حجم مورد آزمون غیر یکنواخت است، یک فرآیند «بهنجار سازی» برای جبران تفاوت های SNR بین قسمت های پیرامونی و مرکزی مغز لازم است. مزیت یک کویل سر آرایه فازی چند کanalه آنست که کاربرد تکنیک های دستیابی موازی (PAT) را امکان‌پذیر می کند، که می تواند برای سرعت بخشی به تصویربرداری MR بکار رود. این مفهوم کاهش تعداد مراحل کد گذاری فاز از طریق سوئیچینگ یک گرادیان میدان برای هر مرحله کد گذاری فاز است. برای مثال، پرش از هر دو مین خط کد گذاری فاز سرعت دستیابی را با یک فاکتور دو شتاب می دهد. این را فاکتور PAT یا شتاب می نامند. مصالحه برای این افزایش سرعت تصویربرداری کاهش SNR تصویر است. بازسازی تصویر با تکنیک های PAT بسیار پیچیده تر است، و دو الگوریتم عمدۀ ارائه شده است، بسته به اینکه بازسازی تصویر پیش از تبدیل فوریه (SMASH, GRAPPA) یا بعد از تبدیل فوریه (SENSE) انجام می شود.

- در سیستم های تصویربرداری MR که جهت میدان B_0 عمود برمحور بلند بدن است، مانند، سیستم های مگنت دائمی یا مقاومتی با طراحی باز، کویل های سلنوئیدی سر استفاده می شوند. با مورب قرار دادن دو حلقه سیمی سلنوئیدی در عرض یکدیگر، می توان یک کویل سر CP را برای افزایش SNR ایجاد کرد.

- کویل های سطحی ندرتاً برای تصویربرداری مغز استفاده می شود و معمولاً برای کاربرد های «خاص» استفاده می شوند: تصویربرداری با تفکیک بالا (high resolution) از اربیت ها یا مقاصل گیجگاهی - فکی (کویل سطحی-doughnut).

در آزمون های MRI مغز، بیمار در وضعیت سوپاین قرار داده می شود، پیش از ورود تخت به داخل مگنت، وضعیت سر بیمار در داخل کویل سر باید صحیح و کاملاً متقاضن باشد. بیشتر سیستم های MRI دارای باریکه نوری لیزری متقطع هستند که به صحیح قرار دادن بیمار کمک میکند. ساختار تنگ کویل سر ممکن است در بیمار اضطراب ایجاد کند. بنابراین مهم است که بیمار احساس راحتی کند. قرار دادن یک بالش زیر شانه ها می تواند مفید باشد. ممکن است دادن آرامبخش ضروری باشد.

سطوح تصویربرداری

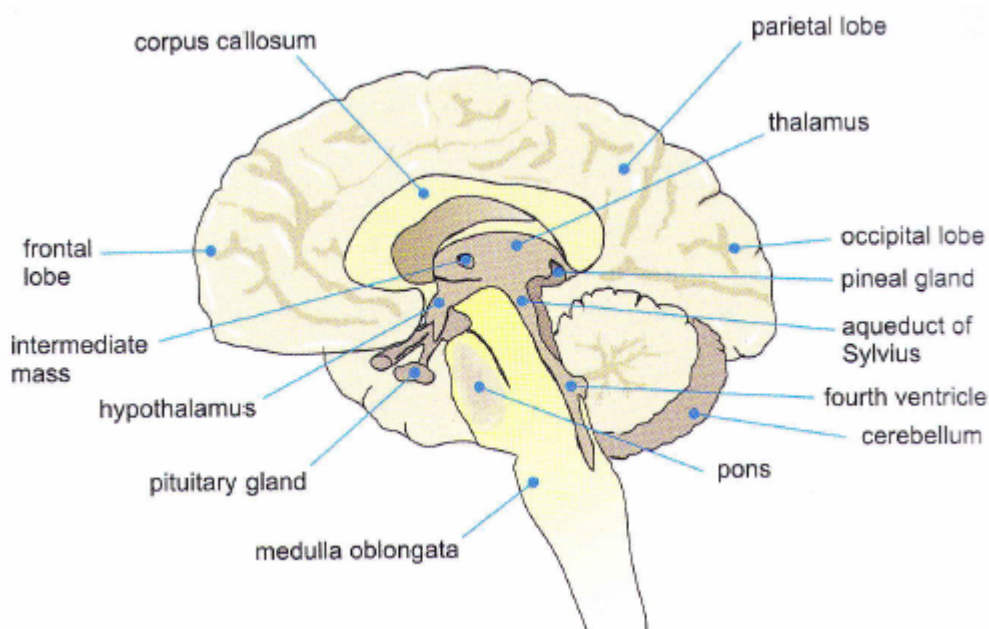
آزمون MRI با یک یا چند اسکن سریع لوکالایزر (یا تصاویر راهنمایی، **scout**) آغاز می شود. به این منظور از دنباله های سریع گردایانی استفاده می کنیم، با برش هایی در سطوح متعامد تصویربرداری. بر اساس تصاویر لوکالایزر اولیه، در صورت لزوم اسکن های لوکالایزر اضافی انجام می شود. از روی تصویر لوکالایزر کرونال، یک دستیابی سریع تک برش ساجیتال میانی وضعیت داده می شود. اولین سری تصاویر اسکن های آکسیال را از روی این تصویر ساجیتال میانی طراحی می کنیم. اسکنرهای مدرن MRI اغلب این امکان را به کاربر می دهند که بطور همزمان روی سه تصویر لوکالایزر متعامد وضعیت برش ها را مشخص نماید و نیازی به بدست آوردن چندین اسکن لوکالایزر متوالی نباشد. همچنین کاربر این امکان را دارد که برش ها را در جهات ابلیک چندگانه (multiple oblique) انجام دهد.

بدلیل تقارن مغز، تعیین وضعیت برش های ساجیتال ساده است. اگر سر نچرخیده باشد، برش های ساجیتال روی تصویر لوکالایزر کرونال قرار می گیرد. یک برش آکسیال نیز می تواند مورد استفاده قرار گیرد، به شرط آنکه سر به چپ - راست خم نشده باشد. روی تصویر ساجیتال میانی بطور ایده آل باید نشانه های آناتومیک زیر تشخیص داده شود: کورپوس کاللوسوم (جسم پینه ای) در تمام طولش، آکوداکت سیلویوس، بطن چهارم، نخاع گردنی.

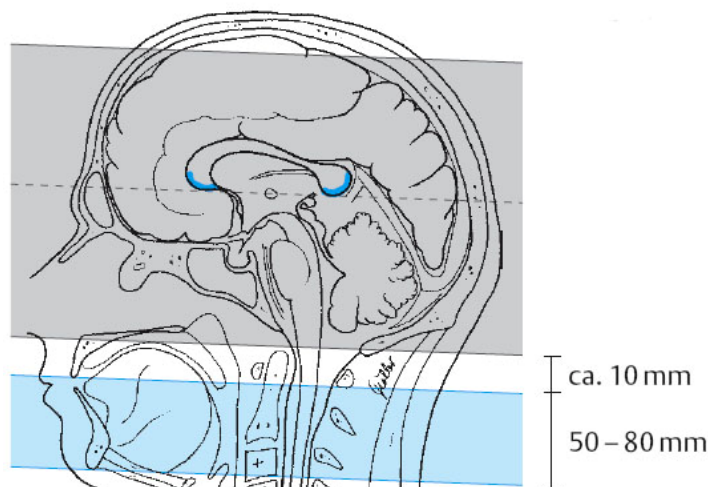
برش تصاویر آکسیال باید موازی با خطی باشد که لبه تحتانی جنو و اسپلینیوم کورپوس کاللوسوم را به هم وصل می کند. یا موازی با خطی باشد که کف سلا تورسیک را به سقف بطن چهارم متصل می کند (شکل ۴-۱). در بسیاری از بیماران این سطوح تصویر برداری فقط اندکی ممکن است متفاوت باشد. به هر حال، مهم است که همیشه از سطح تصویربرداری استاندارد استفاده کنیم، بطوریکه تصاویر بدست آمده در آزمونهای فالوآپ را بتوان بر مبنای مطالعه اولیه مقایسه کرد.

برای تصاویر کرونال، نوعاً از یک صفحه زاویه دار، عمود بر محور طولی لب های گیجگاهی استفاده می کنیم. این صفحه را می توان با تعیین وضعیت برش های کرونال روی یک تصویر مید ساجیتال، موازی با قسمت خلفی ساقه مغز بدست آورد. برای مطالعات هیپوفیز این صفحه باید عمود بر کف سلا یا اندکی چرخیده به طرف عقب (موازی با ساقه هیپوفیز) باشد.

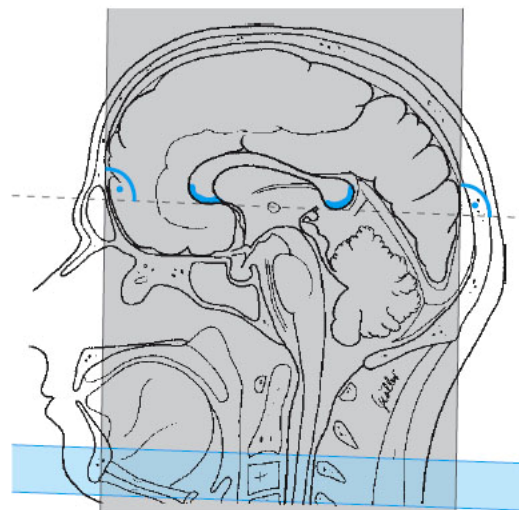
انتخاب سطوح تصویربرداری باید متناسب با پرسش های بالینی باشد که قرار است به آنها پاسخ داده شود. برای مثال، در بیماری با optic neuritis ، برش های نازک کرونال با سرکوب چربی از میان اریتی ها برای مقایسه اعصاب اپتیک چپ و راست مفید است. برای رد اسکلروز هیپوکامپ در بیمارانی با صرع پیچیده جزئی (partial complex seizure) مقاوم به درمان، برش های کرونال زاویه دار عمود بر محور طولی تمپورال ترجیح داده می شود، اسکن های آکسیال زاویه دار موازی با محور تمپورال نیز می تواند مفید باشد. در بیماری با مالتیپل اسکلروز، آسیب های ماده سفید ساب اپنديمال عمود بر سطح بطنی ('Dawson's fingers') بویژه در تصاویر ساجیتال بخوبی دیده می شوند. آسیب های کورپوس کاللوسوم که بخوبی در مقاطع ساجیتال یا کرونال آشکار می گردد شاید در اسکن های آکسیال به سختی دیده شوند.



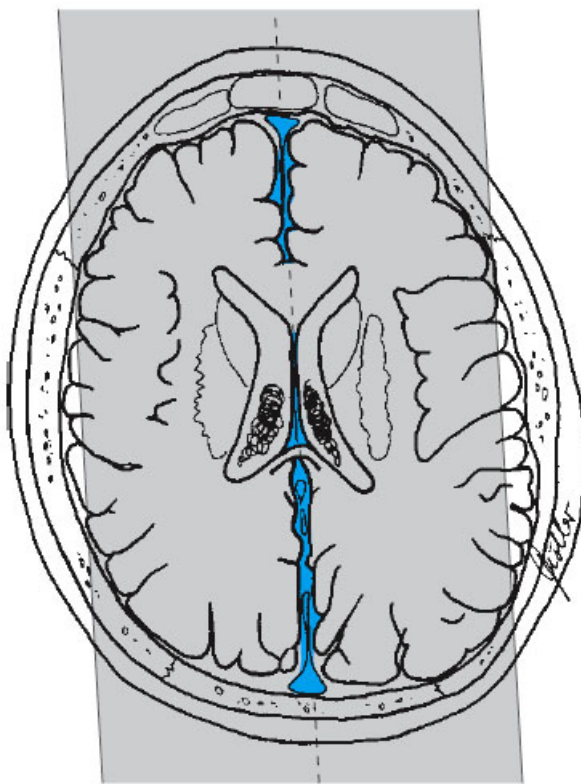
مقطع ساجیتال میانی مغز ساختار های میانی را نشان می دهد.



طراحی برش های آکسیال مغز از روی تصویر لوکالایزر ساجیتال میانی-برش های آکسیال موازی با خطی هستند که لبه های قدامی و خلفی کورپوس کالوسوم را به هم متصل می کند (این خط موازی با خطی است که از کامیشور قدامی و خلفی می گذرد). ناحیه آبی رنگ باند اشباع یا قطعه اشباع را نشان میدهد، با فاصله 10 mm از تحتانی ترین برش و ضخامت $50-80\text{ mm}$ موازی با برش های آکسیال.



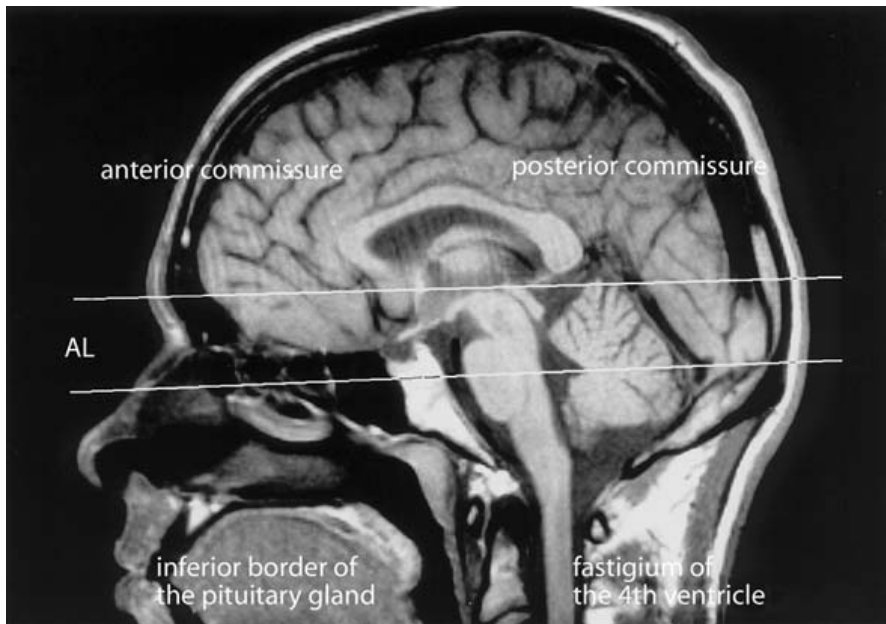
طراحی برش های کرونال مغز از روی تصویر لوکالایزر ساجیتال میانی- برش های کرونال عمود بر جهت برش های آکسیال طراحی می شوند. باند اشباع یا قطعه اشباع عمود بر برش های کرونال است (در جهت آکسیال، در قسمت فوقاری گردن).



طراحی برش های ساجیتال مغز از روی تصویر لوکالایزر آکسیال- برش ها را موازی با خطی که از میان دو نیمکره مغز می گذرد طراحی کنید. باند اشباع عمود بر برش های ساجیتال است (در جهت آکسیال، در قسمت فوقاری گردن).

پروتکل برای تصویربرداری MR روتین از مغز

بطور ایده آآل، پروتکل های تصویربرداری برای مغز باید تا حد امکان کوتاه و متمرکز بر پرسش های بالینی باشد. پروتکل ها باید استاندارد شده باشند تا از تداوم آنها مطمئن باشیم. در آخر، پروتکل ها باید هماهنگ با تجهیزات در دسترس باشد.



شکل ۱-۴- نشانه های آنatomی برای تعیین وضعیت برش های آکسیال، برش های آکسیال باید موازی با خط واصل کامیشور قدامی و خلفی باشد (خط فوقانی). یا برش های آکسیال می توانند موازی با خطی باشد که کف سلاتورسیک را به سقف بطن چهارم متصل می کند (خط تحتانی). روش سوم (که نشان داده نشده است) وضعیت دادن برش ها موازی با خط واصل لبه تحتانی جنو و اسپلینیوم کوربوس کالوسوم است. در بیشتر بیماران (بزرگسال)، این سطوح تصویربرداری فقط اندکی متفاوت هستند.

پروتکل های تصویربرداری MR روتین مغز

به عنوان یک قاعده کلی، مطالعات تصویربرداری MR مغز باید حداقل شامل دو سطح تصویربرداری و دو وزن کتراست باشد. جدول ۱-۴ پروتکل های جدید برای تصویربرداری مغز را نشان می دهد. در مطالعات روتین ۱۹ یا ۲۰ برش ترجیح داده می شود. به این طریق، تمام تصاویر یک دنباله به اضافه یک لوکالایزر را می توان روی یک فیلم جای داد. هنگامی که نتوان تمام سر را با ۱۹ یا ۲۰ برش پوشش داد، این تعداد باید افزایش یابد یا به جای ضخامت برش ۵mm از ضخامت ۶mm استفاده کرد. برای تصویربرداری مغز یک ماتریس ۵۱۲ ترجیح داده می شود، به خصوص وقتی دنباله های TSE استفاده می شود. اما در صورت عدم دسترسی و یا وقتی SNR بیشتر ضروری است، یک ماتریس کوچکتر، مثلًا ۲۵۶ نیز می تواند استفاده شود. باید به یادآورید که جزئیات آنatomیک با اندازه rec پیکسل تعیین می شود، که نه فقط به ماتریس، بلکه همچنین به میدان دید (FOV) بستگی دارد. یک میدان دید مستطیلی (FOV) فقط در جهات برش ترانسورس و کرونال استفاده می شود. در این سطوح تصویربرداری، جهت ترجیحی کد گذاری فاز چپ به راست است.

آسیب‌های کوچک با شدت بالای سیگنال (SI) در مجاورت بطن‌ها یا فضاهای ساب آراکنوئید، مثلاً ماده سفید اطراف بطن و ماده خاکستری کورتکس، ممکن است در تصاویر وزن T_2 نیست شوند به این دلیل که نمی‌توان آنها را از مایع مغزی نخاعی (CSF)، که شدت بالایی دارد، تمایز کرد.

امروزه برای حل این مسئله از یک دنباله وزن T_2 با سیگنال سیاه CSF، نظیر Fluid attenuated inversion recovery (FLAIR) استفاده می‌شود (جدول ۱-۴). در این نوع دنباله وزن T_2 ، سیگنال CSF با استفاده از یک زمان بلند وارونگی (نوعاً حدود ۲۰۰۰ms) تضعیف می‌شود. FLAIR یک تفکیک کتراست عالی در مرزهای بین مغز و CSF فراهم می‌کند، و قابلیت مشاهده آسیب‌های کوچک ماده سفید را افزایش می‌دهد.

دنباله T_1 برای ارزیابی آناتومی کلی و ساختار مغز به کار می‌رود. به علاوه وزن T_1 اغلب برای تعیین آناتومیک یک آسیب زمینه بهتر است (سیگنال افزایش یافته در ناحیه ادم داخل پارانشیمی ممکن است آسیب زمینه را بپوشاند). به دنبال تزریق یک عامل کتراست پارامنیتیک، مجددأً تصاویر وزن T_1 باید در دو سطح متعامد به دست آید، یا می‌توان از یک دستیابی حجمی ۳D استفاده کرد، که امکان بازسازی در سطوح متعدد را فراهم می‌کند. تصاویر قبل و بعد از تزریق گادولینیوم (Gd) باید با ضخامت، پوزیشن و پارامترهای یکسان دستیابی شوند تا حداقل در یکی از سطوح تصویربرداری امکان مقایسه وجود داشته باشد.

می‌توان با استفاده از تکنیک‌های سرکوب چربی (مثلاً در اریت) یا تکنیک‌های کتراست انتقال مگتایزیشن (MTC) برای سرکوب زمینه (مثلاً در مالتیپل اسکلروز) اثر عوامل کتراست را موثرتر کرد. در اسکنرهای MRI، انتقال مگتایزیشن به صورت یک گزینه با یک کلید فشاری (push-button) وجود دارد که در اکثر اسکن‌های مغز با تزریق Gd استفاده می‌شود، به جز هنگامی که برش‌های نازک مورد نیاز باشد، مثلاً برای غده هیپوفیز یا کanal گوش داخلی.

می‌توان برای افزایش حساسیت به ادم سایتو توکسیک دنباله‌های وزن دیفیوژن را اضافه کرد. هنگامی که به دنبال آسیب‌های هموراژیک هستیم، باید یک دنباله GRE اضافه شود، چون حساسیت زیادی به آثار قابلیت پذیرش دارد.

جدول ۱-۴- پروتکل تصویربرداری مغز MR برای بزرگسالان

*آکسیال-DW	T1-ساجیتال	T2-آکسیال-turbo FLAIR	T2-آکسیال	
SE- EPI	SE	turbo FLAIR	TSE	دباله پالس
دیفیوژن DW	T1	T2	T2	وزن تصویر
آکسیال	ساجیتال	آکسیال	آکسیال	صفحه برش
۱۲-۱۵	۱۹	۱۹	۱۹-۲۵	تعداد برش
∞	۶۰۰	۶۰۰۰-۱۰۰۰۰	۳۰۰۰-۶۰۰۰	TR(ms)
۱۰۰-۱۴۰	۱۰-۲۰	۱۰۰-۱۵۰	۹۰-۱۳۰	TE (ms)
-	-	۱۸۰۰-۲۲۰۰	-	TI (ms)
۹۰/۱۸۰	۹۰/۱۸۰	۱۸۰	۹۰/۱۸۰	زاویه فلیپ
-	-	۷-۱۱	۱۵-۷	ETL
۵	۵	۵	۵	پهنای برش (mm)
۱۲۸	۲۶۵ یا بهتر	۵۱۲	۵۱۲	ماتریس
۲۳۰-۳۰۰	۲۳۰-۲۴۰	۲۳۰-۲۴۰	۲۳۰-۲۴۰	FOV
۷۵	۱۰۰	۷۵	۷۵	recFOV
۱	۱-۲	۱-۲	۱-۲	تعداد دستیابی

اختصارات: WI وزن تصویر؛ TR زمان تکرار (ms)؛ TI زمان وارونگی (ms)، زمان اکو (ms)؛ ماتریس FOV میدان دید rec FOV درصد میدان دید مستطیلی (mm).

تفکیک فضایی

تفکیک فضایی در تصویر MR توسط ضخامت برش، میدان دید (FOV)، و اندازه ماتریس، مشخص می‌شود. این پارامترها اندازه یک واکسل (عنصر حجمی) را تعیین می‌کنند. ضخامت برش در تصویربرداری روتین MR مغز ۵mm با فاصله بین برش ۰/۱۵ mm (فاکتور فاصله: ۰/۱ - ۰/۳) است. به این طریق، پوشش کامل مغز را می‌توان تقریباً با ۲۰ برش در سطوح آکسیال یا ساجیتال به دست آورد.

هنگامی که ارزیابی کمی تعداد آسیب‌ها انجام می‌شود، مثلاً در پروتکل‌های آزمایشی مالتیپل اسکلروز، ضخامت برش ۳mm توصیه می‌شود. چون تعداد زیادتری برش برای پوشش مغز لازم است، زمان آزمون هم مطابق با آن افزایش می‌یابد. در نواحی اختصاصی آناتومیک (غده هیپوفیز، زاویه CP، و کانال گوش داخلی)، باید از برش‌های نازک (۱-۳mm) استفاده شود. با دستیابی‌های ۲D، مجموعه داده‌ها حاوی تعداد بسیار زیادتری برش‌های نازک (ضخامت کمتر از ۱/۵mm) است، مثلاً دستیابی Magnetization Prepared Rapid Acquired Gradient Echo (MP-RAGE)

تفکیک در صفحه با FOV و اندازه ماتریس تعیین می‌شود. برای تصویربرداری روتین مغز از یک FOV (گستره ۲۳۰mm-۲۵۰mm، بسته به ابعاد سر بیمار) و یک ماتریس ۲۵۶x۲۵۶ استفاده می‌شود، اگرچه، تصاویر با ماتریس ۵۱۲ به دلیل تفکیک فضایی بهتر جایگزین ۲۵۶ شده است. به نظر می‌رسد که در آینده نزدیک، ابعاد ماتریس باز هم افزایش یافته و به ۱۰۲۴ برای کاربردهای

خاص بر سد. تصاویری با تفکیک صفحه‌ای بالاتر را می‌توان با افزایش ابعاد ماتریس (با FOV ثابت) یا با کاهش SNR همراه است.

FOV مستطیلی به طور روتین در تصویربرداری مغز در سطوح تصویربرداری آکسیال و کروناל (ولی نه در صفحه ساجیتال) استفاده می‌شود. در تصاویر آکسیال، کدگذاری فاز چپ به راست انتخاب می‌شود، تا از برهم نهی آرتیفکت‌های فاز ناشی از حرکت چشم روی نواحی گیجگاهی و اکسیپیتال و همچنین از آرتیفکت آلایزینگ جلوگیری شود.

نسبت سیگنال به نویز (SNR)

SNR تا حد زیادی توسط شدت میدان مگنت و کیفیت ذاتی کویل سر تعیین می‌شود. به طور کلی کویل‌های SNR CP مطلوبی بدست می‌دهند. در یک مگنت و کویل معین SNR همچنین متناسب است با اندازه پیکسل (FOV تقسیم بر ماتریس)، ضخامت برش، تعداد تهییج‌ها (NEX)، همچنین با پهنه‌ای باند تناسب معکوس دارد. SNR با \sqrt{NEX} افزایش می‌یابد، در حالیکه زمان دستیابی به طور خطی با NEX افزایش می‌یابد. و به دلیل احتمال بیشتر حرکت بیمار در زمان‌های دستیابی طولانی‌تر، افزایش NEX روش مناسبی برای بهبود SNR نیست.

در یک آزمون خاص می‌توان SNR را با استفاده از دنباله‌هایی با پهنه‌ای باند باریک بهینه کرد. این روش عموماً در مگنت‌هایی با شدت میدان پایین‌تر استفاده می‌شود، چون در شدت میدان پایین‌تر آرتیفکت جابجایی شیمیایی کمتر مشکل ساز است. در شدت‌های بالاتر، دنباله‌هایی با پهنه‌ای باند مخلوط، مانند دنباله‌های multi-echo مفید هستند. پهنه‌ای باند برای دو مین اکوی یک دنباله با TR بلند (T2-WI) باریک‌تر از اولین اکو (PD-WI) است. این باعث افزایش SNR در تصاویر TE بلندتر می‌شود، جائیکه پیشترین نیاز را داریم.

می‌توان تفکیک فضایی را برای بهبود SNR قربانی کرد. هرچه واکسل‌ها بزرگ‌تر باشد، SNR بهتری بدست می‌آید. بنابراین، با هر آزمون MR، مصالحه ای بین تفکیک فضایی (ضخامت برش، FOV، اندازه ماتریس) و SNR وجود دارد. هدف باید یافتن اندازه واکسلی باشد که SNR کافی را برای تفکیک کتراست فراهم کند و با این وجود به حد کافی کوچک باشد تا تفکیک فضایی ضروری را فراهم کند.

با کویل‌های آرایه‌فازی سر، SNR بطور یکنواخت در سراسر حجم آزمون توزیع نمی‌شود، و یک پردازش بهنجارسازی (normalization) برای جبران تفاوت‌های SNR بین قسمت‌های پیرامونی و مرکزی مغز لازم است. هنگامیکه کویل‌های آرایه‌فازی سر همراه با تکنیک دستیابی موازی (PAT) استفاده شود، سرعت تصویربرداری افزایش می‌یابد، اما SNR با جذر زمان دستیابی کاهش می‌یابد.

۴-۴- آسیب‌های توده‌ای mass lesions

بسیاری از بیماران با اختلالات نورولوژیک موضعی، مثلاً همی‌پارزی، همی‌آنوبی (hemianopia)، و حملات صرعی، برای تصویربرداری MR فرستاده می‌شوند تا احتمال یک آسیب توده‌ای بررسی شود؛ نشانه‌ها (symptoms) بستگی به مکان آسیب

دارد. MRI روش انتخابی تصویربرداری برای تمام انواع آسیب‌های توده‌ای ایتراکرaniال است. برای تصویربرداری تشخیص اولیه از یک توده مشکوک ایتراکرaniال پروتکل‌های جدول ۲-۴ توصیه می‌شود.

سطح تصویربرداری باید مطابق با مکان آسیب‌ها باشد. برای بیشتر تصویربرداری‌های بعد از تزریق گادولینیوم (Gd) دگمه انتقال مگتایزیشن (MT) باید روشن باشد. به طور ایده‌آل، دنباله قبل از کتراست وزن T_1 نیز باید با MT انجام گیرد. وقتی متاستازهای مغزی مورد شک است، استفاده از دوز دوبل کتراست توصیه شده است. به منظور مقایسه، توصیه می‌شود تصاویر SE با تنظیمات پارامتری یکسان (سطح برش، ضخامت و پوزیشن) قبل و بعد از تزریق Gd انجام گیرد. هنگامی که لازم باشد، تصاویر تفریق شده (subtraction) را می‌توان از تصاویر قبل و بعد از کتراست محاسبه کرد. دنبالهنهایی همچنین می‌تواند یک دنباله ۳D گرادیان اکو وزن T_1 (MP-RAGE، SPGR) با برش‌های نازک متعدد باشد. از روی مجموعه داده‌های ۳D می‌توان تصاویر را در تمام سطوح تصویربرداری بازسازی کرد.

برای ارزیابی آسیب‌های پوستریورفوسا، سطوح آکسیال و کرونال ترجیح داده می‌شود. تصویربرداری ساجیتال در آسیب‌های توده‌ای بطن چهارم و ناهنجاری‌های CCJ (Craniocervical Junction) مفید است. هنگام مطالعه آسیب‌های اعصاب مغزی، باید از برش‌های نازک (1-3mm) استفاده کرد. وزن T_2 برای نمایش دادن ادم، سیست‌ها، نواحی نکروز، و حضور یک شیار CSF در تومورهای اکسترا آکسیال مفید است. تصاویر فوق نازک وزن T_2 (3D TSE) یا وزن T_2^* دنباله CISS (Bray مشاهده در کanal گوش داخلی و مایع در ساختمان‌های گوش درونی (حلزون، دهیز، مجاري نیم دایره) مفید است.

اگر چه ذاتاً MRI مغز نسبت به CT مغز ارجحیت دارد، اما MRI محدودیت‌های خاص خود را دارد! تصویربرداری حساسیت بسیار زیادی دارد، اما هنوز قادر ویژگی است. در تصاویر وزن T_2 ، آسیب‌هایی با شدت سیگنال بالا مربوط به یک پلاک مالتیپل اسکلروز و یک متاستاز می‌تواند بسیار شبیه یکدیگر باشد. تصویربرداری MR برای کلسفیکاسیون‌های داخل تومور همانند CT حساس نیست. نکروز که یک عامل مهم پیش آگهی در تشخیص تومور مغزی است، با تصویربرداری MR به طور مطمئن آشکار نمی‌شود.

جدول ۲-۴- پروتکل برای آسیب‌های توده‌ای و عفونت‌های ایتراکرaniال.

کرونال یا ساجیتال T1 با تزریق کنترast	آکسیال- (MTC) با تزریق کنترast	T1- (MTC)	آکسیال- turbo FLAIR	T2- آکسیال	
SE	SE	SE	turbo FLAIR	TSE	دنباله پالس
T1	T1	T1	T2	T2	وزن تصویر
کرونال یا ساجیتال	آکسیال	آکسیال	آکسیال	آکسیال	صفحة برش
۱۹	۱۹	۱۹	۱۹	۱۹-۲۵	تعداد برش
۶۰۰-۸۰۰	۶۰۰-۸۰۰	۶۰۰-۸۰۰	۶۰۰۰-۱۰۰۰	۳۰۰۰-۶۰۰۰	TR(ms)
۱۰-۲۰	۱۰-۲۰	۱۰-۲۰	۱۰۰-۱۵۰	۹۰-۱۳۰	TE (ms)
-	-	-	۱۸۰۰-۲۲۰۰	-	TI (ms)
۹۰/۱۸۰	۹۰/۱۸۰	۹۰/۱۸۰	۱۸۰	۹۰/۱۸۰	زاویه فلیپ
-	-	-	۷-۱۱	۱۵-۷	ETL
۵	۵	۵	۵	۵	پهنه برش (mm)
۵۱۲	۵۱۲	۵۱۲	۵۱۲	۵۱۲	ماتریس
۲۳۰-۲۴۰	۲۳۰-۲۴۰	۲۳۰-۲۴۰	۲۳۰-۲۴۰	۲۳۰-۲۴۰	FOV
۷۵	۷۵	۷۵	۷۵	۷۵	recFOV
۱-۲	۱-۲	۱-۲	۱-۲	۱-۲	تعداد دستیابی

۳-۴- سلاتورسیک و هیپوفیز

غده هیپوفیز شامل دولب است که از نظر فیزیولوژیک و آناتومیک مجرما می‌باشد: لب آنتریور (آدنوهیپوفیز) و لب پوستریور (نوروهیپوفیز). تظاهر غده هیپوفیز بستگی به سن و جنس فرد دارد.

تکنیک تصویربرداری

به دلیل حجم کوچک غده هیپوفیز، باید برش‌های نازک (۲-۳ mm) تهیه شود. به منظور بهبود تفکیک فضایی، یک FOV کوچک ($\leq 20\text{cm}$) و یک ماتریس ظرفی (۲۵۶ یا بالاتر) توصیه می‌شود.

نزدیکی به سینوس پر از هوای اسفنوئید، به دلیل آرتیفکت‌های قابلیت پذیرش، یک مشکل اضافی ایجاد می‌کند. بنابراین دنباله‌های SE ترجیح داده می‌شود، به طور کلی از دنباله‌های GRE استفاده نمی‌شود، بجز در اسکنرهای با شدت میدان پائین.

یک پالس پیش اشباع را می‌توان برای حذف آرتیفکت‌های جابه‌جایی فاز ناشی از جریان ضربان دار شریان‌های کاروتید داخلی به کار برد. عدم مزیت آن است که استفاده از یک پالس پیش اشباع، تعداد برش‌هایی را که می‌توان در یک فاصله معین TR به

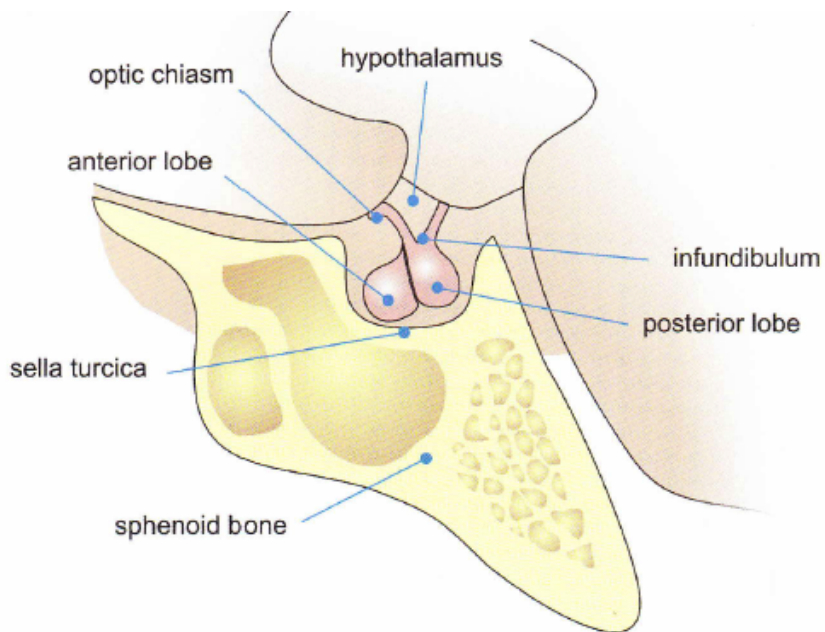
دست آورده کاهش می‌دهد. برای بهبود SNR در اسکنرهایی با شدت میدان متوسط و پایین، اغلب دنباله‌های SE با یک پهنای باند باریک استفاده می‌شود. این دنباله‌ها یک مقدار کمینه TE بلندتری دارند، و بنابراین تعداد برش‌ها (طول تحت پوشش) کمتر است. با این حال، در تصویربرداری هیپوفیز مشکلی نیست، چون فقط تعداد محدودی برش برای پوشش ناحیه مورد نظر لازم است. عدم مزیت دیگر اینست که دنباله‌هایی با پهنای باند باریک آرتیفیکت جابه‌جایی شیمیایی را افزایش می‌دهد. این می‌تواند سبب شود چربی مغز استخوان در دورسوم سلا سیگنانل زیاد پوستریور هیپوفیز را در تصاویر ساجیتال وزن T_1 بپوشاند؛ با قراردادن گرادیان خواندنده (read out) در جهت آنتروپوستریور می‌توان از این آرتیفیکت جلوگیری کرد، به طوری که چربی به خلف جابه‌جا شود. به طور مشابه، در تصاویر کرونال، گرادیان خواندنده باید به گونه‌ای تنظیم شود که چربی مغز استخوان در کف سلا به طرف اینفریور جابه‌جا شود. با این تکنیک می‌توان از مشاهده کافی قسمت تحتانی هیپوفیز مطمئن شد. پروتکل تصویربرداری از هیپوفیز در جدول ۳-۴ نشان داده می‌شود.

بعد از تزریق وریدی ماده کتراست Gd، ساقه هیپوفیز، آذنوهیپوفیز، و سینوس کاورنوس بلافارسله و به شدت بهبود کتراست پیدا می‌کند. این بهبود بعد از ۱-۳ دقیقه حداقل است. این فرایند دینامیک بهبود فزاینده کتراست هیپوفیز را می‌توان با استفاده از تصاویر متالی وزن T_1 مشاهده کرد. در بیشتر مراکز، تصویربرداری دینامیک در صفحه کرونال قسمتی از پروتکل استاندارد برای آذنومای هیپوفیز است. این تصویربرداری دینامیک با یک دنباله TSE، که هر ۲۰-۳۰ ثانیه تکرار می‌شود، انجام می‌گیرد.

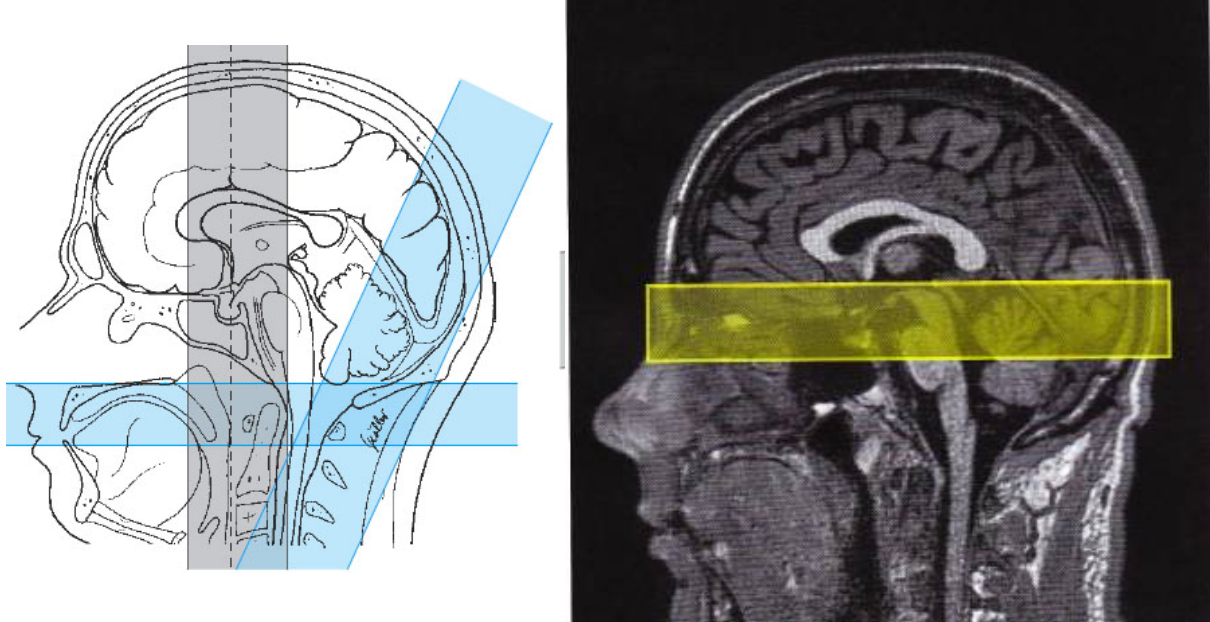
برای این منظور دنباله‌های Key-hole TSE توصیه می‌شود. به طور ایده‌آل، چندین برش باید تصویربرداری شود تا به طور کامل تمام لب آنتریور هیپوفیز تحت پوشش قرار گیرد.

داده‌های مقالات پیشنهاد می‌کند که برای تصویربرداری دینامیک بعد از کتراست، نصف دوز معمول Gd کفايت می‌کند (۰.۵ mmol/kg). به علاوه، نصف دوز Gd کتراست بین غده هیپوفیز و سینوس کاورنوس را افزایش می‌دهد. اما در اسکنرهایی با شدت میدان کمتر، یک دوز استاندارد Gd (۱ mmol/kg) توصیه می‌شود، چون در شدت‌های میدان کمتر اثر کوتاه‌شدن T_1 کمتر است.

برای تصویربرداری بعد از تزریق، انتقال مگتایزیشن (MT) نباید روشن باشد، چون SNR تصاویری با برش نازک و FOV کوچک را بازم کاهش می‌دهد.



هیپوفیز و اجزاء آن



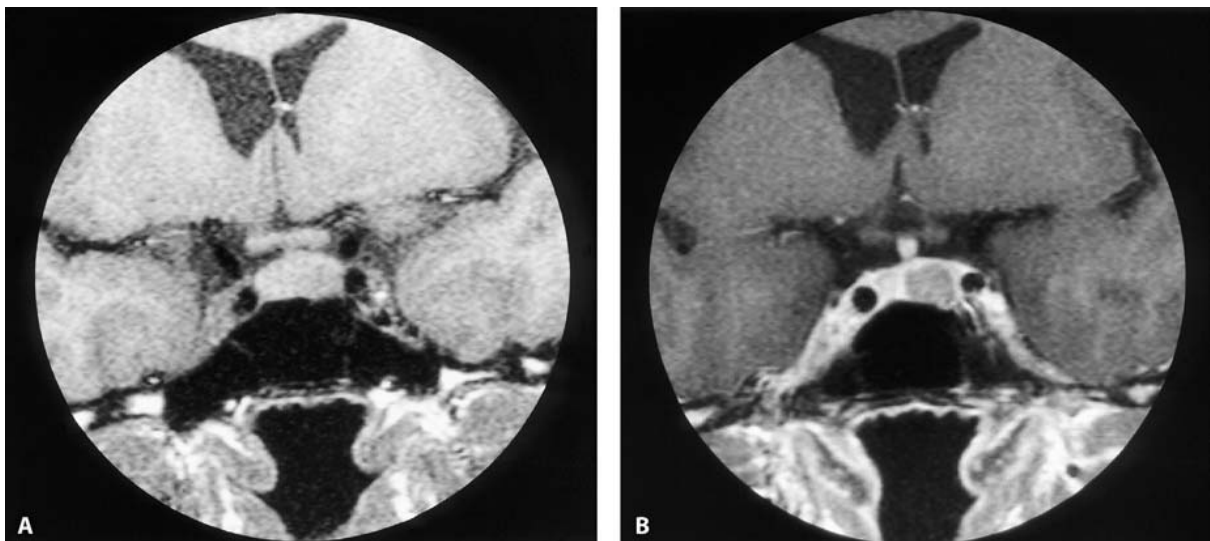
طراحی برش های کرونال و آکسیال هیپوفیز روی لوکالایزر ساجیتال میانی.

ناحیه آبی رنگ باند های اشباع را نشان می دهد – استفاده از باند های اشباع بخصوص هنگامی توصیه می شود که یک توده باشدت بالا مشاهده گردد، تا درموئید ایتراسلار را رد کنیم.

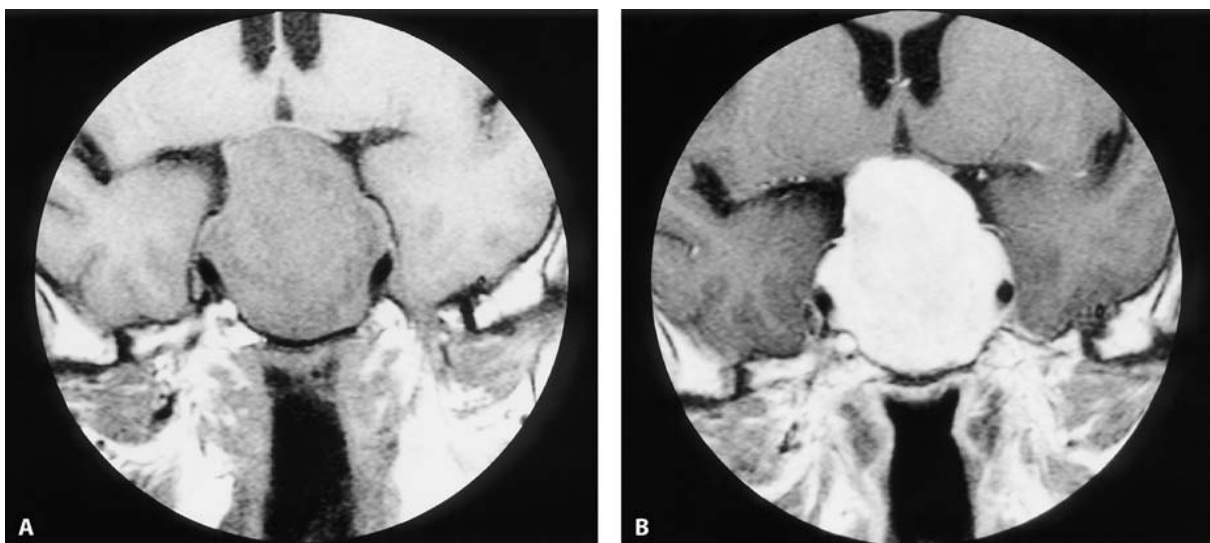
تصاویر کرونال باید از کلینوئید قدامی تا کلینوئید خلفی و از کف سینوس اسفنوئید تا سقف بطن لترال را در بر گرد.

جدول ۴-۳ پروتکل برای تصویربرداری غده هیپوفیز. تعداد کمی برش برای یک مادر یک ماکروآدنومای هیپوفیز، تعداد بیشتری برش باید به دست آید تا تمام تومور را پوشش دهد. در مطالعه دینامیک ضخامت برش باید افزایش یابد تا کل تومور را فراگیرد. در تصاویر کرونال وزن T_1 دنباله ETL، یک زیاد سرعت دنباله را افزایش می‌دهد، اما همچنین وزن T_2 تصویر را نیز افزایش می‌دهد، که یک اثر نامطلوب است. بنابراین یک توازنی باید بین زمان کوتاه دستیابی (که نیاز به ETL زیاد دارد) و وزن کافی T_1 (که نیاز به ETL کوتاه‌تر دارد) برقرار کرد.

کرونال- T1- با تزریق کنترast (نصف دوز)	T1- با تزریق کنتراست (نصف دوز)	کرونال- در صورت امکان دینامیک	کرونال	ساجیتال- T1-	کرونال- T1-
SE	TSE	TSE	SE	SE	دنباله پالس
T1	T1	T2	T1	T1	وزن تصویر
کرونال	کرونال	کرونال	ساجیتال	کرونال	صفحة برش
۹-۱۵	متغیر	۹-۱۵	۹-۱۵	۹-۱۵	تعداد برش
۴۰۰-۶۰۰	۴۰۰-۶۰۰	۳۰۰۰-۵۰۰۰	۴۰۰-۶۰۰	۴۰۰-۶۰۰	TR(ms)
۱۰-۳۰	Min TE	۹۰-۱۲۰	۱۰-۳۰	۱۰-۳۰	TE (ms)
-	-	-	-	-	TI (ms)
۹۰/۱۸۰	۹۰/۱۸۰	۹۰/۱۸۰	۱۸۰	۹۰/۱۸۰	زاویه فلیپ
-	۳-۸	۷-۱۵	-	-	ETL
۲-۳	۲-۴	۲-۳	۲-۳	۲-۳	پهنای برش (mm)
۲۵۶	۲۵۶	۲۵۶	۲۵۶	۲۵۶	ماتریس
≤ ۲۰۰	≤ ۲۵۰	≤ ۲۰۰	≤ ۲۰۰	≤ ۲۰۰	FOV
۷۵	۷۵	۷۵	۱۰۰	۷۵	recFOV
۲-۴	۱	۱-۲	۲-۴	۲-۴	تعداد دستیابی



شکل ۴-۲ میکرو آدنومای هیپوفیز. A. کرونال SE وزن T_1 بعد از تزریق Gd. تصویر قبل از کنتراست یک عدم تقارنی را بین لب‌های راست و چپ هیپوفیز نشان می‌دهد. در تصویر بعد از کنتراست، آدنوما در لب چپ هیپوفیز توسط بافت هیپوفیز که به طور نرمال بهبود کنتراست پیدا کرده فرا گرفته شده است. برش‌های نازک با تفکیک فضایی بالا ضروری است.



شکل ۴-۳ ماکرو آدنومای هیپوفیز. A. کرونال SE وزن T_1 بعد از تزریق Gd. یک زن ۴۵ ساله با افت فزاینده بینایی. این تصاویر یک ماکرو آدنومای نوعی هیپوفیز را نشان می‌دهند. به جایه‌جایی کیماسماهی اپتیک به طرف بالا توجه کنید.

۴-۴- بیماری مغزی عروقی

سکته مغزی

اصطلاح Strok (سکته مغزی) به آغاز ناگهانی یا سریع یک نقص نورولوژیک (در قلمرو عروقی) به دلیل بیماری مغزی عروقی اطلاق می‌شود که بیش از ۲۴ ساعت طول بکشد. اگر نقص نورولوژیک کمتر از ۲۴ ساعت طول بکشد، اصطلاح حمله گذرای ایسکمیک (TIA) استفاده می‌شود. دو نوع اصلی سکته مغزی را می‌توان تشخیص داد: ایسکمیک و هموراژیک. در این بخش روی پروتکل‌های MRI در سکته مغزی ایسکمیک تمرکز می‌کنیم، در مورد هموراژ در فصل قبل صحبت کردیم.

ارائه روش‌های درمانی جدید که هدف آن‌ها برقراری مجدد جریان خون، کاهش ابعاد اینفارکشن، و حفاظت از بافت‌های مجاور در خطر (نیم سایه) است نقش سنتی نوروایمیجینگ را تغییر داده است. تصویربرداری MR نقشی حساس در تشخیص، مدیریت بالینی و پایش درمان سکته مغزی بازی می‌کند. پنجره زمانی باریک در درمان ترومبوآمبولی (حداکثر تا ۶ ساعت بعد از شروع نشانه‌ها) یک تشخیص سریع و صحیح را ضروری می‌سازد. در بیمارانی با سکته مغزی حاد پروتکل تصویربرداری، باید بتواند:

- هموراژ ایتراکرaniel را رد کند. به طور سنتی، CT استاندارد طلایی برای آشکارکردن خونریزی ایتراکرaniel است، اما شواهد رو به رشدی وجود دارد که MRI تصویربرداری قابلیت پذیرش (مثلاً دنباله‌های گرادیان اکو T_2^*). اعتبار یکسانی، برای مثال در رد اینفارکشن هموراژیک، دارد. نشان داده شده که در دنباله‌های FLAIR آشکارکردن خونریزی حاد ساب آراکنوئید و داخلی بطنی دارای حساسیت و ویژگی زیاد می‌باشد. نقش FLAIR در مقایسه با CT و دنباله‌های گرادیان اکو T_2^* هنوز باید اثبات شود.
- آسیب پارانشیمال را نشان دهد. تصویربرداری وزن دیفیوژن (DWI) نواحی اینفارکشن حاد سریعال را در عرض چند دقیقه بعد از شروع نشانه‌ها می‌تواند آشکار کند.
- اطلاعاتی در مورد جریان خون بافت فراهم کند. این با تصویربرداری وزن پروفیوژن (PWI) انجام می‌شود که می‌تواند نواحی مغز را که جریان خون در آنها کاهش یافته نشان دهد.
- نواحی بالقوه نجات‌پذیر بافت مغز را نشان دهد. اگر نقص DWI از ناهنجاری PWI بزرگتر باشد (عدم تطابق دیفیوژن-پروفیوژن)، هنوز می‌توان نواحی ای از بافت مغز را نجات داد.
- باز بودن عروق را ارزیابی کند. آنژیوگرافی MR می‌تواند انسداد عروقی، تنگی، یا استنوزهای ایتراکرaniel را آشکار کند.

جدول ۴-۴ پروتکل تصویربرداری **MR** در سکته مغزی حاد. دنباله‌های **FID-EPI** و **SE-EPI** بسیار به حرکت حساس هستند، بنابراین باید تا حد امکان سر بیمار کاملاً بی‌حرکت نگه داشته شود. زمان اسکن برای این دنباله‌ها کمتر از ۳۰ ثانیه است. پارامترهای این دنباله‌ها به تجهیزات مورد استفاده بسیار وابسته است. ماده کنتراست باید به صورت یک بولوس بسیار سریع، حدود ۱۰ ثانیه بعد از شروع دنباله **FID-EPI** تزریق شود. یک تزریق کننده خودکار سازگار با **MR** مفید است. وقتی سکته هموراژیک مورد ارزیابی است یک دنباله **Spoiled GRE** با زاویه فلیپ کوتاه اضافه می‌شود. برای ارزیابی دیسکشن شریان کاروتید داخلی، یک دنباله **SE** وزن T_1 اضافه می‌شود که قسمت فوقانی گردن و قاعده جمجمه را دربرمی‌گیرد.

FID – EPI پروفیوزن با تزریق کنتراست ۱۰ ثانیه پس از شروع اسکن	T2- آکسیال	MRA-3D-TOF از حلقه ویلیس	T2- آکسیال turbo Flair	DW- آکسیال SE-EPI	
TSE	TSE	GRE-3D-TOF	turbo Flair	SE-EPI	دنباله پالس
T1	T2	MRA	T2	DW	وزن تصویر
آکسیال	آکسیال	آکسیال	آکسیال	آکسیال	صفحة برش
۱۲ - ۱۵	۱۹ - ۲۵	۱) ۶۴ قطعه یا slab	۱۹	۱۲ - ۱۵	تعداد برش
∞	۳۰۰۰ - ۶۰۰۰	۴۰	۶۰۰۰ - ۱۰۰۰۰	∞	TR(ms)
۶۰ - ۸۰	۹۰ - ۱۳۰	۵ - ۲۵	۱۰۰ - ۱۵۰	۱۰۰ - ۱۴۰	TE (ms)
-	-	-	۱۸۰۰ - ۲۲۰۰	-	TI (ms)
-	۹۰ / ۱۸۰	۱۵ - ۲۵	۱۸۰	۹۰ / ۱۸۰	زاویه فلیپ
-	۱۵ - ۷	-	۷ - ۱۱	-	ETL
۵	۵	۳۵ - ۱۰۰	۵	۵	پهنای برش (mm)
۱۲۸	۵۱۲	۵۱۲	۵۱۲	۱۲۸	ماتریس
۲۳۰ - ۳۰۰	۲۳۰ - ۲۴۰	≤ ۲۳۰	۲۳۰ - ۲۴۰	۲۳۰ - ۳۰۰	FOV
۷۵	۷۵	۷۵	۷۵	۷۵	recFOV
۱	۱ - ۲	۱ - ۲	۲ - ۴	۱ - ۲	تعداد دستیابی

عروق بزرگ

تظاهرات تصویربرداری اینفارکشن مغزی به دلیل انسداد یک رگ بزرگ با زمان تغییر می‌کند. می‌توانیم چهار مرحله را در نظر بگیریم: فوق حاد (۰-۶ ساعت بعد از شروع نشانه)، حاد (۴ روز اول)، تحت حاد (بین ۴ روز و ۸ هفته)، و مزمن (بعد از ۴ هفته).

جدول ۴-۴ پروتکل برای تصویربرداری از سکته مغزی حاد. دنباله‌های **FID-EPI** و **SE-EPI** بسیار حساس به حرکت هستند؛ بنابراین بیمار کاملاً بی‌حرکت باشد؛ مهم است که سر بیمار تا حد ممکن بی‌حرکت نگهداشته شود. زمان اسکن برای این دنباله‌ها کمتر از ۳۰S است. پارامترهای دنباله بسیار وابسته به تجهیزات هستند. ماده کنتراست باید در یک بولوس بسیار کوتاه، حدود ۱۰S بعد از شروع دنباله **FID-EPI** تزریق شود. استفاده از یک تزریق کننده خودکار سازگار با **MR** مفید است. هنگام ارزیابی سکته مغزی هموراژیک، یک دنباله **Spoiled GRE** با یک زاویه فلیپ جزیی اضافه می‌شود، به دلیل حساسیت زیاد آن به آشکار کردن

آرتیفیکت‌های قابلیت پذیرش. برای ارزیابی دیسکشن کاروتید داخلی، یک دنباله SE T₁ اضافه می‌شود که از گردن تا قاعده جمجمه را در بر می‌گیرد.

اینفارکشن فوق حاد و حاد

تکنیک‌های MRI معمولی کاربرد محدودی در نمایش سکته مغزی فوق حاد (۱۲h >) دارد. دو تکنیک جدیدتر MRI-تصویربرداری MR وزن دیفیوژن و تصویربرداری MR وزن پرفیوژن امروزه به طور گسترده‌ای استفاده می‌شود.

تصویربرداری وزن دیفیوژن (DWI). یک تکنیک مبتنی بر تصویربرداری اکوپلاتنار (EPI) است که حرکت کترهای مولکول‌های آب (یعنی، انتشار) را در بافت بیولوژیک در حین کاربرد گرادیان‌های قوی میدان مغناطیسی اندازه‌گیری می‌کند. حساسیت به دیفیوژن توسط «مقدار b (b Value) با واحد (s/mm²)» بیان می‌شود.

هر چه مقدار b بیشتر باشد، دافاینگ بیشتری رخ می‌دهد، و نواحی با انتشار (دیفیوژن) محدود شده سیگنال بالاتری دارد. در کاربرد بالینی، مقادیر b حدود ۱۰۰۰ s/mm² استفاده می‌شود.

گرادیان‌های دیفیوژن متقارن در (حداقل) سه جهت متعامد اعمال می‌شوند. این تصاویر را می‌توان در یک تصویری موسوم به «نشانه» (Trace Image) ترکیب کرد که نماینده میانگین هندسی تصاویر مجزا می‌باشد. در کاربرد بالینی سه تصویر برای هر مکان برش آناتومیک به دست می‌آوریم (شکل ۴-۲۳):

- تصویر b=۰. این صرفاً یک تصویر EPI با وزن سنگین T₂ است، با گرادیان‌های خاموش دیفیوژن.

- تصویر «نشانه» b=۱۰۰۰. تصاویر نشانه، میانگین هندسی DWI های فردی یا گرادیان‌های اعمال شده در جهات برش، فاز و فرکانس هستند. در نواحی اینفارکشن حاد مغزی (ادم سایتو توکسیک)، انتشار آب محدود است که سبب می‌شود آسیب در تصویر DWI روشن ظاهر شود.

- نگاشت‌های ضریب انتشار ظاهري (ADC). نگاشت‌های ADC تصاویر پارامتری هستند که در آنها هر پیکسل نماینده «ضریب انتشار ظاهري» در آن مکان است. بافت‌هایی که تحرک آب در آنها محدود است در نگاشت‌های ADC تاریک ظاهر می‌شوند (ADC در آسیب اینفارکت پایین‌تر است).

در انسداد کامل رگ، DWI می‌تواند آسیب را در مدت چند دقیقه آشکار کند، که به دلیل شروع سریع ادم سایتو توکسیک است. حجم آسیب در DWI تا ۳ یا ۴ روز به طور فزاینده افزایش می‌یابد؛ که بازتاب اینفارکشن بافت‌های مجاور، همچنین افزایش ادم است. بعد از اولین هفته، حجم آسیب در DWI شروع به کاهش می‌کند، چون هنگامی که سلول‌ها می‌میرند، غشاء‌های سلولی و دیگر ساختارهای محدود کننده انتشار ناپدید می‌شوند.

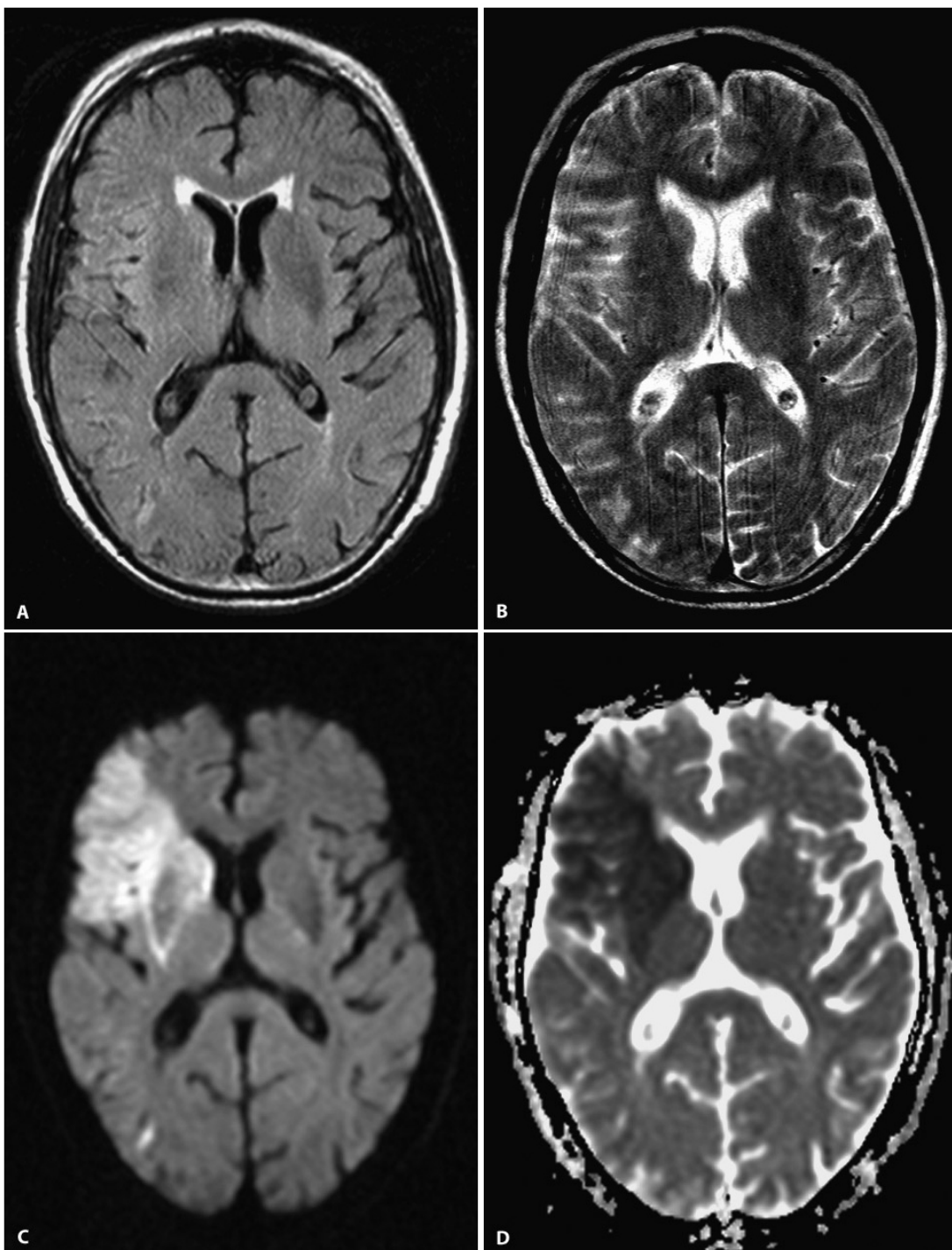
تصویربرداری وزن پرفیوژن (PWI)

Arterial spin labling (ASL) را می‌توان با دو روش اساسی انجام داد. در روش نشانه‌گذاری اسپین شریانی (PWI) پروتون‌های هیدروژن خارج از سر نشانه‌گذاری می‌شوند، و جریان یافتن این عامل کتراست درونی (endogenous) (یعنی اسپین‌های نشانه‌گذاری شده) از میان مغز مشاهده می‌شود. این تکنیک در کاربردهای بالینی استفاده نمی‌شود، چون SNR ضعیف و زمانی طولانی نیاز دارد. روش جدیدتر استفاده از عامل کتراست خارجی (ترکیب مبتنی بر Gd) است تا به عنوان یک عامل کتراست T₂*، در حین اولین عبور آن از میان عروق مغزی، عمل نماید. این عامل کتراست سبب یک کاهش گذرا در شدت سیگنال (اثر کوتاه شدگی T₂*)، متناسب با غلظت در یک ناحیه معین می‌شود. این تکنیک معروف است به تصویربرداری کتراست دینامیک قابلیت پذیرش (DSC). با استفاده از یک دنباله تصویربرداری سریع (نوعاً EPI)، ۵۰ تصویر متوالی در حین تزریق کتراست، در مدت زمان

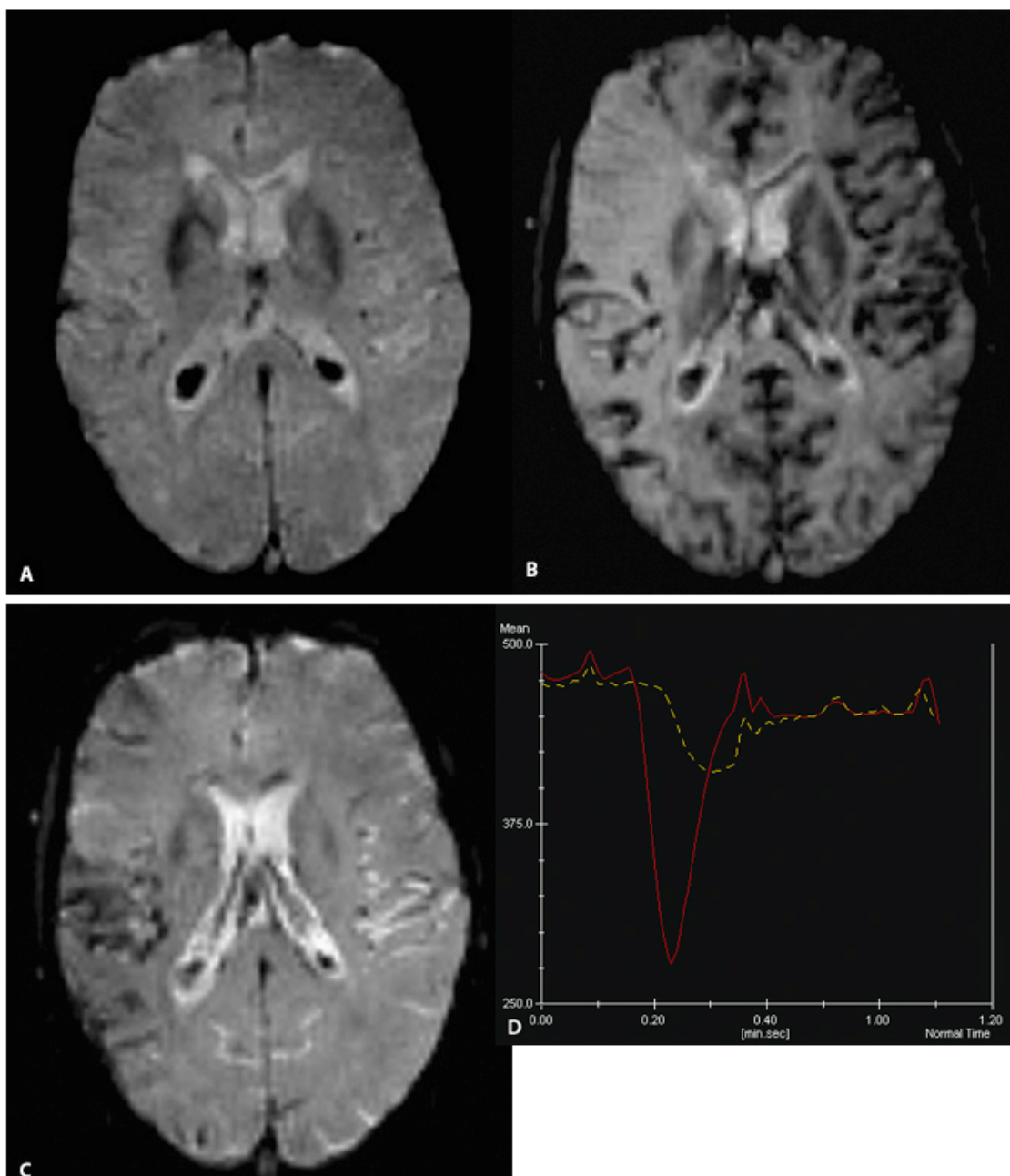
تقریبی ۷۰ ثانیه، به دست می‌آید. تزریق بولوس کتراست ۱۰-۵ ثانیه بعد از شروع دنباله تصویربرداری انجام می‌گیرد، تا مطمئن باشیم که تعداد کافی تصویر مبنا به دست می‌آید. دوز لازم کتراست 0.2 mmol/kg (یعنی برای یک فرد با وزن 75kg ، 30ml) با سرعت تزریق 5ml/s (کاتتر 18G در ورید چین قدمی آرنج) می‌باشد، که با تزریق $20-30\text{ml}$ سالین دنبال می‌شود، تا باقیمانده گادولینیوم را از لوله، ورید بازویی، و عروق ریوی خارج کند. در صورت دردسترس بودن، باید از تزریق کننده خودکار استفاده شود، اگرچه برخی تجربیات نشان می‌دهد که نتایج کافی را با تزریق دستی (دو سرنگ، حاوی کتراست و سالین متصل به یک کاتتر با شیردوراهی) نیز می‌توان به دست آورد. تصاویر متوالی به طور همزمان در وضعیت‌های متعدد برش دستیابی می‌شوند. پیشنهاد می‌شود، تصاویر در 50 دسته متوالی در 12 وضعیت برش انجام گیرد، که یک مجموعه 100 تصویری بدست می‌دهد. در صورتی که به وضعیت‌های بیشتر برش نیاز باشد لازم است TR بلندتری انتخاب شود، و این تأثیر منفی روی کیفیت تصاویر دارد.

سپس این تصاویر باید به صورت نگاشتهای پارامتری نظیر شکل ۶-۴ پردازش شوند:

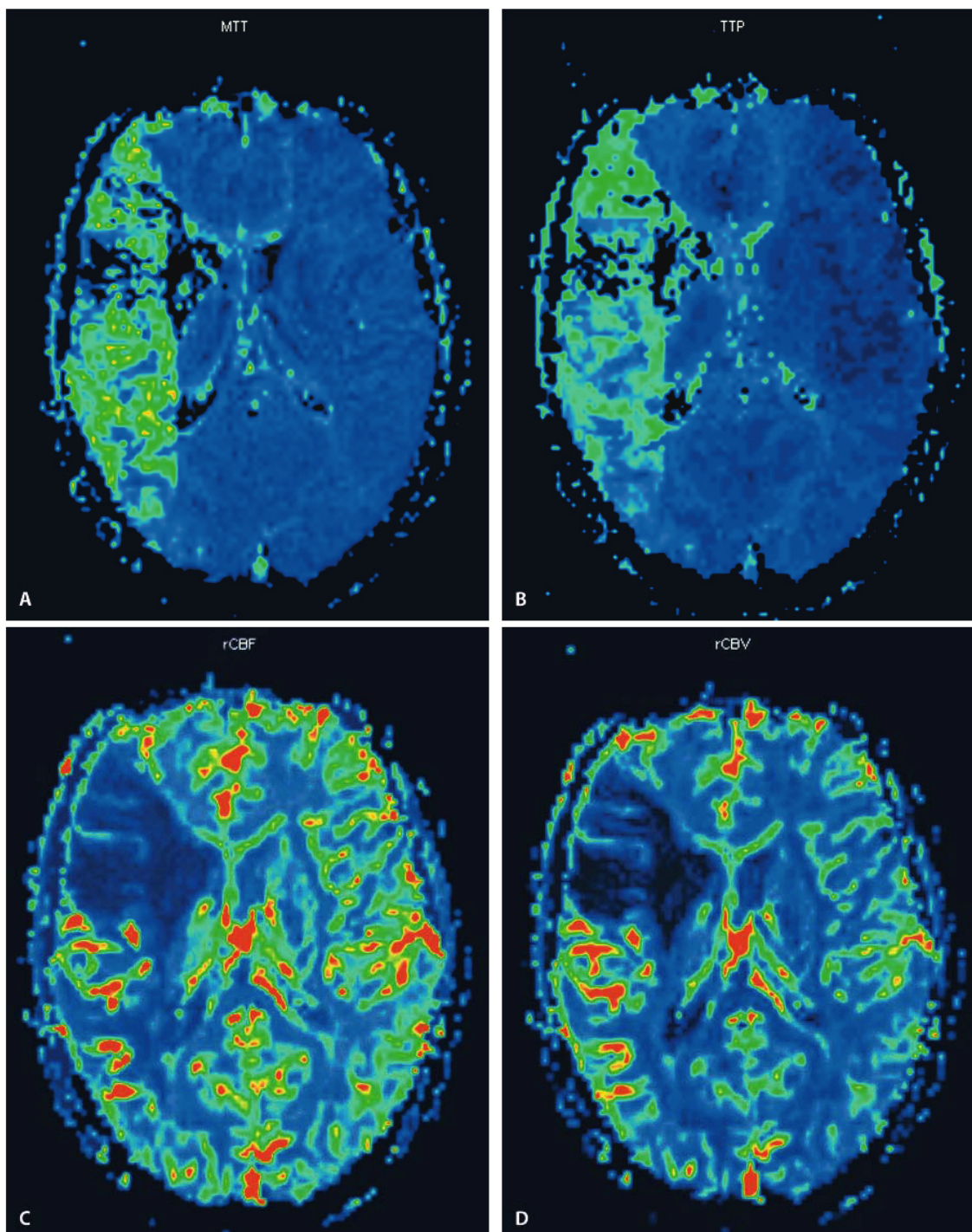
- زمان رسیدن به پیک (Time to Peak (TTP))
- درصد مبنا (Percentage of baseline (PBL))
- زمان عبور میانگین (Mean transit time (MTT))
- حجم خون مغزی (Cerebral blood volume (CBV))
- جریان خون مغزی (CBF)، که با استفاده از فرمول $\text{CBF}=\text{CBV}/\text{MTT}$ محاسبه می‌شود.
- تصویربرداری MR پرفیوژن به طور گسترده در شرایط سکته مغزی حاد و تحت حاد استفاده می‌شود.



شکل ۴-۴ A-D تصاویر وزن دیفیوژن در بیماری با اینفارکشن فوق حاد.



شکل ۴-۵ تکنیک وزن پروفیوژن در بیماری با سکته مغزی فوق حاد در شریان میانی راست (همان بیمار در شکل ۲۳-۴). A. تصویر مبنای پیش از رسیدن بولوس. B. اولین عبور بولوس کتراست. C. بعد از عبور بولوس. D. نمودار شدت- زمان در مدت VOS. اولین عبور عامل کتراست از میان عروق مغزی سبب یک کاهش سریع و تیز در شدت سیگناال می‌شود، که ناشی از یک اثر قابلیت پذیرش در کوتاه شدگی T_2 است.



شکل ۶-۴ نگاشت‌های پارامتری تولید شده توسط تصویربرداری وزن پرفیوژن (PWI) در بیماری با سکته مغزی فوق حاد شریان میانی مغزی راست (همان بیمار در شکل ۴-۲۳ و ۴-۲۴). A نگاشت زمان عبور میانگین (MTT). B نگاشت زمان رسیدن به پیک (TTP). C نگاشت جریان خون مغزی ناحیه‌ای (RCBF). D حجم خون مغزی ناحیه‌ای (RCBV). ناحیه های پروفیوژن مطابق است با توزیع قلمرو شریان (در مقایسه با شکل ۴-۲۳ و ۴-۲۴) است. این بیانگر یک عدم تطابق دیفیوژن-پرفیوژن و نشان‌دهنده نجات‌پذیری بالقوه بافت مغزی است (متن را مطالعه کنید).

هموراژ ساب آراکنوئید

CT حساس‌ترین روش تصویربرداری برای آشکارکردن هموراژ حاد ساب آراکنوئید در MRI به سختی آشکار می‌شود. مگر آنکه زیاد باشد. اعتقاد براین است که فشار بالای اکسیژن در فضای تحت عنکبوتیه مانع از تبدیل اکسی‌هموگلوبین به محصولات پارامنیتیک تجزیه نظیر دی‌اکسی‌هموگلوبین و مت‌هموگلوبین می‌شود. به علاوه، جریان نبض‌دار CSF سلول‌های قرمز خون را جذب و ناپدید می‌کند. گزارش‌های اخیر نشان می‌دهد که تصاویر FLAIR حساس‌تر از دنباله‌های TSE یا SE هستند، اما در فاز حاد، هنوز CT باید روش انتخابی باشد.

رویدادهای مکرر هموراژ حاد ساب آراکنوئید می‌تواند سبب رسوب فریتین و هموسیدرین روی پوشش لپتومنتری مغز شود. این را سایدروزیس سطحی می‌نامند.

بیماری انسداد وریدی (VSOD)

بیماری انسداد سینوس وریدی (VSOD) یک بیماری جدی بالقوه کشنده (٪۳۰ - ٪۸۰) است، تابلو بالینی اغلب غیراختصاصی و گیج‌کننده است. نقش آزمون نورولوژیک دوگانه است: (۱) اثبات وجود یک ترومبوز و (۲) ارزیابی آسیب ایترکرانیال که در نتیجه ترومبوز ایجاد شده است. MRI روش انتخابی در هر دو مورد است.

مشخص کردن یک ورید یا سینوس دچار ترومبوز با MRI

سینوس ساجیتال فوقانی شایع‌ترین محل ترومبوز سینوس دورال است، که با سینوس عرضی، سیگموئید و کاورنوس دنبال می‌شود. ترومبوز ورید عمقی مغزی کمتر شایع است، اما خطرناک‌تر است. انسداد ورید کورتیکال معمولاً همراه با ترومبوز سینوس دورال رخ می‌دهد و ندرتاً به تنها ی دیده می‌شود.

سه روش برای مشخص کردن یک انسداد سینوس وریدی توسط MRI وجود دارد (شکل ۴-۷):

۱- تصویربرداری متداول MR: تفسیر دقیق شدت سیگنال درون لومن سینوس وریدی می‌تواند نشان دهد که آیا شدت سیگنال متناظر با جریان یا ترومبوز است. به خصوص تصاویر FLAIR که امروزه جایگزین تصاویر وزن PD در مغز شده است، مفید می‌باشد: ترومبوز یک سینوس وریدی دورال به صورت ناحیه داخل وریدی با شدت سیگنال بالا آشکار می‌شود.

۲- تصویربرداری جابه‌جایی فاز

۳- MRA (تکنیک «جریان آهسته» یا MR ونگرافی).

روش اول غیرقابل اعتماد است. شدت سیگنال یک لخته خون به سن آن بستگی دارد.

در تصویربرداری جابه‌جایی فاز، به جهت سیگنال MRI نگاه می‌کنیم و نه به بزرگی سیگنال. جهت بردار MRI به حضور یا غیاب جریان مربوط می‌شود. تصاویر جابه‌جایی فاز اطلاعات آناتومیکی به دست نمی‌دهند، بلکه مقصود از آنها فقط نشان دادن وجود یا فقدان جریان است.

به دلیل دسترس بودن MRA تصویربرداری جابه‌جایی فاز امروزه کمتر انجام می‌شود. تکنیک‌های توصیه شده برای MRA در شکن VSOD عبارتند از:

- MRA زمان پرواز (TOF)، مثلاً کرونال ابليک 2D TOF (2D FLASH) با اشباع جریان ورودی شريانی.

- MRA فاز-کتراست، مثلاً آژیوگرافی فاز کتراست قطعه منفرد (single slab phase – contrast) شکل (B-7).

جزئیات بیشتر در مورد تکنیک‌های MRA را در فصل ۱۳ ببینید.

ارزیابی آسیب ایتراکرانیال

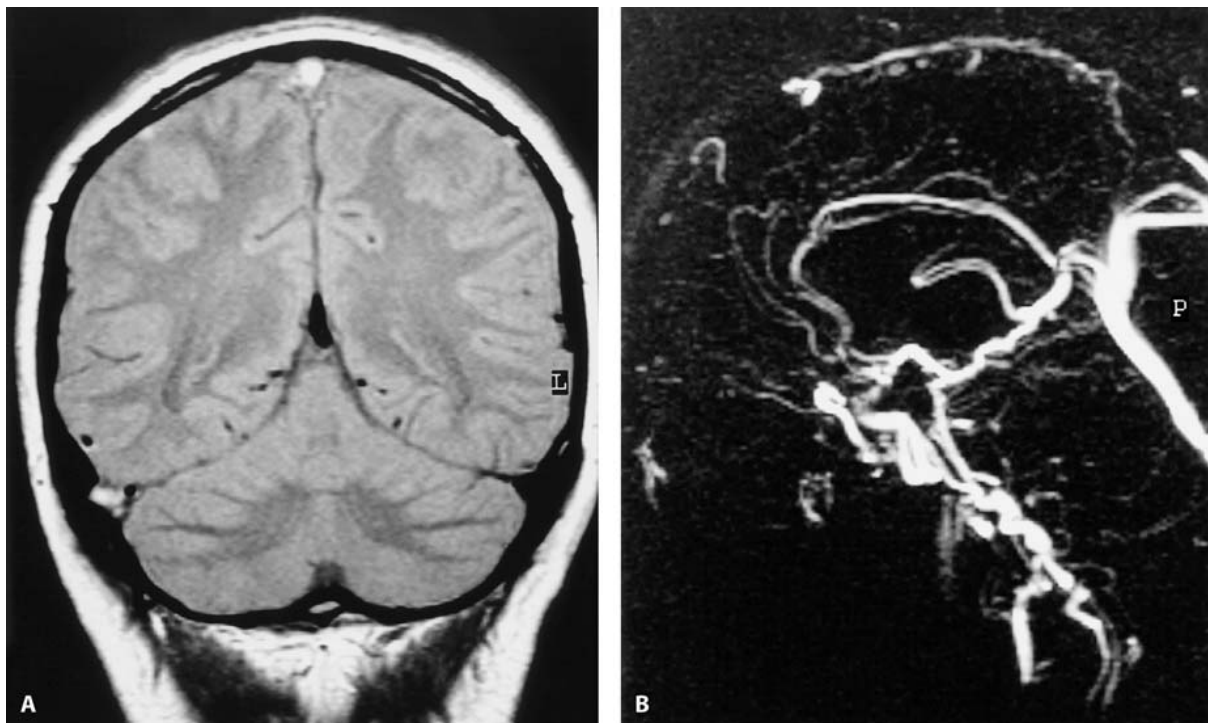
VSOD می‌تواند سبب فشار خون ایتراکرانیال، هیدروسفالوس، اینفارکشن وریدی و هموراژ شود.

مالفرماسیون‌های وریدی

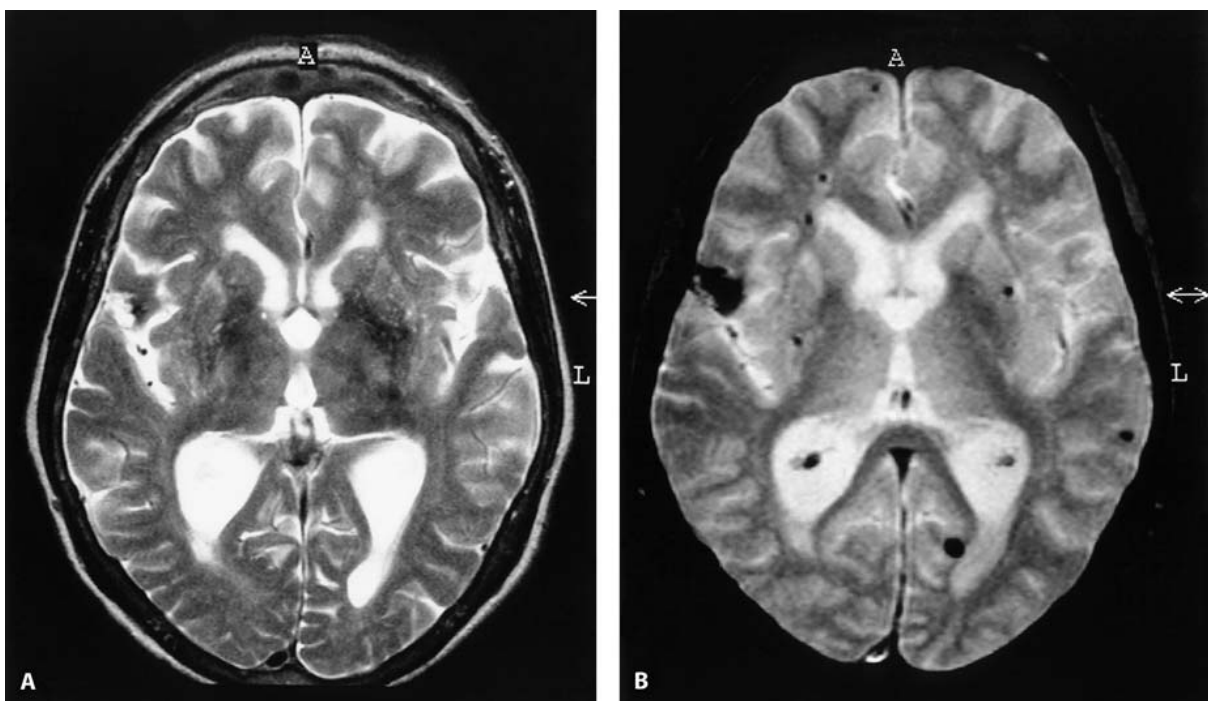
چهار گروه مالفرماسیون‌های وریدی عبارتند از: (۱) مالفرماسیون شریانی وریدی (AVM)، (۲) تلانژكتازی مویرگی، (۳) کاورنوس آژیوما، آنومالی وریدی (آنژیومای وریدی). این آخری به عنوان یک تنوع آناتومیک در نظر گرفته می‌شود و نه یک مالفرماسیون.

AVM‌ها اختلالات مادرزادی و یکی از علل خونریزی‌های ایتراکرانیال می‌باشند. آزمون MRI مکمل آژیوگرافی سربرال در طراحی درمان است. یک وظیفه مهم پروتکل تصویربرداری MRI تعیین آناتومیک صحیح نیدوس و رابطه آن با ساختارهای حیاتی مغزی است. بنابراین آزمون MRI باید شامل تصویربرداری MRA در سه صفحه آکسیال، کرونال و ساجیتال باشد، در حداقل یکی از این سطوح تصویربرداری، تصاویر وزن T_1 و T_2 باید انجام شود.

کاورنوس آژیوما: در CT بدون تزریق کتراست، کاورنوس همانژیوماها به صورت کانون‌های دنس، کوچک و دور اغلب همراه کلسیفیکاسیون دیده می‌شوند. اما تصویربرداری MR حساس‌تر و اختصاصی‌تر، به دلیل حساسیتش به محصولات قدیمی تجزیه خون است. بنابراین پروتکل MRI باید شامل دنباله‌های حساس به محصولات قدیمی خون (هموسیدرین) باشد. دنباله TSE غیرحساس است. یک دنباله spoiled GRE با زاویه فلیپ جزئی با وزن T_2 (FLASH) یا FFE حساس‌ترین روش است (شکل ۴-۸).



شکل B و A ۴-۷ ترومبوز ساجیتال فوچانی و سینوس عرضی راست. کرونال وزن PD. B باساخت MIP یک آنژیوگرافی فاز کتراست (نمای ساجیتال).



شکل B و A ۴-۸ مالتیپل کاورنوس همانژیوما. A تصویر آکسیال T_2 -GRE- TSE- B تصویر آکسیال T_2 -TSE- وجود دارد که به دلیل فقدان حساسیت دنباله TSE به آشکار شده توسط GRE با زاویهٔ فلیپ جزئی در مقایسه با دنباله T_2 وجود دارد که به دلیل فقدان حساسیت دنباله TSE به محصولات تجزیه خون نظیر هموسیدرین است.

۴-۵- آسیب‌های ماده سفید

مقدمه

در ارزیابی رادیولوژیک بیماری ماده سفید، مهم است که سن بیمار و تابلو بالینی هر دو را در نظر بگیریم. بیشتر بیماری‌های ماده سفید یافته‌های مشابه‌ای در MRI دارند، سیگنال‌های کم شدت در وزن T_1 و پرشدت در وزن T_2 . بهبود کتراست یک یافته نادر است. تفاوت‌های ظریف تغییرات ماده سفید می‌تواند کلید تشخیص صحیح باشد.

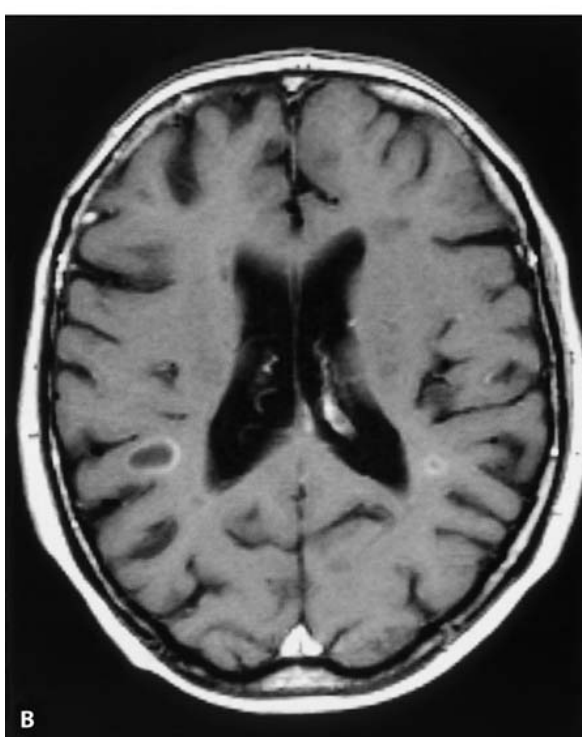
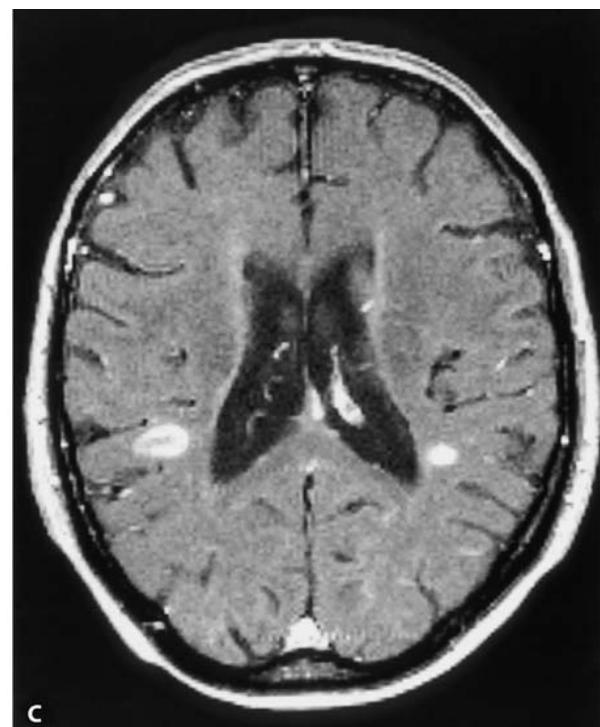
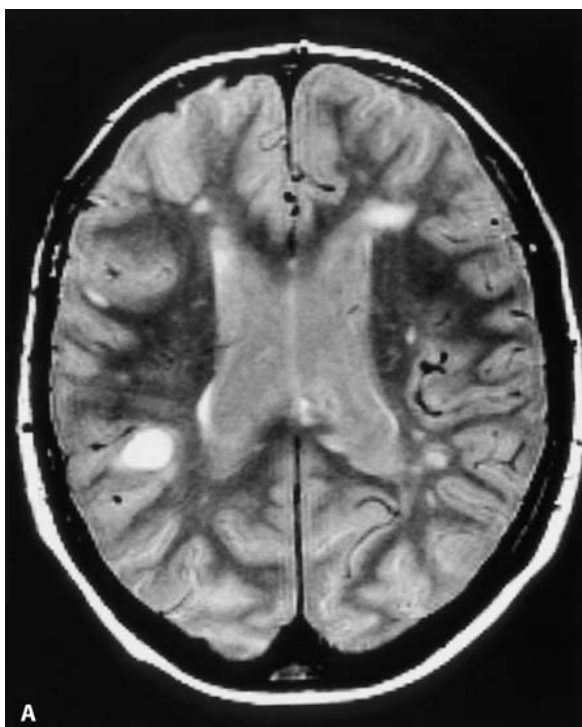
استراتژی تصویربرداری باید با پاتولوژی مورد انتظار که بستگی به سن بیمار دارد، هدایت شود. در اولین سال زندگی، لوكومالشی اطراف بطئی (periventricular leucomalacia) و میلیناسیون تأخیری یافته‌های شایعی هستند. در اولین دهه، لوكودیستروفی‌ها می‌تواند علت تغییرات ماده سفید باشد. در جمعیت بزرگسال، مالتیپل اسکلروز شایع‌ترین بیماری ماده سفید است، در سالخوردگان، افزایش شیوع تغییرات غیر اختصاصی ماده سفید و مرتبط با عروق مشاهده می‌شود. در گروه‌های خاصی از بیماران، بیماری‌های دیگر شایع‌تر است (دمیلیناسیون سمی، کلروز ناشی از تشبع).

جدول ۴-۵ «رد» مالتیپل اسکلروز، تصاویر ساجیتال به خصوص برای نمایش آسیب‌های کورپوس کالوسوم و مرز کالوسپتال مفید است. تصاویر نازک ساجیتال **turbo FLAIR** با ضخامت‌های برش 3mm تا 2mm برای تصویربرداری تفکیک بالا از ناحیه کالوسپتال ضروری است. برش‌های کرونال با سرکوب چربی از کره چشم تا کیاسماهی اپتیک انجام می‌شود.

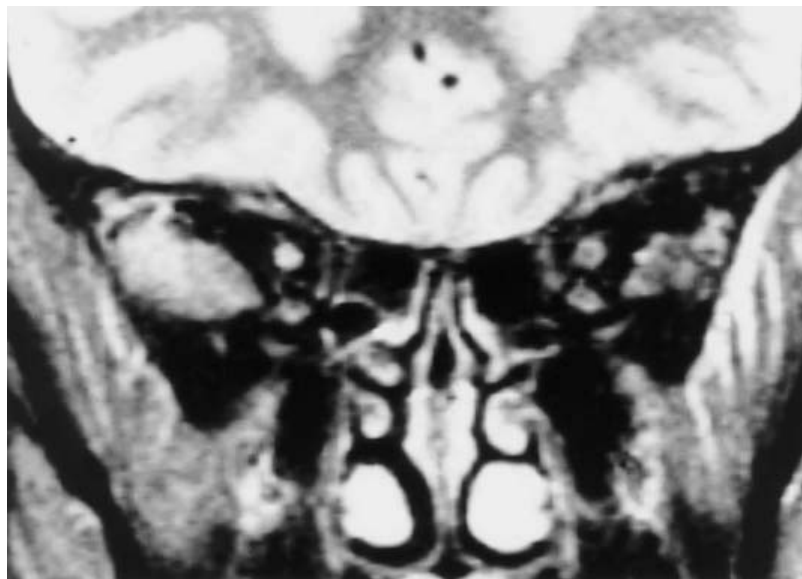
اضافه شده برای «نوریت اپتیک» : دنباله سرکوب چربی (STIR) یا سرکوب چربی بینابی)	ساجیتال با اکوی دوبل PD و T2 (یا ترکیبی از T2-TSE-T2 و turbo FLAIR جدول ۴-۱)	آکسیال با اکوی دوبل T2 و TSE-T2 (یا ترکیبی از T2-TSE-T2 و turbo FLAIR جدول ۴-۱)	دنباله پالس
STIR یا TSE-fat sat	TSE	SE یا TSE	وزن تصویر
STIR یا T2 fat sat	PD-T2	PD-T2	صفحة برش
کرونال	ساجیتال	آکسیال	تعداد برش
۱۵	۱۹-۲۵	۱۹	
۴۰۰۰ - ۹۰۰۰	۳۰۰۰ - ۶۰۰۰	۲۰۰۰ - ۵۰۰۰	TR(ms)
۲۰ - ۳۰	۹۰ - ۱۳۰	۹۰ - ۱۳۰ یا ۱۵ - ۳۰	TE (ms)
۱۰۰ - ۱۵۰	-	۱۸۰۰ - ۲۲۰۰	TI (ms)
۱۸۰	۹۰/۱۸۰	۹۰/۱۸۰	زاویه فلیپ
۷ - ۱۵	۳ - ۲۵	۱۵(TSE) ۱ (SE)	ETL
۳	۳ - ۵	۵	پهنای برش (mm)
۲۵۶	۵۱۲ یا ۲۵۶	۵۱۲ یا ۲۵۶	ماتریس
≤ ۲۰۰	۲۳۰ - ۲۴۰	۲۳۰ - ۲۴۰	FOV
۷۵	۱۰۰	۷۵	recFOV
۲	۱ - ۲	۱ - ۲	تعداد دستیابی

جدول ۶-۴ پروتکل برای تعیین فعال بودن بیماری مالتیپل اسکلروز. این پروتکل فقط باید برای پایش فعالیت بیماری در بیماری با مالتیپل اسکلروز شناخته شده استفاده شود.

ساجیتال T1- (MTC) با تزریق CM دوز دوبل ۵ دقیقه تاخیر	آکسیال T1- CM (MTC) با تزریق دوز دوبل ۵ دقیقه تاخیر	آکسیال T1- (MTC)	آکسیال با اکوی دوبل PD و T2 (یا ترکیبی از T2 و TSE-T2) turbo FLAIR جدول ۶-۱	
SE	SE	SE	SE یا TSE	دباله پالس
T1	T1	T1	PD-T2	وزن تصویر
ساجیتال	آکسیال	آکسیال	آکسیال	صفحة برش
۱۹	۱۹	۱۹	۱۹	تعداد برش
۶۰۰ - ۸۰۰	۶۰۰ - ۸۰۰	۶۰۰ - ۸۰۰	۲۰۰۰ - ۵۰۰۰	TR(ms)
۱۰ - ۱۵	۱۰ - ۱۵	۱۰ - ۱۵	۹۰ - ۱۳۰ یا ۱۵ - ۳۰	TE (ms)
-	-	-	-	TI (ms)
-	-	-	۹۰ / ۱۸۰	زاویه فلیپ
-	-	-	۱۵(TSE) ۱ (SE)	ETL
۵	۵	۵	۵	پهنای برش (mm)
۲۵۶ یا بهتر	۲۵۶ یا بهتر	۲۵۶ یا بهتر	۵۱۲ یا ۲۵۶	ماتریس
۲۳۰ - ۲۴۰	۲۳۰ - ۲۴۰	۲۳۰ - ۲۴۰	۲۳۰ - ۲۴۰	FOV
۱۰۰	۷۵	۷۵	۷۵	recFOV
۱ - ۲	۱ - ۲	۱ - ۲	۱ - ۲	تعداد دستیابی



شکل ۴-۹ مالتیپل اسکلروز: ارزش کتراست انتقال مگنتایزیشن (MT). A. آکسیال TSE وزن PD از بطن‌های جانبی. B. آکسیال SE وزن T_1 (همان سطح برش) با بهبود کتراست Gd. وزن PD چند آسیب ماده سفید را در هر دو نیمکره نشان می‌دهد. الگوی توزیع با MS موافقت دارد. بعد از تزریق Gd، بهبود حلقه مانند (ring-like) در دو آسیب مشاهده می‌شود. تصویر بهبود یافته Gd با MTC بهبود بسیار بیشتری را نشان می‌دهد. به دلیل سرکوب زمینه، نسبت سیگنال به نویز کمتر است.



شکل ۶-۴ نوریت اپتیک. این تصویر کرونال STIR با سرکوب چربی شدت سیگنانال بالای غیرعادی را در عصب اپتیک راست نشان می‌دهد.

۶-۴- عفونت ایتراکرaniel

برای آشکارکردن عفونت‌های ایتراکرaniel MRI نسبت به CT ارجحیت دارد. کاربرد یک ماده کتراست پارامنیتیک ضروری است. در بیشتر موارد پروتکل‌های پیشنهاد شده برای آسیب‌های توده‌ای ایتراکرaniel برای عفونت‌های سربرال نیز استفاده می‌شود.

۶-۷- ترومای کرانیو سربرال

ترومای حاد

در بیمارانی با ترومای حاد، CT مطالعه انتخابی اولیه است. عدم مزایای MRI در وضعیت حاد عبارت است از:

- زمان‌های دستیابی نسبتاً طولانی به جهت حرکات بیمار مشکل آفرین است. با دنباله‌های فوق سریع (ultrafast) می‌توان براین مشکل غلبه کرد، اما همیشه قابل دسترس نیستند.
- مشکلات لجیستیکی در قرار دادن یک بیمار ترومایی روی تخت MRI وجود دارد. سیستم‌های نگهدارنده حیات، تجهیزات پایش، و وسایل ایتیوبه باید با الزامات اتاق MR سازگار باشند.
- در دسترس نبودن اسکنر MR به صورت آماده به کار می‌تواند مشکل آفرین باشد و با جریان عادی پذیرش بیماران تداخل کند.

به این دلایل، در بیشتر بیمارستان‌ها، تکنیک ترجیحی در بیماران ترومایی حاد CT اسکن است. به علاوه، با تنظیمات پنجره استخوان به منظور آشکارکردن شکستگی‌های جمجمه عالی است.

هموراز حاد اپی دورال یک وضعیت تهدیدکننده حیات است. با اینکه هموراز اپی دورال به طور یکسان در CT و MRI دیده می‌شود، CT تکنیک ترجیحی است. CT دارای مزیت آشکارکردن شکستگی‌های استخوان است.

هماتوم ساب دورال به طور یکسان در CT و MRI دیده می‌شود.

برای آشکارکردن هموراز حاد ساب آراکنوئید، CT روش انتخابی است. اگرچه، شواهد رو به رشدی وجود دارد که MRI با دنباله‌های FLAIR می‌تواند برای آشکار کردن هموراز ساب آراکنوئید استفاده شود.

ترومای تحت حاد و مزمن

در حالی که CT تکنیک تصویربرداری انتخابی در ارزیابی ترومای حاد است، تصویربرداری MR در ارزیابی مرحله تحت حاد و مزمن کاربرد گسترده‌ای دارد.

هماتوم مزمن ساب دورال که در CT بدون کتراست نسبت به مغز آیزودنس است به دلیل محتویات مت هموگلوبین شدت بالایی در تصاویر MR وزن T_1 دارد. وقتی یک هماتوم ساب دورال محتوی خونی با سنتین متغیر باشد، MRI ممکن است لایه‌هایی با شدت سیگنال متغیر نشان دهد، که نمایانگر مراحل متغیر فرآیند تجزیه خون است.

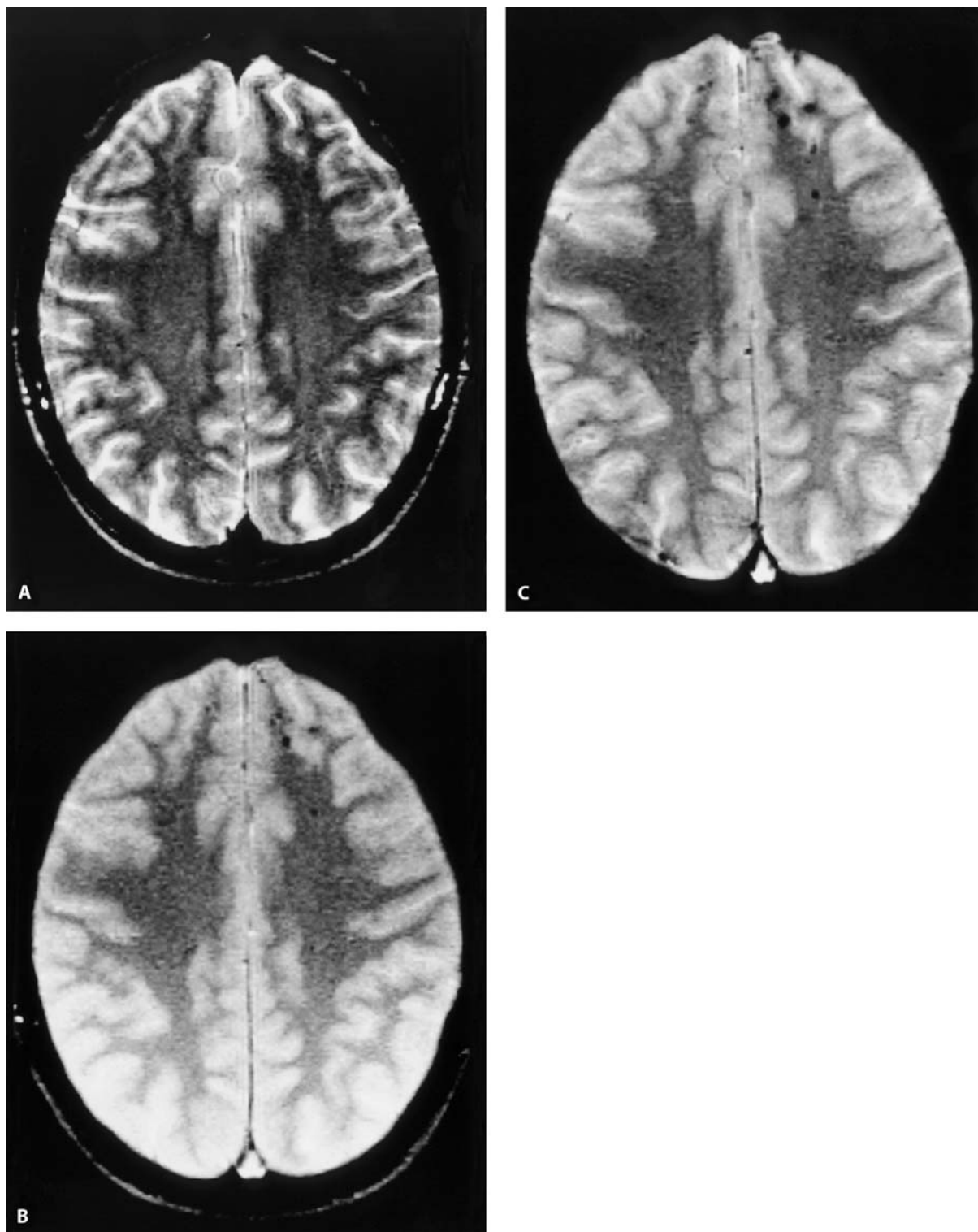
همورازهای بسیار کوچک، در شرایط آسیب متشر آکسونی (DAI)، نیست می‌شود، اما به شرط استفاده از دنباله‌های spoiled GRE یا اکوپلانار (EPI) به خوبی در تصویربرداری MR دیده می‌شوند. هر وقت که سابقه‌ای از ترومای سر وجود داشته باشد، یک دنباله Spoiled GRE، که به محصولات تجزیه خون نظیر هموسیدرین و فریتین، بسیار حساس است، باید به طور روتین به پروتکل اسکن MRI اضافه شود. قابلیت مشاهده آسیب‌های همورازیک DAI در مرحله مزمن با وزن T_2^* ، یعنی در شدت میدان بالا با استفاده از دنباله‌ای با TE بلندتر، بسیار افزایش می‌یابد. استفاده از دنباله FLASH با TE دو گانه ۱۵ms و ۳۵ms توصیه می‌شود، با TE بلندتر آسیب‌های بیشتری مشاهده می‌شود، اما آرتیفیکت‌های قابلیت پذیرش ناشی از ساختارهای محتوی هوا در جمجمه (سلول‌های هوایی ماستوئید، سینوس‌های پارanasal) که می‌تواند آسیب‌ها را در لب‌های مجاور بپوشاند با TE کوتاه تر جبران می‌شود. جدول ۷-۴ پروتکل تصویربرداری در بیماری با سابقه تroma را ارائه می‌دهد.

تصاویر ساجیتال وزن T_1 برای آشکارکردن هموراز حاد یا تحت حاد (مت هموگلوبین)، و برای عواقبی نظیر encephalomalacia بعد از تroma استفاده می‌شود. دنباله turbo-FLAIR و دنباله‌های TSE وزن T_2 برای مشاهده ادم مغزی و آسیب‌های غیر خونریزی دهنده DAI همچنین gliosis بعد از تroma استفاده می‌شوند.

دباله (GRE (FLASH) با اکوی دوگانه برای آشکار کردن محصولات تجزیه خونی (هموسیدرین) به کار می‌رود، اکوی اول (۱۵ ms) برای ارزیابی لب‌های بازال فرونال و تمپورال، ساقه مغز و مخچه استفاده می‌شود. آسیب‌ها در اتصال ماده خاکستری سفید نیم کره‌ای در تصاویر اکوی دوم (۳۵ ms) بهتر دیده می‌شود.

۴-۸- حملات صرعی

هدف اولیه MRI در ارزیابی صرع مشخص کردن و تعیین مکان نوروپاتولوژی یک حمله صرعی است. تشخیص و تعیین مکان آسیب امکانات درمانی را تعیین می‌کند. ناهنجاری‌های گوناگونی می‌تواند سبب صرع شود. در این بخش یک پروتکل تصویربرداری برای صرع ارائه می‌شود. برش‌های اختصاصی از لب گیجگاهی بخصوص در صفحه کرونال در مطالعه حملات صرع ضروری است، به این منظور لازم است برش‌های نازک در صفحه کرونال عمود بر محور بلند لب تمپورال تهیه شود، همچنین در برخی مراکز تصویربرداری آکسیال نیز انجام می‌شود که باید به موازات محور بلند لب تمپورال باشد



شکل ۱۱-۴ آسیب منتشر آکسونی. A آکسیال TSE وزن T_2^* زاویه فلیپ جزئی (TE=۱۵ms). B آکسیال TSE وزن T_2 زاویه فلیپ جزئی (TE=۳۵ms). C آکسیال GRE وزن T_2^* زاویه فلیپ جزئی (TE=۳۵ms). این پسر ۱۷ ساله ۸ ماه پیش از این آزمون یک تصادف موتور سیکلت داشته است. اگرچه آکسیال TSE وزن T_2 کمی آرتیفکت حرکتی دارد، هیچ سیگنال غیرعادی مشاهده نمی شود. برعکس، تصاویر GRE، آسیب‌های متعدد نقطه‌ای، با شدت پایین در اتصال کورتیکو مدولاری و ماده سفید ساب کورتیکال را

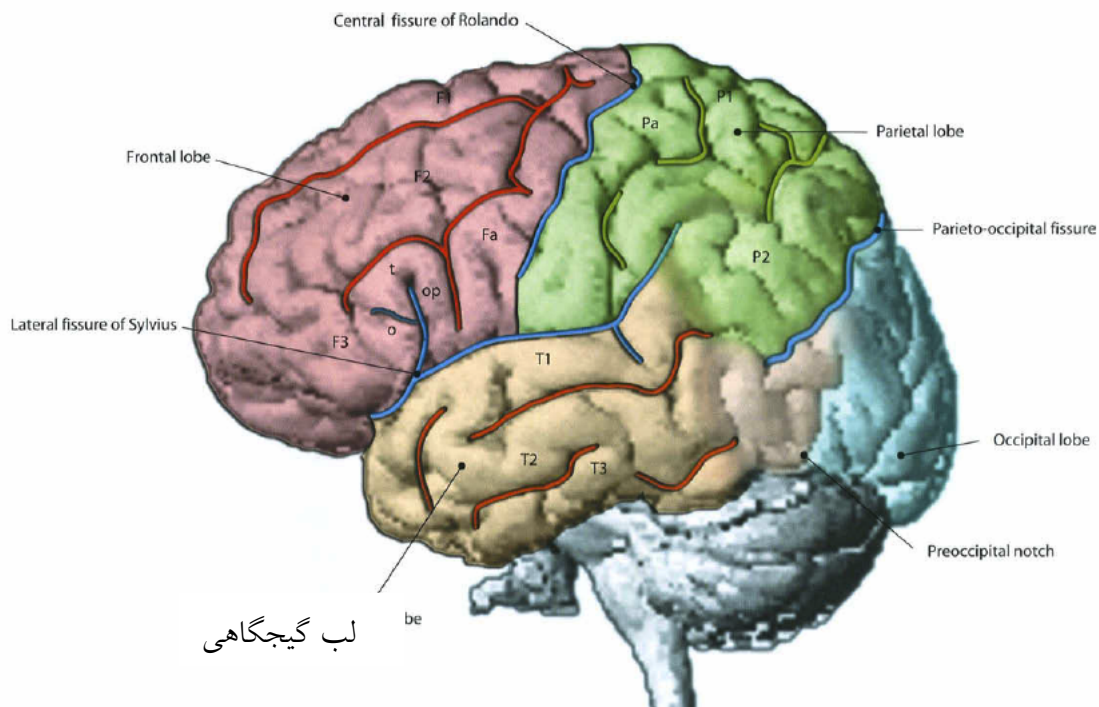
نشان می‌دهد. آرتیفکت قابلیت پذیرش ناشی از محصولات قدیمی تجزیه خون (هموسیدرین) در تصویر GRE C مشهودتر است که به دلیل TE بلندتر است.

جدول ۷-۴ پروتکل ترمومای تحت حاد و مزمن ایتراکرانیال.

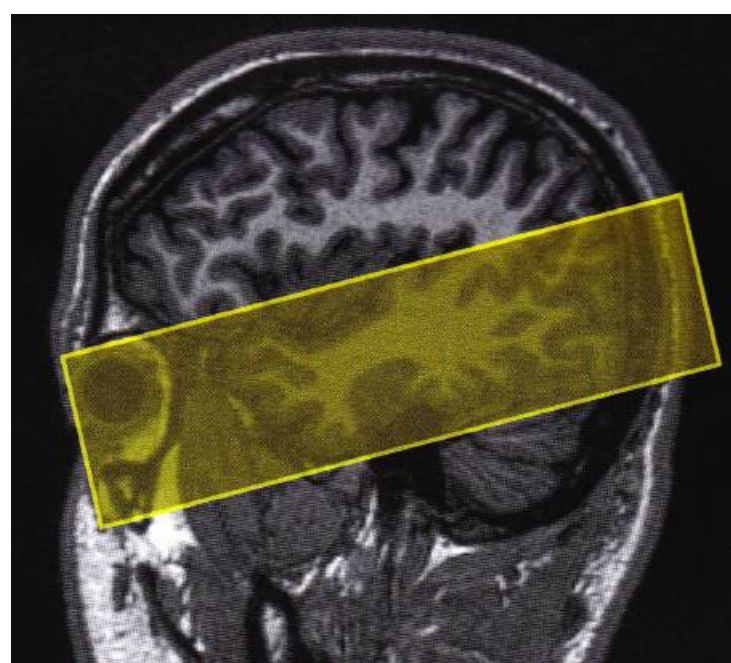
آکسیال- DW	GRE با وزن «قابلیت پذیرش»	آکسیال- turbo Flair	آکسیال- T2	ساجیتال- T1-	
SE- EPI	GRE- FLASH	turbo Flair	TSE	SE	دنباله پالس
DW دیفیوژن	قابلیت پذیرش	T2	T2	T1	وزن تصویر
آکسیال	آکسیال / کرونال	آکسیال	آکسیال	ساجیتال	صفحة برش
۱۲-۱۵	۱۵	۱۹	۱۹	۱۹	تعداد برش
∞	۷۵۰	$۶۰۰۰ = ۱۰۰۰۰$	$۳۰۰۰ - ۶۰۰۰$	۶۰۰	TR(ms)
۱۰۰ - ۱۴۰	۳۰ و ۱۵	۱۰۰ - ۱۵۰	۱۰۰ - ۱۵۰	۱۰ - ۲۰	TE (ms)
-	-	۱۸۰۰ - ۲۲۰۰	۱۸۰۰ - ۲۲۰۰	-	TI (ms)
۹۰/۱۸۰	۲۰	۹۰/۱۸۰	۹۰/۱۸۰	۹۰/۱۸۰	زاویه فلیپ
-	-	۷-۱۱	۷-۱۵	۷-۱۵	ETL
۵	۶	۵	۵	۵	پهنهای برش (mm)
۱۲۸	۲۵۶ یا بهتر	۵۱۲	۵۱۲	۲۵۶ یا بهتر	ماتریس
۲۳۰ - ۳۰۰	۲۳۰ - ۲۴۰	۲۳۰ - ۲۴۰	۲۳۰ - ۲۴۰	۲۳۰ - ۲۴۰	FOV
۷۵	۷۵	۷۵	۷۵	۱۰۰	recFOV
۱	۱-۲	۱-۲	۱-۲	۱-۲	تعداد دستیابی

جدول ۴-۸ پروتکل صرع. سه دنباله اول در این پروتکل، یک بررسی کلی از مغز به دست می‌دهد. هدف از این‌ها، رد تومورها، مالفرماسیون‌های عروقی (مثل آورانوس)، آنومالی‌ها، عفونت، غیره. سه دنباله آخر اختصاصاً روی ناحیه هیپوکامپ مرکز هستند، تا (mesial temporal sclerosis) را آشکار کنند. اینها باید عمود بر محور بلند لب‌های تمپورال باشند. در بیماری با شروع حملات صرعی بعد از تروما، باید یک دنباله گرادیان اکو به منظور رد آسیب اکسونی منتشر اضافه شود.

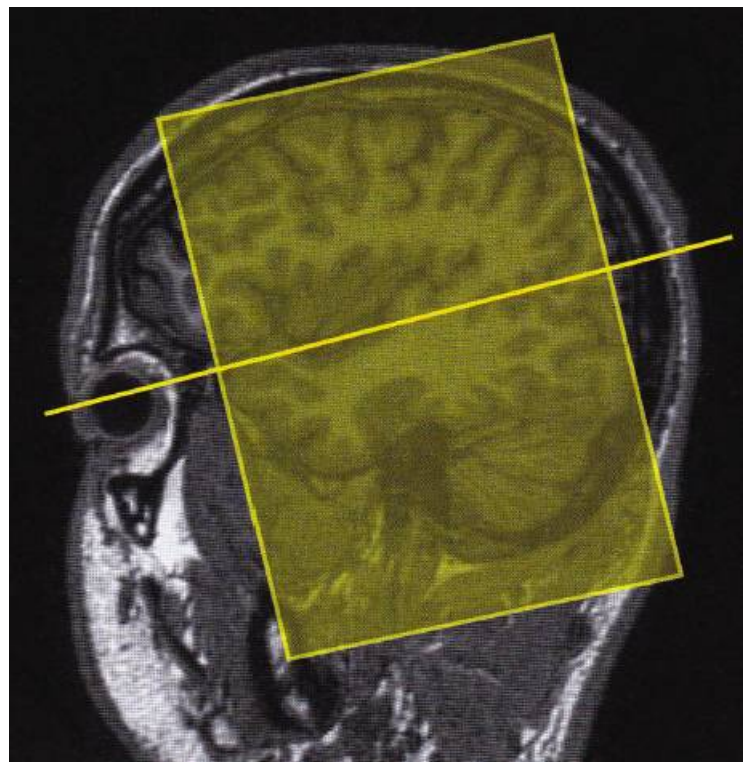
کرونال MP-RAGE با برش نازک	T2-turbo Flair با ضخامت برش ۳ mm	TSE-T2 با ضخامت برش ۳ mm	T2-آکسیال turbo Flair	T2-آکسیال	ساجیتال T1-	
GRE (MP-RAGE)	turbo Flair	TSE	turbo Flair	TSE	SE	دنباله پالس
T1	T2	T2	T2	T2	T1	وزن تصویر
کرونال	کرونال	کرونال	آکسیال	آکسیال	ساجیتال	صفحة برش
(۱۶۰-۲۰۰ mm)	۱۹-۲۵	۱۹-۲۵	۱۹	۱۹	۱۹	تعداد برش
۱۰	۷۰۰۰ = ۱۰۰۰۰	۳۰۰۰ - ۸۰۰۰	۱۰۰۰ = ۷۰۰۰	۳۰۰۰ - ۷۰۰۰	۷۰۰	TR(ms)
۴	۱۰۰-۱۵۰	۳۰ و ۱۵	۱۰۰-۱۵۰	۱۰۰-۱۵۰	۱۰-۲۰	TE (ms)
-	۱۸۰۰-۲۲۰۰	۹۰-۱۳۰	۱۸۰۰-۲۲۰۰	۱۸۰۰-۲۲۰۰	-	TI (ms)
۱۲	۹۰/۱۸۰	۹۰/۱۸۰	۹۰/۱۸۰	۹۰/۱۸۰	۹۰/۱۸۰	زاویه فلیپ
-	V-11	V-15	V-11	V-15	V-15	ETL
۱	۳	۳	۵	۵	۵	پهنای برش (mm)
۲۵۶ یا بهتر	۵۱۲	۵۱۲	۵۱۲	۵۱۲	۲۵۶ یا بهتر	ماتریس
≤ ۲۳۰	≤ ۲۳۰	≤ ۲۳۰	۲۳۰-۲۴۰	۲۳۰-۲۴۰	۲۳۰-۲۴۰	FOV
۷۵	۷۵	۷۵	۷۵	۷۵	۱۰۰	recFOV
۱	۱-۲	۱-۳	۱-۲	۱-۲	۱-۲	تعداد دستیابی



لب گیجگاهی و ساختمان های اطراف آن



لوکالایزر ساجیتال T_1 از لب گیجگاهی برای طراحی برش های آکسیال به موازات لب گیجگاهی - شروع برش از لبه تحتانی تمپورال تا لبه فوقانی کورپوس کالوسوم.



لوکالایزر ساجیتال T_1 از لب گیجگاهی برای طراحی برش های کرونال عمود بر جهت برش های آکسیال (یعنی، عمود بر محور بلند تمپورال).

۱-۵- وضعیت بیمار و کویل‌ها

وضعیت بیمار

در MRI ستون فقرات گردن و پشتی، بیمار سوپاین و سر ابتدا وارد می‌شود. برای تصویربرداری مهره‌های تحتانی پشتی اگر بیمار خیلی بلندقد نباشد، پاها می‌تواند ابتدا وارد شود، در غیر این صورت پیش از آنکه اسکن به اتمام برسد، ممکن است پاهای بیمار به انتهای تونل مگنت برخورد کند. اگر مگنت در دو طرف باز باشد، مشکل ساز نیست.

کویل‌ها

به طور کلی، دو نوع کویل در تصویربرداری ستون فقرات استفاده می‌شود: کویل‌های پلاریزه خطی (LP) و پلاریزه حلقوی (CP). کویل‌های CP تصاویری با SNR بالاتر تولید می‌کنند. بنابراین کویل‌های CP ارجحیت دارند.

اگرچه تمام کویل‌ها برای دریافت سیگنال بیمار طراحی شده‌اند، فقط کویل‌های خاصی برای ارسال پالس‌های رادیو فرکانس (RF) نیز استفاده می‌شوند. این کویل‌های دریافت - ارسال (گیرنده - فرستنده) تصاویر بهتری تولید می‌کنند. معمولاً، فقط یک نوع کویل برای تصویربرداری ستون فقرات پشتی و کمری استفاده می‌شود. این کویل به صورت مسطح می‌باشد که در یک نگهدارنده کمر (یا توارسیک) یا در داخل تخت MR قرارداد. بسته به نوع کویل و سازنده آن، این کویل‌ها یک میدان دید (FOV) حداقلی Cm ۲۵-۴۰ تولید می‌کنند.

یک کویل ستون مهره‌های گردانی (CS) معمولاً ارتفاع بیشتری دارد تا گردن بیمار را بهتر نگه دارد. کویل CS از دو قسمت تحتانی و فوقانی ساخته می‌شود، هنگامی که گردن بیمار روی قسمت تحتانی قرار گرفت، قسمت فوقانی تنظیم و ثابت می‌شود. حداقلی FOV این کویل‌ها اتصال کرانیوسرویکال، CS و اتصال سرویکوتورسیک را پوشش می‌دهد. بسته به طراحی و ساختمان بدن بیمار، تصویربرداری از مهره اول تا مهره ششم پشتی ممکن است امکان‌پذیر باشد. برخی سازندگان نیز کویل‌های حلقوی سلنوئید ارائه می‌کنند که دور تا دور گردن بیمار قرار می‌گیرد. این کویل‌ها FOV کوچکتری تولید می‌کنند. کویل‌های قابل انعطاف را در بیمارانی که نمی‌توان آن‌ها را روی کویل‌های سرویکال وضعیت داد، مانند بیمارانی با گردن کوتاه یا کایفوز زیاد مهره‌های پشتی، می‌توان به کاربرد.

اگر مگنت مجهز به کویل‌های آرایه فازی ستون فقرات باشد، باید از آنها استفاده کرد چون انتخاب کویل و وضعیت دادن بیمار نسبت به کویل کمتر حساس است. استفاده همزمان از چندین کویل آرایه فازی FOV بزرگتری را امکان‌پذیر می‌کند. به علاوه راه‌حل‌های نرم‌افزاری جدید، معروف به تکیک دستیابی موازی (PAT) و SENSE، زمان دستیابی را با استفاده از کویل‌های آرایه فازی در تصویربرداری ستون فقرات با یک میدان دید بزرگ کاهش می‌دهد. اگر کویل‌های آرایه فازی برای ستون فقرات در دسترس

نیاشد، و لازم باشد که بخش بزرگی از ستون فقرات، یا حتی تمام آن تصویربرداری شود، کویل تنہ داخلی (built-in) باید استفاده شود. بسته به همگنی میدان مغناطیسی خارج از مرکز مگنت و طول کویل‌های گردابیانی، ۵۰-۴۵ cm از ستون فقرات می‌تواند مشاهده شود (که در اطفال و افراد کوچک اندام تمام ستون فقرات است). اندیکاسیون‌های تصویربرداری از تمام ستون فقرات بدون استفاده از کویل‌های آرایه فازی باید به دقیقت بررسی شوند. اگر کویل تنہ استفاده شود، کیفیت تصویر و به ویژه، کتراست و تفکیک فضایی به حد کیفیت تصاویر تولید شده با کویل‌های لوکال نمی‌باشد. بنابراین، آسیب‌های ظریف می‌توانند نیست شود، مثلاً فتق‌های کوچک دیسک یا آسیب‌های ایترامدولاری، مانند مالتیپل اسکلروز (MS)، بنابراین توصیه می‌شود که در چنین مواردی آزمون قسمت‌های گردن، توراسیک و یا لومبوساکرال به طور جداگانه انجام شوند.

وضعیت دادن کویل در ارتباط با بیمار

هنگام تصویربرداری ستون فقرات توراسیک، قراردادن یک یا چند مارکر روی پوست پشت بیمار پیش از آزمون مفید است. این مارکرها مسئله تعیین سطوح تصویربرداری شده را ساده می‌کنند، به خصوص در سیستم‌هایی که امکان تهیه تصاویر لوکالایزر با 50 cm FOV بزرگ (امکان‌پذیر نیست).

هنگام وضعیت دادن بیماران در کویل گردنی، باید کویل در حدی قرارگیرد که اتصال سرویکوتوراسیک را در تصویر شامل شود. برای به حداقل رساندن حرکات، یک ثابت‌کننده گردنی را می‌توان به کاربرد. در بیمارانی با کایفوز شدید توراسیک و با گردن خشک، وضعیت نرمال در کویل گردن غیرممکن می‌شود. برخی کویل‌ها بدون آنکه قسمت فوکانی متصل باشد اجازه تصویربرداری را می‌دهند ولی باید مراقب بود که فاصله گردن تا کویل زیاد نشود.

برای تصویربرداری از کمر بدون کویل‌های آرایه فازی، مرکز کویل باید حدود 5 cm بالاتر از کرست ایلیاک (که معمولاً در سطح L4-L5 قراردارد) باشد. FOV باید کونوس مدولاریس و ساکروم را دربرگیرد. در تمام تصویربرداری‌ها باید سعی شود که مرکز ناحیه مورد نظر منطبق با مرکز مگنت (نقطه آیزوسترن) باشد.

۲-۵- پروتکل دنباله

راهنمایی‌های کلی

به طور کلی، تصاویر ساجیتال و آکسیال در تصویربرداری ستون فقرات به دست می‌آید. تصاویر وزن T_1 و T_2 اطلاعات تکمیلی و متفاوتی نمایش می‌دهند.

در وزن T_2 دیسک‌های نرمال بین مهره‌ای روشن هستند. با افزایش سن، کاهش آب دیسک رخ می‌دهد، زمان آسایش T_2 کوتاه می‌شود، و به تدریج دیسک تاریک‌تر می‌شود (بیماری دژنراتیو دیسک یا بیماری «دیسک سیاه»).

اگرچه، با طول قطار اکو بلندتر ETL (بیشتر) (اکوهای بیشتری بعد از هر پالس 90° نمونه‌گیری می‌شود)، به دلیل برخی آثار فیزیکی معین، دیسک نرمال نیز تاریک‌تر ظاهر می‌شود (شکل ۱-۵). بنابراین، به منظور تشخیص صحیح بیماری دژنراتیو دیسک،

تصاویر ساجیتال وزن T2 با یک ETL نسبتاً کوتاه (مثلاً ۱۵ یا کمتر) ترجیح داده می‌شود. ساجیتال T_2 همچنین برای مشاهده طناب نخاعی و ریشه‌های عصبی cauda equina عالی است. و استنوزکانال نخاعی و اثر روی thecal sac به راحتی در ساجیتال T_2 مشاهده می‌شود. مهم است بدانیم که دنباله‌های fast spin-echo (FSE) یا turbo spin-echo (TSE) در تشخیص بیماری marrow-infiltrating کمکی نمی‌کند مگر آنکه تکنیک‌های سرکوب چربی استفاده شوند.

برای آشکارکردن بیماری‌های مغز استخوان، مانند تغییرات دژنراتیو صفحه انتهایی (end plate) یا متاستازهای مهره، تصاویر ساجیتال وزن T_1 حساس‌تر از تصاویر وزن T_2 بدون سرکوب چربی است، اما بازگشت وارونه کوتاه TI (STIR) یا هر سرکوب چربی وزن T_2 نیز می‌تواند آشکار شدن بیماری‌های معین مغز استخوان را افزایش دهد. همچنین، اختلاف بین استئوفیت‌ها و مواد دیسکی (با یا بدون بیرون‌زدگی دیسک) معمولاً در وزن T_1 بهتر مشخص می‌شود، به خصوص در CS.

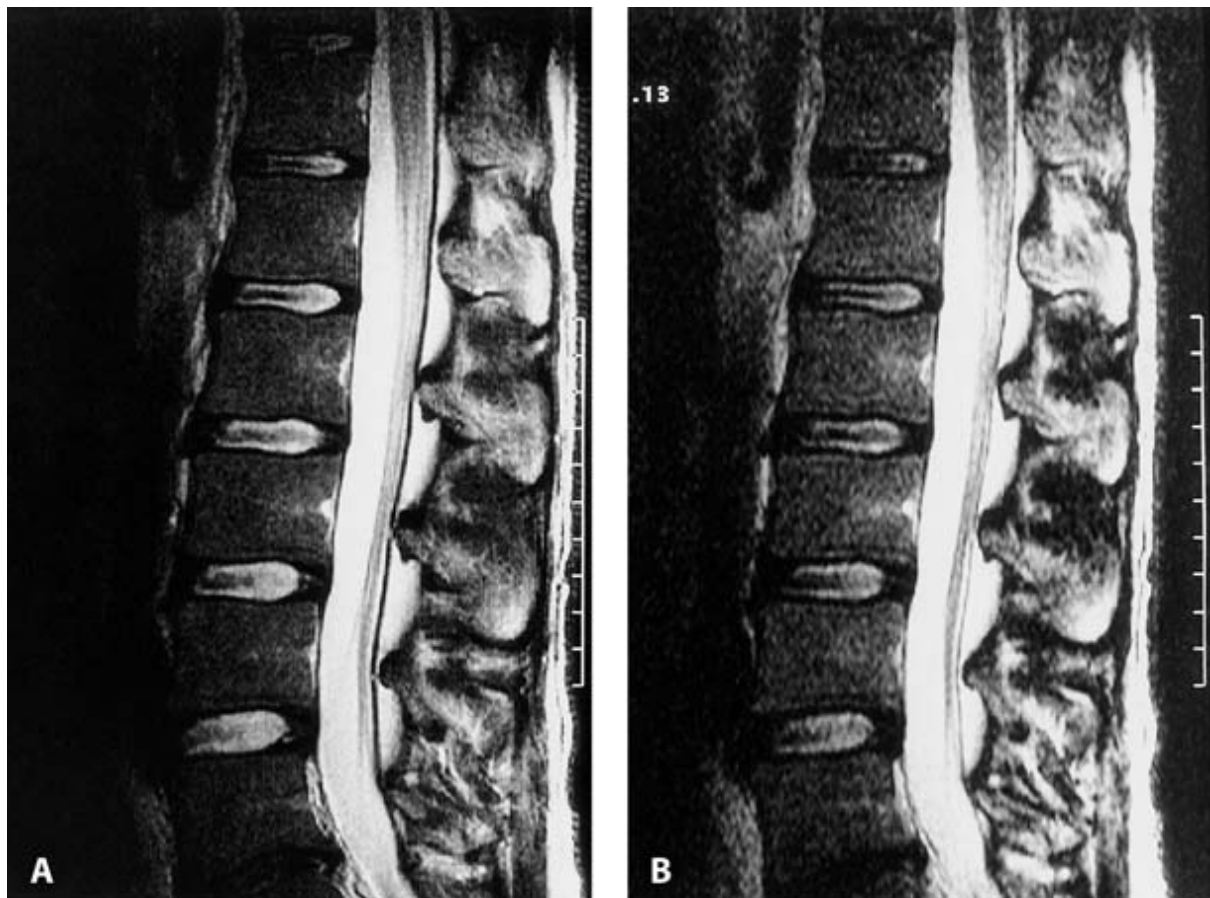
بافت چربی اپی‌دورال در ستون فقرات کمر (و توراسیک) در تصاویر وزن T_1 بسیار روشن است و به خوبی dural sac و دیسک بین مهره‌ای را متمایز می‌کند. به این دلیل است که تصاویر آکسیال وزن T_1 در ناحیه (توراکو) لمبار ترجیح داده می‌شود. چون با تکنیک‌های جدیدتر زمان‌های دستیابی کوتاه‌تر شده است، تصاویر آکسیال وزن T_2 نیز به پروتکل تصویربرداری استاندارد (توراکو-) (لمبار اضافه شده است. این دنباله مشاهده عالی ریشه‌های عصبی را در ارتباط با ساختارهای دیگر، به خصوص دیسک بین مهره‌ای امکان‌پذیر می‌کند.

در CS بافت چربی اپی‌دورال وجود ندارد، بلکه یک شبکه وریدی اپی‌دورال وجود دارد. برای بهینه‌کردن کتراست بین دورال ساک و دیسک‌های بین مهره‌ای، تصاویر آکسیال وزن T_2 ترجیح داده می‌شود. این تصاویر همچنین در آشکارکردن بیماری مدلولار مفید است. در اسپین اکوی (SE) مرسوم و TSE وزن T_2 ، مشکل می‌توان استئوفیت‌ها را از مواد دیسک متمایز کرد. در تصاویر گرادیان اکو (GE)، معمولاً می‌توان این‌ها را متمایز کرد چون استخوان شدت پایین و دیسک شدت بالا دارد. به علاوه زمان کوتاه‌تر TE در دنباله‌های وزن T_2 گرادیان اکو در مقایسه با SE آرتیفیکت‌های ناشی از ضربان CSF را کاهش می‌دهد.

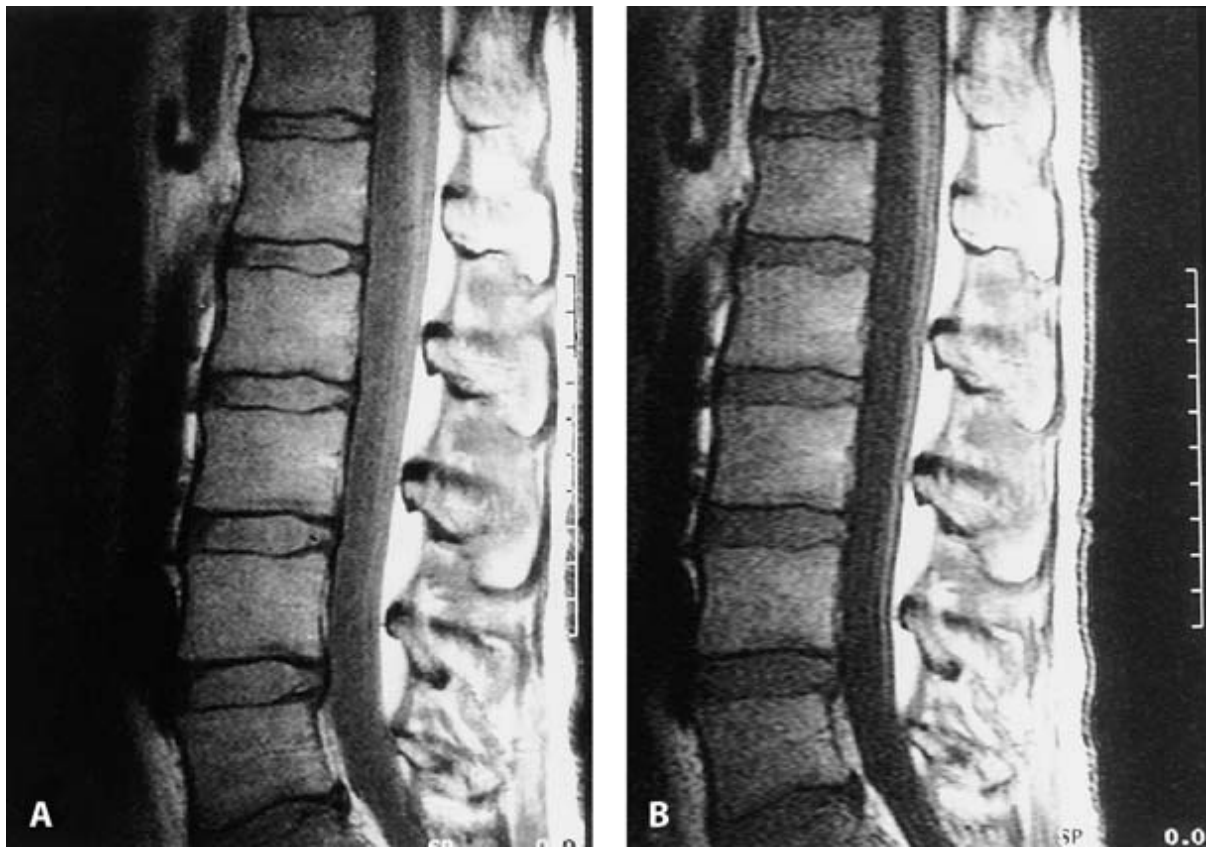
تصاویر لوکالایزر

بعد از وضعیت دادن به بیمار، تصاویر لوکالایزر (متراծه با تصاویر scout، یا تصاویر survey) مید ساجیتال و کرونال به دست می‌آید. نوع دنباله‌های مورد استفاده برای این منظور اهمیت چندانی ندارد و به سازندگان سیستم بستگی دارد. FOV لوکالایزرهای باید بزرگتر از FOV تصاویر مورد نظر باشد. همان نوع کویل (سطحی یا تنی) باید استفاده شود که برای آزمون واقعی استفاده می‌کنیم. لوکالایزرهای کرونال باید از وسط ستون فقرات تهیه شوند.

دنباله‌های ساجیتال از روی لوکالایزرهای کرونال موازی با ستون فقرات وضعیت داده می‌شوند. تصاویر آکسیال از روی تصاویر لوکالایزر ساجیتال وضعیت داده می‌شوند، عمود بر اسپینال کانال، و نه موازی با دیسک بین مهره‌ای.



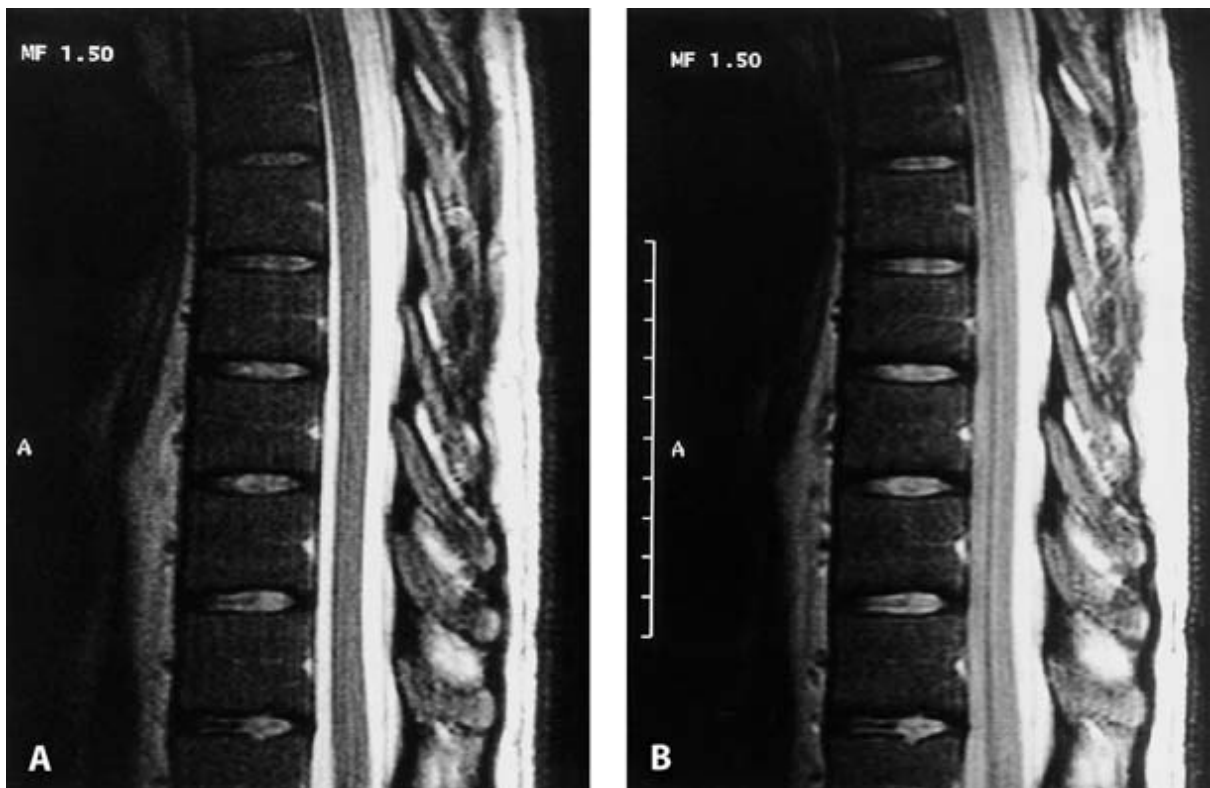
شکل ۱-۵- تصاویر وزن T_2 معمولی و فوق سریع در یک فرد. A دنباله توربو اسپین اکو (TSE) متداول. B دنباله فوق سریع (ultrafast). برای پارامترهای کامل دنباله جدول ۵-۱ و ۵-۲ را ببینید. به تفکیک فضایی عالی هر دو تصویر توجه کنید (هر دو با ماتریس ۵۱۲ به دست آمده‌اند). دنباله ultrafast در بیشتر نواحی نویزی‌تر و تاریک‌تر است به جز در مایع مغزی نخاعی (CSE)، که ناشی از طولانی بودن قطار اکو است، این می‌تواند در تشخیص صحیح بیماری دژنراتیو دیسک مشکل ایجاد کند.



شکل ۲-۵ تصاویر ساجیتال وزن T_1 توربو اسپین اکو (SE) و اسپین اکو (TSE) در یک فرد. A دنباله روتین TSE (برای پارامترهای کامل دنباله جدول ۱-۵ را ببینید). B دنباله SE (TE 15، TR 500، ۴' ۱۹"، ۲۵۶×۵۱۲)، دنباله SE در جهت فاز (آنتروپوستریور) تفکیک کمتری دارد تا زمان طولانی‌تر دستیابی را تا حدی جبران کند. کتراست تصویر بسیار شبیه است، اما SNR در تصویر TSE به وضوح بیشتر است. بنابراین دلیلی ندارد که از دنباله‌های SE در تصویربرداری معمولی ستون فقرات استفاده کنیم.

نواحی اشباع

تکنیک‌های اشباع از یک پالس انتخابی استفاده می‌کنند که روی بافت‌های خارج یا داخل FOV اعمال می‌شود. مقصود از این‌ها تهییج (یا اشباع) اسپین‌های متحرک است که در خارج از ناحیه مورد نظر قراردارند. برای حذف آرتیفکت‌های ناشی از حرکت در خارج از ستون فقرات مفید هستند. آرتیفکت‌های کدگذاری فاز که به دلیل حرکت بافت‌ها در این ناحیه ایجاد می‌شود، مانند تنفس، بلع، حرکت قلب، جریان ضربان دار خون، غیره. اگر اشباع به حد کافی موثر نباشد، به جای یک باند بزرگ می‌توان از دو باند کوچکتر استفاده کرد.



شکل ۵-۳ جبران جریان مایع مغزی نخاعی (CSF). تصاویر ساجیتال وزن T_2 میدتوراسیک در یک فرد. A دنباله روتین TSE برای ستون فقرات پشتی. B دنباله بدون جبران جریان CSF (در واقع این دنباله در ستون فقرات کمری استفاده می‌شود) (برای پارامترهای کامل دنباله جدول ۱-۵ را ببینید). تصویر B اندکی محو است، به خصوص در سطح مدولای توراسیک، که ناشی از عدم جبران حرکات بالا و پایین رونده CSF (ضربان CSF در جهت خوانده شدن) است.

دنباله‌های اختصاصی

تصاویر کروناł

تصاویر کروناł می‌تواند در ارزیابی اسکولیز ستون فقرات مفید باشد. همچنین توسعه فرآیندهایی پارا اسپاینال فرآیندهایی نظیر، *foraminal neurinoma* با وضوح بیشتری تصویر می‌شوند. نهایتاً، آنومالی‌هایی مادرزادی در تصاویر کروناł بهتر ارزیابی می‌شوند.

میدان دید بزرگ

در برخی موارد، استفاده از FOV بزرگ می‌تواند مفید باشد. به ویژه در هنگام غربالگری یا مرحله‌بندی متاستازهای مهره‌ای. در صورت دسترسی به کویل‌های آرایه فازی، قسمت‌های بزرگی از ستون مهره‌ها را می‌توانیم با کیفیت عالی تصویربرداری کنیم. با این حال، وقتی کویل‌های آرایه فازی در دسترس نباشد، باید کویل تنہ استفاده شود، و کیفیت تصویر بهینه نخواهد بود. در

متاستازهای مهره مستله ساز نیست، اما در آسیب‌های ظریفتر، نظیر آسیب‌های ایترامدولاری در MS، این تصاویر FOV بزرگ می‌تواند به نتایج منفی کاذب منجر شود.

جدول ۱-۵ پارامترهای دنباله پیشنهادی در MRI استاندارد از کمر و گردن. توراسیک با استفاده از دنباله‌های کمری انجام می‌شود.

ناحیه گردن			ناحیه کمر					
GRE-T2	TSE-T2	TSE-T1	TSE-T2	TSE-T1	TSE-T2	TSE-T1	دنباله پالس	
T2	T2	T1	T2	T1	T2	T1	وزن تصویر	
آکسیال	ساجیتال	ساجیتال	آکسیال	آکسیال	ساجیتال	ساجیتال	صفحة برش	
۱۹	۱۱	۱۱	۳×۵	۳×۵	۱۱	۱۱	تعداد برش	
۹۶۰	۲۹۰۰	۷۵۰	۴۰۰۰	۵۷۰	۴۰۰۰	۸۳۵	TR(ms)	
۲۷	۱۰۲	۱۰	۹۹	۱۴	۱۳۶	۱۲	TE (ms)	
۳۰	۱۸۰	۱۸۰	۱۸۰	۱۸۰	۱۸۰	۱۸۰	زاویه فلیپ	
-	۱۵	۳	۱۵	۷	۱۵	۵	ETL	
۳ - ۵	۳	۳	۴	۴	۴	۴	پهنهای برش (mm)	
۲۵۶×۲۲۰	۵۱۲×۳۰۸	۵۱۲×۳۰۸	۵۱۲×۳۰۸	۵۱۲×۳۰۸	۵۱۲×۳۰۸	۵۱۲×۴۱۰	ماتریس	
۲۰۰×۲۰۰	۲۸۰×۲۸۰	۲۸۰×۲۸۰	۲۳۰×۲۳۰	۳۲۰×۳۲۰	۳۲۰×۳۲۰	۳۲۰×۳۲۰	FOV	
۱۹۵	۱۹۱	۱۹۵	۱۳۰	۱۳۰	۱۳۰	۱۹۵	پهنهای باند (Hz)	
۳:۳۰	۲:۴۷	۳:۳۲	۱:۳۸	۲:۳۴	۲:۳۴	۲:۱۹	زمان دستیابی (min)	

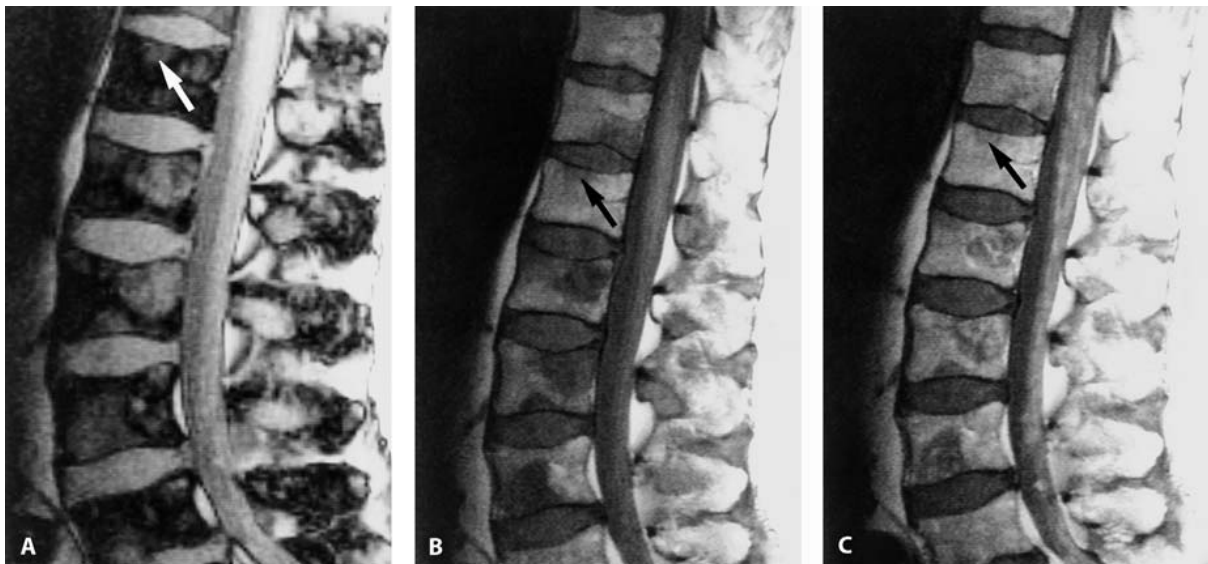
دنباله‌هایی با سرکوب چربی

در CS، چربی ایترال اسپاینال وجود ندارد، و دنباله‌های سرکوب چربی کاربرد محدودی دارند. در ستون فقرات کمر، سرکوب چربی را می‌توان برای متمایزکردن بافت اسکار از بافت چربی اپی دورال در تصاویر وزن T_1 با تزریق گادولینیوم در بررسی ستون فقرات بعد از جراحی استفاده کرد. با این وجود، همین نتایج را می‌توان با تفریق تصاویر قبل و بعد از تزریق کتراست بدون سرکوب چربی به دست آورد. در برخی موارد نادر، تکنیک‌های سرکوب چربی می‌تواند در تمایز بین خون و چربی مفید باشد.

تصویربرداری خارج از فاز (out of phase)

تصاویر خارج از فاز یا فاز مخالف (opposed phase) در تصاویر GRE هنگامی رخ می‌دهد که TE برابر با زمان مورد نیاز برای پروتون‌های آب و چربی است تا 180° از فاز خارج شوند. در این شرایط، اجسامی که محتوی مقدار یکسانی پروتون‌های آب و چربی هستند در تصاویر MR شدت کمی دارند (hypointense)، یعنی سیاه هستند، چون سیگنال‌های آب و چربی یکدیگر را خشی خواهند کرد. در افراد بزرگسال، تنه مهره‌ها از مقادیر کم و بیش یکسان آب و چربی ساخته می‌شود. هنگامی که یک فرآیند

پاتولوژیک این تعادل را برهم می‌زند، نواحی سیگنال بالا در مهره‌ها دیده می‌شود، که در برابر زمینه نرمال سیاه به طور واضح مشهود می‌باشد. یک کاربرد متداول آن در غرباگری متاستازهای مهره‌ها است. یک استثناء متاستازهای استئوبلاستیک است، که در تصاویر خارج از فاز سیاه باقی می‌ماند (شکل ۴-۵) بنابراین همیشه باید تصاویر استاندارد وزن T_1 دستیابی شود.



شکل ۴-۵ متاستازهای مهره. گرادیان اکوی خارج از فاز T_1 . A. out of phase. B. بدون تزریق کترast. C. پس از تزریق گادولینیوم. تصویر وزن T_1 در پنجه مهره کمر درگیر شده است. برای نمونه، یک متاستاز کوچک در مجاورت صفحه انتهایی فوچانی (L1 پیکان) دیده می‌شود.

تصویربرداری فوق سریع

در برخی بیماران (کودکان، بیمارانی که همکاری نمی‌کنند، و غیره)، کوتاه کردن زمان تصویربرداری به منظور کاهش آرتیفکت‌های حرکتی می‌تواند مفید باشد. در این موارد، از پارامترهای دنباله در جدول ۵-۲ می‌توانید استفاده کنید. اگرچه زمان دستیابی به ۱ min یا کمتر کاهش می‌یابد، این دنباله‌های فوق سریع، تصاویری با کیفیت عالی تولید می‌کنند. با حذف نواحی اشباع، بازهم می‌توان زمان را کمتر کرد. SNR اساساً پایین‌تر اما کافی است.

جدول ۲-۵ پارامترهای دنباله در تصویربرداری فوق سریع MR از ستون فقرات کمری و گردن. تصویربرداری ستون فقرات پشتی را می‌توان با استفاده از دنباله‌های ستون فقرات کمر انجام داد.

ناحیه گردن			ناحیه کمر				
GRE-T2	TSE-T2	TSE-T1	TSE-T2	TSE-T1	TSE-T2	TSE-T1	دنباله پالس
T2	T2	T1	T2	T1	T2	T1	وزن تصویر
آکسیال	ساجیتال	ساجیتال	آکسیال	آکسیال	ساجیتال	ساجیتال	صفحة برش
۱۹	۱۱	۱۱	۳×۵	۳×۵	۱۱	۱۱	تعداد برش
۹۶۰	۲۹۰۰	۷۵۰	۴۰۰۰	۵۷۰	۴۰۰۰	۸۳۵	TR(ms)
۲۷	۱۰۲	۱۰	۹۹	۱۴	۱۳۶	۱۲	TE (ms)
۳۰	۱۸۰	۱۸۰	۱۸۰	۱۸۰	۱۸۰	۱۸۰	زاویه فلیپ
-	۱۵	۳	۱۵	۷	۱۵	۵	ETL
۳ - ۵	۳	۳	۴	۴	۴	۴	پهنای برش (mm)
۲۵۶×۱۲۰	۵۱۲×۲۰۵	۵۱۲×۲۰۵	۵۱۲×۲۰۵	۵۱۲×۲۰۵	۵۱۲×۲۰۵	۵۱۲×۲۰۵	ماتریس
۲۰۰×۲۰۰	۲۸۰×۲۸۰	۲۸۰×۲۸۰	۲۳۰×۲۳۰	۲۳۰×۲۳۰	۳۲۰×۳۲۰	۳۲۰×۳۲۰	FOV
۱۹۵	۱۹۱	۱۹۵	۱۳۰	۱۳۰	۱۳۰	۱۹۵	پهنای باند (Hz)
۰ : ۰۳	۰ : ۴۱	۰ : ۳۵	۰ : ۳۵	۰ : ۵۱	۰ : ۴۲	۰ : ۳۵	زمان دستیابی (min)

MR میلوگرافی

علاوه بر دنباله‌های تصویربرداری نرمال MR میلوگرافی می‌تواند مفید باشد. اگرچه دنباله‌های سه بعدی 3D TSE شده است، به طور قابل ملاحظه‌ای زمان کل تصویربرداری را اضافه می‌کنند، بنابراین، دنباله‌های وزن T_2 قطعه ضخیم با یک قطار اکوی بسیار بلند پیشنهاد می‌شود (به شکل ۵-۵ و توضیحات آن مراجعه کنید). اگرچه این دنباله در هر بار فقط یک نما از thecal sac به دست می‌دهد، زمان تصویربرداری آنها بسیار کوتاه است، که این امکان را می‌دهد تا با اجرای دنباله در جهات مختلف (یک نمای فرونتال، یک نمای ساجیتال، و دو نمای ابليک)، نمای مختلفی به دست آورد. این دنباله دارای این مزیت اضافی است که دیگر نیازی به پس پردازش نمی‌باشد (پروجکشن شدت پیشینه لازم نیست).



شکل ۵-۵ MR میلوگرام. (A) MR میلوگرام روتین در یک فرد داوطلب [زمان تکرار TR ۲۸۰۰، زمان اکو TE ۱۱۰۰، طول قطار اکو TA ۲۴۰، TEL ۷s]. در این مثال، یک نمای فرونتال MR میلوگرام (راست) با قراردادن یک برش روی یک تصویر ساجیتال (چپ) به دست می‌آید. ضخامت برش باید به گونه‌ای تنظیم شود که تمام دورال ساک و پوشش‌های عصب را دربرگیرد. جزئیات عالی با ریشه‌ها و پوشش‌های عصب به طور متقارن دیده می‌شود. این دنباله را می‌توان در جهات مختلف اجرا کرد تا میلوگرام‌های ابليک، فرونتال و ساجیتال به دست آيد. (B) و (C) تصاویر یک دنباله ۳D TSE T₂ وزن برای مقایسه زمان دستیابی با اين دنباله به طور قابل ملاحظه‌ای طولانی‌تر است اما دارای مزیت تولید نماهای متعدد است.

آژیوگرافی MR

در تصویربرداری ستون فقرات آژیوگرافی (MRA) کاربرد محدودی دارد. حتی مالفرماسیون‌های شریانی وریدی (MRA) یا فیستول در MRA به سختی تصویر می‌شود. به طور نرمال دنباله‌های بعد از تزریق وزن T_1 کفایت می‌کند.

تصویربرداری وزن دیفیوژن (DWI)

تصویربرداری وزن دیفیوژن DWI یک تکنیک اختصاصی است که از گرادیان‌های مغناطیسی بسیار قوی استفاده می‌کند، که به طور موثری سیگنال ناشی از پروتون‌های متحرک آب آزاد، مثلاً CSF، را خنثی می‌کند. پروتون‌هایی که محدودیت حرکتی بیشتری دارند، مثلاً در آب داخل سلولی، یک سیگنال قابل اندازه‌گیری MR را تولید می‌کنند. حرکت خود به خود پروتون‌ها معروف است به «حرکت بروانی» و منجر به انتشار (دیفیوژن) می‌شود، از این جهت اصطلاح DWI استفاده می‌شود.

این تکنیک به خصوص در آشکار کردن ادم سایتو توکسیک مفید است. چون ایسکمی خیلی زود (بعد از ۱ ساعت) ادم سایتو توکسیک ایجاد می‌کند، DWI قادر به آشکار کردن زود هنگام آسیب‌های ایسکمیک است.

تصویربرداری فانکشنال

تصویربرداری فانکشنال از ستون فقرات عمدتاً یک تصویربرداری نیمه دینامیک است. تصویربرداری flexion/extension از ستون فقرات گردن با دنباله‌های سریع نسبتاً آسان انجام می‌گیرد. اولین تصاویر با خم شدن سر به طرف جلو انجام می‌گیرد. این کار را می‌توان با قراردادن یک بالون باد شونده در زیر سر به آسانی انجام داد. با خارج کردن تدریجی هوا در مقادیر اندک، تصویربرداری در وضعیت‌های مختلف بین فلکشن و اکستنشن انجام می‌گیرد. به این ترتیب ارتباط دینامیکی بین ساختارهای آناتومی و پاتولوژی، مثلاً دیسک هرنیه، را می‌توان ارزیابی کرد. ضروری است تا به جای استفاده از کویل نرمال گردن از کویل قابل انعطاف یا کویل تنہ استفاده شود.

تصویربرداری دینامیک از ستون فقرات کمر به دلیل فضای محدود قابل دسترسی در مگنت مشکل‌تر است. ساده‌ترین راه حل، تصویربرداری از بیمار در حالت سوپاین و پرون است، یعنی شیوه‌سازی اکستنشن و فلکشن. امکان دیگر استفاده از وسایلی با طراحی اختصاصی و یا بالون‌ها یا تصویرکردن بیمار در حالت لترال دکوبیتوس است. این تکنیک‌ها نسبتاً پر زحمت هستند. نهایی فلکشن-اکستنشن از ستون فقرات را می‌توان در وضعیت نشسته با نوع خاصی از سیستم MR باز ایترونشنال (طرح double-doughnut) انجام داد. سیستم‌های جدیدتر اجازه می‌دهند تصویربرداری در حالت ایستاده با تحمل وزن بدن انجام شود، همچنین در حالت خم شدن به راست و چپ و چرخش انجام می‌شود.

اصطلاح تصویربرداری فانکشنال تشدید مغناطیسی (fMRI) همچنین برای آشکار کردن فعالیت نرونی استفاده می‌شود. معمولاً، یک تکنیک اختصاصی MR به نام تصویربرداری وابسته به سطح اکسیژن خون (Blood Oxygen Level Dependent) BOLD، برای آشکار کردن تغییرات ظریف در سطح خونی دی‌اکسی هموگلوبین ناشی از فعالیت نرونی و تطابق ثانویه خودکار

جريان خون است. این تکييك عمدتاً در مغز استفاده می شود، چون آرتيفكت های قabilite پذيرش بدست آوردن تصاویر مفيد از نخاع را مشكل می کند.

مواد كتراس

استفاده از مواد كتراس در بخش های دیگری از اين فصل بحث شده است. رايچ ترين مورد کاربرد گادولينيوم وريدي در ستون فقرات عبارتند از:

۱- ستون فقرات کمری بعد از جراحی، به خصوص بعد از ديسكتومی (استفاده از گادولينيوم اجباری است).

۲- آشكارسازی تومورهای کوچک، به خصوص نورينومها.

۳- تصويربرداری از تومورها به طور کالی

۴- MS و بيماري های التهابي

پaramترهای دنباله

جدول ۱-۵ پaramترهای دنباله استاندارد برای تصويربرداری RFOV از CS، توراسيك و ستون مهره های کمر را فهرست می کند. همه ماترييس های تصاویر با يك FOV بزرگ حداقل باید ۵۱۲ باشد. در برخی ماشين های جديدتر، حتی ماترييس های ۱۰۲۴ نيز امكان پذير است.

ميدان های ديد مستطيلي (RFOV) را می توان برای کوتاه کردن زمان تصويربرداری به کار برد. اگرچه، با کاهش تعداد دستيابي ها نيز می توان زمان را کاهش داد، مثلاً زمان تصويربرداری و SNR در دنباله ای با دو دستيابي و ۵۰٪ RFOV برابراست با يك دستيابي و بدون RFOV (۱۰۰٪). با اين حال، RFOV ممکن است سبب آرتيفكت های تاه شدن (يا پيچش) شود. برای جلوگيري از اين آرتيفكت ها، به طور كلی از بيش نمونه گيري (oversampling) می توان استفاده کرد. در جهت خواندن، بدون طولاني شدن دستيابي می توان بيش نمونه گيري را انجام داد. بيش نمونه گيري در جهت فاز، به طور خطی زمان تصويربرداری را افزایش می دهد، اما SNR نيز افزایش می يابد. به اين دليل، ۱۰۰٪ بيش نمونه گيري و يك دستيابي با دو دستيابي بدون بيش نمونه گيري، از نظر زمان و SNR يكسان است. بنابراین

$$RFOV = \frac{4 \text{ دستيابي}}{2 \text{ دستيابي} + \% 50 \text{ RFOV}}$$

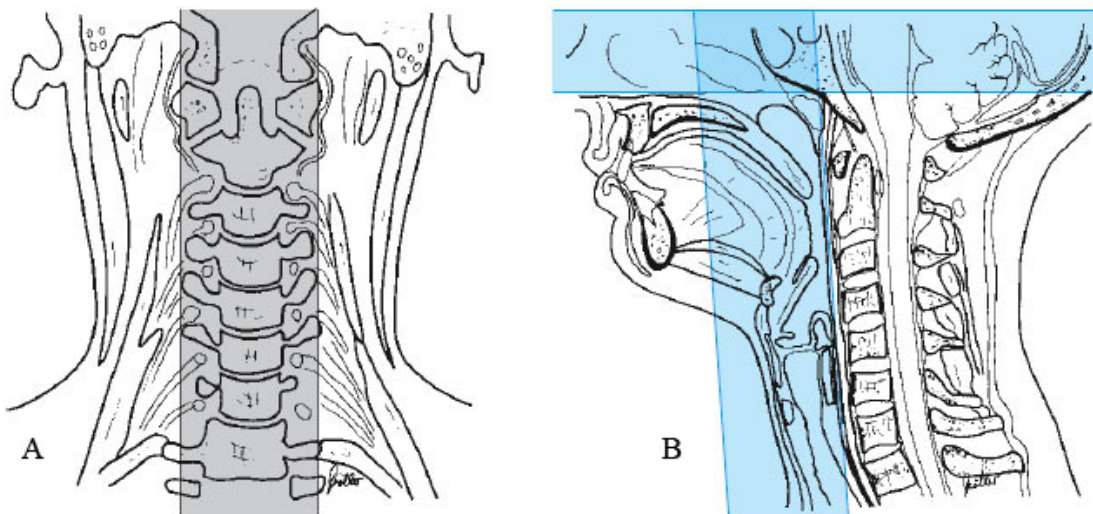
$$RFOV = \frac{1 \text{ دستيابي}}{1 \text{ دستيابي} + \% 200}$$

اما بیش نمونه‌گیری مانع از آرتیفکت‌های تاه شدگی (infolding) RFOV می‌شود. با این حال، مزیت دستیابی‌های بیشتر است، چون تخریب تصویر با آرتیفکت‌های حرکتی وقتی متوسطهای بیشتری به دست آوریم کاهش می‌یابد. چون حرکت (تنفس، تحرک، جریان ضربان خون، مایع CSF، وغیره) معمولاً سبب آرتیفکت در جهت کدگذاری فاز می‌شود، مفید است که جهات کد گذاری فرکانس (read-out) و کدگذاری فاز را تعویض (swap) کنیم. در ستون فقرات کمری، انتخاب کدگذاری فاز در جهت کرانیو کودال آرتیفکت‌های ناشی از ضربان‌های CSF را کاهش می‌دهد.

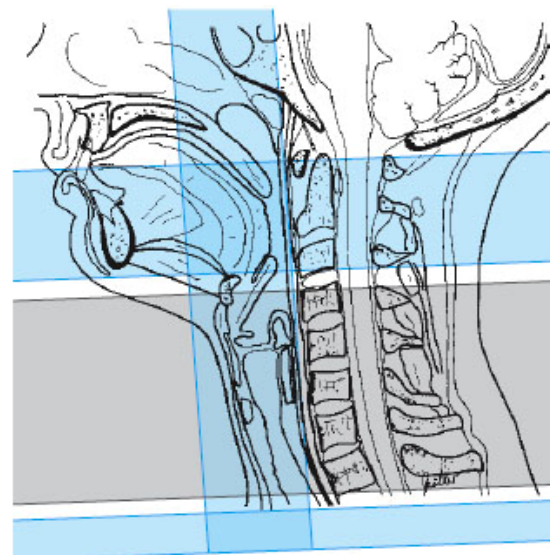
ضخامت و جهت برش

ضخامت برش استاندارد در دنباله‌های ساجیتال ستون مهره‌ها mm ۳-۴ است. تعداد برش‌ها باید فرد انتخاب شود به طوری که برش میانی دقیقاً در میانه طناب نخاعی قرار گیرد. برای برش‌های گردن ضخامت برش mm ۳-۴ و برای کمر ۴-۵mm است، چون فضای دیسک کمری نسبتاً ضخیم‌تر و سوارخ‌های بین مهره‌ای بزرگ است. اگرچه، برش‌های ضخیم‌تر، SNR بسیار بهتری تولید می‌کنند، اما در آشکارکردن هرنی‌های کوچک برش‌های ضخیم‌تر، به دلیل آثار حجم جزئی رضایت‌بخش نیست.

تصاویر ساجیتال باید سوراخ‌های عصبی دو طرف را دربرگیرد. حداقل قسمتی از ناحیه آناتومیک مجاور باید تصویر شود، مثلاً کونوس مدولاریس در تصویربرداری ستون مهره‌های کمری یا اتصال کرانیوسرولیکال در تصویربرداری CS. غیرمعمول نیست که یک تومور کونوس مدولاریس از نظر بالینی به شکل یک رادیکلوپاتی یا دردکمر ظاهر شود.

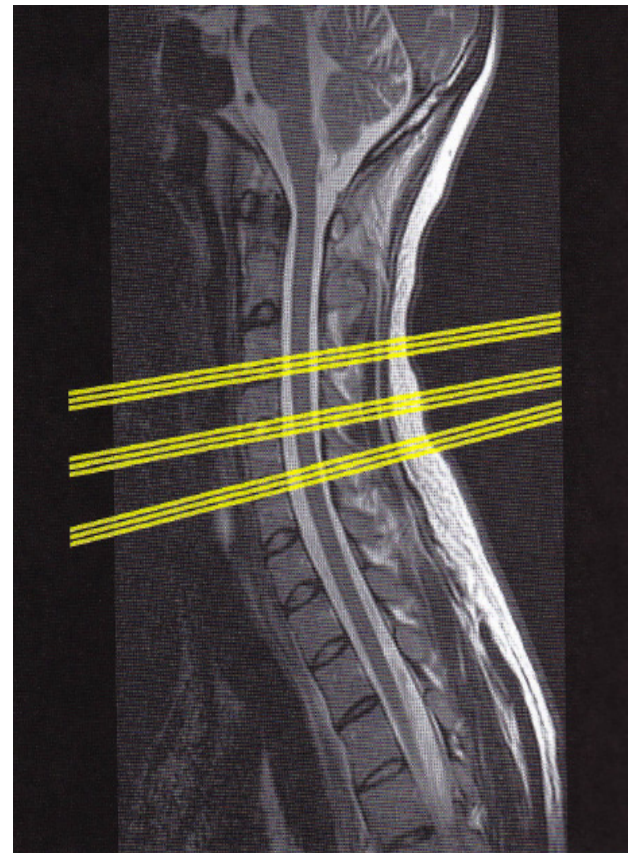


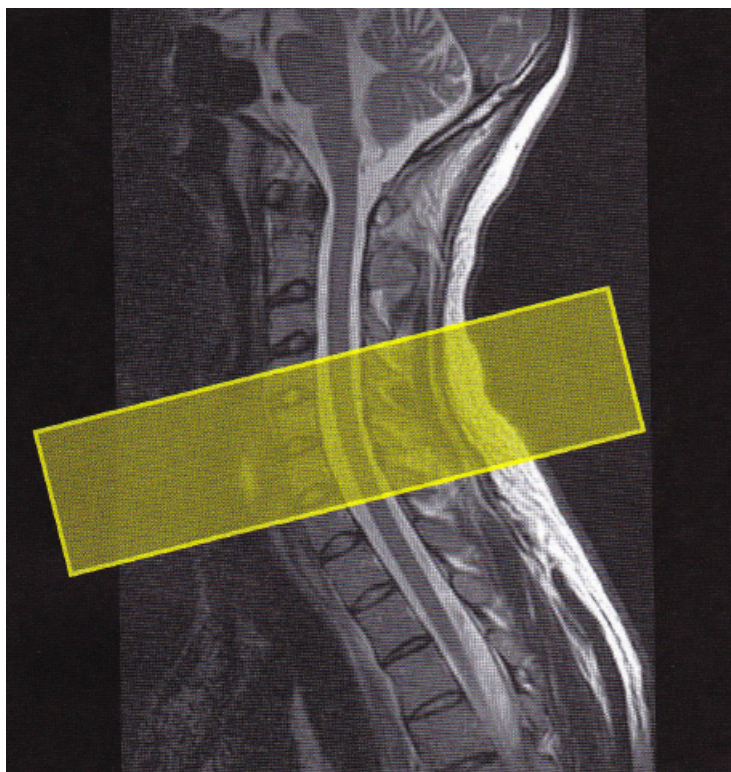
A - لوکالایزر کرونال برای طراحی برش‌های ساجیتال از ستون فقرات گردن. B - نمای لوکالایزر ساجیتال جهت تعیین قطعات اشباع در تصویربرداری ساجیتال از ستون فقرات گردن. برش‌ها در تمام صفحات باید از قاعده جمجمه تا دومین مهره پشتی را شامل شود



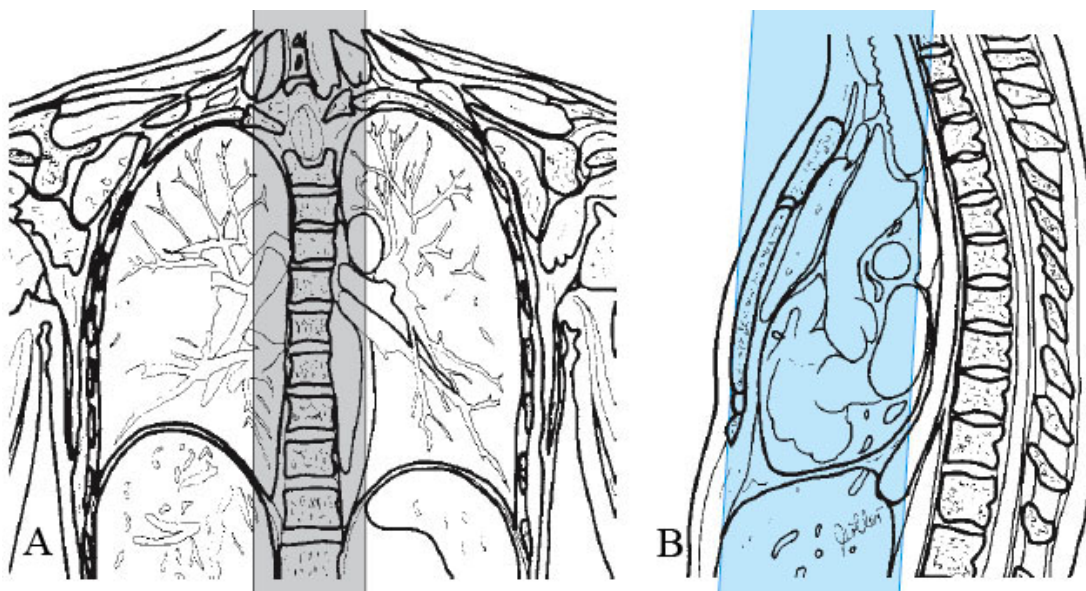
نمای لوکالایزر ساجیتال - طراحی برش های آکسیال و باند های اشباع.

در بیماری دیسک برش ها موازی با دیسک های بین مهره ای طراحی میشود و سه یا چهار برش از سطح هر دیسک کفايت می کند.

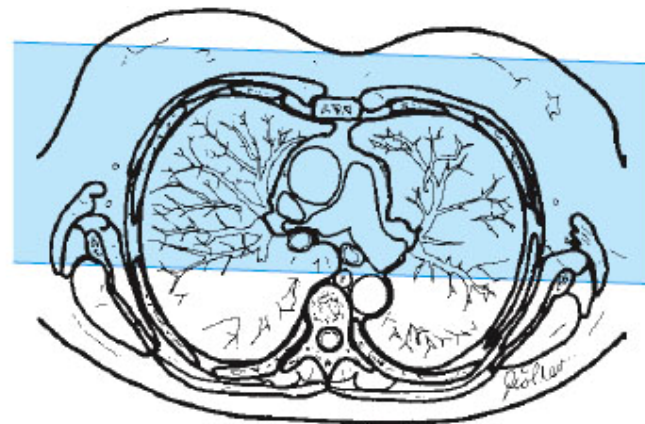
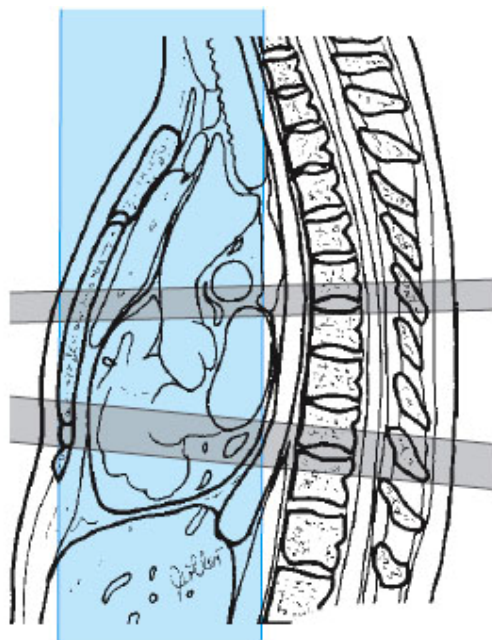




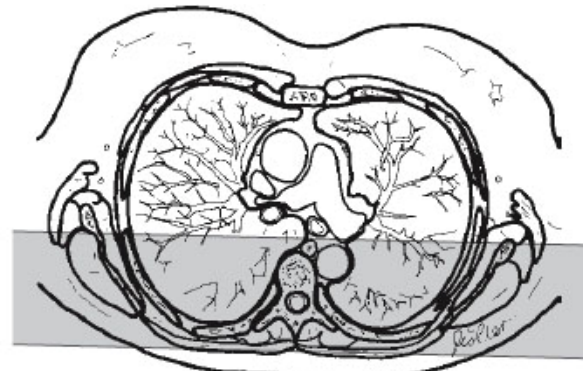
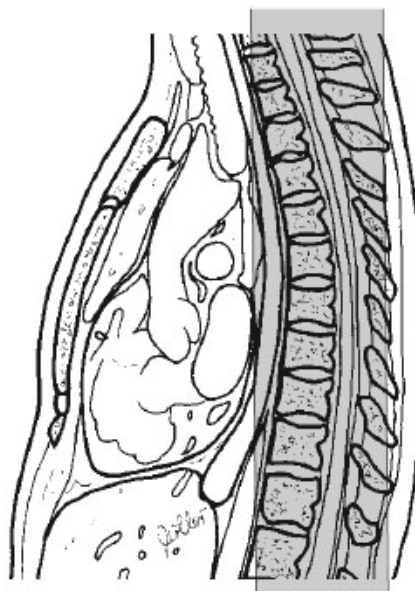
نمای لوکالایزر ساجیتال جهت طراحی و تعیین حدود برش های آکسیال در تصویربرداری از اسپینال کورد.



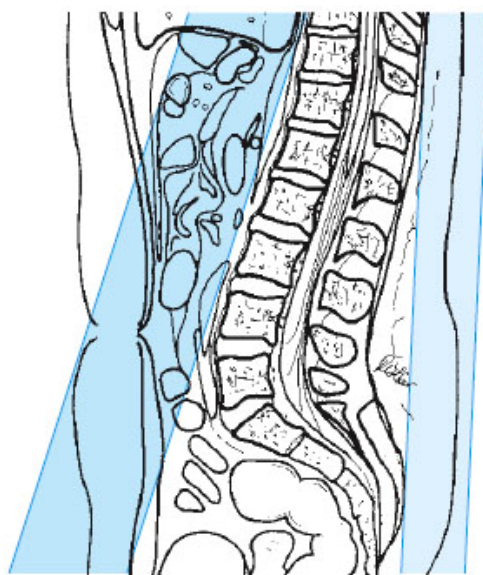
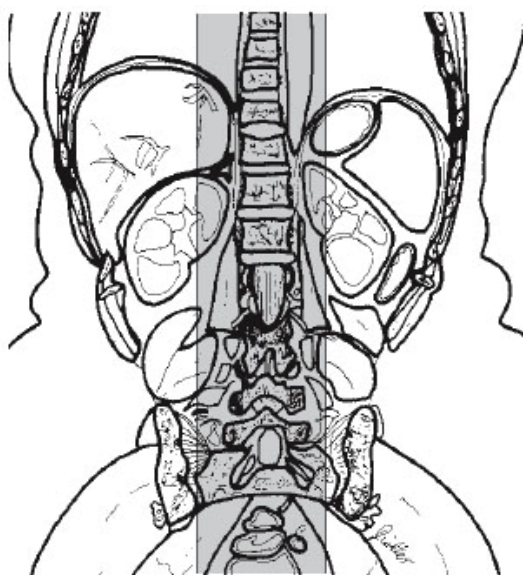
A- لوکالایزر کرونال از توراسیک جهت طراحی برش ها در صفحه ساجیتال. B- لوکالایزر ساجیتال برای تعیین حدود باند اشباع.



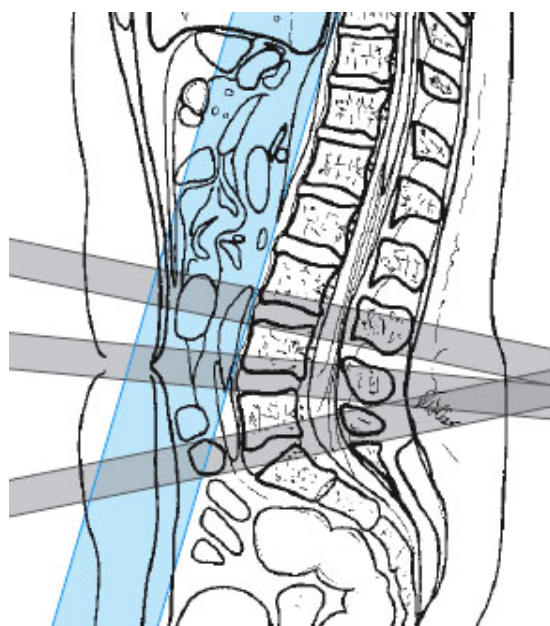
طراحی برش های آکسیال، موازی با صفحه انتهایی، هر قسمت بطور انفرادی طراحی می شود. اما در کایفوز شدید برش های آکسیال بطور پیوسته طراحی می شود، شکل زیر را ببینید.



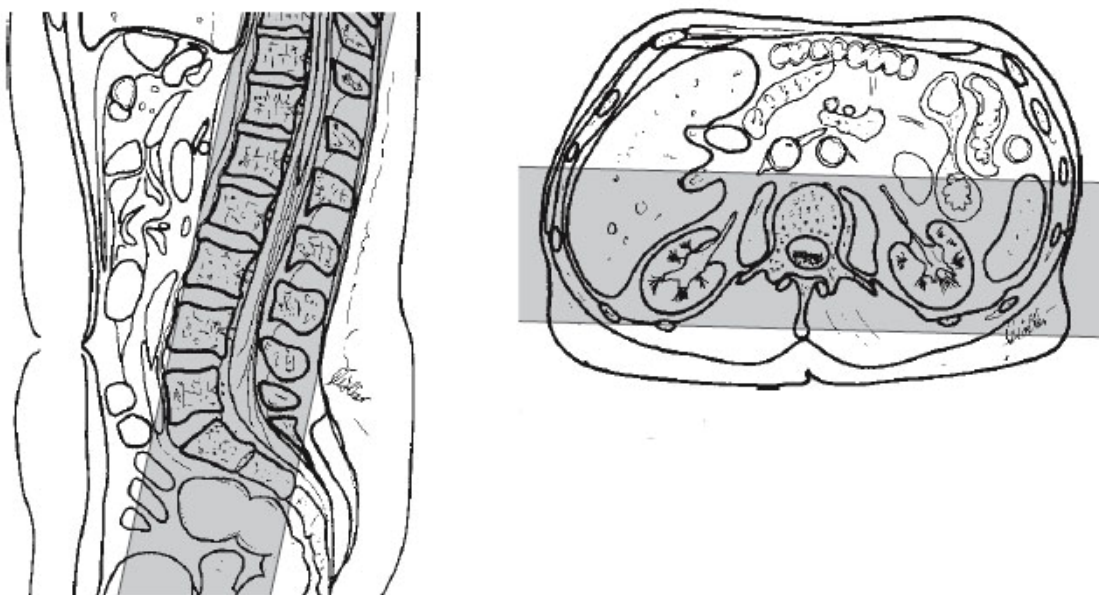
طراحی برش های کرونال توراسیک.



سمت چپ- لوکالایزر کرونال از لمبار جهت طراحی برش ها در صفحه ساجیتال. راست- لوکالایزر ساجیتال برای تعیین حدود باند اشباع.



طراحی برش های آکسیال موازی با صفحات انتهایی



طراحی برش های کرونال از ناحیه کمری.

۶ سر و گردن

۱- استخوان تمپورال (گوش داخلی) و پوستریور فوسا

مقدمه

گوش خارجی و میانی با CT بهتر بررسی می‌شود. با این حال، در بیمارانی با کاهش شنوایی حسی عصبی sensorineural hearing loss (SNHL)، سرگیجه و وزوز گوش، باید گوش داخلی، مجرای شنوایی داخلی (IAC)، زاویه CP) و مسیرهای اعصاب شنوایی و دهلیزی در مغز و ساقه مغز بررسی شود. فقط MRI می‌تواند تمام این ساختارها را نشان دهد و پاتولوژی را در این بیماران آشکار کند. همچنین روش انتخابی در آشکارکردن و مشخص نمودن آسیب‌های راس پتروس (کلسترول گرانولوما، کلستیتومای مادرزادی) و تشخیص مننگو (یا انسفالو) سل در موارد نقص تگمنت گوش میانی است.

کویل‌ها و وضعیت بیمار

بیمار در وضعیت سوپاین و سر درون کویل سر کاملاً ثابت می‌شود. لوکالایزرهای متعدد کرونال ممکن است برای تصحیح وضعیت نامناسب (چرخش سر) یا عدم تقارن‌های ذاتی جمجمه (شکل ۶-۱) لازم باشد. یک کویل سر پلاریزه حلقوی (CP) ترجیح داده می‌شود، چون امکان تصویربرداری همزمان از هر دو استخوان تمپورال را فراهم می‌کند، و سیگنال در سراسر تصویر همگن باقی می‌ماند. با این نوع کویل، حتی ناحیه root-entry و ساقه مغز را می‌توان ارزیابی کرد. به علاوه، همین کویل را می‌توان برای یک مطالعه وزن T2 مغز بکار برد، که در بیمارانی با SNHL، سرگیجه و وزوز گوش اجباری است.

پیش از وضعیت دادن به بیمار در مگنت، سمعک‌ها باید خارج شده باشند. بسیاری از ایمپلنت‌های حلقه‌زنی با MRI ناسازگار هستند. به طور کلی، پروتزهای مدرن مورد استفاده در اسیکوپلاستی تعارضی با MRI ندارند.

پروتکل دنباله

۱- یک مطالعه روتین وزن T2 از مغز، با اسکن‌های آکسیال از قاعده جمجمه تا رأس سر، باید به منظور رد علت احتمالی مرکزی SNHL یا سرگیجه انجام شود (شکل ۶-۲).

۲- تصاویر SE T1 بدون تزریق برای آشکارکردن آسیب‌هایی با شدت سیگنال بالا، نظیر شوآنوم، لیپوم، خون (تروما)، کلسترول گرانولوما یا مایع با غلظت زیاد پروتئین ضروری است.

۳- یک دنباله T1 با تزریق Gd حساس‌ترین تصاویر برای آشکارکردن پاتولوژی در لابیرنت غشایی، CPA و IAC (شکل ۶-۳ و ۶-۴) می‌باشد. بنابراین، به دست آوردن این دنباله اجباری است. تزریق Gd ۰/۱ mmol/kg کفایت می‌کند. تصاویر آکسیال

پس از تزریق **Gd** باید در همان وضعیت قبل از کتراست به دست آیند به طوری که مقایسه امکان پذیر باشد. ضخامت برش قبل و بعد از کتراست نباید از 3 mm تجاوز کند، امروزه برش های نازک 2 mm توصیه می شود. برش ها باید پیوسته باشند، یعنی هیچ فاصله ای بین برش ها نباشد. همین روش باید برای تصاویر کرونال به کار می رود.

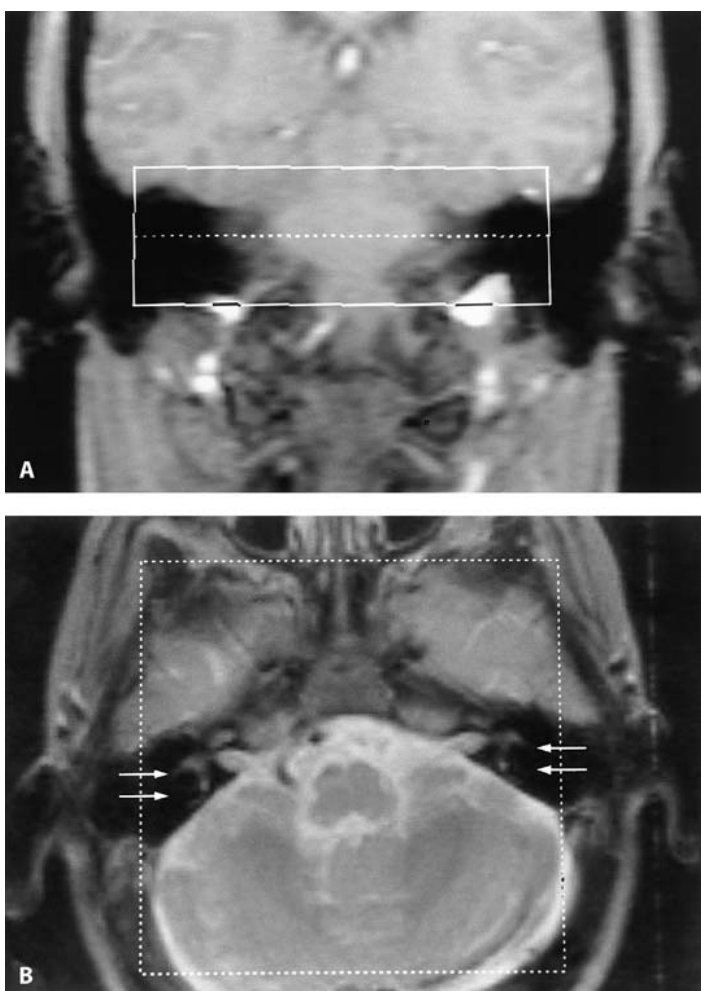
۴- وزن **T1** با سرکوب چربی به ویژه در بیماران بعد از جراحی مفید است تا شوانومای باقی مانده یا عود کننده از موادی که توسط جراح استفاده شده است و سیگنال بالای چربی تولید می کند متمایز شود.

۵- وزن **T2** گرادیان اکو (GRE) یا توربو اسپین اکو (TSE) برای ارزیابی ساختارهای بسیار کوچک CPA، انشعاب عصب چهارم در IAC و مایع موجود در داخل لایبرنت غشایی (شکل ۶-۳) ضروری است. مهم است که تصاویر GRE را پیش از تزریق **Gd** به دست آوریم تا از آرتیفکت های جریان تشدید شده با **Gd** (Gd- intensified flow artifacts) جلوگیری کنیم. در صورت امکان ضخامت برش باید $mm^{0.5-0.7}$ باشد، در هر صورت ضخامت برش نباید از 1 mm تجاوز کند. وقتی از تصاویر زیر میلیمتری استفاده شود، قطعه (slab) نازکتر می شود و از این رو، وضعیت دادن در صفحه کرونال حساس می باشد. تصویربرداری با تفکیک بالا را می توان با یک ماتریس 512×512 به دست آورد، اما زمان دستیابی افزایش می یابد و SNR کاهش می یابد. راه دیگری که توصیه می شود، استفاده از یک میدان دید (FOV) بسیار کوچک 95 mm با یک ماتریس 256×256 است، که تفکیک فضایی یکسانی به دست می دهد، اما بدون افزایش زمان دستیابی در بیشتر بیماران، هر دو گوش داخلی در یک میدان دید 95 mm جای می گیرد، اما وضعیت صحیح بسیار اهمیت دارد، و ضروری است تا از برش های نازک آکسیال وزن **T1** یا **T2** بدون تزریق کتراست برای کترل وضعیت صحیح استفاده کنیم و بررسی کنیم که آیا قطعه GRE نیز به خارجی مجرای نیم دایره لنفال را پوشش می دهد یا خیر. فقط این تصاویر **T2** GRE قادر است سیگنال بالای مایع ایترلا لایبرنتی را از فیروز یا تومور ایترلا لایبرنتی متمایز کند.

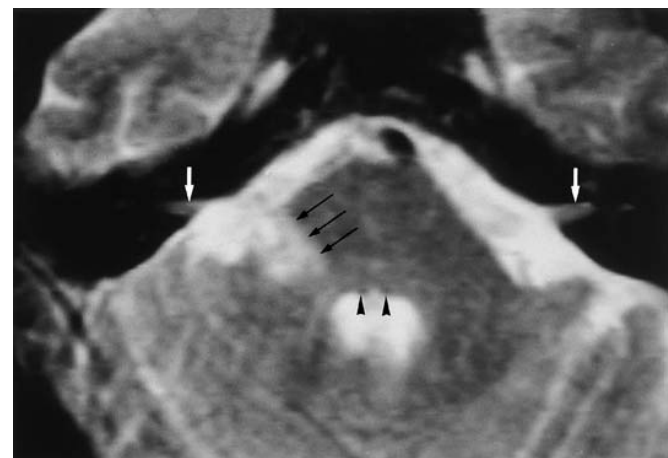
در جراحی نرمومای آکوستیک ، این تصاویر وزن **T2** امکان می دهد تا نوع جراحی تعیین شود. اگر هنوز بین شوانوما و فوندوس ICA مایع حضور داشته باشد، امکان جراحی با حفظ شناوی میسر است. اگر مایع مشاهده نشود، جراح باید تمام بافت را تا قاعده حلزون بردارد و بیمار شناوی خود را از دست می دهد. در این بیماران رهیافت کمتر تهاجمی ترانس لایبرنتاین انجام می شود.

۶- برای آشکار کردن مالفرماسیون های عروقی و ناسازگاری های عصبی عروقی، تصاویر **MR** آنژیو گرافی زمان پرداز، با ضخامت 1 mm ، با تفکیک بالا باید انجام شود. این دنباله به طور روتین به پروتکل تصویربرداری بیمارانی با تینیتوس (وزوز گوش) اضافه می شود.

۷- اگر پاتولوژی ظرفی در مسیر شناوی یا دهیزی مورد شک قرار گرفت، دنباله **SE** وزن **T2** با ضخامت 4 mm از ساقه مغز (آکسیال) و کورتکس شناوی (کرونال) انجام می شود (شکل ۶-۲).

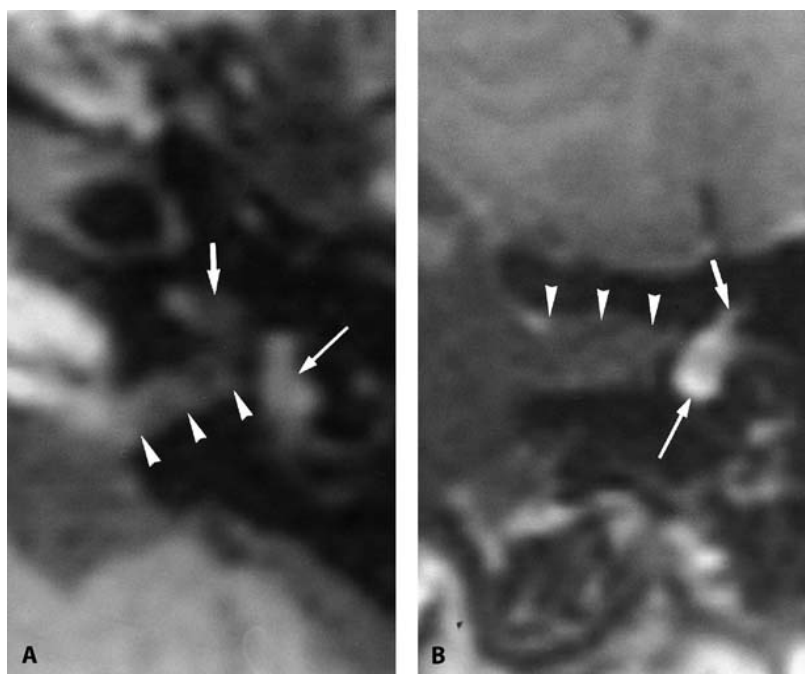


شکل ۶-۱ وضعیت و جهت وزن T2 قطعه گرادیان اکو (GRE) روی نمای راهنمای کرونال اسپین اکو T2 (A) و روی یک تصویر آکسیال اسپین اکو وزن T2 (B). مجرای گوش داخلی (IAC) روی نمای راهنمای کرونال ضخیم و محبو به آسانی مشاهده نمی شود. با این حال، اگر این قطعه لبه تحتانی لب های تمپورال را پوشش دهد و به سطح فورامن ژاگلار و کanal هایپوگلوسال برسد، تمام گوش داخلی به طور کامل در این مطالعه دربرگرفته می شود. این قطعه را می توان زاویه داد تا عدم تقارن های جمجمه یا وضعیت دهی را تصحیح کند (A). آکسیال وزن T1 یا T2 را می توان برای بررسی اینکه آیا میدان دید کوچک (95mm) GRE قطعه وضعیت صحیح داشته باشد، به طوری که هردو کanal نیم دایره جانبی (پیکانها) در این مطالعه دربرگرفته شود (B).



شکل ۶-۲- اینفارکشن ساقه مغز، تصویر نازک SE T2 از ساقه مغز در بیماری با یک کاهش حد شنوایی حسی عصبی در طرف راست. یک اینفارکشن با شدت سیگنال بالا (پیکان های سیاه) در پونزهای تحتانی در سطح هسته حلزونی راست دیده می شود. پیکان های سفید مجرای گوش داخلی IAC را نشان می دهد.

برای مرور پروتکل های تصویر برداری، جدول ۶-۱ و ۶-۲ را ببینید.



شکل ۶-۳-لابیرنیت. (A) ترانسورس بدون تزریق، (B) کرونال با تزریق Gd، تصاویر از SE T1 میان لابیرنت غشایی چپ. (A) یک شدت سیگنال بالای خود به خودی در دهليز (پیکان بلند) دیده می‌شود و بیانگر مایع داخل لابیرنتی با غلظت بالای پروتئین یا مایع مخلوط با خون است. دیواره پوستریور IAC (نوك پیکان‌ها) و حلزون (پیکان کوچک) دیده می‌شود. در تصویری که با Gd کتراست آن افزایش یافته است (B)، بهبود کتراست در دهليز (پیکان بلند) و مجرای نیم دایره فوقانی (پیکان کوچک) دیده می‌شود. بام IAC با نوك پیکان نشان داده می‌شود. تصاویر MRA (GE T2) (که اینجا نشان داده نشده‌اند) حضور مایع را از میان لابیرنت غشایی چپ نشان داد.

جدول ۶-۱ پروتکل‌های توصیه شده در آزمون‌های گوش داخلی (استخوان تمپورال).

				پارامترها
GRE- MRA 3DFT-FISP	GRE 3DFT- CISS	SE (T1± Gd)		دنباله پالس
T2	-	T2	T1	وزن تصویر
آکسیال	آکسیال	آکسیال	آکسیال یا کرونال	صفحة برش
۱۹	۶۴	۴۶	۱۰	تعداد برش
۱۹۰۰	۳۹	۱۲/۲۵	۴۹۰	TR(ms)
۸۰ یا ۱۲	۷	۵/۹	۲۰	TE (ms)
۶۲	۲۵	۷۰	۹۰	زاویه فلیپ
۴	۱/۱۳	۰/۷	۲	پهنای برش (mm)
۱۵۷×۲۵۶	۱۹۲×۵۱۲	۱۹۲×۲۵۶	۱۶۰×۲۵۶	ماتریس
۲۳۰	۲۴۰	۹۵	۲۳۰ -	FOV
۱۹۵ یا ۶۷	۸۱	۱۹۵	۶۵	پهنای باند (Hz)
۲	۲	۲	۴	تعداد دستیابی
۱۰	۸	۷:۱۴	۵:۱۷	زمان دستیابی (min)

جدول ۶-۲ مروی بر پروتکل های تصویربرداری در کاهش شنوایی حسی عصبی (SNHL) محیطی و مرکزی، ورتیگو و تینیتوس، پروتکل ها همیشه باید با یک مطالعه مغز وزن T2 شروع شوند.

تینیتوس	کاهش شنوایی حسی عصبی (SNHL)	محیطی و ورتیگو
۱- آكسیال T1 بدون تزریق کتراست	۱- ساقه مغز T2	۱- آكسیال T1 بدون تزریق کتراست
GRE-T2 برش نازک	GRE-T2 برش نازک	GRE-T2 برش نازک
۳- آكسیال T1 با تزریق کتراست	۳- آكسیال T1 با تزریق کتراست	۳- آكسیال T1 با تزریق کتراست
MRA با تزریق کتراست و تفکیک بالا	۴- مطالعه مغز با وزن T1 و تزریق کتراست	۴- کرونال T1 با تزریق کتراست
۵- کرونال T2 از کانال شنوایی و کورتکس		

۶-۲- چشم و اریت

مقدمه

اسکن نقش مهمی در تشخیص پاتولوژی اریت دارد. تفاوت در مقادیر تضعیف محتویات اریت (چربی رتروبالبار، عضلات خارجی، کره چشم، استخوان، هوا و عروق) یک کتراست عالی طبیعی فراهم می کند. با این حال، MRI مدلایته انتخابی است. مزیت اصلی MRI نسبت به CT آن است که تمام مسیر بینایی را می توان با حساسیت و ویژگی بالاتری بررسی کرد. به این طریق نه فقط آسیب های اریت را آشکار می کند، بلکه همچنین قادر است گستره وسیعی از پاتولوژی های ایتر اکرانیال مرتبط با نقص بینایی را آشکار کند (آسیب های پارا سلار، پلاک های مالتیپل اسکلروز (MS)). در حال حاضر CT هنوز مدلایته انتخابی در شرایط زیر

است: آشکار کردن کلیوفیکاسیون‌ها، بیماران ترومایی، آسیب‌های اولیه در اربیت استخوانی. عدم مزیت اصلی MRI آن است که به دلیل زمان طولانی تر آزمون، نسبت به آرتفیکت‌های حرکتی کره چشم و پلک‌ها حساس‌تر است. تکنیک‌های سرکوب چربی تمایز بین ساختارهای بهبود یافته موجود درون چربی رتروبالبار را بهتر می‌کند.

کویل‌ها و وضعیت بیمار

پیش از انجام تصویربرداری MR از چشم و اربیت، به منظور رد حضور اجسام فلزی خارجی در یا نزدیک اربیت، بیماران باید غربال شوند، مثلاً تراشه‌های فلزی یا غبار آهن در صنعت‌گران. ممکن است این اشیاء تحت تأثیر میدان مغناطیسی حرکت کرده و به کوری فرد منجر شود. بنابراین پرس و جوی دقیق از بیمار ضروری است. در صورت شک، باید پرتونگاری اشعه X انجام شود. از بیماران خواسته می‌شود تا ریمل‌ها را پاک کنند چون ممکن است محتوی مواد فرومغناطیسی باشد و به دلیل آرتفیکت‌های قابلیت پذیرش سبب خرابی تصاویر شود. مهم است که بیمار را تشویق کنیم که در هنگام آزمون به یک نقطه خیره شود تا از آرتفیکت‌های حرکت پلک زدن جلوگیری شود.

آزمون MR از اربیت را می‌توان با استفاده از یک کویل پلازیره حلقوی سر یا یک کویل سطحی اختصاصی انجام داد. مزیت کویل‌های سطحی SNR بالاتر است. از این رو، برش‌های فوق نازک (ultra-thin) با یک تفکیک فضایی بالا (FOV) کوچک ۵۰-۴۰ mm و ماتریس ۵۱۲×۵۱۲ می‌تواند به دست آید (شکل ۶-۴). عدم مزیت کویل‌های سطحی آن است که فقط قسمت آنتریور اربیت (کره چشم) تصویر می‌شود، و قسمت‌های دیگر اربیت و مسیر بینایی بررسی نمی‌شود. عدم مزیت دوم آن است که فقط یک چشم تصویربرداری می‌شود، مگر آنکه از کویل‌های سطحی دو چشمی استفاده شود.

پروتکل دنباله

برای کاهش آرتفیکت‌های حرکتی، زمان اسکن باید تا حد امکان کوتاه باشد. این را می‌توان با کاهش زمان تکرار (TR) و یا تعداد تهییع‌ها (NEX) انجام داد. برش‌های نازک (ضخامت ۳-۵ mm) با یک FOV کوچک برای بهینه‌کردن تفکیک فضایی استفاده می‌شود. برای پروتکل MR در تصویربرداری اربیت و مسیر بینایی، جدول ۶-۳ را ببینید.

۱- تصاویر نیمه آکسیال semiaxial یا کرونال SE T1 در شروع تصویربرداری انجام می‌شود. برش‌های نیمه آکسیال در جهت مسیر عصب اپتیک می‌باشد.

۲- دنباله‌های TSE T2 و سرکوب چربی وقتی آسیب مشاهده شود، و مشخصات دیگری نیاز باشد، اضافه می‌گردد. استفاده از سرکوب چربی جهت مشاهده آسیب در عصب اپتیک، مانند نوریت اپتیک، الزامی است. سرکوب چربی را می‌توان با پیش اشباع انتخابی فرکانس بینایی (frequency-selective spectral presaturation) یا با تکنیک STIR انجام داد.

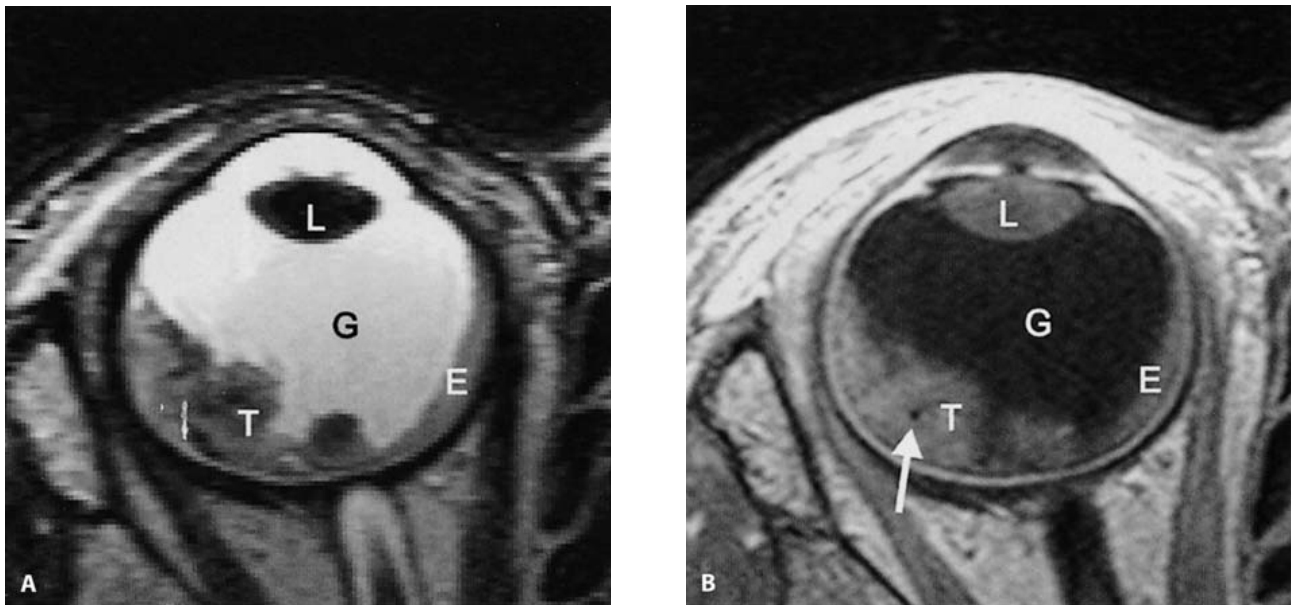
۳- به منظور افتراق بیشتر تومورها، آسیب‌های عصب اپتیک و توده‌های چشمی ضروری است بعد از تزریق گادولینیوم تصاویر SE T1 با سرکوب چربی تهیه شوند. بعد از تزریق گادولینیوم، اشباع بینایی چربی تکنیک انتخابی است. برای

تصویربرداری MR بعد از تزریق کنتراست نباید از دنباله‌های STIR استفاده شود. چون هم سیگنال چربی و هم سیگنال ناشی از ساختارهای انہنس شده هر دو سرکوب می‌شوند. این پدیده به negative enhancement معروف است.

۴- دنباله‌های GRE کاربرد محدودی دارند، اما می‌توانند تغییرات قابلیت پذیرش را در حضور کلسیفیکاسیون‌ها (رتینوپلاستوما) یا هموراژ آشکار کنند.

جدول ۳-۶ پروتکل پیشنهادی برای تصویربرداری از اربیت و مسیر بینایی.

پارامترها				
Spectral fat sat	TSE	STIR	SE	دنباله پالس
T1	T2	T2	T1	وزن تصویر
آکسیال یا کرونال	آکسیال یا کرونال	کرونال یا آکسیال	آکسیال یا کرونال	صفحة برش
۱۱	۱۵	۱۱	۱۵	تعداد برش
۶۵۰	۳۰۰۰	۲۷۰۰	۴۵۰	TR(ms)
۱۵	۱۹ - ۹۳	۱۹	۱۵	TE (ms)
-	-	۱۵۰	-	TI (ms)
۹۰	۹۰	۹۰	۹۰	زاویه فلیپ
-	۳	-	-	ETL
۳	۳	۳	۲	پهنای برش (mm)
۱۹۲×۲۵۶	۲۵۶×۵۱۲	۱۹۲×۲۵۶	۲۵۶×۵۱۲	ماتریس
۲۳۰	۳۶۰	۲۰۰	۲۰۰	FOV
۷۵	۵۰	۷۵	۷۵	recFOV
FS63	۱۳۰	۱۳۰	۱۳۰	پهنای باند
۲	۲	۱	۲	تعداد دستیابی
۴ : ۱۰	۶ : ۳۲	۶ : ۳۹	۳ : ۵۰	زمان دستیابی



شکل ۶-۶ تصویربرداری برش نازک MR از کره چشم (globe) از کویل سطحی ۵cm. ترانسورس T_2 (A) و ترانسورس T_1 بعد از تزریق گادولینیوم (B) در بیماری با رتینوبلاستوما. یک توده داخلی چشمی ناهمگن (T) همراه با جدا شدگی شبکیه (E) مشاهده می‌شود. به حضور یک Flow void (retinal detachment) کوچک در تومور توجه کنید که نشانه یک کلسیفیکاسیون کوچک است (پیکان در B).

۶-۳- سینوس‌های پارانازال

مقدمه

CT و MRI تکنیک‌های مکمل در تصویربرداری سینوس‌های پارانازال می‌باشد. ساختارهای استخوانی سینوس‌های پراز CT بـهتر دیده می‌شود. به علاوه برای نمایش کمپلکس استئومیتال، که در بیماری التهابی یا عفونی نقش اساسی دارد، CT ارجحیت دارد، به خصوص هنگامی که جراحی فانکشنال آندوسکوپی سینوس طراحی می‌شود. استفاده از MRI در بیماری التهابی کامپلیکه و در بیمارانی با پاتولوژی مشکوک تومورال در سینوس‌های پارانازال توصیه می‌شود.

کویل‌ها و وضعیت بیمار

بیمار در وضعیت سوپاین و سر درون یک کویل پلاریزه حلقوی قرارمی‌گیرد.

پروتکل دناله

۱- آزمون MR از سینوس‌های پارانازال با تصویربرداری کرونال TSE T1 و T2 آغاز می‌شود. مقصود از این دناله‌ها تمایز بین ساختارهای مختلف بافت نرم و احتباس مایع سروزی و موسینوسی است.

۲- تصاویر با تفکیک بالا، بعد از تزریق کتراست، آکسیال و کرونال SE T1 برای تمایز بیشتر ساختارهای بافت نرم به دست می‌آید، از این رو افتراء بین مولفه‌های تومورال از مولفه‌های توموری یا پولیپ که به طور نرمال انہنس می‌شود امکان‌پذیر می‌شود. همچنین توسعه ایتراکرaniel و یا ایترالریتال پاتولوژی را بهتر می‌توان بررسی کرد.

برای پروتکل تصویربرداری از سینوس‌های پارانازال جدول ۶-۴ را ببینید.

جدول ۶-۴ پروتکل MRI از سینوس‌های پارانازال

Gd با تزریق TSE	Gd SE با تزریق	TSE	SE	دناله پالس
T2	T1	T2	T1	وزن تصویر
آکسیال یا کرونال	آکسیال یا کرونال	آکسیال یا کرونال	آکسیال یا کرونال	صفحة برش
۱۵	۱۵	۲۶	۱۹	تعداد برش
۳۰۰۰	۴۵۰	۸۰۰۰	۵۷۰	TR(ms)
۱۹ - ۹۳	۱۵	۹۰	۱۵	TE (ms)
۹۰	۹۰	۹۰	۹۰	زاویه فلیپ
۱۲	-	۱۲	-	ETL
۳	۵	۳	۵	پهنای برش (mm)
۲۴۰×۲۵۶	۱۹۲×۵۱۲	۲۴۰×۲۵۶	۱۹۲×۵۱۲	ماتریس
۱۳۰	۲۳۰	۱۳۰	۲۳۰	FOV
۵۰	۷۵	۵۰	۷۵	recFOV
۱۳۰	۱۳۰	۱۳۰	۱۳۰	پهنای باند
۲	۲	۲	۲	تعداد دستیابی
۵ : ۲۰	۳ : ۳۹	۵ : ۲۰	۳ : ۳۹	زمان دستیابی

۶-۴- قاعده جمجمه

مقدمه

ساختارهای استخوانی قاعده جمجمه به خوبی در CT نمایش داده می‌شوند، اما آسیب‌های قاعده جمجمه می‌تواند شامل بافت‌های نرم، اعصاب و عروق در سوارخ‌های قاعده جمجمه و مغز استخوان در ایتراکرaniال و اکستراکرaniال نیز باشد. فقط MRI کتراست و تفکیک فضایی کافی برای تمایز این ساختارها فراهم می‌کند، و بنابراین روش انتخابی در مطالعه آسیب‌های قاعده جمجمه و اعصاب کرaniال است.

کویل‌ها و وضعیت بیمار

یک کویل سرحلقوی استاندارد بهترین تصاویر را از قاعده جمجمه به دست می‌دهد. بیماران در وضعیت سوپاین بررسی می‌شوند، و سر تا حد امکان درون کویل سر بالا قرار می‌گیرد. هرچه قاعده جمجمه به مرکز کویل سر نزدیکتر باشد، کیفیت تصویر بهتر می‌شود. برش‌ها باید موازی و یا عمود بر آن قسمت از قاعده جمجمه که مورد آزمون می‌باشد انجام شود.

پروتکل دنباله

تکنیک MR به ساختارهای پیرامونی ناحیه مورد نظر بستگی دارد.

۱- SE T_1 با بهبود Gd و تفکیک عالی استفاده می‌شود.

۲- در قاعده مرکزی جمجمه به خصوص در خلف قاعده جمجمه (پوستریور فوسا) اعصاب و عروق با مایع مغزی نخاعی (CSF) احاطه شده است. در این نواحی، اعصاب نرمال و توسعه تومور در طول عصب در GRE $T2$ آکسیال بهترین تصاویر را دارند. در این تصاویر تومور یا اعصاب دارای شدت سیگنال متوسط تا پایین هستند، که با شدت سیگنال بالای CSF احاطه شده‌اند.

۳- وقتی تصاویر تفکیک بالا MRA (3D FT-FISP) زمان پرواز استفاده می‌شود در سوارخ‌های قاعده جمجمه، اعصاب، عروق و استخوان پیرامونی از یکدیگر به بهترین صورت تمایز می‌شوند. این تصاویر باید با بهبود کتراست انجام شود به‌طوری که نشتی‌های وریدی شدت سیگنال بالایی پیدا کند و یک شدت سیگنال متفاوتی از اعصاب و استخوان اطراف دیده شود.

۴- مشخص کردن آسیب و تصویرکردن قاعده جمجمه با استفاده از TSE T_2 ترانسورس با تفکیک بالا انجام می‌شود. این دنباله را همچنین می‌توان به عنوان اولین دنباله تصویربرداری در آسیب شدید انجام داد.

وزن T_1 با بهبود کتراست، تفکیک بالا و سرکوب چربی را می‌توان برای آشکارکردن تهاجم به مغز استخوان استفاده کرد، و گاهی برای تمایز تومور از چربی نرمال بهتر عمل می‌کند. تصاویر SE T_1 بدون بهبود کتراست، حساس‌ترین تصاویر برای آشکارکردن تهاجم مغز استخوان است.

جدول ۶-۵ پروتکل تصویربرداری MR از قاعده جمجمه

TSE-T2	GRE- MRA 3DFT-FISP	GRE 3DFT-CISS	SE (T1+Gd)	دباله پالس
T2	-	T2	T1	وزن تصویر
آکسیال	آکسیال	آکسیال یا کرونال یا کرونال	آکسیال یا کرونال یا کرونال	صفحه برش
۲۰	۶۴	۴۶	۲۰	تعداد برش
۴۰۰۰	۳۹	۱۲/۲۵	۴۵۰	TR(ms)
۹۹	۷	۵/۹	۱۲	TE (ms)
۱۸۰	۲۵	۷۰	۹۰	زاویه فلیپ
۴	۱/۱۵	۰/۷	۴	پهنای برش (mm)
۲۴۲×۵۱۲	۱۹۲×۵۱۲	۱۹۲×۲۵۶	۳۸۴×۵۱۲	ماتریس
۳۰۰	۲۴۰	۹۵	۲۲۰	FOV
۱۳۰	۸۱	۱۹۵	۱۳۰	پهنای باند (Hz)
۲	۱	۱	۳	تعداد دستیابی
۳	۸	۷:۱۴	۸:۴۱	زمان دستیابی (min)

۶-۶- نازوفارنکس، فضاهای عمقی پیرامونی و غده پاروتید

مقدمه

نازوفارنکس یک ناحیه آناتومیک در ناحیه سر و گردن است، که مشاهده آن در کلینیک مشکل است. به علاوه فضاهای عمقی پیرامونی را نمی‌توان در کلینیک معاينه کرد، و آسیب‌های این نواحی فقط هنگامی مشاهده می‌شوند که به حد کافی بزرگ شوند یا ساختارهای اطراف را درگیر کنند، نظیر اعصاب، عروق خونی، غیره. بنابراین تصویربرداری با کیفیت عالی از این نواحی مورد نیاز است. فقط MRI قادر است تصاویری با تفکیک کتراست و تفکیک فضایی کافی از این نواحی تهیه کند، و مدلیته انتخابی تصویربرداری است.

کویل‌ها و وضعیت بیمار

یک آزمون انتخابی از نازوفارنکس و بافت‌های پیرامونی با یک کویل استاندارد سر انجام می‌گیرد. بیماران در وضعیت سوپاین و سرتا حد امکان درون کویل سر بالا قرار می‌گیرد. تصاویر با کیفیت عالی به دست آید. بیمار باید آگاه باشد که از انجام

هر گونه حرکت، عمل بلع و صحبت کردن خودداری کند، تنفس از طریق بینی با دهان بسته نیز آرتیفیکت‌های حرکتی را کاهش می‌دهد.

هنگامی که حفره کامل دهان یا اروفارنکس نیز باید تصویربرداری شود یا هنگامی که یک مرحله‌بندی (staging) کامل از گرهای لنفی گردن مورد نیاز است (بخش بعدی را ببینید) باید از یک کویل اختصاصی گردن استفاده کرد.

غده پاروتید را باید با کویل‌های سطحی بررسی کرد. با این کویل‌ها، تفکیک فضایی بالاتری می‌تواند حاصل شود. اما افت شدت سیگنال از قسمت سطحی به طرف قسمت عمقی غده ممکن است به مشاهده ناقص لب عمقی منجر شود. عدم مزیت دیگر آن است که با یک کویل سطحی فقط یک غده بررسی می‌شود. بنابراین ترجیح داده می‌شود تا از یک کویل سر برای تصویربرداری از غدد پاروتید استفاده شود. به منظور افزایش تفکیک فضایی، یک ماتریس 512×512 استفاده می‌شود. مزیت دیگر آن است که سر در کویل سر بهتر ثابت می‌شود و آرتیفیکت‌های حرکتی کمتر می‌شود. مجدداً سر بیمار باید تا حد امکان در کویل سر بالا قرار گیرد تا قسمت انتهایی غده پاروتید نیز در FOV تصویربرداری قرار گیرد. جهت ترجیحی برش برای مطالعات مذکور در فوق صفحه آکسیال موازی با هارد پلیت است. یک مطالعه نازوفارنکس باید از لبه فوقانی حفره هیپوفیز شروع شود تا توسعه ایتراکرانیال رد شود. مرجع تحتانی لبه تحتانی فک پایین است، اگرچه با کویل سر سیگنال در این سطح ناکافی می‌باشد. مطالعه غده پاروتید از لبه فوقانی کانال گوش خارجی شروع و به لبه تحتانی فک پایین ختم می‌شود. برش‌های کرونال باید عمود بر هاردپلیت باشد.

پروتکل دنباله

نازوفارنکس، فضاهای عمقی پیرامونی و غدد پاروتید در صفحه عرضی بهتر بررسی می‌شوند؛ پروتکل تصویربرداری MR برای آزمون‌های این نواحی در جدول ۶-۶ ارائه می‌شود.

۱- ترانسورس T2 با تفکیک بالا باید به عنوان اولین دنباله استفاده شود. این تصاویر دارای کتراست و تفکیک فضایی بالا هستند که برای آشکار کردن آسیب‌های پاروتید بسیار حساس می‌باشد. به علاوه، هنگامی که مشخص کردن افزون‌تر بافت ضروری باشد این تصاویر مورد نیاز است.

۲- آزمون MR، ترانسورس SE T1 با تفکیک بالا بدون بهبود Gd و با بهبود Gd ادامه می‌یابد. تصاویر بدون بهبود حساس‌ترین تصاویر برای آشکار کردن تهاجم مغز استخوان است و بنابراین، تهاجم اولیه به قاعده جمجمه یا مندیبل را آشکار می‌کند. به علاوه، از اشتباه گرفتن نواحی شدت بالا در تصاویر T1 (خون، چربی، مایع محتوی پروتئین، و غیره) با نواحی بهبود یافته جلوگیری می‌کند. وزن T1 با بهبود Gd دارای نسبت سیگنال به نویز بهتری از تصاویر بدون بهبود است، و منجر به آشکار شدن بهتر تومور می‌شود. قسمت‌های جامد و سیستیک یک تومور نیز در تصاویر بهبود Gd بهتر تمایز می‌شود.

۳- کرونال اضافی وزن T1 با بهبود Gd از یک آسیب نازوفارنکس یا یک آسیب فضاهای پیرامونی یا غده پاروتید اغلب اطلاعات مهمی در مورد محل دقیق و توسعه تومور به دست می‌دهد. هنگامی که قاعده جمجمه درگیر می‌شود این تصاویر الزامی است.

۴- نهایتاً، تصاویر عرضی و کرونال با بهبود Gd را می‌توان با همین تصاویر با سرکوب بینابی چربی جایگزین کرد. در این تصاویر، توموری که کتراست آن افزایش یافته بهتر از چربی اطراف متمایز می‌شود. عدم مزیت سرکوب چربی آن است که با همان زمان دستیابی برش‌های کمتری قابل دسترس است. بنابراین، اگر تمام این ناحیه باید تصویربرداری شود، ضخامت برش باید افزایش یابد یا زمان دستیابی باید افزایش یابد. همچنین نسبت سیگنال به نویز در تصاویر سرکوب چربی کمتر است.

جدول ۶-۶ پروتکل پیشنهادی برای آزمون‌های نازوفارنکس، فضاهای عمقی اطراف و غده پاروتید.

SE (T1±Gd)	TSE- T2	دنباله پالس
T1	T2	وزن تصویر
آکسیال یا کرونال	آکسیال	صفحه برش
۲۰	۲۰	تعداد برش
۴۵۰	۴۰۰۰	TR(ms)
۱۲	۹۹	TE (ms)
۹۰	۱۸۰	زاویه فلیپ
-	۱۱	ETL
۴	۴	پهنای برش (mm)
۳۸۴×۵۱۲	۲۴۲×۵۱۲	ماتریس
۲۲۰	۳۰۰	FOV
۷۵	۵۰	recFOV
۱۳۰	۱۳۰	پهنای باند
۳	۲	تعداد دستیابی
۸:۴۱	۳:۰۰	زمان دستیابی

۶-۶- اروفارنکس و حفره دهان

مقدمه

بیشتر CT برای مرحله‌بندی تومورهای دهان و اروفارنکس استفاده می‌شود. هر دو مکان و مرحله‌بندی گره‌های لنفاوی به راحتی با CT انجام می‌شود. MRI نیز می‌تواند به عنوان تصویربرداری اولیه انجام شود، اما امروزه اغلب MRI وقتی استفاده می‌شود که اطلاعات اضافی در مورد توسعه تومور یا مشخصات تومور نیاز باشد.

کویل‌های و وضعیت بیمار

وقتی اروفارنکس و حفره دهانی باید به طور کامل پوشش داده شود کویل‌های اختصاصی neck ضروری است. تصاویر با SNR کافی از سطح مندیبل و زیر مندیبل فقط با استفاده از چنین کویل‌های اختصاصی به دست می‌آید. به علاوه، اگر ارزیابی همزمان از گره‌های لنفی نیز نیاز باشد، کویل‌های اختصاصی گردن الزامی می‌باشد. در تصویربرداری MR، مرحله‌بندی گره لنفی در صفحه کرونال بسیار راحت‌تر است؛ این با یک کویل اختصاصی neck امکان‌پذیر است، چون این کویل‌ها به راحتی از قاعده جمجمه تا مدیاستن فوکانی را پوشش می‌دهند. بیمار در وضعیت سوپایین قرار می‌گیرد و به آنها آموزش داده می‌شود که در حین آزمون از حرکت، بلع، صحبت‌کردن خودداری کنند و همچنین دهان را بسته نگه دارند و از بینی تنفس کنند. تصاویر موازی و یا عمود بر کف دهان یا لبه تحتانی مندیبل تهیه می‌شوند. در اروفارنکس تصاویر باید در صفحه آکسیال باشد، تصاویر کرونال الزامی نیست. در حفره دهان، فقط یک دنباله باید در صفحه کرونال باشد، ترجیحاً یک دنباله SE T1 با سرکوب چربی و بهبود Gd با تفکیک بالا.

پروتکل‌های دنباله

این آزمایش با یک دنباله ترانسسورس TSE T2 آغاز می‌شود، که ناحیه مورد نظر را به طور کامل پوشش می‌دهد. این تصاویر در آشکارکردن آسیب‌ها بسیار حساس هستند، و بنابراین برای شروع بسیار مناسب است.

سپس دنباله ترانسسورس SE T1 بدون بهبود و با بهبود Gd انجام می‌شود. تصاویر بدون بهبود ضروری است چون حساس‌ترین تصاویر برای آشکارکردن زود هنگام درگیری مغز استخوان می‌باشد. به علاوه، شدت‌های بالای خود به خود (چربی=در موئید سیست، خون=همانثیوما، یا مالفرماسیون‌های عروقی، و غیره) را می‌توان در این تصاویر آشکار کرد. وزن T1 با بهبود Gd برای ارزیابی توسعه آسیب‌ها به کار می‌رود. آسیب‌های جامد گاهی شدت یکسانی با بافت‌ها یا چربی اطراف در این تصاویر دارد. بنابراین، تصاویر سرکوب چربی اغلب بسیار حساس‌تر است، به خصوص در کاویته دهان. بلندترین قطر اروفارنکس یا حفره دهان آنتروپوستریور است، از این رو، وقتی یک FOV مستطیلی در صفحه ترانسسورس استفاده می‌شود، کدگذاری فاز تا در جهت چپ-راست انتخاب شود. در گردن زیر یا موئید، کدگذاری فاز باید در جهت آنتروپوستریور انتخاب شود تا از تاه خوردگی (in folding) شانه‌ها جلوگیری شود. جهت پروتکل‌های تصویربرداری از اروفارنکس و حفره دهان، جدول ۶-۷ را بینید.

جدول ۶-۷ پرتوکل های تصویربرداری از اروفارنکس و حفره دهان

SE (T1+Gd) سرکوب چربی	SE (T1-Gd)	TSE- T2	دبیله پالس
T1	T1	T2	وزن تصویر
آکسیال یا کرونال	آکسیال یا کرونال	آکسیال	صفحة برش
۲۰	۲۰	۲۰	تعداد برش
۱۱۸۰	۴۵۰	۴۰۰۰	TR(ms)
۱۲	۱۲	۹۹	TE (ms)
۹۰	۹۰	۱۸۰	زاویه فلیپ
-	-	۱۱	ETL
۴	۴	۴	پهنه برش (mm)
۳۸۴×۵۱۲	۳۸۴×۵۱۲	۲۴۲×۵۱۲	ماتریس
۲۲۰	۲۲۰	۳۰۰	FOV
۷۵	۷۵	۵۰	recFOV
۱۳۰	۱۳۰	۱۳۰	پهنه باند
۳	۳	۲	تعداد دستیابی
۱۰:۵۷	۸:۴۱	۳:۰۰	زمان دستیابی

۶-۷- لارنکس و هایپوفارنکس

مقدمه

اندیکاسیون اصلی برای تصویربرداری MRI نشان دادن گسترش دقیق تومور در بیمارانی با کانسر لاریثیل - هایپوفارینژیل می باشد. سینوس پیریفرم و هایپوفارنکس در خلف کریکوئید آنقدر نزدیک به ساختارهای لارنکس قراردارند که تومور برخاسته از این نواحی لارنژکتومی توtal را ضروری می سازد، همانند بیمارانی با کانسر پیشرفته لارنکس. اما امروزه، بسته به توسعه عمقی تومور، پارشل لارنژکتومی (با حفظ کردن صدا) را می توان با موفقیت انجام داد. بنابراین، لند مارکها برای جراحی کنسرواتیو باید به دقیقیت کترول شود. توسعه به کامیشور قدامی، انتشار به فضای چربی اطراف اپی گلوت و چربی اطراف حنجره باید جستجو شود. CT و MRI هر دو قادرند انتشار تومورال به زیر مخاط را آشکار کنند. به علاوه، آسیب های تحت مخاطی، رشد تومور در سطح ساب گلوتیک یا در رأس سینوس های پیریفرم را می توان با CT MRI یا CT مشاهده کرد، که در این نواحی تکنیک های آندوسکپیک ناتوان هستند. مزیت MRI بر CT آن است که به دلیل کنترast بالای بافت نرم، تفکیک فضایی بالا، و روش های مالتی پلانار بدون پرتوگیری، بهتر می توان این ناحیه را ارزیابی کرد. این عوامل حساسیت و دقیقیت MRI را در آشکار کردن تهاجم زود هنگام به غضروف افزایش می دهند. عدم مزیت MRI طولانی تر بودن زمان آزمون است که به آرتیفیکت های بیشتر ناشی از بلع، تنفس و جریان خون منجر می شود.

کویل‌ها و وضعیت بیمار

بیمار در وضعیت سوپاین قرار می‌گیرد. مهم است که همکاری حداکثر بیمار به وی توضیح داده شود (تنفس آرام از راه بینی، خودداری از بلع و سرفه). یک کویل اختصاصی تصویربرداری از neck و فقرات گردن باید استفاده شود تا بهترین نتایج به دست آید. مرکز کویل در سطح بر جستگی تیروئید سانتر می‌شود.

پروتکل دنباله

۱- مطالعه MR با برش‌های نیمه آکسیال، تفکیک بالا بدون تزریق کتراست وزن T1 SE و T2 موازی با تارهای صوتی حقیقی، آغاز می‌شود.

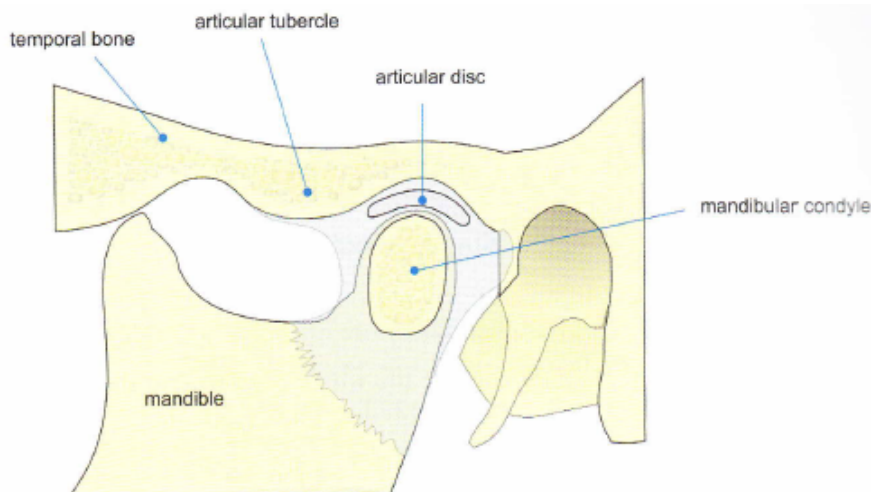
۲- بعد از تزریق SE T1 Gd با تفکیک بالا در صفحات آکسیال و کرونال به دست می‌آید. برای نمایش گسترش تومور به قاعده زبان، تصاویر ساجیتال به جای (یا علاوه بر) برش‌های کرونال استفاده می‌شود.

۳- تصاویر سرکوب چربی بعد از تزریق Gd می‌تواند بافت تومور را که افزایش کتراست یافته در فضای چربی پارا لاریتیل حتی بهتر نمایش دهد. برای پروتکل تصویربرداری MR در آزمون‌های لارنکس و هایپوفارنکس، جدول ۶-۸ را بینید.

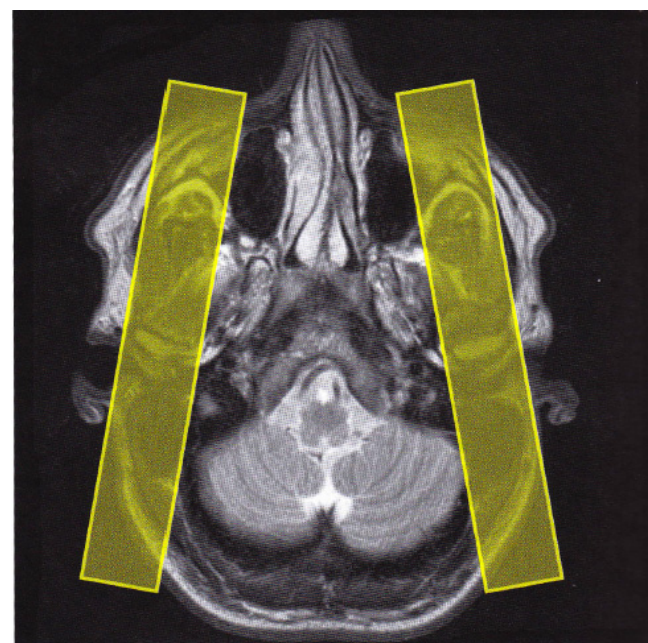
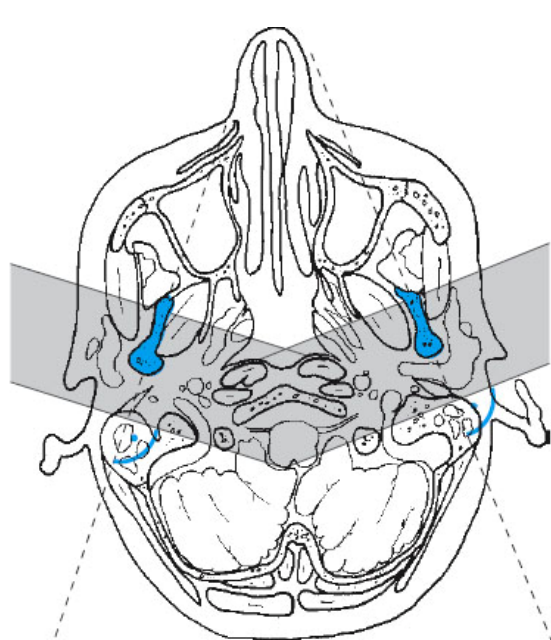
جدول ۶-۸ پروتکل‌های تصویربرداری MR در لارنکس و هایپوفارنکس

Spectral fatsat	TSE	SE	دنباله پالس
T1	T2	T1	وزن تصویر
آکسیال یا کرونال	آکسیال یا کرونال	آکسیال یا کرونال	صفحة برش
۱۱	۱۹	۱۹	تعداد برش
۶۵۰	۴۰۰۰	۵۷۰	TR(ms)
۹۰	۱۹ - ۹۳	۱۵	TE (ms)
۹۰	۹۰	۹۰	زاویه فلیپ
-	۳	-	ETL
۳	۵	۳	پهنای برش (mm)
۱۹۲×۲۵۶	۱۹۲×۲۵۶	۱۹۶×۵۱۲	ماتریس
۲۳۰	۲۳۰	۲۳۰	FOV
۷۵	۷۵	۷۵	recFOV
۱۳۰	۱۳۰	۱۳۰	پهنای باند
۲	۱	۲	تعداد دستیابی
۴:۱۰	۴:۱۶	۳:۴۴	زمان دستیابی

۶-۸- مفصل گیجگاهی فکی



مفصل گیجگاهی فکی



نمای آكسیال راهنما برای طراحی برش های ساجیتال ابليک (راست) و کرونال ابليک (چپ) از مفاصل گیجگاهی فکی به موازات و عمود بر کندیل مندیبل.

مقدمه

افراق بالینی بیمارانی با اختلال مفصل گیجگاهی فکی (TMJ) از بیمارانی با سندروم درد و اختلال عملکرد عضلات صورت (mayofacial pain dysfunction) تقریباً غیرممکن است. این آخری یک اختلال سایکوفیزیولوژیک مرتبط با استرس

است، در حالی که اولی به دلیل ناهماهنگی اجزاء گوناگون آناتومیکی مفصل ایجاد می‌شود. امروزه، MRI مشاهده مستقیم این مولفه‌های مختلف را فراهم کرده است، و بنابراین تکنیک‌هایی نظیر CT و آرتروگرافی را کنار زده است. مهم‌ترین ساختمان درون این مفصل، دیسک مفصلي است، یک صفحه فیبروکارتیلیجی متراکم مقعرالطرفین، که کندیل مندیبل را از حفره مندیبلار جدا می‌کند. نقش MRI نشان دادن وضعیت و مورفولوژی این دیسک و ارتباط آن با کندیل مندیبلار در حین حرکت است. حضور ناهنجاری‌های استخوانی (کندیل مندیبل، حفره گلنوثید و برجستگی مفصلي) نیز باید جستجو شود.

کویل‌ها و وضعیت بیمار

همانند بیشتر آزمون‌ها، سر بیمار در وضعیت سوپاین قرار می‌گیرد. آزمون TMJ با استفاده از یک کویل سطحی به بهترین شکل انجام می‌شود. یک کویل سطحی با قطر ۸-۱۲cm نسبت بهینه سیگنال به نویز را فراهم می‌کند. کویل‌های سطحی اختصاصی دو طرفه (در صورت در دسترس بودن از طرف سازنده سیستم MR شما) که در دو طرف سر و سمت خارجی مفصل به طور متقابران قرار می‌گیرد، ترجیح داده می‌شود. چون هر دو TMJ‌ها به طور همزمان تصویربرداری می‌شوند.

پروتکل دنباله

تصویربرداری استاندارد از TMJ باید شامل تصاویر ساجیتال ابليک و کرونال باشد که در وضعیت‌های دهان باز و بسته انجام می‌شود. تصویربرداری شبه دینامیک امکان‌پذیر است وقتی حداقل چهار تصویر در چهار مقدار متفاوت بازشدگی دهان انجام شود.

وسیله Burnett bidirectional TMJ، که از پلاستیک ساخته می‌شود، برای کنترل مقدار بازشدگی دهان می‌تواند مورد استفاده قرار گیرد. برای پروتکل تصویربرداری MR جدول ۶-۹ را ببینید.

۱- آزمون اساسی MR، شامل ساجیتال ابليک و کرونال SE T1 است. جهت ساجیتال ابليک موازی با کندیل مندیبل است.

۲- آزمون اساسی TSE T2 در صفحات ساجیتال و کرونال برای جستجوی حضور افیوژن مفصلي و تغییرات التهابي در کپسول مفصلي انجام می‌شود.

۳- GRE T2 در صفحات ساجیتال و کرونال نیز می‌تواند به کار رود، اما این دنباله‌ها مستعد به آرتیفیكت‌های ناشی از قابلیت پذیرش مغناطیسی، جایه‌جایی شیمیایی و جریان خون است.

جدول ۶-۹ پروتکل تصویربرداری **TMJ** از **MR**

TSE	SE	SE	دنباله پالس
T2	T1	T1	وزن تصویر
ساجیتال	کرونال	پارا ساجیتال	صفحة برش
۱۴	۱۹	۹	تعداد برش
۴۵۰۰	۴۰۰	۵۰۰	TR(ms)
۹۱	۲۰	۲۰	TE (ms)
۹۰	۹۰	۹۰	زاویه فلیپ
۸	-	-	ETL
۳	۳	۳	پهنای برش (mm)
۱۲۸×۲۵۶	۴۴۸×۵۱۲	۲۱۰×۲۵۶	ماتریس
۱۸۰	۱۸۰	۱۸۰	FOV
۵۰	۸۸	۶۳	recFOV
۱۳۰	۷۸	۷۸	پهنای باند
۳	۲	۳	تعداد دستیابی
۳:۳۶	۶:۰۰	۵:۱۵	زمان دستیابی

۷ مفاصل

کویل‌های اختصاصی، صفحات برش، وضعیت

در زیر کویل، صفحه برش و وضعیت قرار گرفتن بیمار و عضو موردنظر در مفاصل مختلف بیان می‌شود.

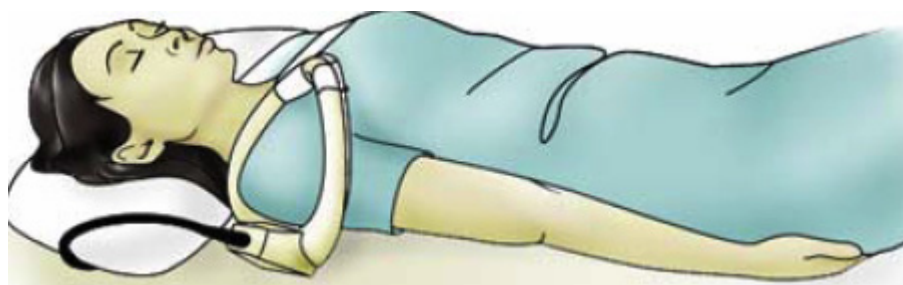
- شانه: کویل سطحی حلقی (یا کویل (Circular wrap-around

- ساجیتال ابليک = ساجیتال زاویه دار (عمود بر عضله سوپرا اسپایتوس = صفحه «اسکپولار»)

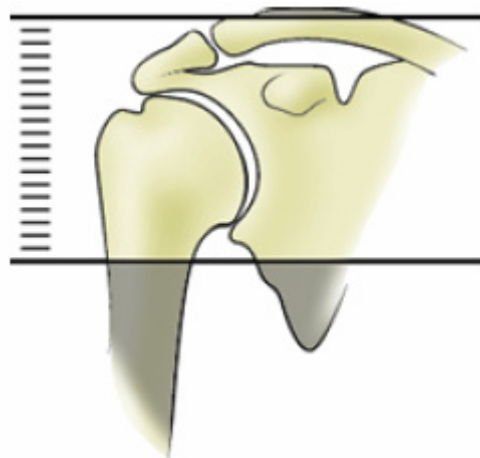
- آكسیال -

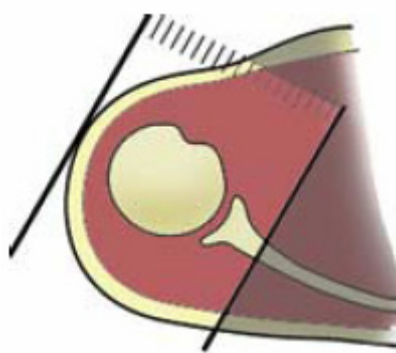
- کرونال ابليک (موازی با عضله سوپرا اسپایتوس)

وضعیت: سوپاین، بازو در حالت کشیده و کف دست سوپاین.

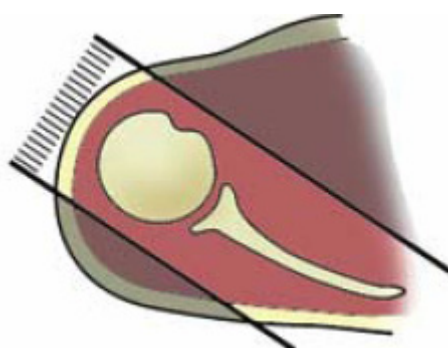


لوکالایزر کرونال جهت طراحی برش های آكسیال



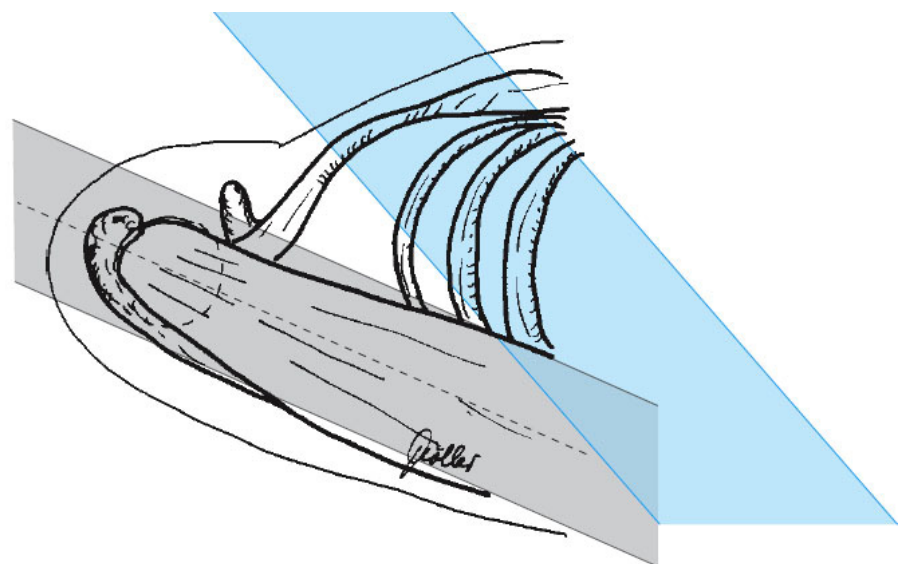


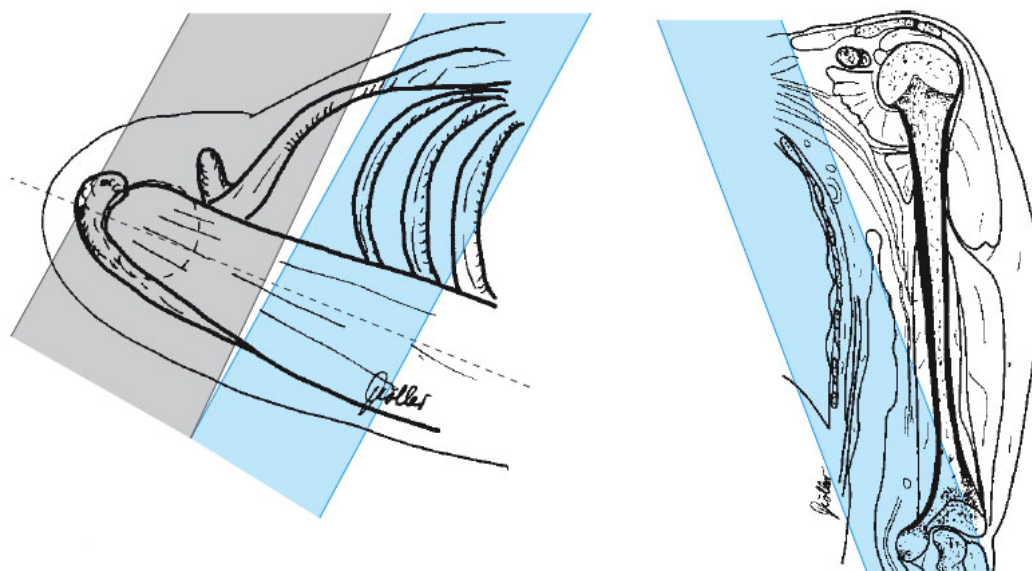
نمای آکسیال زاویه و جهت برش های ساجیتال ابليک را نشان می دهد.



نمای آکسیال زاویه و جهت برش های کروناال ابليک را نشان می دهد.

زاویه و جهت برش های
کروناال ابليک به همراه
جهت قرار دادن باند
اشباع.





زاویه و جهت برش های آکسیال ابليک به همراه جهت قرار دادن باند اشباع.

• آرنج: کویل wrap-around، کویل سطحی مستطیلی قابل انعطاف

- کرونال

- آکسیال

- ساجیتال

وضعیت: سوپاین، بازو در حالت کشیده موازی بدن، کف دست سوپاین.

• کف دست یا مج دست: کویل سطحی حلقوی (کویل wrap-around)

- کرونال

- آکسیال

وضعیت: پرون و نیمه ابليک، بازو بالاي سر در وضعیت راحت، دست با کيسه های شنی ثابت می شود، انگشتان در حالت باز و کشیده.

• ساکرو ایلیاک: کویل ستون فقرات (یا کویل آرایه فازی تمام بدن)

- پارا کرونال

- آکسیال

وضعیت: سوپاین، بالش زیر زانوها تا قوس کمر کاهش یابد.

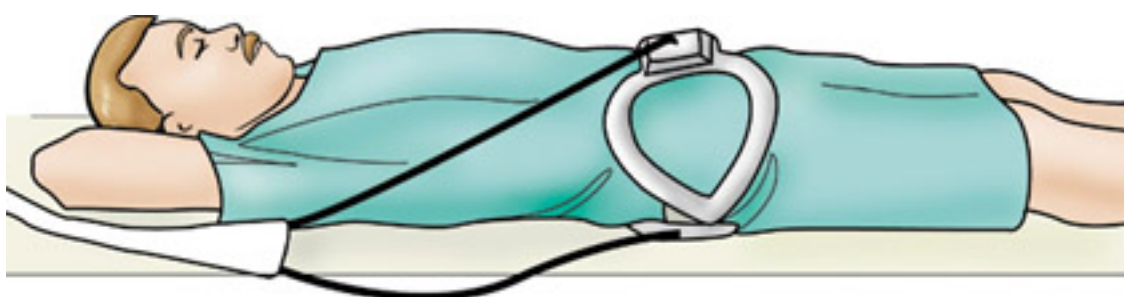
• هیپ: کویل تنہ (آرایه فازی)

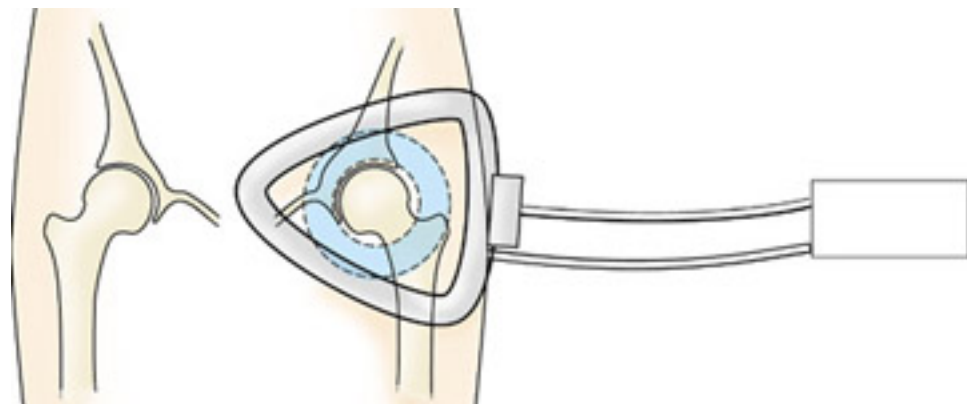
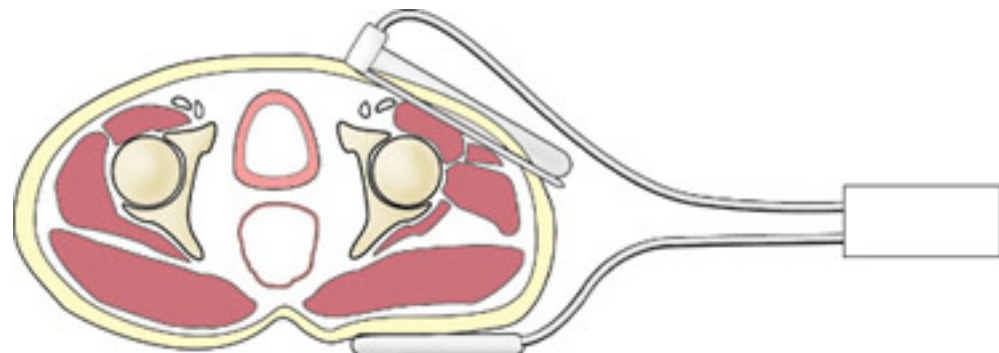
- کرونال

- پاراساجیتال

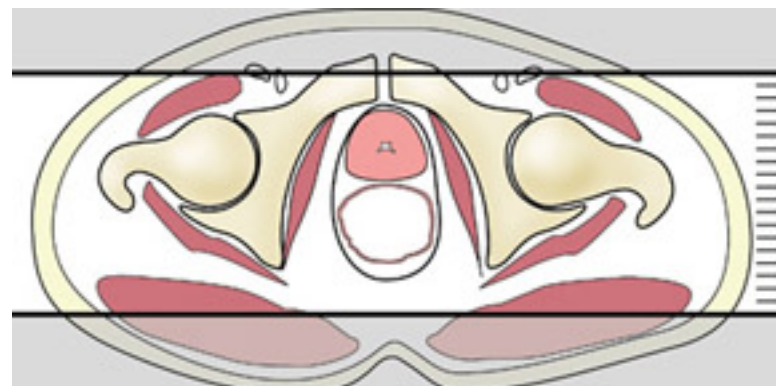
- آکسیال

وضعیت: سوپاین، پاهای 15° چرخیده به داخل و ثابت شده، بالش‌های کوچک زیر زانوها.

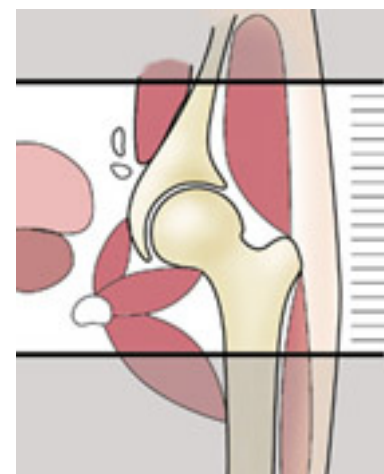




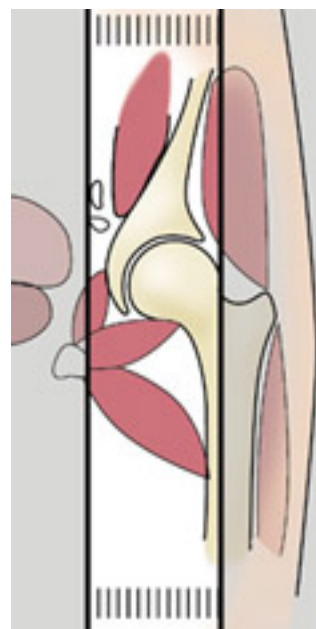
نمای لوکالایزر آکسیال، طراحی برش های کرونال .



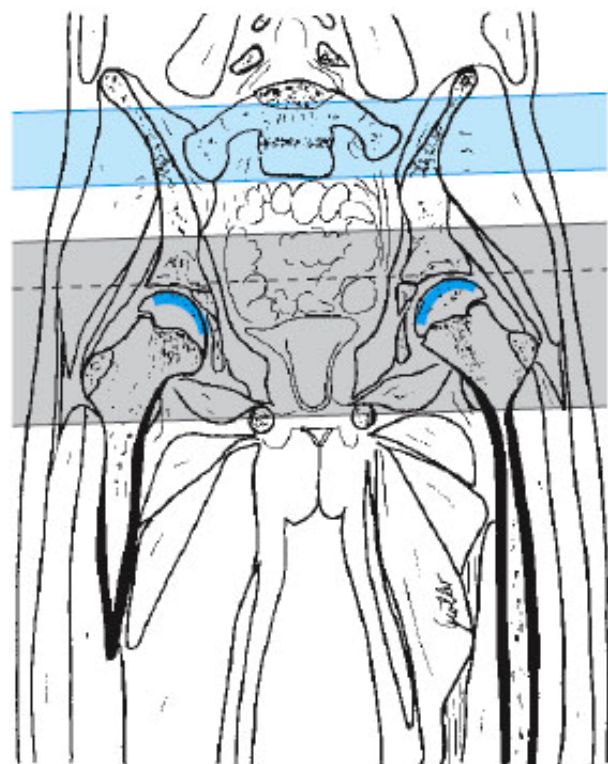
نمای لوکالایزر کرونال، طراحی و تعیین حدود برش های آکسیال از مفصل هیپ چپ.

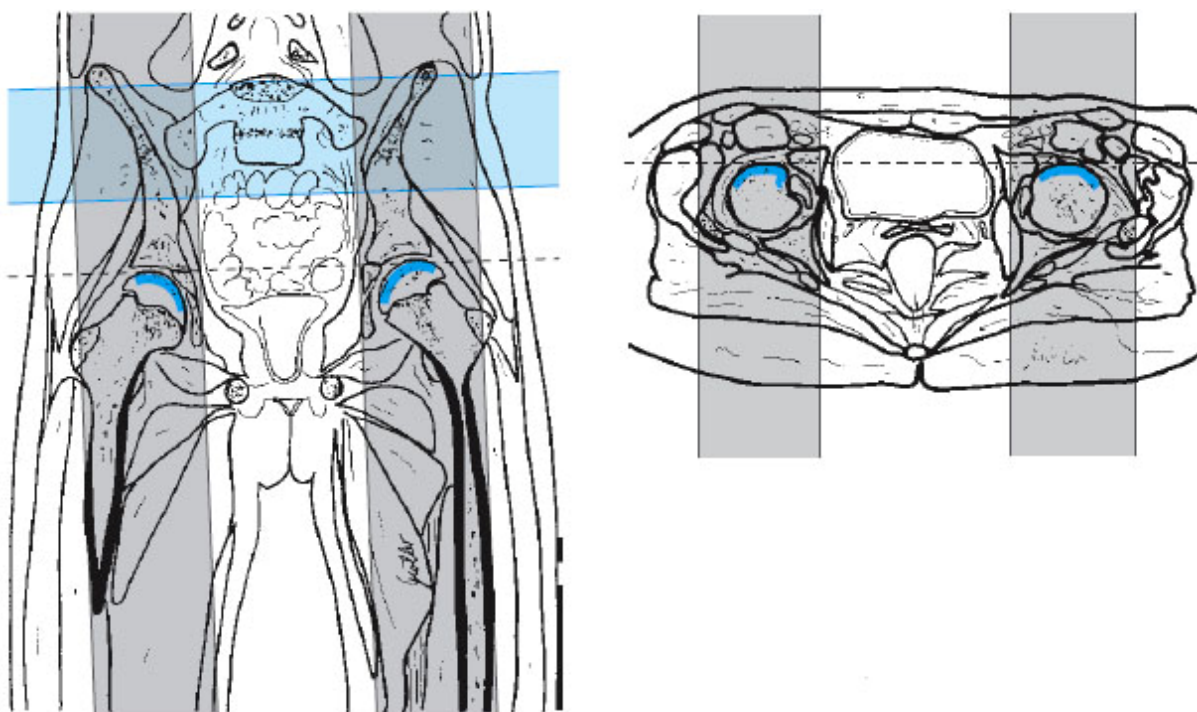


نمای لوکالایزر کرونا، طراحی و تعیین حدود برش های ساجیتال از مفصل هیپ چپ.



تعیین حدود و جهت طراحی برش های آکسیال از مفاصل هیپ هر دو طرف به طور همزمان.





تعیین حدود و جهت طراحی برش های ساجیتال از مفاصل هیپ هر دو طرف به طور همزمان.

• زانو: کوبیل یک چهارم زانو یا سر

- ساجیتال

- کرونال

- آکسیال

وضعیت: سویاين، ساق پاها كشیده، وضعیت راحت، در این وضعیت کف پا ۱۰-۱۵ درجه بطرف خارج می چرخد تا لیگامن트 صلیبی قدامی کشیده شود سپس به کمک کيسه های شنی ساق پا را ثابت کنید.

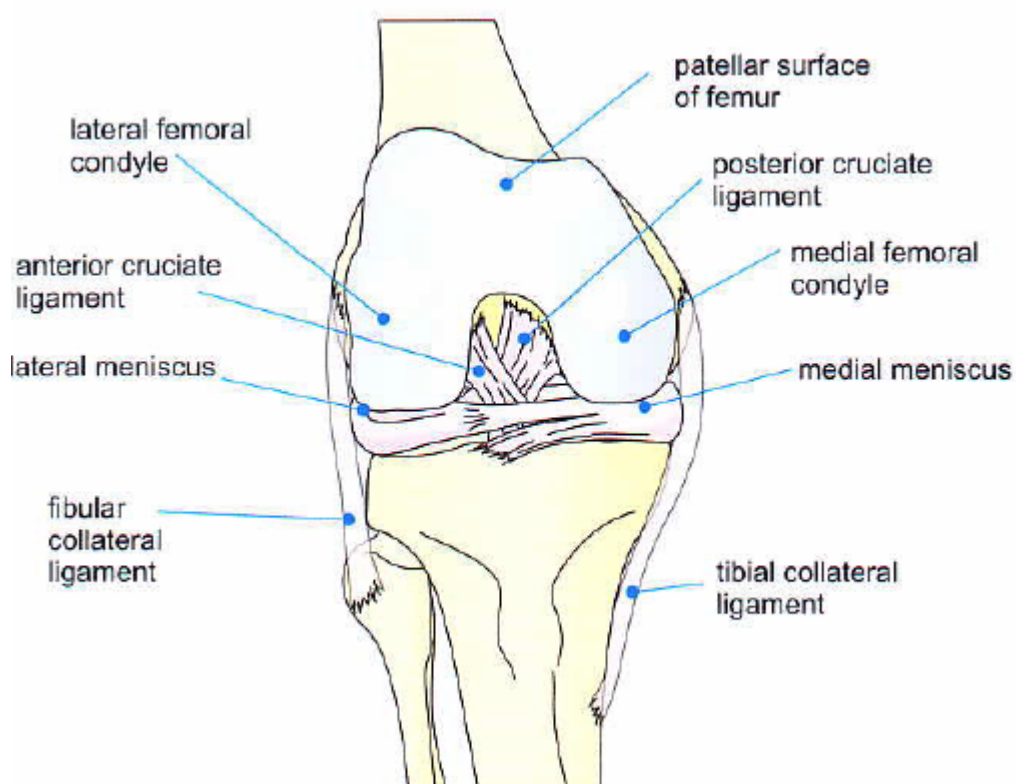
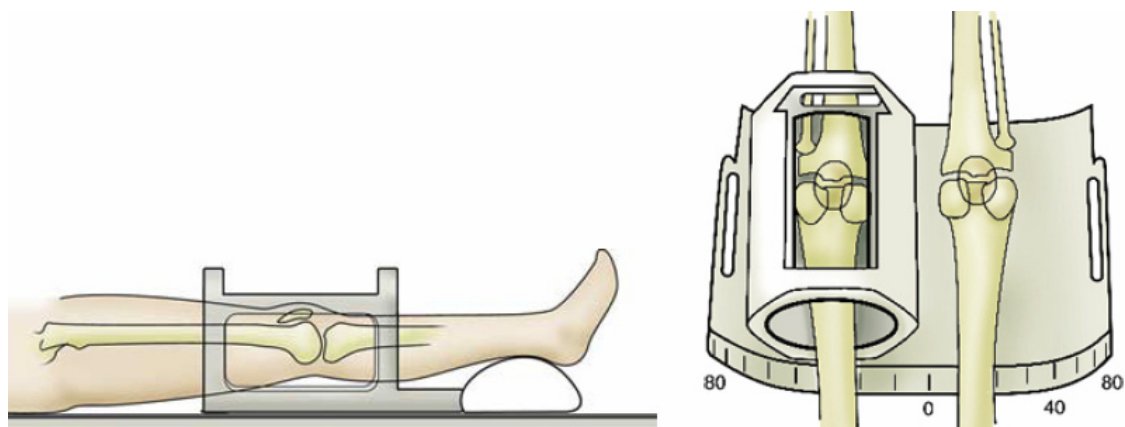
مقدار offset از چپ یا راست را مطابق با فاصله مرکز مفصل زانوی مورد نظر از خط مرکزی مگنت وارد کنید و سس اسکن را شروع کنید. برای مثال :

offset ۷۵Cm

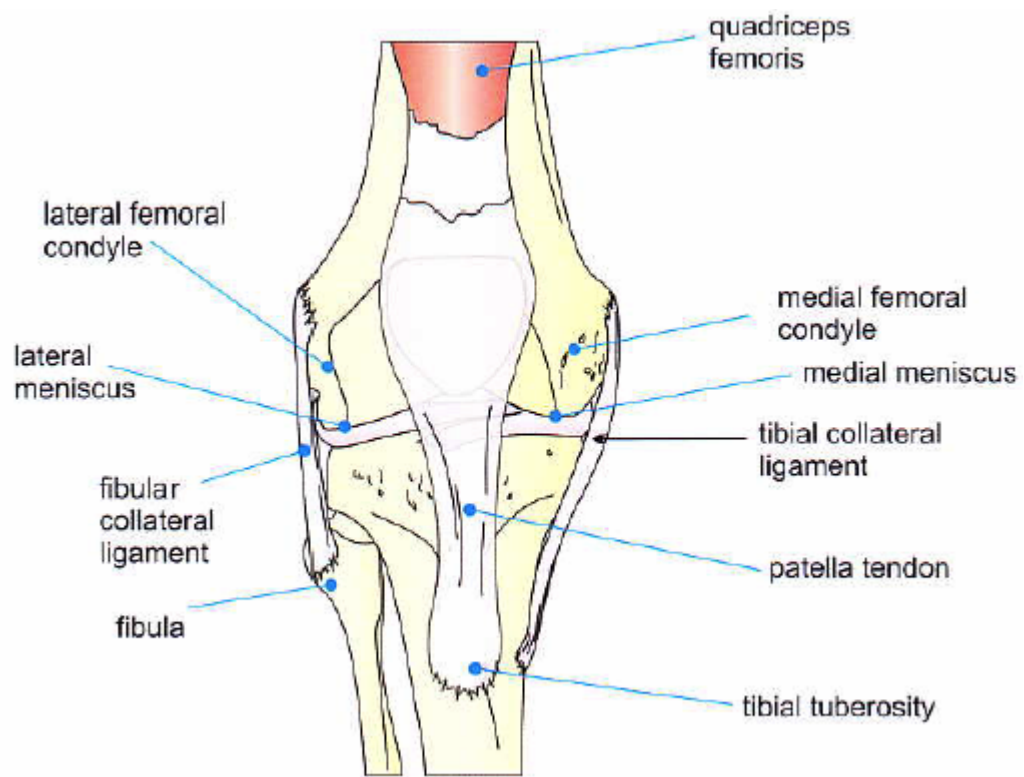
زانوی راست

offset ۴۵Cm

زانوی چپ



نمای زانوی راست از رو برو



نمای زانوی راست از رو برو

• مچ یا کف پا: کویل یک چهارم سر یا یک چهارم سر و گردن

- کرونال -

- آکسیال -

وضعیت: سوپاین، ثابت نگهداشتن با کسیه‌های شنبی

۷-۲- پروتکل‌های دنباله و کاربرد ماده کنترast

در تمام مفاصل، T_1 FSE و T_2 FSE پروتکل دنباله استاندارد هستند. علاوه بر آنها، دنباله‌های T_2 با سرکوب چربی (SPIR) یا (STIR) انجام می‌شود، که به ادم یا افیوزن حساس است. برای ارزیابی آسیب‌های غضروفی، دنباله‌های 3D GRE (با سرکوب چربی) با سرکوب چربی (FS) توصیه می‌شود. ماده کنترast با تریکوریدی در تمام موارد مشکوک به التهاب و بلاستوماهای بدخیم برای مرحله‌بندی و فاللوآپ توصیه می‌شود.

آرتوگرافی تکنیکی است که عمدهاً در مفاصل شانه، مچ پا، زانو و هیپ استفاده می‌شود. دو تکنیک متفاوت وجود دارد.

۱- تزریق وریدی ماده کتراست (تکنیک غیر مستقیم)

۲- تزریق داخل مفصلی ماده کتراست (تکنیک مستقیم)

هر دو تکنیک در موارد مشکوک آسیب‌های غضروف، لیگامان یا تاندون، یا در فالوآپ بعد از جراحی آسیب‌های غضروفی استفاده می‌شود.

با تکنیک ۷A، تزریق به داخل مفصل ضرورتی ندارد، اما کپسول مفصلی باز نمی‌شود، و روی هم افتادگی ساختارها وجود دارد. به علاوه اکستراوازیشن ماده کتراست در پارگی کپسول نمی‌تواند آشکار شود. با آرتروگرافی مستقیم، تزریق به داخل مفصل انجام می‌شود (در بسیاری موارد تحت هدایت فلوروسکوپی)، اما کتراست داخل مفصل عالی است. در بسیاری از کشورهای اروپایی، تزریق داخل مفصلی ماده کتراست MR مجاز نیست.

جدول ۷-۱ a ۷-۱ دنباله پالس برای شانه

دنباله پالس	SE	FSE+SPIR	3D-GRE	3D-GRE	آرتروگرافی مستقیم	SE+SPIR	تزریق کتراست
وزن تصویر	T1	T2	T1	T2	T1	T1	T1
صفحة برش	پارا کرونال	پارا کرونال یا آکسیال	آکسیال	آکسیال	پارا کرونال	پارا کرونال	پارا کرونال یا آکسیال
تعداد برش	۱۹	۱۹	۵۰	۷۰	۱۹	۱۹	۱۹
TR(ms)	۶۰۰	۶۰۰	۴۹	۵۰	۱۴۰۰	۳۵۰	۶۰۰
TE (ms)	۲۰	۲۰	۹	۱۹	۱۳۰	۱۴	۲۰
زاویه فلیپ	-	-	۴۵	۲۰	-	-	-
ETL	-	-	-	-	۱۲	-	-
پهنای برش (mm)	۳	۳	۱/۰	۱	۳	۳	۳
ماتریس	۵۱۲×۲۵۶	۵۱۲×۲۵۶	۵۱۲×۲۵۶	۵۱۲×۲۵۶	۵۱۲×۲۵۶	۵۱۲×۲۵۶	۵۱۲×۲۵۶
FOV	۱۸۰	۱۸۰	۱۸۰	۱۸۰	۲۰۰	۱۸۰	۱۸۰
recFOV	۷۵	۷۵	۷۵	۷۰	۶۰	۹۰	۷۵
تعداد دستیابی	۳	۳	۱	۳	۶	۳	۳

جدول b ۷-۱ دنباله پالس برای آرنج

دنباله پالس	SE	FSE+SPIR	SE+SPIR با تزریق کتراست
وزن تصویر	T1	T2	T1
صفحة برش	کرونال یا آکسیال	کرونال	کرونال یا ساجیتال
تعداد برش	۱۹	۱۹	۱۹
TR(ms)	۵۷۵	۴۰۹۰	۵۵۵
TE (ms)	۱۴	۹۵	۱۴
ETL	۵	۵	-
پهنای برش (mm)	۳	۳	۳
ماتریس	۲۵۶×۵۱۲	۲۵۶×۵۱۲	۲۵۶×۵۱۲
FOV	۱۵۰	۲۵۰	۱۵۰
recFOV	۹۵	۱۰۰	۹۵
تعداد دستیابی	۲	۳	۲

جدول c ۷-۱ دنباله پالس برای مچ / دست

دنباله پالس	FSE+STIR	SE	3D-GRE
وزن تصویر	T2	T1	T2
صفحة برش	کرونال یا آکسیال	کرونال	کرونال
تعداد برش	۱۵	۱۵	۳۰
TR(ms)	۱۲۰۰	۵۰۰	۶۰
TE (ms)	۱۶	۲۰	۱۷
ETL	۵	-	-
پهنای برش (mm)	۲/۴	۲/۴	۱
ماتریس	۲۵۶×۵۱۲	۲۵۶×۵۱۲	۲۵۶×۵۱۲
FOV	۱۴۰	۱۴۰	۱۴۰
recFOV	۱۰۰	۱۰۰	۹۵
تعداد دستیابی	۴	۳	۱

جدول ۷-۱ دنباله پالس برای مفصل ساکروایلیاک

دنباله پالس	FSE+STIR	SE	3D-GRE	SE+SPIR با تزریق کتراست
وزن تصویر	T2	T1	T2	T1
صفحة برش	پارا کرونال	پارا کرونال	پارا کرونال	پارا کرونال
تعداد برش	۲۱	۳۰	۲۱	۲۱
TR(ms)	۵۷۵	۶۰	۴۵۰	۵۷۵
TE (ms)	۱۴	۱۷	۱۴	۱۴
زاویه فلیپ	-	۲۰	-	-
ETL	-	-	-	۵
پهنه برش (mm)	۳	۱	۳	۳
ماتریس	۲۵۶×۵۱۲	۲۵۶×۵۱۲	۲۵۶×۵۱۲	۲۵۶×۵۱۲
FOV	۲۵۹	۱۴۰	۲۵۰	۲۵۰
recFOV	۱۰۰	۱۰۰	۱۰۰	۱۰۰
تعداد دستیابی	۲	۱	۳	۴

جدول ۷-۱ دنباله پالس برای هیپ

دنباله پالس	FSE+STIR	SE	3D-GRE	SE+SPIR با تزریق کتراست	SE+SPIR آرتروگرافی مستقیم
وزن تصویر	T2	T1	T1	T1	T1
صفحة برش	کرونال	کرونال	کرونال یا ساجیتال	کرونال یا ساجیتال	کرونال یا ساجیتال
تعداد برش	۱۹	۱۹	۶۰	۱۹	۱۹
TR(ms)	۱۲۰۰	۵۲۰	۴۹	۵۷۵	۵۷۵
TE (ms)	۱۳	۱۴	۹	۱۴	۱۴
زاویه فلیپ	-	-	۴۵	-	-
ETL	۵	-	-	-	-
پهنه برش (mm)	۴	۴	۱	۴	۴
ماتریس	۲۵۶×۵۱۲	۲۵۶×۵۱۲	۲۵۶×۵۱۲	۲۵۶×۵۱۲	۲۵۶×۵۱۲
FOV	۴۵۰	۴۵۰	۴۵۰	۴۵۰	۴۵۰
recFOV	۱۰۰	۱۰۰	۹۰	۱۰۰	۱۰۰
تعداد دستیابی	۲	۲	۱	۲	۲

جدول f-1 دنباله پالس برای زانو

SE+SPIR آرتروگرافی مستقیم	FSE+SPIR کتراست	3D-GRE	FSE-DUAL	SE	دنباله پالس
T1	T2	T2	T2	T1	وزن تصویر
آکسیال	کروناł	آکسیال	ساجیتال	ساجیتال	صفحة برش
۱۹	۱۹	۷۰	۲۳	۲۳	تعداد برش
۵۷۵	۱۲۰۰	۵۷۵	۲۵۰۰	۵۰۰	TR(ms)
۱۴	۱۳	۱۴	۱۲۰/۹۰	۱۴	TE (ms)
-	-	-	-	-	زاویه فلیپ
-	۶	-	۱۱	-	ETL
۳	۴	۱	۳	۳	پهنای برش (mm)
۲۵۶×۵۱۲	۲۵۶×۵۱۲	۲۵۶×۵۱۲	۲۵۶×۵۱۲	۲۵۶×۵۱۲	ماتریس
۱۵۰	۲۰۰	۱۸۰	۱۸۰	۱۵۰	FOV
۹۵	۸۰	۹۰	۱۰۰	۹۵	recFOV
۲	۳۲	۱	۴	۳	تعداد دستیابی

جدول g-1 دنباله پالس برای مج و کف پا

SE+SPIR آرتروگرافی مستقیم	SE+SPIR تزریق کتراست	3D-GRE	SE	FSE+STIR	SE	دنباله پالس
T1	T1	T1	T2	T2	T1	وزن تصویر
کروناł یا ساجیتال	کروناł یا آکسیال	کروناł یا ساجیتال	آکسیال یا ساجیتال	کروناł	کروناł یا ساجیتال	صفحة برش
۱۳	۱۳	۶۰	۱۳	۱۵	۱۳	تعداد برش
۵۵۰	۵۵۰	۴۹	۳۵۰۰	۱۵۰۰	۵۵۰	TR(ms)
۲۰	۲۰	۹	۱۲۰	۱۳	۲۰	TE (ms)
-	-	۴۵	-	-	-	زاویه فلیپ
-	-	-	-	۵۱۰	-	ETL
۳	۳	۱	۳	۳	۴۳	پهنای برش (mm)
۲۵۶×۵۱۲	۲۵۶×۵۱۲	۲۵۶×۵۱۲	۲۵۶×۵۱۲	۲۵۶×۵۱۲	۲۵۶×۵۱۲	ماتریس
۱۶۰	۱۶۰	۱۶۰	۱۶۰	۱۶۰	۱۶۰	FOV
۷۰	۷۰	۹۰	۷۰	۸۰	۷۰	recFOV
۳	۳	۱	۳	۳	۳	تعداد دستیابی

• آرتروگرافی غیرمستقیم

(a) تزریق 0.1 mmol/kg Gd

(b) حرکت مفصل (5 min)

(c) انجام تصویربرداری در مدت 30 min

• آرتروگرافی مستقیم

(a) تزریق 0.2 mmol Gd از 0.2 ml در 50 ml نرمال سالین

(b) حرکت مفصل

(c) انجام تصویربرداری در مدت 30 min

حجم برای کاربرد داخلی مفصلی: شانه: $10-20\text{ ml}$ ، هیپ $2-7\text{ ml}$ ، دست $10-20\text{ ml}$ ، مچ پا: $30-40\text{ ml}$ ، مچ پا: $6-12\text{ ml}$.

۷-۳- آرتیفکت‌ها

آرتیفکت‌ها اغلب از ایمپلنت‌های فلزی یا باقی مانده‌های فلزی جراحی قبلی ناشی می‌شود، بسته به محتوای آهن، می‌تواند نواحی ای با افت سیگنال ایجاد کند. یک شکل متفاوت، آرتیفکت زاویه جادویی است، که فقط وقتی دیده می‌شود که مسیر ساختار خطی آناتومیک در زاویه 55° با میدان مغناطیسی ثابت قرار گیرد. این آرتیفکت در ساختارهای آناتومیک نظیر زانو و مچ پا، که مسیرهای منحنی دارند، مثل روتاتورکاف، اهمیت دارد.

۷-۴- مفصل شانه

جهت برش در جدول ۷-۲ نشان داده می‌شود،

جدول ۷-۲ جهت برش

جهت برش	ساختار آناتومیک
آکسیال کروناال ابلیک ساجیتال ابلیک	لابروم گلتوئید، سربازو، فضای مفصلی تاندون و عضله سوپررا اسپاپیتوس فضای ساب آکرومیال برسای ساب اکروسیال قوس آکرومیوکلاویکولار آکرومیون، روتاتورکاف

۸ استخوان و بافت‌های نرم

۸-۱ مقدمه و ملاحظات کلی

تفکیک فضایی و کتراست عالی MRI آشکار شدن ناهنجاری‌های استخوان و مفاصل، غضروف هایالین و فیبروس، تاندون‌ها، لیگامان‌ها، عضلات و عروق را امکان‌پذیر می‌کند. جدول ۸-۱ پروتکل تصویربرداری MR برای بافت نرم و استخوان را ارائه می‌کند.

جدول ۸-۱ پروتکل پیشنهادی برای بافت نرم واسکن استخوان

مهره‌ها	هیپ		زانو						دنباله پالس
	GE	TSE	TSE	Dess3D	TSE	SE	SE	TSE	
Out of phase	T1	PD	PD		PD	T1	T1	PD	وزن تصویر
									صفحة برش
۱۶	۱۹	۱۹	۱۹	۱/۲۸	۱۹		۱۹	۱۹	تعداد برش
۵۰۰	۹۳۸	۳۲۷۰	۳۰۰۰	۲۰	۳۰۰۰	۵۰۰	۵۰۰	۳۰۰۰	TR(ms)
۱۴/۳	۱۳	۳۷	۳۶	۵/۷	۳۰	۱۴	۱۴	۲۱	TE (ms)
				۲۵					زاویه فلیپ
					-	-	۷-۱۱	۱۵-۷	ETL
۲۰	۱۰	۱۰	۲۵	۲۰	۱۰	۱۰	۱۰	۱۰	پهنای برش (mm)
۵۱۲	۵۱۲	۲۵۶	۵۱۲	۲۵۶	۵۱۲	۵۱۲	۵۱۲	۵۱۲	ماتریس
۳۸۰	۳۵۰	۲۵۰	۳۵۰	۱۵۰	۱۸۰	۱۸۰	۱۸۰	۱۸۰	FOV
۱۰۰	۱۰۰	۱۰۰	۱۰۰	۱۰۰	۱۰۰	۱۰۰	۷۵	۸۰	recFOV
۱	۲	۱	۱	۱	۲	۲	۲	۱	تعداد دستیابی
خیر	خیر	بله	خیر	بله	بله	بله	خیر	خیر	سرکوب چربی

جدول ۲-۸ دنباله‌های پالس متداول در تصویربرداری MR اسکلت عضلات و مزایا و عدم مزایای هر کدام

دنباله پالس	مزایا	عدم مزایا
$SE T_1$	بهرترین جزئیات آناتومی کتراست عالی بین پاتولوژی و چربی آشکار کردن مت هموگلوبین	عدم تمایز بین عضله و ساختارهای غیرچربی
$SE T_1$ بعد از تزریق Gd	آشکار کردن واسکولاریزاسیون آشکار کردن نکروز	
تصاویر تفریق شده	آشکار کردن نواحی ظریف بهبود کتراست Gd	
$SE T_1$ سرکوب چربی	نمایش بهتر بهبود کتراست Gd تمایز چربی و مت هموگلوبین	
$SE T_2$	آشکار کردن مایع	زمان
FSE یا $TSE T_2$	کتراست عالی بین پاتولوژی و چربی آشکار شدن مایع آشکار شدن مایع	چربی روشن باقی می‌ماند
$TSE T_2$ با سرکوب چربی	آشکار شدن عالی مایع بهترین سرکوب چربی	نیاز به میدان قوی
$TSE PD$ با سرکوب چربی	آشکار شدن خوب مایع با حفظ جزئیات آناتومیک تمایز خوب بین غضروف هایلین و افیوزن مفصلی	
STIR TURBO STIR	آشکار شدن خوب مایع سرکوب عالی چربی $T2$ و $T1$ وزن	ناید با تزریق Gd به کار رود تعداد برش‌های محدود
$GRE T_2^*$	زمان دستیابی کوتاه که امکان مطالعات دینامیک Gd را می‌دهد	آرتیفیکت قابلیت پذیرش کتراست محدود بافت نرم
خارج از فاز GE	شدت سیگنال نتیجه بین اختلاف آب و چربی است حساسیت بالا	(عموماً استفاده نمی‌شود) ویژگی پایین

۲-۸- مغز استخوان

یک روش با حساسیت بالا برای تصویربرداری مغز استخوان نرمال و غیرنرمال است و می‌تواند بین مغز استخوان چربی، سلوالی، فیبروتیک و هموسیدروتیک تمایز قائل شود.

تکنیک تصویربرداری

در اسکلت محوری، T₁ SE، STIR با سرکوب چربی و تصویربرداری جابه‌جایی شیمیایی (همفاز و خارج از فاز) به طور متداول استفاده می‌شود، در صورتی که T₂ GE و T₂^{*} SE برای آزمون مغز استخوان کمتر مناسب می‌باشد. یک پروتکل استاندارد شامل یک کرونال T₁ و یک STIR (یا T₂ با سرکوب چربی) از لگن می‌باشد.

تصویربرداری دینامیک MR

ترکیبات گادولینیوم که امروزه برای تصویربرداری عضلات اسکلتی استفاده می‌شود، اندازه مولکولی کوچکی دارد و در فضای داخل عروقی و ایتراستیشل توزیع می‌شود. اندازه مولکولی کوچک انتشار به بافت نکروتیک را ممکن می‌کند، که سبب می‌شود مقدار نکروز ایتراتومورال کمتر از آنچه هست تخمین زده شود. بنابراین MRI با بهبود استاتیک Gd مقدار نکروز ایتراتومورال را به درستی نشان نمی‌دهد. تصویربرداری دینامیک MR بعد از تزریق Gd یک ابزار تشخیصی مفید برای غلبه بر این مشکل است. تکنیک‌های مختلفی توسعه یافته است، اما تکنیک‌های اولین عبور و تفریق بیشتر استفاده می‌شود. دنباله‌های سریع یا فوق سریع با تفکیک زمانی S-۲-۳ برای هر تصویر یا مجموعه‌ای از تصاویر موازی قابل دسترس و اجباری برای اندازه‌گیری بهبود بافتی در طی اولین عبور ماده کنتراست است. پارامترهای گوناگون، نظیر زمان آغاز بهبود، پاک شدن، بهبود حداقلی، و مقادیر شب را می‌توان اندازه گرفت.

۹ قسمت فوقانی شکم

کبد، مجاری صفراء و پانکراس و طحال

۹-۱ کویل‌ها

بیمار در وضعیت سوپاین اسکن می‌شود یا با کویل تنه، که در هر سیستم در داخل تونل مگنت قرار دارد، یا ترجیحاً با یک کویل آرایه فازی. کویل‌های آرایه فازی ترکیبی از تعدادی کویل‌های کوچک است، نوعاً در جلو و پشت بیمار قرار دارد (کویل wrap-around)، یک نسبت سیگنال به نویز بالاتر و کیفیت بهتر تصویر را فراهم می‌کند. چون قطر قدامی خلفی بیماران به طور قابل ملاحظه‌ای متغیر است، لازم است کاربران میزان تقویت سیگنال را از یک سوم میانی بدن نسبت به قطر قدامی خلفی افراد تنظیم کنند تا اثر layering جلوگیری کنند. سیگنال ناهمگن در کویل‌های آرایه فازی سبب نادرستی بیشتر اندازه‌گیری‌های کمی سیگنال نسبت به کویل تنه می‌شود.

۹-۲ دنباله‌های پالس

بروتکل حداقل برای اندام‌های پارانشیمی قسمت فوقانی شکم شامل دنباله‌های وزن T1 دو بعدی (2D) یا سه بعدی (3D) و وزن T2 دو بعدی یا سه بعدی در صفحه آکسیال است. ضخامت برش از ۴-۸mm برای کبد و طحال، ۲-۴mm پانکراس، و ۱-۴mm برای عروق و کلانژیو پانکراتوگرافی متغیر است. حرکات مرتبط با تنفس علت اصلی آرتیفیکت‌های قسمت فوقانی شکم است، و تنوعی از تکنیک‌های جبرانی توسعه پیدا کرده است، مانند جبران تنفس، پالس‌های اشباع فوقانی، تحتانی، و قدامی، متوسط‌گیری متعدد، سرکوب چربی، واکوهای هدایتگر. یک تکنیک موثر استفاده از دنباله‌های قطع تنفس با زمان‌های ۲۵S یا کمتر، ترکیب شده با پالس‌های اشباع کرانیال و کودال است تا آرتیفیکت‌های ضربان را باز هم کمتر کند. عموماً نگه داشتن تنفس در بازدم انجام می‌شود تا از وضعیت‌های قابل تولید مجدد برش‌ها اطمینان حاصل شود. اگر بیمار نتواند تنفس خود را برای مدت ۲۰S نگه دارد، یک دنباله بدون قطع تنفس با متوسط‌گیری متعدد و پالس‌های اشباع ترجیح داده می‌شود. سرکوب چربی می‌تواند با هر دو دنباله پالس T1 و T2 به کار رود، استفاده از فن‌آوری سرکوب چربی مزیت بیشتری برای پانکراس و سیستم صفراء دارد تا برای کبد و طحال.

دنباله‌های قطع تنفس spoiled gradient echo (FLASH)، برای تصویربرداری وزن T1 ترجیح داده می‌شود. زمان اکوی (TE) دنباله‌های spoiled GRE باید نزدیک به $1/10T$ و $6/9ms$ باشد (۱/۵T و $4/6ms$) و نزدیک به $1/5T$ و $3/45ms$ of-phase TE نزدیک به زمان‌های اکو in-phase بھینه، بسته به استراتژی‌های بهینه‌سازی دنباله‌های پالس اختصاصی استفاده می‌شود.

دنباله‌های 3D T1 spoiled GRE با سرکوب چربی توسعه یافته‌اند و امکان تهیه برش‌های نازکتر ۳-۴mm را به هزینه مقداری آرتیفیکت فراهم می‌کنند. دنباله‌های وزن T1 همراه با ترکیبات گادولینیوم (Magnevist[®], Dotarem[®], Omniscan[®]،

پارامینیتیک (Endorem[®], Resovist[®]) به کار می‌رود.

(Telescan[®], MultiHance[®])، عوامل پارامینیتیک کبدی صفوایی (ProHance[®], Gadovist[®]) و اکسیدهای آهن سوپرا

تنوعی از دنباله‌ها برای وزن T2 قابل دسترس است. TSE به طور گستره‌های نسبت به SE ترجیح داده می‌شود، با گزینه‌های متفاوت برای دنباله‌های قطع تنفس و بدون قطع تنفس. با این حال، SE مرسوم هنوز هم یک استاندارد تشخیصی برای وزن T1 کبد است، و می‌تواند با یک ماتریس 128×256 ، پالس‌های اشباع فوقانی و تحتانی، دو دستیابی، و اشباع چربی استفاده شود. دنباله‌های قطع تنفس TSE تعداد اکو در هر TR (ETL) بیشتری استفاده می‌کند تا زمان دستیابی را با همان تفکیک فضایی کاهش دهد یا تفکیک فضایی را با همان تفکیک زمانی افزایش دهد. با این حال، استفاده از دنباله‌هایی با ETL بزرگ‌تر یعنی با تعداد بیشتری پالس 180° ریفوکاسینگ، اثر قابلیت پذیرش کاهش می‌یابد، که عامل مهمی برای کتراست آسیب درون اندام‌های پارانشیمی می‌باشد. بنابراین، دنباله‌های TSE در آسیب‌های جامد کتراست پایین‌تری از دنباله‌های متداول SE می‌دهد، اما این عدم مزیت با افزایش کیفیت تصویر جبران می‌شود. از این رو، دنباله‌های بدون قطع تنفس با تعداد محدودی اکو اما اثر قوی‌تر قابلیت پذیرش هنوز در MRI بالینی کاربرد دارد و کیفیت تصویری پایداری را فراهم می‌کند.

دنباله‌های تصویربرداری (RARE) اخیراً با استفاده از تکنیک‌های (HASTE) بهبود یافته است و از نظر بالینی مفید هستند. دنباله‌های وزن T2 با اثر قابلیت پذیرش با اکسیدهای آهن سوپر پارامینیتیک (SPIO) ترکیب می‌شود.

آنژیوگرافی MR از سیستم ورید باب، شریان‌های تغذیه‌کننده احتشاء و وریدهای احتشایی با تکنیک‌های MR آنژیوگرافی Non spoiled GRE (CE-MRA) انجام می‌شود که ترکیبی از گادولینیوم و قطع تنفس، کرونال، ۳D و دنباله‌های BEBOV کتراست گادولینیومی با وزن مولکولی پایین با استفاده از تزریق‌کننده اتوماتیک IV تزریق می‌شود، ابتدا زمان عبور بولوس می‌باشد. ترکیبات گادولینیومی با وزن مولکولی پایین با استفاده از تزریق‌کننده اتوماتیک IV تزریق می‌شود، ابتدا زمان عبور بولوس برای هر فرد به طور خودکار اندازه‌گیری می‌شود. این تکنیک نیازمند گرادیان‌های سریع است و عمده‌تاً روی سیستم‌های میدان قوی (≥ 1 T) قابل دسترس است. در روش دیگر، دنباله‌های TOF ۲D آکسیال یا کرونال با قطع تنفس ساده به کار می‌رود، ممکن است با اکسیدهای آهن سوپر پارامینیتیک نیز همراه شود، که برای تصویربرداری از عروق داخل کبدی و عروق قسمت فوقانی شکم مناسب می‌باشد. برش‌های آنژیوگرافی را باید همیشه، از طریق پس پردازش پروجکشن شدت بیشینه (MIP) با یکدیگر مشاهده کرد. روش جدیدتر، دنباله‌های non spoiled GRE متوازن FFE (balanced FFE). نوعاً به صورت ۲D دستیابی می‌کنند، این تکنیک عروق را روشن نمایش می‌دهد، بدون ملاحظه جهت و سرعت جریان خون، همچنین ساختارهای پر از مایع را روشن نمایش می‌دهد. بنابراین، این دنباله‌ها برای نشان دادن باز بودن عروق بدون استفاده از ماده کتراست مفید می‌باشد.

MR cholangio pancreatography (MRCP) یا اصلاحاتی در دنباله‌های پالس TSE/FSE/HASTE پیشرفت کرده است. رهیافت‌های جدید مطابق با فن‌آوری اسکنر متفاوت است و یا از دنباله‌های قطع تنفس ۲D یا بدون قطع تنفس و یا اغلب دنباله‌های ۳D با راهاندازی تنفسی (respiratory triggered) استفاده می‌شود. مایع داخل مجراء، در مقایسه با بافت زمینه، روشن مشاهده می‌شود. با استفاده از پس پردازش MIP برش‌ها را باید با هم به صورت کلانژیوگرام و پانکراتیکوگرام مشاهده کرد.

ماده کتراست برای MRI کبد

ترکیبات خارج سلولی گادولینیوم، غیر اختصاصی، با وزن مولکولی پایین، امروزه متداول‌ترین ماده کتراست در تصویربرداری کبد است. این ترکیبات از نظر فارماکولوژیک مشابه مواد حاجب بددار x-ray هستند و می‌تواند به صورت بولوس تزریق شود تا مطالعات دینامیکی با استفاده از تکنیک‌های چندبرش spoiled GRE تقریباً با ۲۰-۲۵ برش در یک بار قطع تنفس انجام شود. زمان‌بندی کتراست ایجاب می‌کند که تصاویر فاز شریانی (S ۲۰-۳۰ بعد از تزریق) دستیابی شوند تا آسیب‌های هایپرواسکولار مشخص شوند، تصاویر فاز پورتال (S ۵۰-۹۰ بعد از تزریق) بهبود پارانشیمی را برای آشکارکردن آسیب‌های هایپرواسکولار نشان می‌دهد. تصاویر فاز تعادلی ۲ دقیقه (تا ۱۰ دقیقه) بعد از تزریق دستیابی می‌شوند و برای آشکارکردن همانثیومها و تغییرات التهابی مفید است.

مواد کتراست داخلی سلولی اختصاصی برای کبد به منظور تصویربرداری بهتر از کبد توسعه یافته است. اولین عامل کتراست پارامنیتیک هپاتوبیلیاری Teslascan[®] است که به صورت قطره‌ای اینفیوز (تزریق) می‌شود. پس از جذب توسط هپاتوسیت‌ها همراه با صفراء و سبب افزایش شدت سیگنال در تصاویر وزن T1 می‌شود. به دلیل تزریق قطره‌ای نمی‌توان با آن اسکن دینامیک انجام داد.

ترکیب دوم، gadobenate dimeglumine MultiHance[®] است، که برای تصویربرداری از کبد قابل دسترس است. اما بیشتر برای تصویربرداری عروقی مورد توجه است. این ترکیب می‌تواند به صورت بولوس تزریق شود، و به صورتی که برای ترکیبات غیراختصاصی گادولینیوم توصیف شد می‌توان تصویربرداری را طراحی کرد که باید همراه با اسکن‌های تأخیری چند ساعت بعد از تزریق باشد تا تومورها آشکار شوند.

ذرات سوپر پارامنیتیک اکسید آهن (SPIO) بعد از چند دقیقه در سلول‌های فاگوسیت کبد (تقریباً ۸۰ درصد) و در طحال (۱۰-۵ درصد) جذب می‌شود. تومورهای بدخیم نوعاً فاقد تعداد کافی فاگوسیت هستند، به صورت آسیب‌های روشن در یک کبد تیره با دنباله‌های وزن T2 مشاهده می‌شوند. تومورهایی که تعداد فاگوسیت‌های آنها کافی می‌باشد، نظیر فوکال نودولار هایپرپلازی، آدنومای هپاتوسلولار، غیره، به حد کافی SPIO جذب می‌کنند. و بنابراین در دنباله‌های وزن T2 کاهش شدت سیگنال نشان می‌دهند. کاهش سیگنال به فعالیت سلول‌های کاپفر و واسکولاریته تومور بستگی دارد. تزریق Endorem[®] به صورت قطره‌ای در سرم نمکی یا قندی با دوز ۱۰-۱۵ μmol Fe/kg در مدت ۳۰ min با سرعت تقریبی ۳ ml/min انجام می‌شود، چون عوارض جانبی (برافروختگی، تنگی نفس، خارش، کمردرد در سرعت‌های تزریق بالاتر رخ می‌دهد) و تصاویر چند ساعت بعد از تزریق کتراست انجام می‌گیرد. Resovist[®] به صورت بولوس قابل تزریق است. بیماران را می‌توان در همان روز یا ۱-۴ روز بعد اسکن کرد.

ذرات بسیار کوچک USPIO، Sinerem[®]) طول عمر خونی طولانی‌تری دارند و ابتدا در کبد، طحال، مغز استخوان و گرهای لنفی تجمع می‌یابد. چون USPIO اثر T1 بزرگتری از SPIO دارد و نیمه عمر طولانی‌تر دارد، آنها را همچنین می‌توان به عنوان عامل T1 جریان خون در MR آنژیوگرافی یا مشخص کردن آسیب‌های کبدی به کار برد.

سیستم صفراوی

تصویربرداری MRCP با استفاده از دنباله‌های وزن سنگین T2 با TE بلندتر از زمان آسایش T2 باf تراحت نرم، صفرا را درون مجاري صفراوی و در کيسه صفرا نشان می‌دهد، از اين رو بافت نرم در سیگنال تصوير مشاركتی ندارد. اين تكنیک امكان مشاهده مایع را می‌دهد و می‌تواند به عنوان تكنیک وزن مایع درنظر گرفته شود. وزن T1 و وزن T2 با يا بدون سركوب چربی و بهبود گادولینیوم، مجرای صفرا و ساختارهای بافت نرم اطراف را نشان می‌دهد. استفاده از عوامل كتراست هپاتوبلیماری در مقایسه با دنباله‌های سنگین وزن T2 به منظور مشاهده سیستم مجاري صفراوی مزیتی ندارد.

تكنیک

تنوعی از تكنیک‌های MRCP با راهکارهای متفاوت بسته به سختافزار و نرمافزار اسکنر قابل دسترسی می‌باشد، از جمله قطع تنفس 2D، 3D، یا راهاندازی تنفسی (جدول ۹-۱).

یک راه کار قطع تنفس ساده با دنباله RARE از یک قطعه ضخیم با TE بلند و یک تصویر کرونال ابليک استفاده می‌کند که نیازی به پس پردازش اضافی ندارد. تكنیک‌های متداول مالتی اسلایس از دنباله HASTE با برش‌های نازک و پس پردازش استفاده می‌کند تا پروجکشن‌های شدت بیشینه (MIP) را تولید کند. تكنیک‌های 3D نوعاً براساس دنباله‌های TSE با راهاندازی تنفسی با استفاده از تكنیک‌های هدایت‌گر (navigator) و بازسازی‌های همپوشانی نازک، عمل می‌کنند. عوامل كتراست هپاتوبلیماری نیز شدت سیگنال بالایی را در صفرا نشان می‌دهند. و بنابراین مستقیماً لومن مجرما را نشان می‌دهند. وزن T1 با بهبود گادولینیوم مجاري را با سیگنال پایین ایترالومینال نشان می‌دهد و می‌تواند به عنوان یک تكنیک «مایع سیاه» استفاده شود. وزن T1 با بهبود گادولینیوم و سركوب چربی، ترجیحاً با تكنیک‌های قطع تنفس، برای تصویربرداری مجاري و بافت‌های نرم اطراف ایده‌آل است.

۴-۹- پانکراس

پانکراس در دنباله‌های وزن T1 با برش‌های نازک (کوچکتر از ۶mm) که كتراست خوبی از بافت پانکراس ایجاد می‌کند، به خوبی دیده می‌شود. سیگنال پانکراس می‌تواند به دلیل آتروفری، پانکراتیت، نئوپلاسم، و تجمع زیاد آهن کاهش یابد. سركوب چربی وضوح پارانشیم پانکراس و آسیب‌های کانونی پانکراس را افزایش می‌دهد. در دنباله‌های وزن T2 شدت سیگنال حتی بیش از دنباله‌های وزن T1 تغییر می‌کند، اما وزن T2 برای نمایش ساختارهای پر از مایع مفید است. اسکن‌های MR آژنیوگرافی ترجیحاً به صورت دنباله‌های CE-MRA 3D با قطع تنفس به دست می‌آید. MRCP توسط مایع ایترالومینال ساختمان مجرای پانکراس را قابل مشاهده می‌کند و به صورت دنباله‌های وزن سنگین T2 یا 3D انجام می‌گیرد.

تكنیک

دو تکنیک تزریق وریدی کتراست برای بهتر کردن MR پانکراس در دسترس می‌باشد، به خصوص برای آشکار کردن آسیب‌های کانونی کوچک و تهاجم عروقی. اول، تزریق وریدی گادولینیوم و به دست آوردن تصاویر وزن T1 و دوم، تزریق وریدی برای بهبود پارانشیم نرم‌الپا نکراس در تصاویر وزن T1 برای یک مدت طولانی‌تر می‌باشد. Teslascan

با ماده کتراست خوراکی می‌توان پانکراس را بهتر از روده‌ها نشان داد. آب ارزان‌ترین، قابل تحمل‌ترین و ایمن‌ترین ماده کتراست خوراکی، با شدت سیگنال پایین در T1 و سیگنال بالا در T2 است. آثار مواد کتراست خوراکی پارامنیتیک و سوپر پارامنیتیک در شدت سیگنال ایترالومینال به دنباله‌های پالس مورد استفاده بستگی دارد.

۹-۵ - طحال

طحال در وزن T1 هایپرایتنس و در روزن T2 هایپرایتنس است. بسیاری از آسیب‌های طحال چنین رفتار سیگنالی از خود نشان می‌دهند، که ارزش MRI ساده را جهت آشکار کردن بیماری‌های طحالی محدود می‌کند.

تکنیک

دو تکنیک متفاوت کتراست به منظور تمایز بهتر آسیب‌های طحالی استفاده می‌شود. فاز زودهنگام (early – phase) (فاز شریانی) بعد از تزریق گادولینیوم در وزن T1 یک الگوی arciform نشان می‌دهد که یک دقیقه بعد از تزریق کتراست همگن می‌شود و اختلاف پرفیوژن طحال و آسیب مشخص می‌شود.

جدول ۱-۹ دنباله‌های تصویربرداری از قسمت فوقانی شکم را نشان می‌دهد.

کلانژیوپانکراتوگرافی MR			آنژیوگرافی MR		تصویربرداری MR									پارامترها
3D TSE قطعه ضخیم	3D TSE راهاندازی تنفس	2D HASTE	2D TOF	3D CE MRA	True FISP نکشیدن نفس	HASTE نکشیدن نفس	TSE نکشیدن نفس	SE / TSE بدون نگه داشتن نفس	3D Out of phase FLASH نکشیدن نفس FS-	Out of phase FLASH نکشیدن نفس	In Phase FLASH نکشیدن نفس	FLASH نکشیدن نفس	دبale پالس	
T2	T2	T2	T1	T1	T2	T2	T2	T1	T1	T1	T1	T1	وزن تصویر	
کرونال	آکسیال یا کرونال	کرونال	آکسیال یا کرونال	آکسیال	آکسیال یا کرونال	آکسیال	آکسیال	آکسیال	آکسیال	آکسیال	آکسیال	آکسیال	صفحة برش	
قطعه ۱	۱۰-۲۰	<۲۰	۱-۳	۴۰	۱۰-۲۰	۱۵-۲۰	۵-۱۵	۱۵-۲۰	۲۰-۴۰	۱۰-۲۰	۱۰-۲۰	۱۰-۲۰	تعداد برش	
>۳۰۰۰	>۳۰۰۰	<۲۰	۵-۱۰	۵	<۱۰	<۱۰	<۴۰۰۰	>۲۵۰۰	<۱۰	۱۰۰-۲۰۰	۱۰۰-۲۰۰	۱۰۰-۲۰۰	TR(ms)	
>۵۰۰	>۵۰۰	>۵۰	۲-۱۰	۲	۲-۵	۵۰-۱۰۰	۷۵-۱۵۰	۴۰-۱۰۰	۲-۳	۲/۳	۴/۶	۴/۱	TE (ms)	
						۸۰۰-۱۰۰۰			-	-	-	-	تاخیر زمانی (ms)	
<۱۸۰	<۱۸۰	<۱۸۰	۲۰-۵۰	۲۰-۵۰	۶۰-۹۰	<۱۸۰	<۱۸۰	<۱۸۰	۱۰-۲۰	۶۰-۹۰	۶۰-۹۰	۶۰-۹۰	زاویه فلیپ	
>۱۲۸	>۱۲۸	>۱۲۸			>۱۲۸	>۱۲۸	>۲۰	<۱۲	-	-	-	-	ETL	
۵۰-۱۰۰	۱-۱۰	۵	۵	۲	۵-۳۰	۵-۱۰	۵-۱۰	۳-۱۰	۲-۶	۳-۱۰	۳-۱۰	۳-۱۰	پهنای برش (mm)	
۱۲۸×۲۵۶	۱۲۸×۲۵۶	۱۲۸×۲۵۶	۵۱۲×۵۱۲	۵۱۲×۵۱۲	۲۵۶×۲۵۶	۱۲۸×۲۵۶	۱۰۰×۲۵۶	۱۲۸×۲۵۶	۱۲۸×۲۵۶	۱۲۸×۲۵۶	۱۲۸×۲۵۶	۱۲۸×۲۵۶	ماتریس	
۳۰۰-۴۵۰	۳۰۰-۴۵۰	۳۰۰-۴۵۰	۳۰۰-۴۵۰	۳۰۰-۴۵۰	۳۰۰-۴۵۰	۳۰۰-۴۵۰	۳۰۰-۴۵۰	۳۰۰-۴۵۰	۳۰۰-۴۵۰	۳۰۰-۴۵۰	۳۰۰-۴۵۰	۳۰۰-۴۵۰	FOV	
۱	۱	۱	۱	۱	۱	۱	۱	۱	۲-۶	۱	۱	۱	تعداد دستیابی	

۱۰- کلیه‌ها و غدد فوق کلیوی

MRI اطلاعات مفیدی به‌ویژه در مرحله‌بندی تومورهای کلیوی به دست می‌دهد. استفاده از تکنیک‌های تصویربرداری

سریع نیز اطلاعاتی در مورد عملکرد کلیه فراهم می‌کند و تصویربرداری از تمام سیستم اداری را امکان‌پذیر می‌کند. با امکان تصویربرداری مستقیم از سیستم ادراری متسع، MR اروگرافی می‌تواند جایگزین روش‌های تهاجمی شود.

۱۰-۱- کویل‌ها و وضعیت بیمار

تصویربرداری MR از کلیه‌ها با کویل‌های آرایه فازی که نسبت سیگنال به نویز را با فاکتور ۲ تا ۳ افزایش می‌دهد انجام می‌شود، که اجازه می‌دهد از میدان دید (FOV) کوچکتر استفاده شود تا تصاویری با تفکیک بالا به دست آید. بیمار در وضعیت سوپاین در گانتری قرار می‌گیرد. ترجیحاً از بیمار خواسته می‌شود که از خوردن و آشامیدن خودداری کند تا روده‌ها خالی باشد. این به ویژه هنگام MR اروگرافی مهم است، که در بازسازی ۳D تصویر روده‌ها روی قسمت فوقانی دستگاه ادراری برهم نهیده می‌شود، و به این وسیله کیفیت تصویرنهاخی خراب می‌شود. برای کاهش آرتیفیکت‌های حرکتی به دلیل تنفس، مفید است که از نوار کامپرس استفاده شود. دنباله‌های نگهداشتن تنفس یا جبران تنفس باید برای جلوگیری از آرتیفیکت‌ها ثابت نابهجا استفاده شود. آرتیفیکت‌های حرکتی ناشی از پریستالیس دستگاه گوارش را می‌توان با استفاده از گلوکاگون یا هیوسین کاهش داد. تزریق عضلانی یکی از این داروها قبل از آزمون MR پریستالیس را کاهش می‌دهد.

۱۰-۲- پروتکل دنباله

گرادیان اکو آکسیال وزن T1 هم in-phase، توربو اسپین اکو TSE وزن T2 با سرکوب چربی از قله دیافراگم تا قطب تحتانی کلیه‌ها به دست می‌آید (جدول ۱۰-۱). این تصاویر GRE وزن T1 هم با in-(phase) و هم با TE ۴/۷ ms (out of phase) برای آشکارکردن لپید در آسیب‌های کلیه یا آدرنال دستیابی می‌شوند. تصاویر T1-GRE با اشباع چربی، قطع تنفس قبل و در حین تزریق وریدی گادولینیوم به دست می‌آید. همین دنباله GRE در طول زمان تکرار می‌شود؛ مثلاً بعد از ۳۰S، ۶۰S، ۹۰S، ۱۲۰S و ۱۸۰S. آزمون بعد از تزریق کنتراست را می‌توان یا با دنباله‌های ۲D یا ۳D انجام داد. صفحه برش تصویربرداری ۲D باید به گونه‌ای انتخاب شود که ارزیابی دینامیک هر دو کلیه امکان‌پذیر باشد و عموماً صفحه کرونال است، برای تصویربرداری از کلیه‌ها اغلب صفحه کرونال ترجیح داده می‌شود چون با تعداد کمی برش امکان ارزیابی هر دو کلیه، عرق کلیوی، ورید اجوف تحتانی و ستون فقرات امکان‌پذیر می‌باشد. FOV به طور کلی بین ۳۰ و ۴۰ cm مطابق با ابعاد بیمار انتخاب می‌شود. ابعاد ماتریس (فرکانس ۵۱۲ × ۲۵۶ × ۲۵۶) بسته به سیستم اسکنر انتخاب می‌شود.

برای بررسی سیستم ادراری فوقانی از MR اروگرافی استفاده می‌شود، یا یک دنباله TSE وزن سنگین T2 با جبران تنفس یا یک دنباله 2D HASTE یا SS-FSE (Single-shot fast spin echo). با قطع تنفس در صفحه کرونال به دست می‌آید (جدول ۱۰-۱). برای افزایش تفکیک کنتراست و کاهش سیگنال چربی، هنگام انجام TSE MR اروگرافی باید سرکوب چربی استفاده شود. برای ارزیابی توده‌های کلیوی به طور روتین تزریق کنتراست انجام نمی‌شود، اما برای ارزیابی موارد مشکوک به

ترانزیشنال سل کارسینوما (TCC) باید MR اروگرافی با تزریق کتراست نیز انجام شود. برای این آزمون، ۱۰mg فوروزماید قبل از تزریق گادولینیوم تزریق می‌شود، تصاویر ۲D یا ۳D دینامیک از کلیه‌ها همان‌طور که قبلاً توصیف شد به دست می‌آید، و سپس کلیه‌ها، حلب و مثانه با یک دنباله کرونال ۳D با سرکوب چربی با یا بدون راهاندازی تنفسی به دست می‌آید.

تصاویر MR اروگرافی با تزریق کتراست و دنباله‌های HASTE یا SS-FSE یا باید جهت یک نمایش ۳D بازسازی شوند، که نوعاً با استفاده از الگوریتم پروجکشن شدت بیشینه (MIP) انجام می‌گیرد. برای ارزیابی پاتولوژی‌های در اروگرافی، لازم است که داده‌های خام را ارزیابی کنیم چون گاهی پاتولوژی‌های کوچک انسداد دهنده در نمایش ۳D مشخص نمی‌شود.

جدول ۱۰-۱ دنباله‌های پالس برای کلیه‌ها

3D GRE (fat-suppressed) breath-hold	MR urography 2D or 3D TSE/HASTE	GRE (fat-suppressed) breath-hold	TSE (fat-suppressed) breath-hold	GRE (in-phase and opposed-phase) breath-hold	دنباله پالس
T1	T2	T1	T2	T1	وزن تصویر
کرونال	کرونال	آکسیال یا کرونال	آکسیال	آکسیال	صفحة برش
۱۰ - ۲۰	۱۵ - ۲۰	۱۰ - ۲۰	۱۰ - ۲۰	۱۰ - ۲۰	تعداد برش
Min	>۳۰۰۰	۵۰ - ۳۰۰	۴۰۰۰ - ۶۰۰۰	۵۰ - ۳۰۰	TR(ms)
Min	>۵۰۰	Min	۱۰۰ - ۱۵۰	۴/۲ ، ۱/۲	TE (ms)
۲۰	<۱۸۰	۹۰	۶۰ - ۹۰	۹۰	زاویه فلیپ
۲	۲ - ۴	۶	۶	۶	پهنای برش (mm)
۵۱۲×۱۹۲	۱۲۸×۲۵۶	۱۲۸×۱۹۲	۲۵۶×۲۵۶	۱۹۶×۲۵۶	ماتریس
۳۰۰ - ۴۰۰	۳۰۰ - ۴۰۰	۳۰۰ - ۴۰۰	۳۰۰ - ۴۰۰	۳۰۰ - ۴۰۰	FOV
۲	۲ - ۴	۱	۲	۱	تعداد دستیابی
<۳۰	<۵	<۰/۳۰	<۰/۳۰	<۰/۳۰	زمان (min)

۱۰-۳- تصویربرداری از غدد فوق کلیوی

کتراست عالی بافت نرم در MRI امکان مشاهده مورفولوژیکی خوب از غدد آدرنال را فراهم می‌کند و در تمایز بین اتیولوژی‌های خوش خیم و بدخیم مفید است. MRI کراراً برای مشخص کردن توده‌های آدرنال که به طور تصادفی در CT با US یافت می‌شود به کار می‌رود.

کوبیل‌ها و وضعیت بیمار

بیمار باید به گونه‌ای قرار گیرد که غدد آدرنال در یا نزدیک به صفحه آیزوسترمگنت قرار گیرد. MRI آدرنال نوعاً با یک کویل آرایه فازی تنہ انجام می‌شود.

پروتکل دنباله

با استفاده از جبران جریان، پالس‌های پیش اشباع فضایی در بالا و پایین حجم تصویربرداری، و جبران تنفس (کاهش آرتیفکت‌های کدگذاری فاز در وزن T_1 و راهاندازی تنفسی در وزن T_2) کیفیت تصویر بازهم افزایش می‌یابد. با این حال جهت کدگذاری فاز در صفحات مختلف باید به دقت انتخاب شود به طوری که ناحیه مورد نظر با آرتیفکت سایه پوشیده نشود. به علاوه دنباله‌های آکسیال FSE وزن T_2 با سرکوب چربی و دنباله‌های GRE وزن T_1 می‌تواند مفید باشد (جدول ۱۰-۲). سرکوب چربی همچنین آرتیفکت‌های حرکتی ناشی از تنفس و نویز را کاهش می‌دهد. اگرچه آزمون‌ها عموماً فقط در صفحه عرضی انجام می‌شود، کرونال وزن T_1 برای تعیین ارتباط بین غدد آدرنال و اندام‌های مجاور مفید است.

جدول ۱۰-۲ دنباله پالس برای غدد آدرنال

TSE breath-hold	GRE (fat-suppressed) breath-hold	TSE (fat-suppressed) breath-hold	GRE (in-phase and opposed-phase) breath-hold	دنباله پالس
T_2	T_1	T_2	T_1	وزن تصویر
آکسیال	آکسیال یا کرونال	آکسیال	آکسیال	صفحه برش
۱۰ - ۲۰	۱۰ - ۲۰	۱۰ - ۲۰	۱۰ - ۲۰	تعداد برش
۴۰۰۰ - ۶۰۰۰	۵۰ - ۳۰۰	۴۰۰۰ - ۶۰۰۰	۵۰ - ۳۰۰	TR(ms)
۱۰۰ - ۱۵۰	Min	۱۰۰ - ۱۵۰	۴/۲ ، ۱/۲	TE (ms)
۲۰	۹۰	۷۰ - ۹۰	۹۰	زاویه فلیپ
۲	۶	۶	۶	پهنای برش (mm)
۵۱۲×۱۹۲	۱۲۸×۱۹۲	۲۵۶×۲۵۶	۱۹۶×۲۵۶	ماتریس
۳۰۰ - ۴۰۰	۳۰۰ - ۴۰۰	۳۰۰ - ۴۰۰	۳۰۰ - ۴۰۰	FOV
۲	۱	۲	۱	تعداد دستیابی
<۳۰	<۰/۳۰	<۰/۳۰	<۰/۳۰	زمان (min)

۱۱ لگن

۱۱-آمادگی و وضعیت بیمار و انتخاب کویل

تصویربرداری تشدید مغناطیسی (MR) روش تصویربرداری انتخابی در بیشتر پاتولوژی‌های نورولوژیک و عضلات اسکلت است. به طور کلی، تصویربرداری MR از لگن کاملاً مورد پژوهش قرار گرفته، مشکلات تکنیکی اندکی دارد، و به سرعت به عنوان تکنیک انتخابی در بسیاری از شرایط بالینی، به خصوص در انکولوژی اورولوژیک و گاینکولوژیک پذیرفته شده است. لگن به حد کافی از دیافراگم دور است به طوری که آرتیفکت تنفسی حداقل است.

پریستالسیس رودهای را می‌توان با دارو کاهش داد، و مانورهای وضعیت بیمار و پر بودن مثانه می‌تواند به دور کردن رودها از میدان دید کمک کند. عروق بزرگ به تصاویری با کیفیت خوب با استفاده از دنباله‌های قابل اطمینان و تکرارپذیر بستگی دارد. بنابراین، تجهیزات مدرن با شدت‌های میدان بالا ($T_{1/2}$) به طور ایده‌آل برای تصویربرداری از لگن مناسب است. با این وجود، تصاویری با کیفیت مناسب بالینی را اغلب با سیستم‌های میدان پایین، معمولاً با افزایش زمان تصویربرداری، می‌توان به دست آورد. در بیماری که همکاری می‌کند، تصاویر مفید بالینی را می‌توان در شدت‌های میدانی به کوچکی $T_{1/2}$ به دست آورد.

انتخاب بیمار برای تصویربرداری MR لگن ندرتاً مشکل‌ساز است. برخی بیماران با درد شدید لگنی ممکن است نیاز به کوتاه کردن پروتکل داشته باشند. مثانه نباید قبل از آزمون تخلیه شده باشد، به طور ایده‌آل هنگام وقت دادن به بیمار گفته می‌شود ۲ تا ۳ ساعت قبل از آزمون مثانه را تخلیه کند و بعد به طور نرمال از مایعات استفاده کند. از پر کردن زیاد مثانه نیز باید خودداری شود، چون سبب ناراحتی زیاد بیمار می‌شود، به ویژه اگر زمان تصویربرداری طولانی شود. به طور معمول از مواد کتراست خوراکی یا رکتال استفاده نمی‌شود. با این حال، اگر بیمار لاغر است برای ایجاد کتراست کافی و مشخص کردن لوپ‌های روده از کتراست خوراکی استفاده می‌شود. به همین ترتیب اگر گره‌های لنفاوی رتروپریتون و فوقانی لگن مورد جستجو باشند، مثلاً در بدخیمی‌های گاینکولوژیک، مواد کتراست خوراکی استفاده می‌شود. این ماده می‌تواند یک عامل کتراست مثبت باشد، که برای افزایش سیگنال رودها در تصاویر وزن T_1 طراحی شده‌اند، یا عامل کتراست منفی باشد، که سیگنال روده را کاهش می‌دهد. یک مثال از عامل کتراست مثبت گادولینیوم دی‌اتیلن تری‌آمین پتا استیک اسید (Gd-DTPA, Oral Magnevist, Schering) است. این ترکیب عمدتاً بر پایه آب و حاوی مانیتول است. مزیت این ترکیب راحتی و سرعت استفاده است، همچنین یک ستون کتراست قابل اعتماد، که تحت شرایط نرمال در مدت ۳۰ دقیقه به لگن می‌رسد ایجاد می‌کند. اما ممکن است پریستالسیس را افزایش دهد، که استفاده از عوامل آنتی اسپاسمودیک رودهای را ضروری می‌سازد. یک راه دیگر استفاده از محلول خوراکی اکسید‌آهن سوپر پارامغناطیس است، که سیگنال روده را کاهش می‌دهد، به ویژه در تصاویر وزن T_2 ($T_2\text{-WI}$). مثالی از این ترکیب Nycomed[®] (Abdoscan[®]) است. این ترکیب یک زمان کاربرد ۲ ساعته دارد، قابل تحمل است اما طعم نامطبوعی دارد، و لازم است در انتخاب دنباله دقت شود چون برخی دنباله‌های گرادیان اکو آرتیفکت قابلیت پذیرش در اطراف کتراست ایجاد می‌کند. وضعیت بیمار معمولاً سوپاین می‌باشد اگرچه در وضعیت پرون نیز تصویربرداری می‌تواند انجام شود که در این صورت حرکت دیواره قدامی شکم در حین تنفس کمتر می‌شود، به علاوه رودها از لگن به طرف بالا رانده می‌شوند.

تنوعی از کویل‌ها را می‌توان برای تصویربرداری از لگن استفاده کرد. در بیشتر سیستم‌های مدرن با شدت میدان بالا، کویل بدن کفایت می‌کند و برای بررسی بزرگی گره‌های لنفاوی لگن و رتروپریتون در موارد بدخیمی‌های لگنی استفاده می‌شود. جزئیات بیشتر آناتومی و پاتولوژی را می‌توان با تنوعی از طراحی کویل‌های سطحی نمایش داد. بیشتر سازندگان از سیستمی استفاده می‌کنند که شامل کویل‌های سطحی قدامی و خلفی می‌باشد. کویل‌های آرایه فازی که در بیشتر سیستم‌ها قابل دسترس است، نسبت سیگنال به

نویز، تفکیک فضایی، و تفکیک کتراس است عالی به دست می‌دهند. تقاضا برای افزایش نسبت سیگنال به نویز و راحتی قرار گرفتن کویل‌های درون حفره‌ای سبب شده است تا کویل‌های درون حفره‌ای، شامل کویل‌های آندورکتال، آندوآنال، و آندو واژینال توسعه یابد. البته از بین اینها، فقط کویل آندورکتال، به طور گسترده در تصویربرداری پروستات استفاده می‌شود.

۱۱-۲- پروتکل‌های دنباله

ملاحظات کلی

به عنوان یک قاعده کلی، انتخاب دنباله در لگن موازن بین بیشینه کردن نسبت سیگنال به نویز، تفکیک کتراس است، و تفکیک فضایی و در عین حال حداقل نگهداشتن زمان تصویربرداری را دربر می‌گیرد. لندهارک‌های آناتومیک لگن به راحتی در تصویربرداری MR قابل شناسایی است. چون در اکثر افراد توسط چربی از هم جدا شده‌اند. دنباله‌های اسپین اکو (SE) و دنباله‌های Spoiled Gradient Recalled Echo (GRE) اساس بیشتر پروتکل‌ها را تشکیل می‌دهند. دنباله‌های T₁ SE و T₂ TSE را می‌توان در اسکنرهای با شدت میدان بالا در مدت ۱-۵ دقیقه انجام داد. چون آرتیفکت‌های حرکتی کمتر از قسمت فوکانی شکم است، نیازی به دنباله‌های بسیار سریع نیست. در مواردی که به حضور یا عدم حضور پاتولوژی در لگن شک داریم، تکنیک‌هایی با کتراس است بسیار بالا، نظیر STIR، به طور قابل قبولی در لگن نیز کار می‌کند. دنباله STIR دارای این مزیت اضافه نیز می‌باشد که سیگنال چربی را سرکوب می‌کند. دنباله‌های دیگری که سیگنال چربی را سرکوب می‌کنند تکنیک‌های سرکوب چربی جابجایی شیمیایی می‌باشد. این دنباله‌ها عموماً با وزن T₁ به کار می‌روند و می‌توان بعد از تزریق گادولینیوم نیز از این دنباله‌های سرکوب چربی استفاده کرد تا حساسیت به بافت پاتولوژیک افزایش یابد.

برخی اندام‌های لگن، به خصوص گردن و جسم رحم و غله پروستات دارای آناتومی منطقه‌ای هستند یعنی به وضوح در دنباله‌های وزن T₂ مشاهده می‌شوند. دنباله‌های SE/TSE همچنین ادرار و دیگر مایعات لگنی را به صورت ناحیه‌ای با سیگنال بالا نشان می‌دهند. در نتیجه، مهمترین دنباله منفرد است، و اگر زمان تصویربرداری محدود است، برای مثال در بیماران کلاستروفوبیک، ابتدا دنباله وزن T₂ انجام می‌شود. پروتکل‌های دنباله برای هر اندام مجزای لگن مطابق با پاتولوژی تحت بررسی تغییر می‌کند. در این بخش تکنیک‌های اساسی تصویربرداری ارائه می‌شود، و در بخش بعدی برخی اصلاحات برای پاتولوژی‌های خاص بیان می‌گردد. در تمام دنباله‌هایی که از میدان دیدی کمتر از ۲۰۰ mm استفاده می‌کنند، از پهنه‌ای باند کمتر استفاده می‌شود تا SNR کافی برقرار باشد. در نتیجه، پهنه‌ای باند کمتر یک آرتیفکت جابجایی شیمیایی به اندازه یک پیکسل بین تصویر آب و چربی ایجاد می‌کند. این را باید در تفسیر نتایج در نظر داشت. اگر پهنه‌ای باند به ۲۱۰ Hz/Pixel یا بیشتر افزایش یابد (در ۱/۵ T)، سیگنال‌های آب و چربی در پیکسل یکسانی قرار می‌گیرند، اما نسبت سیگنال به نویز کاهش می‌یابد.

استفاده از پیش اشباع فضایی بهبود قابل ملاحظه‌ای در کیفیت تصویر به دست آمده در ناحیه لگن ایجاد می‌کند. این به خصوص زمانی که از کویل سطحی آرایه فازی استفاده می‌شود صادق است. در این موارد، تنظیم صحیح فیلتر normalization (بهنجارسازی) (در صورت دسترسی بودن) ضروری است.

دنباله‌های تصویربرداری در صفحه عرضی به پیش اشباع فضایی بافت، هم در پروکسیمال و هم در دیستال حجم تصویربرداری نیاز دارد تا اسپین‌های جریان خون را اشباع کند و از تغییرات سیگنال به دلیل جریان خون عبوری از میان چینش تصاویر جلوگیری شود. اگر دنباله‌ها، در یک بار قطع تنفس به دست آیند، همین کفایت می‌کند؛ در غیر این صورت، کیفیت تصویر را با استفاده از پیش اشباع فضایی چربی زیرجلدی قدامی و خلفی دیواره شکم می‌توان بهبود داد. در دنباله‌هایی که از یک میدان دید کوچک استفاده می‌کنند، این نواحی پیش اشباع باید از لبه حجم تصویربرداری به ماوراء سطح پوست کشیده شود. در دستیابی‌های ساجیتال، استفاده

از پیش اشیاع فضایی قدامی و خلفی در کیفیت تصویر بهبد ایجاد می‌کند. همانند صفحه عرضی (آکسیال)، این نواحی پیش اشیاع باید در حد حجم تصویربرداری یا، در صورت ضرورت، اندکی فراتر از آن طراحی شود.

در صفحه کرونال، پیش اشیاع فضایی فقط وقتی ضروری است که عروق خونی بزرگ به درون حجم تصویربرداری جریان می‌باید. بهنجارسازی سگینال نباید در صفحه کرونال انجام شود.

۱۱-۳- بررسی گره‌های لنفی (nodal survey)

یک کاربرد شایع MRI لگن مرحله‌بندی بدخیمی ارولوژیک یا گاینکولوژیک است. یک بخش اصلی از این مطالعه بررسی لگن و رتروپریتون برای گره‌های بزرگ شده است (جدول ۱۱-۱). خردمندانه است که ابتدا این قسمت از مطالعه را تکمیل کنیم. تصاویر لگن با استفاده از دنباله‌های T₂ و spoiled T₁ گردایان اکو (قطع تنفس)، در صفحه آکسیال، از دو شاخه آورت تا ناحیه اینگوئینال درست زیر کanal فمورال انجام می‌شود. ضخامت برش باید ۸-۱۰mm باشد. این اندازه‌ها در بیمارانی با ارتفاع قد مختلف می‌تواند متفاوت باشد، سپس رتروپریتون با دنباله‌های T₂ با سرکوب چربی نظری (Turbo-IR) تصویربرداری می‌شود (جدول ۱۱-۱).

جدول ۱۱-۱ دنباله‌های پالس پیشنهادی برای بررسی گره‌های لنفی لگن (دنباله‌های قطع تنفس).

T2- کرونال	T2- آکسیال	T1- آکسیال	پارامترها
Turbo-IR	TSE	GE	دنباله پالس
T2	T2	T1	وزن تصویر
کرونال	آکسیال	آکسیال	صفحة برش
۱۵	۱۶	۱۶	تعداد برش
۴۸۰۰	۵۰۰۰	۱۶۳	TR(ms)
۶۰	۱۲۰	۴/۱	TE (ms)
۱۵۰	-	-	TI (ms)
-	-	۷۵	زاویه فلیپ
۱۱	۱۵	۱	ETL
۶	۵	۵	پهنای برش (mm)
۲۵۶×۱۷۶	۲۵۶×۱۲۸	۲۵۶×۱۲۸	ماتریس
۲۳۰	۳۰۰	۳۰۰	FOV
۱۰۰	۶۵	۶۵	recFOV
۲	۱	۱	تعداد دستیابی

۱۱-۴- رحم و گردن رحم

ابتدا، یک دنباله لوکالایزه کننده در صفحه آکسیال، با استفاده از یک تکنیک دستیابی سریع باید به دست آید که بتوانیم رحم را در آن مشخص کنیم. بعد دنباله‌های T₂ اساس تصویربرداری از گردن و تنہ رحم را تشکیل می‌دهد (جدول ۱۱-۲). ابتدا باید برش‌های ساجیتال به دست آید که از روی آن جهت قرار گرفتن رحم تعیین می‌شود. تصاویر بعدی وزن T₂ باید عمود بر جهت

محور بلند رحم تهیه شود. این جهت معمولاً پارا آکسیال است، اما در بیمارانی با آنته ورژن شدید رحم، این جهت می‌تواند نزدیک به صفحه کروناش باشد. گاهی رحم، به جلو خم شده است (anteflexed) یعنی زاویه قابل ملاحظه‌ای بین گردن و تن رحم وجود دارد. در این شرایط صفحه تصویربرداری باید عمود بر گردن رحم باشد. اگر به گسترش اطراف رحمی سرطان مشکوک باشیم، یک دنباله T_1 عمود بر محور بلند رحم می‌تواند گسترش تومور را نشان دهد، اگر توسعه کانسر مورد شک باشد یک دنباله سرکوب چربی، نظیر STIR، می‌تواند کمک کند؛ یا تصاویر T_1 با سرکوب چربی قبل و بعد از تزریق گادولینیوم به دست آید. تصویربرداری صفحه کروناش گاهی مفید است به خصوص اگر گسترش بیماری به واژن در دنباله‌های اولیه مورد شک قرار گیرد.

تصاویری با بهترین کیفیت از رحم و گردن رحم با استفاده از دنباله‌های TSE در سیستم‌های $T_1/0-T_2/5$ به دست می‌آید.

جدول ۱۱-۲ دنباله‌های پالس برای رحم و گردن رحم.

پارامترها	Sagittal- T_2	Axial- T_1	Axial- T_1
دنباله پالس	TSE	TSE	TSE
وزن تصویر	T2	T1	T2
صفحة برش	آکسیال	آکسیال	کروناش
تعداد برش	۱۵	۱۵	۱۵
TR(ms)	۳۵۰۰	۴۰۰۰	۷۰۰
TE (ms)	۱۲۰	۱۲۰	۱۲
TI (ms)	-	-	-
زاویه فلیپ	-	-	-
ETL	۱۵	۱۵	۳
(mm)	۵	۴	۴
ماتریس	۲۵۶×۱۹۲	۲۵۶×۱۹۲	۲۵۶×۱۹۲
FOV	۱۸۰	۱۶۰	۱۶۰
recFOV	۱۰۰	۱۰۰	۱۰۰
تعداد دستیابی	۲	۲	۳

۱۱-۵ - تحمدان‌ها

تحمدان‌ها و ساختمان‌های ضمیمه‌ای (adenxal) با هر فن‌آوری نسبتاً مشکل تصویربرداری می‌شوند. آلتراسوند عموماً اولین تکنیکی است که استفاده می‌شود، اما MR قادر به تشخیص توده‌ها و سیسته‌های آدنکس می‌باشد. باز هم دنباله‌های وزن T_2 و T_1 برای نمایش پاتولوژی کفایت می‌کند (جدول ۱۱-۳). صفحه آکسیال اهمیت ویژه‌ای دارد، و صفحه کروناش اغلب به روشن شدن رابطه توده‌ها با رحم و عروق کمک می‌کند. صفحه ساجیتال کاربرد محدودی دارد.

جدول ۱۱-۳ دنباله‌های پالس پیشنهادی برای تخدانها.

پارامترها	آکسیال T2-	آکسیال T1-	آکسیال T2-	آکسیال T2-	کرونال
دنباله پالس	TSE	Turbo-IR	TSE	TSE	
وزن تصویر		T2	T2	T1	
صفحة برش			آکسیال	آکسیال	کرونال
تعداد برش	۱۵	۱۵	۱۵	۱۵	۱۱
TR(ms)	۴۰۰۰	۴۸۰۰	۷۰۰	۴۰۰۰	
TE (ms)		۶۰	۱۲۰	۴/۱	
TI (ms)		۱۵۰	-	-	-
زاویه فلیپ		-	-	-	-
ETL	۱۵	۱۱	۳	۱۵	
پهنای برش (mm)	۵	۶	۵	۵	
ماتریس	۲۵۶×۱۹۲	۲۵۶×۱۷۶	۲۵۶×۱۹۲	۲۵۶×۱۲۸	
FOV	۲۳۰	۲۳۰	۲۳۰	۲۳۹	
recFOV	۱۰۰	۷۵	۷۵	۷۵	
تعداد دستیابی	۲	۱	۳	۲	

۱۱-۶- واژن

تصاویر وزن T_2 یا SE TSE اساس تصویربرداری از واژن را تشکیل می‌دهد (جدول ۱۱-۴). میدان دید کوچک با تفکیک بالا گاهی می‌تواند لایه‌های دیواره‌های واژن را از هم متمایز کند. تصاویر آکسیال، کرونال و ساجیتال همگی در نمایش رابطه واژن با اندام‌های مجاور مورد استفاده قرار می‌گیرد. ترجیحاً تامپون‌ها باید خارج شوند چون می‌تواند مانع از تشخیص جزئیات شود.

۱۱-۷- پروستات

آناتومی منطقه‌ای پروستات به خوبی با دنباله‌های وزن T_2 یا SE TSE نشان داده می‌شود (جدول ۱۱-۵). بین غده داخلی (inner gland) که به طور غالب منطقه گذار (transition zone) است، و غده خارجی (outer gland) که به طور غالب منطقه پیرامونی (peripheral zone) است، کتراست خوبی را می‌توان نشان داد. کتراست منطقه‌ای در دنباله‌های وزن T_1 دیده نمی‌شود، اما با استفاده از گادولینیوم و دنباله‌های وزن T_1 می‌توان پاتولوژی‌ها را بسیار متمایز از بافت نرم‌مال مشاهده کرد. تصاویر وزن T_2 SE TSE را باید ابتدا در صفحه آکسیال به دست آورد. برش‌های کرونال و ساجیتال در مرحله‌بندی بدھیمی استفاده می‌شوند. بهترین نتایج با استفاده از یک کویل سطحی لوکال، نظیر کویل لگنی آرایه فازی به دست می‌آید. استفاده از میدان دید کوچک و تفکیک بالا برای تصویربرداری از پروستات و وزیکول‌های سمتی‌ال ضروری است (جدول ۱۱-۶).

جدول ۱۱-۴ دنباله‌های پالس پیشنهادی برای واژن.

آکسیال- T1	کرونال- T1	ساجیتال- T1	آکسیال- T2	کرونال- T2	ساجیتال- T2	پارامترها
TSE	TSE	TSE	TSE	TSE	TSE	دنباله پالس
T1	T1	T1	T2	T2	T2	وزن تصویر
آکسیال	کرونال	ساجیتال	آکسیال	کرونال	ساجیتال	صفحه برش
۱۳	۱۳	۱۳	۱۳	۱۳	۱۳	تعداد برش
۶۰۰	۶۰۰	۶۰۰	۳۰۰۰	۳۰۰۰	۳۰۰۰	TR(ms)
۱۲	۱۲	۱۲	۱۲۰	۱۲۰	۱۲۰	TE (ms)
-	-	-	-	-	-	TI (ms)
-	-	-	-	-	-	زاویه فلیپ
۳	۳	۳	۱۵	۱۵	۱۵	ETL
۶	۴	۴	۶	۴	۴	پهنانی برش (mm)
۲۵۶×۱۹۲	۲۵۶×۱۹۲	۲۵۶×۱۹۲	۲۵۶×۱۹۲	۲۵۶×۱۹۲	۲۵۶×۱۹۲	ماتریس
۱۸۰	۲۰۰	۲۰۰	۱۸۰	۲۰۰	۲۰۰	FOV
۱۰۰	۱۰۰	۱۰۰	۱۰۰	۱۰۰	۱۰۰	recFOV
۲	۲	۲	۲	۲	۲	تعداد دستیابی

جدول ۱۱-۵ دنباله پالس پیشنهادی برای پروستات.

کرونال- T2	آکسیال- T2	پارامترها
TSE	TSE	دنباله پالس
T2	T2	وزن تصویر
کرونال	آکسیال	صفحه برش
۱۳	۱۳	تعداد برش
۳۸۰۰	۴۰۰۰	TR(ms)
۱۲۰	۱۲۰	TE (ms)
-	-	TI (ms)
-	-	زاویه فلیپ
۱۵	۱۵	ETL
۴	۴	پهنانی برش
۲۵۶×۱۶۲	۲۵۶×۱۶۲	ماتریس
۱۶۰	۳۰۰	FOV
۱۰۰	۷۵	recFOV
۴	۴	تعداد دستیابی

جدول ۱۱-۶ دنباله پالس پیشنهادی برای پروستات (کویل گیرنده آندورکتال).

T1- آکسیال	T2- آکسیال	ساجیتال- T2	پارامترها
TSE	SE	TSE	دنباله پالس
T2	T1	T2	وزن تصویر
کرونال	آکسیال	آکسیال	صفحه برش
۱۵	۱۵	۱۵	تعداد برش
۶۰۰۰	۶۰۰	۶۰۰۰	TR(ms)
۱۱۲	۱۷	۱۱۲	TE (ms)
-	-	-	TI (ms)
-	-	-	زاویه فلیپ
۱۵	-	۱۵	ETL
۳	۳	۳	پهنای برش (mm)
۲۵۶×۲۴۰	۲۵۶×۲۵۰	۲۵۶×۲۴۰	ماتریس
۱۲۰	۱۲۰	۱۲۰	FOV
۱۰۰	۱۰۰	۱۰۰	recFOV
۱۳۰	۱۳۰	۱۳۰	پهنای باند
۳	۲	۳	تعداد دستیابی

۱۱-۸- مثانه

تنوعی از تکنیک‌ها برای مطالعه مثانه به کار رفته است. دنباله‌های وزن T₂ یا TSE یا SE برای نمایش توسعه بدخیمی به دیواره مثانه مفید است (جدول ۱۱-۷). دنباله‌های وزن T₁ یا TSE برای نمایش گسترش تومورهای اطراف مثانه به کار می‌رود. بهتر است تصویربرداری در هر دو صفحه ساجیتال و آکسیال انجام شود. باید توجه شود که مثانه به خصوص مستعد آرتیفیکت‌های جابجایی شیمیایی است، که دلیل آن مشخصات سیگنالی بسیار متفاوت ادرار، دیواره مثانه و چربی اطراف مثانه است، و انتخاب دنباله باید بازتاب این واقعیت باشد.

۱۱-۹- ناحیه آنورکتال

در سال‌های اخیر دو کاربرد عمده برای تصویربرداری MRI از ناحیه آنورکتال توسعه یافته است (جدول ۱۱-۸ و ۱۱-۹). اول تصویربرداری از بیماری التهابی و شکل‌گیری فیستول است. تصاویر آکسیال و کرونال را می‌توان برای نمایش عضلات کف لگن استفاده کرد، و تصاویر کرونال به ویژه در توسعه شرایط التهابی نظیر فیستول اهمیت دارد. توسعه فیستول به کف لگن به طور مطمئن‌تری با MRI آشکار می‌شود. تنوعی از دنباله‌های بازگشت وارون (IR) آزمایش شده‌اند، و تصاویر STIR به طور گستردگی

به کار رفته‌اند، که با دنباله‌های T₁ SE همراه می‌شوند. برخی از محققین برای نمایش توسعه فیستول استفاده از گادولینیوم را توصیه می‌کنند.

دومین کاربرد اصلی مرحله‌بندی کارسینومای رکتال قبل از جراحی است. تصویربرداری اولیه در صفحه ساجیتال از پرینه تا برجستگی ساکروم است. بیشتر تومورهای رکتوم دیده خواهند شد، و هنگامی که تعیین محل شدند باید با استفاده از یک دنباله T₂ تصویربرداری شوند. برش‌های نازک (3-4mm)، میدان دید کوچک، و ماتریس ظریف در صفحه‌ای عمود بر محور بلند تومور باید با استفاده از یک دنباله وزن T₂ به دست آید.

عمولأً تصاویر رضایت‌بخشی با استفاده از کویل تن به دست می‌آید، اما تصاویری با کیفیت بالا، میدان دید کوچک با استفاده از کویل‌های لگنی آرایه فازی بهتر به دست می‌آید.

جدول ۱۱-۷ دنباله‌های پیشنهادی پالس برای مثانه.

T2-Sagittal	T2-Sagittal	پارامترها
TSE	TSE	دنباله پالس
T1	T2	وزن تصویر
ساجیتال	ساجیتال	صفحة برش
۱۵	۱۵	تعداد برش
۸۰۰	۴۰۰۰	TR(ms)
۱۴	۱۲۰	TE (ms)
-	-	TI (ms)
-	-	زاویه فلیپ
۳	۱۵	ETL
۵	۵	پهنا برش (mm)
۲۵۶×۱۹۲	۲۵۶×۱۹۲	ماتریس
۱۸۰	۱۸۰	FOV
۱۰۰	۱۰۰	recFOV
۱۹۰	۱۳۰	پهنا باند
۲	۲	تعداد دستیابی

۱۱-۱۰- ژنیتال خارجی مردان

MRI برای تصویربرداری از ژنیتال خارجی مردان بسیار مناسب است (جدول ۱۱-۱۰). جسم اسفنجی و اجسام غاری توسط لایه‌های فاسیا از هم جدا می‌شوند، و مجرای ادرار در میان جسم اسفنجی در بخش ونترال پنیس قرار دارد. تومورهای مجرای ادراری و تنوعی از شرایط التهابی و ترومایی را می‌توان نمایش داد. تصاویر وزن T₂ کتراست خوبی به دست می‌دهند. و تصاویر T₁ بعد از تزریق گادولینیوم برای نمایش تومورها مفید هستند. یک کویل لگنی آرایه فازی ایده‌آل است، و توجه به جزئیات هنگام وضعیت دادن

اندام آقایان تفسیر تصاویر را راحت‌تر می‌کند. می‌توان از یک کویل کوچک سطحی استفاده کرد که سیگنال خوبی به دست می‌دهد و نیاز به بیش نمونه‌گیری را، برای کنترل آرتیفیکت‌های آلایزینگ، کاهش می‌دهد.

محتویات اسکروتال را می‌توان با دنباله‌های وزن T_1 و T_2 تصویر کرد. صفحه آکسیال برای بیضه‌ها و اپیدیدیم‌ها، و نیز صفحه کرونال مفید می‌باشد. تنوع گسترهای از پاتولوژی‌ها، شامل تومورها و ترومماها، توسط MRI نشان داده می‌شوند، اما این تکنیک در بیشتر موارد کاربرد بالینی جایگزین آلتراسوند نشده است.

ژنیتال خارجی خانم‌ها را نیز می‌توان با استفاده از یک کویل لگنی آرایه فازی تصویربرداری کرد. کاربردها محدود است، اما برای مرحله‌بندی کارسینومای مهبل، و تومورهای مجرای ادرار مفید است.

جدول ۱۱-۸ دنباله‌های پالس پیشنهادی برای ناحیه آنورکتال.

پارامترها	ساجیتال	T_2 -کرونال	T_1 -آکسیال	T_2 -آکسیال	T_2 -کرونال	T_2 -کرونال	آکسیال
دنباله پالس	TSE	Turbo-IR	Turbo-IR	TSE	TSE	TSE	Turbo-IR
وزن تصویر	T2	T2	T1	T2	T2	T2	T2
صفحة برش	آکسیال	کرونال	آکسیال	آکسیال	کرونال	ساجیتال	آکسیال
تعداد برش	۱۳	۱۳	۱۳	۱۳	۱۳	۱۳	۱۳
TR(ms)	۴۰۰۰	۴۰۰۰	۷۵۰	۴۰۰۰	۴۰۰۰	۴۰۰۰	۴۰۰۰
TE (ms)	۶۰	۶۰	۱۴	۱۲۰	۱۲۰	۱۲۰	۶۰
TI (ms)	-	-	-	-	-	-	-
زاویه فلیپ	-	-	-	-	-	-	-
ETL	۱۱	۱۱	۳	۱۵	۱۵	۱۵	۱۱
(mm)	۵	۴	۵	۵	۴	۴	۵
ماتریس	۲۵۶×۱۶۲	۲۵۶×۱۶۲	۲۵۶×۱۹۲	۲۵۶×۱۶۲	۲۵۶×۱۶۲	۲۵۶×۱۶۲	۲۵۶×۱۶۲
FOV	۱۶۰	۱۶۰	۱۶۰	۱۶۰	۱۶۰	۱۶۰	۱۶۰
recFOV	۱۰۰	۱۰۰	۱۰۰	۱۰۰	۱۰۰	۱۰۰	۱۰۰
پهنانی باند	۱۳۰	۱۳۰	۱۹۵	۱۳۰	۱۳۰	۱۳۰	۱۳۰
تعداد دستیابی	۲	۲	۳	۴	۴	۳	۲

جدول ۱۱-۹ دنباله‌های پالس پیشنهادی برای رکتوم.

آکسیال-T2	آکسیال-T1	آکسیال-T2	ساجیتال-T2	پارامترها
TSE	TSE	TSE	TSE	دنباله پالس
T2	T2	T2	T1	وزن تصویر
ترانسورس	ساجیتال	ترانسورس	ترانسورس	صفحة برش
۲۶	۱۹	۲۵	۲۵	تعداد برش
۶۶۰۰	۵۰۰۰	۵۰۰۰	۶۰۰	TR(ms)
۱۳۰	۱۳۰	۱۳۰	۱۱	TE (ms)
	-	-	-	TI (ms)
	-	-	-	زاویه فلیپ
۱۵	۱۵	۱۵	۳	ETL
۳	۳	۸	۸	پهنه‌ی برش
۲۵۶×۱۹۲	۵۱۲×۳۸۴	۵۱۲×۳۸۴	۵۱۲×۳۸۴	ماتریس
۱۴۰	۳۰۰	۳۸۰	۳۸۰	FOV
۱۰۰	۶۰	۷۵	۷۵	recFOV
۱۳۰	۱۳۰	۲۲۰	۱۳۰	پهنه‌ی باند

جدول ۱۱-۱۰ دنباله‌های پالس پیشنهادی برای ژنیتال خارجی

آکسیال-T1	آکسیال-T2	ساجیتال-T1	ساجیتال-T2	پارامترها
TSE	TSE	TSE	TSE	دنباله پالس
T1	T2	T1	T2	وزن تصویر
آکسیال	آکسیال	ساجیتال	ساجیتال	صفحة برش
۱۵	۱۵	۱۳	۱۳	تعداد برش
۸۰۰	۴۵۰۰	۷۵۰	۴۰۰۰	TR(ms)
۱۴	۱۲۰	۱۴	۱۲۰	TE (ms)
	-	-	-	TI (ms)
	-	-	-	زاویه فلیپ
۳	۱۵	۳	۱۵	ETL
۵	۵	۳	۳	پهنه‌ی برش
۲۵۶×۱۹۲	۲۵۶×۱۹۲	۲۵۶×۱۹۲	۲۵۶×۱۹۲	ماتریس
۱۶۰	۱۶۰	۱۶۰	۱۶۰	FOV
۱۰۰	۱۰۰	۱۰۰	۱۰۰	recFOV
۱۹۵	۱۳۰	۱۹۵	۱۳۰	پهنه‌ی باند

۱۲ قلب

۱۲-۱ بازسازی صفحه برش

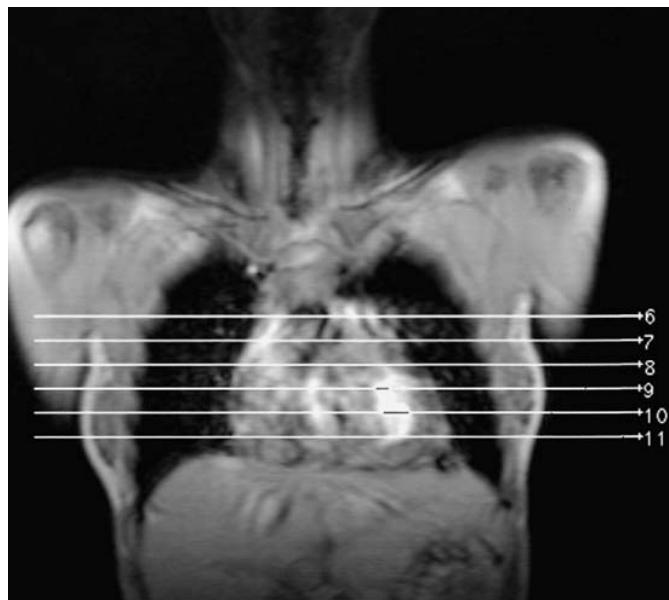
محور قلب به موازات محور بدن نمی‌باشد، مزیت بزرگ MRI توانایی انتخاب و تصویربرداری در هر صفحه، موازی یا عمود بر محور قلب می‌باشد. تصویربرداری در صفحه استاندارد امکان می‌دهد تا تصاویر MR را بتوان با تصاویر به دست آمده از دیگر مدالیتهای تصویربرداری نظیر اکوکاردیوگرافی و آنژیوکاردیوگرافی مقایسه کرد. محورهای قلبی که عموماً برای تصویربرداری انتخاب می‌شوند عبارتند از محور کوتاه (نمای دو حفره‌ای) و محور بلند (نمای چهار حفره‌ای). برای به دست آوردن این محورها، یک سری تصاویر راهنمای (scout) (یا تصاویر لوکالایزر)، با تفکیک پایین، بدون دریچه قلبی، با دنباله گرادیان اکو باید به دست آید:

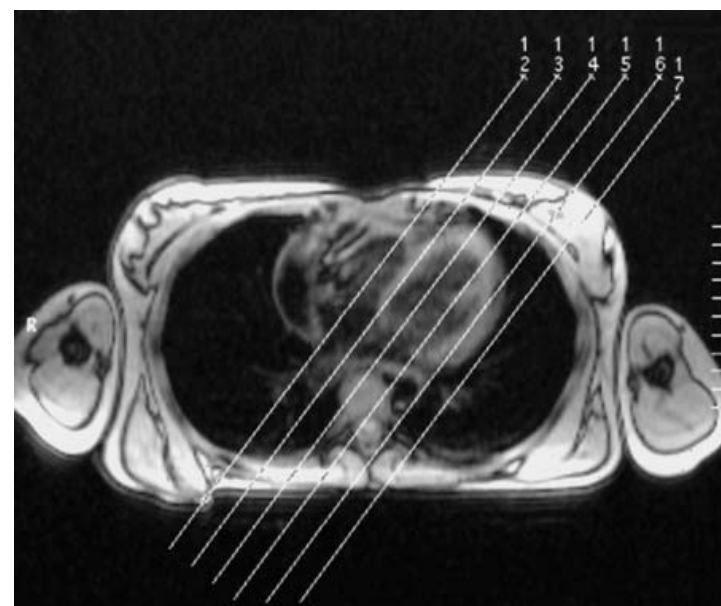
۱- کرونا (یک تا سه تصویر)، از میان یک سوم میانی قفسه سینه، تا لندمارک‌های فوقانی و تحتانی به دست آید (شکل ۱۲-۱).

۲- آکسیال (شش تصویر)، از میان قلب، طراحی شده از روی راهنمای کرونا (شکل ۱۲-۲).

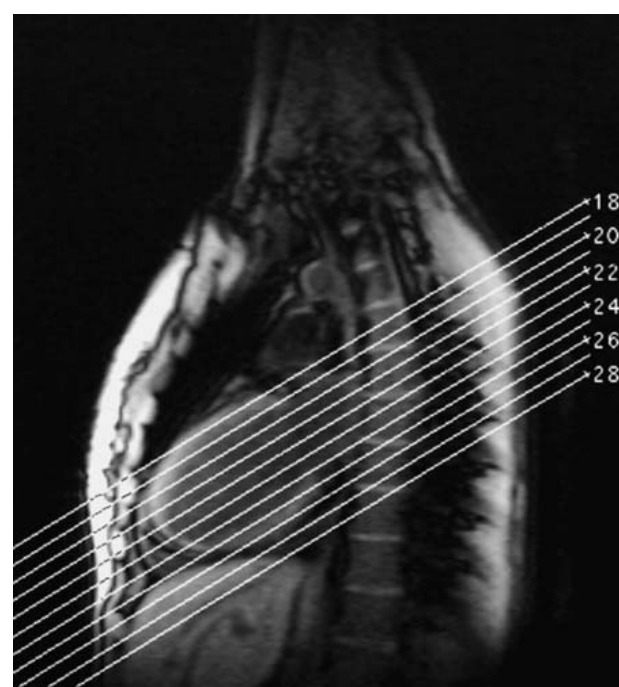
۳- ابليک (شش تصویر)، طراحی شده از روی راهنمای آکسیال، موازی با سپتوم بطنی (شکل ۱۲-۳). در تصاویر پاراساجیتال به دست آمده، محورهای کوتاه و بلند قلب را می‌توان طراحی کرد، همان‌طور که در شکل ۱۲-۳ و ۱۲-۴ نشان داده می‌شود.

شکل ۱۲-۱ راهنمای کرونا (دنباله ۲D) (FISP 2D) از ثلث میانی قفسه سینه برای به دست آوردن لندمارک‌های فوقانی و تحتانی.

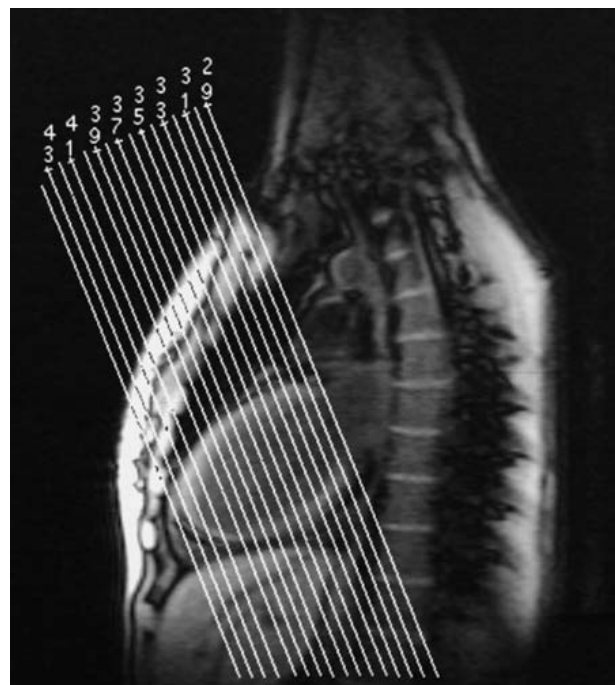




شکل ۱۲-۲ راهنمای آکسیال (دنباله FLASH) از قلب، طراحی شده از روی راهنمای کرونال.



شکل ۱۲-۳ راهنمای ابليک (دنباله turbo FLASH) موازي با سپتوم بطنی (موازي با محور بلند قلب)، طراحی شده از روی راهنمای آکسیال.



شکل ۱۲-۴ تصاویر پاراساجیتال (دنباله turbo FLASH) محور بلند و محور کوتاه قلب (عمود بر سپتوم بطنی) را می‌توان طراحی کرد.

۱۲-۲ پروتکل‌های دنباله

راهنمای لوكالايزر

دنباله ۲D تصویربرداری سریع در پرسیشن پایا (FISP) یک پروتکل راهنمای استاندارد است که با تکنیک‌های بدون قطع تنفس استفاده می‌شود، برای کاهش آرتیفکت‌های حرکتی قلب و تنفس دستیابی‌های متعدد می‌تواند به کار رود.

دنباله turbo FLASH یک دنباله single-shot خون سیاه است که حرکت تنفسی را منجمد می‌کند. این دنباله روی هر دومین چرخه قلبی راهاندازی می‌شود تا اجازه دهد بین دستیابی‌های تصاویر بازگشت کافی مگنتایزیشن رخ دهد (جدول ۱۲-۱).

مورفولوژی

دنباله‌های اسپین اکو (SE) به حرکت تنفسی بسیار حساس هستند، به ویژه وقتی در ترکیب با کویل آرایه فازی تنها به کار می‌رond. افزایش تعداد دستیابی‌ها که متوسط گیری می‌شوند آرتیفکت‌های حرکتی را با هزینه زمان طولانی تر اسکن کاهش می‌دهد. دنباله‌های اسپین اکوی سریع یا توربو (TSE) زمان اسکن را به طور قابل ملاحظه‌ای کاهش می‌دهد و امکان می‌دهد که تعداد دستیابی‌ها را افزایش دهیم (تا آرتیفکت‌های حرکت تنفسی کاهش یابد). تکنیک turbo FLASH با قطع تنفس، اجازه دستیابی

تصاویر آناتومیک ۲D با تفکیک بالا و خون روشن را می‌دهد. باید یک تأخیر راهاندازی (trigger delay) را به حساب آوریم، به طوری که اسکن در یک دوره نسبتاً آرام چرخه قلبی، از میانه تا آخر دیاستول، رخ دهد.

خون سیاه با دنباله‌های قطع تنفس TSE استفاده می‌شود. وزن $T1$ قطع تنفس نسبت سیگナル به نویز بالاتری از TSE وزن $T2$ دارد، اما به پاتولوژی که با افزایش محتوای آب همراه است حساسیت کمتری دارد.

دنباله‌های HASTE یا SS-FSE با آماده‌سازی خون سیاه به دلیل پنجره کوتاه دستیابی آرتیفیکت تنفسی را نشان نمی‌دهد. تکنیک‌های STIR با آماده‌سازی خون سیاه نسبت سیگナル به نویز پایین‌تری از دنباله‌های TSE وزن $T2$ با قطع تنفس دارند، اما بسیار حساس به ادم و التهاب هستند (جدول ۱۲-۲).

جدول ۱۲-۱ دنباله‌های سریع برای بازسازی محورهای قلب، که موازی محورهای بدن نیست.

turbo FLASH	FISP 2D	دنباله پالس
T1	T1	وزن تصویر
آکسیال-ابلیک-ساجیتال	کرونال	صفحة برش
۶	۶	تعداد برش
۱۱۰۰	۹۰	TR(ms)
۲/۳	۷	TE (ms)
-	-	TI (ms)
۱۰	۴۰	زاویه فلیپ
-	-	ETL
۸	۸	پهنای برش (mm)
۱۲۸×۲۵۶	۱۲۸×۲۵۶	ماتریس
۴۰۰	۴۵۰	FOV
-	-	recFOV
۱	۱	تعداد دستیابی

جدول ۱۲-۲ تصویربرداری مورفولوژیک از قلب

HASTE	STIR ^a	TSE ^a	TSE ^a	FLASH 2D	TSE	SE	دنباله پالس
T2	T2	T2	T1	T1	T1	T1	وزن تصویر
محور کوتاه	محور کوتاه	محور کوتاه	محور کوتاه	محور بلند	محور بلند	محور بلند	صفحة برش
۲۱	۱	۱	۱	۱	۱۱	۱۹	تعداد برش
۸۰۰	۸۰۰	۸۰۰	۷۰۰	۱۶۷	۶۰۰	۶۰۰	TR(ms)
۴۳	۵۷	۵۷	۳۲	۶۲	۱۲	۱۴	TE (ms)
	۱۷۰	-	-	-	-	-	TI (ms)
۱۵۰	۱۶۰	۱۶۰	۱۶۰	۳۰	۱۸۰	۹۰	زاویه فلیپ
-	۱۵	۱۵	۹	-	۲	-	ETL
۶	۸	۶	۶	۶	۶	۶	پهنای برش (mm)
۱۲۸×۲۵۶	۱۲۸×۲۵۶	۱۲۸×۲۵۶	۱۲۸×۲۵۶	۱۵۶×۲۵۶	۱۵۶×۲۵۶	۱۲۸×۲۵۶	ماتریس
۳۵۰	۳۵۰	۳۵۰	۳۵۰	۲۸۰	۳۵۰	۳۵۰	FOV
۷۵	۷۵	۷۵	۷۵	۱۰۰	۷۵	۷۵	recFOV
۱	۱	۱	۱	۱	۵	۱	تعداد دستیابی

a: با نگه داشتن تنفس

عملکرد قلب

ترجیحاً دنباله FLASH ۲D سینمایی با قطع تنفس استفاده می شود. باید تعداد فازها را به گونه‌ای تنظیم کنیم که حاصلضرب زمان تکرار (TR) و تعداد فازها حدود ۱۰٪ کمتر از مدت چرخه قلبی (فاصله R-R) باشد. تصاویر برش محور کوتاه بهترین کتراست خون-مايوکارد را نشان می دهند، در صورتی که تصاویر محور بلند به دلیل آثار اشباع اسپین کتراست ضعیف دارند. تکنیک فوق سریع ۲D FLASH بدون راهاندازی (untriggered) به اندازه کافی سریع است که حرکت تنفسی و قلبی را منجمد کند، البته به هزینه تفکیک زمانی و فضایی نسبتاً پایین. این تکنیک می تواند برای ارزیابی سریع عملکرد قلب در بیماران بدحال مفید باشد (جدول ۱۲-۳).

نشانه گذاری قلب (tagging) یک روش دیگر مشاهده حرکت عضله است (نشانه گذاری شبکه‌ای و نواری grid and stripe). نشانه گذاری مايوکارد یک روش تصویربرداری MR است که از یک دنباله پالس‌های RF برای پیش اشباع صفحات نازک

مايوکارد پیش از آزمون به کار می رود. این نشانه های شبکه ای یا نواری در سراسر چرخه قلبی باقی می ماند و می تواند برای ردهایی حرکت قلب به کار رود. اگر نرم افزار پس پردازش در دسترس باشد، می توان از آن در تخمین صحیح جابه جایی نشانه استفاده کرد تا دیس کینزی یا هایپوکینزی سگمنتال مشاهده شود.

آزمون MRI با استرس دوبوتامین برای ارزیابی بیماری شریان کرونری به وسیله آشکار کردن ناهنجاری های حرکت دیواره تحت استرس دارویی به کار می رود. دوبوتامین قابلیت انقباضی، سرعت ضربان قلب، و مصرف اکسیژن توسط مایوکارد را افزایش می دهد.

جدول ۱۲-۳ دنباله هایی که برای مشاهده دینامیک سینمایی از عملکرد قلب با راه اندازی گذشته نگر یا آینده نگر به کار می رود.
روش دیگر مشاهده حرکت مایوکارد نشانه گذاری است (نشانه گذاری شبکه ای یا نواری).

FLASH 2D ^e	FLASH 2D ^d	FLASH 2D ^c	FLASH 2D ^b	FLASH 2D ^a	دنباله پالس
T1	T1	T1	T1	T1	وزن تصویر
محور کوتاه	صفحة برش				
۱	۱	۵	۲	۲	تعداد برش
۲ - ۴	۶۰	۳۰	۴۰	۴۰	TR(ms)
۱/۲	۴/۸	۴/۸	۴/۸	۴/۸	TE (ms)
-	-	-	-	-	TI (ms)
۸	۲۰	۳۰	۳۰	۳۰	زاویه فلیپ
					ETL
۱۰	۸	۸	۸	۸	پهنه برش (mm)
۵۰×۲۵۶	۱۲۸×۲۵۶	۱۳۲×۲۵۶	۱۲۸×۲۵۶	۱۲۸×۲۵۶	ماتریس
۳۲۰	۳۲۰	۳۲۰	۳۲۰	۳۲۰	FOV
۷۵	۷۵	۷۵	۷۵	۷۵	recFOV
۶۰	۱	۳	۱	۳	تعداد دستیابی

a : راه اندازی آینده نگر. b : دریچه گذشته نگر. c : تگه داشتن تنفس. d : segmented sequential . e : بدون راه اندازی.

آنژیوگرافی

تکنیک های دو بعدی را می توان برای مشاهده شریان های کرونری به کاربرد هنگامی که از یک تکنیک قطع تنفس استفاده می کنیم. تکنیک های هدایت گر (navigator) سه بعدی همراه با جبران حرکت تنفسی مشاهده شریان های کرونری را امکان پذیر می کند. تکنیک های آنژیوگرافی ۳D با تزریق کتراست برای ارزیابی آثرات توراسیک و شکمی به کار می رود (جدول ۱۲-۴).

جدول ۴-۱۲-۴ تکنیک‌های آنژیوگرافی کرونری دو بعدی و سه بعدی.

FLASH 3D ^c	FISP 3D ^b	FLASH 2D ^a	دنباله پالس
T1	T1	T1	وزن تصویر
آکسیال	متغیر	متغیر	صفحة برش
قطعه	قطعه	۱	تعداد برش
۶۰۰	۵	۱۶۷	TR(ms)
۲/۷	۲/۰	۶/۲	TE (ms)
-	-	-	TI (ms)
۳۰	۲۵	۳۰	زاویه فلیپ
			ETL
۲	متغیر	۴	پهنای برش (mm)
۱۶۰×۲۵۶	۱۶۰×۲۵۶	۱۶۰×۲۵۶	ماتریس
۳۰۰	۳۲۰	۲۸۰	FOV
۱۰۰	۱۰۰	۷۵	recFOV
۵	۱	۱	تعداد دستیابی

a : نگه داشتن تنفس، با سرکوب چربی. b : نگه داشتن تنفس، با تزریق گادولینیوم. c : تکنیک navigator

اندازه‌گیری جریان

تکنیک‌های فاز-کتراست (اختلاف فاز) با راهاندازی گذشته نگر یا آینده‌نگر برای ارزیابی سرعت جریان خون به کار می‌رود. با مجموعه‌ای از مقادیر از پیش تعیین شده کدگذاری سرعت (VENC) اندازه‌گیری جریان بین صفحه‌ای و داخل صفحه‌ای قابل دسترس می‌باشد. تکنیک‌های سگمنت شده اندازه‌گیری سرعت‌های جریان را با قطع تنفس امکان‌پذیر می‌کند. تعداد فازها باید با زمان اسکن در طول چرخه کامل قلب تنظیم شود. VENC انتخابی باید بزرگتر از بیشینه سرعت مورد انتظار جریان باشد تا از آلیزینگ جلوگیری شود (جدول ۱۲-۵).

جدول ۱۲-۵ تکنیک‌های فاز-کتراست برای ارزیابی سرعت‌های جریان خون

FLASH 2D ^b	FLASH 2D ^a	دنباله پالس
T1	T1	وزن تصویر
متغیر	متغیر	صفحة برش
۱	۱	تعداد برش
۲۵	۲۴	TR(ms)
۶	۵	TE (ms)
-	-	TI (ms)
۲۵	۳۰	زاویه فلیپ
		ETL
۶	۶	پهنای برش (mm)
۱۶۰×۲۵۶	۱۶۰×۲۵۶	ماتریس
۳۰۰	۳۰۰	FOV
۷۵	۷۵	recFOV
۱	۱	تعداد دستیابی

^a: بین صفحه ایبی. ^b: در صفحه.

پرفیوژن

تکنیک‌های تک برش با یک TI ۲۰۰ ms بهترین کیفیت تصویر را می‌دهد. شصت دستیابی باید انجام شود. بیمار باید تا آنچه امکان دارد از نفس کشیدن خودداری کند. تزریق کتراست باید در همان زمان اندازه‌گیری شروع شود. برش‌های متعدد با TR های طولانی تر امکان‌پذیر است. این پروتکل می‌تواند در طول محور کوتاه یا بلند قلب به کار رود. نوعاً آزمون اولین عبور از ۶۰ دستیابی در ۵ قسمت تشکیل می‌شود (جدول ۶-۱۲).

یک تزریق کننده خودکار برای کترول تزریق کتراست مفید است. دوزهای پایین (۰/۰۲-۰/۰۶ mmol/kg) از ماده کتراست باید با سرعت ۵ ml/s تزریق شود. اندازه‌گیری مکرر با ۰/۰۲ mmol/kg امکان‌پذیر است.

جدول ۱۲-۶ تکنیک‌های تصویربرداری فوق سریع **single-shot** برای ارزیابی پروفیوژن مایوکارد مبتنی بر بهبود دینامیک شدت سیگナル مایوکارد به دنبال تزریق کتراست.

TFLASH	TFLASH	TFLASH	دنباله پالس
T1	T1	T1	وزن تصویر
متغیر	متغیر	متغیر	صفحة برش
۳	۳	۱	تعداد برش
۸۴۴	۶۶۴	۴۱۶	TR(ms)
۱/۲	۱/۲	۱/۲	TE (ms)
۱۰	۱۰	۲۰۰	TI (ms)
۳۱۸	^a ۱۶	۸	زاویه فلیپ
			ETL
۱۰	۱۰	۱۰	پهنای برش (mm)
۹۰×۱۲۸	۹۰×۱۲۸	۹۰×۱۲۸	ماتریس
۳۸۰	۳۸۰	۳۸۰	FOV
۷۵	۷۵	۷۵	recFOV
۶۰	۶۰	۶۰	تعداد دستیابی

را معادل RR-50ms قرار دهید تا هر ضربان قلب را تصویربرداری کنند. b : زوایای فلیپ بزرگتر سبب آرتیفکت می شود.

پروتکل تصویربرداری در بیماری ایسکمی قلب

برای مطالعات بیماری ایسکمی قلب یک مطالعه ترکیبی از پروتکل‌های مورفولوژیک و فانکشنال، MR آنژیوگرافی کرونری، و مطالعات پروفیوژن توصیه می شود (جدول ۱۲-۷).

جدول ۷-۱۲ پروتکل تصویربرداری برای بیماری ایسکمیک قلب

TSE ^c	TSE ^c	FL3D ^b perfusion	FL2D ^{a,d}	STIR ^d	HASTE	TSE ^d	TSE	دباله پالس
T1	T1	T1	T1	T2	T2	T1	T1	وزن تصویر
محور کوتاه	محور بلند	متغیر	متغیر	محور کوتاه	محور کوتاه	محور بلند	محور بلند	صفحة برش
۱	۱۱	قطعه	۱	۱	۲۱	۱	۱۱	تعداد برش
۷۰۰	۶۰۰	۲۳۰	۱۶۷	۸۰۰	۸۰۰	۷۰۰	۶۰۰	TR(ms)
۳۲	۱۲	۲۷	۶/۲	۵۷	۴۳	۳۲	۱۲	TE (ms)
-	-	-	-	۱۷۰	-	-	-	TI (ms)
۱۶۰	۱۸۰	۳۰	۳۰	۱۶۰	۱۵۰	۱۶۰	۱۸۰	زاویه فلیپ
۹	۳	-	-	۱۵	-	۹	۳	ETL
۶	۶	۲	۴	۶	۶	۶	۶	پهنای برش (mm)
۱۲۶×۲۵۶	۱۵۶×۲۵۶	۱۲۸×۲۵۶	۱۶۰×۲۵۶	۱۶۰×۲۵۶	۱۶۰×۲۵۶	۱۶۰×۲۵۶	۱۶۰×۲۵۶	ماتریس
۳۲۰	۳۲۰	۳۰۰	۲۸۰	۳۲۰	۳۲۰	۳۲۰	۳۲۰	FOV
۷۵	۷۵	۱۰۰	۷۵	۷۵	۷۵	۷۵	۷۵	recFOV
۱	۵	۵	۱	۱	۱	۵	۵	تعداد دستیابی

a : با سرکوب چربی، b : تکنیک Navigator، c : بعد از تزریق گادولینیوم، d : قطع تنفس.

تصویربرداری MR همراه با استرس دارویی

علاوه بر مطالعات MR که در حالت استراحت انجام می‌شود، تصویربرداری GRE سینمایی انجام مطالعات استرس دارویی را بعد از تزریق دیپردامول یا دوبوتامین امکان‌پذیر می‌کند. آزمون تصویربرداری سینمایی MR با استرس دوبوتامین نتایجی مطابق با تصویربرداری SPECT با استرس می‌باشد، و حساسیت و ویژگی بالاتری از اکوکاردیوگرافی با استرس دوبوتامین نشان می‌دهد، چون کیفیت تصویر در MRI بسیار برتر است و امکان نشانه گذاری (tagging) بافت برای آشکار کردن ناهنجاری های ظرفی دیواره قلب وجود دارد.

شريان هاي كرونري

مشاهده مستقیم پلاک های آتروواسکلروتیک و استنوزها در تشخیص و درمان شریان کرونری اساسی است. حرکت فیزیولوژیک و بعد کوچک عروق کرونری چالشی در تکنیک های سنتی **MR** است. چند تکنیک فوق سریع برای ارزیابی شریان های کرونری بکار گرفته شده است.

آنژیوگرافی دو بعدی از یکبار نگه داشتن تنفس استفاده می کند، که نیازمند همکاری خوب بیمار است. بهترین کیفیت تصویر را می توان از شریان کرونری راست (**RCA**) و شریان نزولی آنتریور چپ (**LAC**) بدست آورده، در صورتیکه شاخه محیطی چپ (**LCX**) شریان کرونری بدترین کیفیت را دارد. کیفیت تصویر با نگه داشتن ناکافی تنفس، آرتیفکت های سایه، و سرکوب نا قص چربی خراب می شود. مشکلات تشخیصی شامل تمايز ناقص شریان های کرونری از وریدهای قلبی و از پریکارد می باشد. تکنیک های **3D MR** آنژیوگرافی با تزریق کنتراست برای ارزیابی عروق توراسیک و شکم بعد از تزریق کنتراست استفاده می شوند. این تکنیک بخوبی شریان پستانی داخلی چپ را آشکار می کند و یک تکنیک بسیار مفید غیر تهاجمی برای بررسی پیش از عمل بیمارانی با بیماری کرونری **LAD** می باشد.

کاردیومیوپاتی ها

جدول ۱۲-۸ یک پروتکل تصویربرداری **MR** را نشان می دهد که برای مطالعات مورفولوژیک و فانکشنال از بیمارانی با کاردیومیوپاتی توصیه می شود.

جدول ۱۲-۸ پروتکل تصویربرداری **MR** برای کاردیومیوپاتی

دنباله پالس	TSE	TSE ^b	TSE ^b	FL2D ^b	TSE	TSE	FL2D ^a	HASTE
وزن تصویر	T1	T2	T2	T1	T1	T1		
صفحة برش	محورکوتاه	محورکوتاه	محورکوتاه	محور بلند	محور بلند	محور بلند		
تعداد برش	۱	۲۱	۱	۲۱	۱	۱۱		
TR(ms)	۳۰	۸۰۰	۸۰۰	۷۰۰	۱۶۷	۶۰۰		
TE (ms)	۴/۸	۴۳	۵۷	۳۲	۷/۲	۱۲		
زاویه فلیپ	۳۰	۱۵۰	۱۶۰	۱۶۰	۳۰	۱۸۰		
ETL	-	-	۱۵	۹	-	۳		
پهنای برش(mm)	۶	۶	۶	۶	۶	۶		
ماتریس	۱۲۸×۲۵۶	۱۶۰×۲۵۶	۱۶۰×۲۵۶	۱۶۰×۲۵۶	۱۶۰×۲۵۶	۱۶۰×۲۵۶		
FOV	۳۲۰	۳۲۰	۳۲۰	۳۲۰	۲۸۰	۳۲۰		
recFOV	۷۵	۷۵	۷۵	۷۵	۱۰۰	۷۵		
تعداد دستیابی	۱	۱	۱	۱	۱	۵		

a مد سینمایی، b قطع تنفس

جدول ۱۲-۹ پروتکل تصویربرداری MR برای کاردیومیوپاتی آریتموژنیک (دیسپلازی بطن راست)

FL2D ^a	TSE ^b	TSE ^b	TSE	دنباله پالس
T1	T2	T1	T1	وزن تصویر
محور کوتاه	محور کوتاه	محور کوتاه	محور بلند	صفحة برش
۱	۱	۱	۱۱	تعداد برش
۳۰	۸۰۰	۷۰۰	۶۰۰	TR(ms)
۴/۸	۵۷	۳۲	۱۲	TE (ms)
۳۰	۱۶۰	۱۶۰	۱۸۰	زاویه فلیپ
-	۱۵	۹	۳	ETL
۶	۶	۶	۶	پهنای برش (mm)
۱۳۲×۲۵۶	۱۶۰×۲۵۶	۱۶۰×۲۵۶	۱۶۰×۲۵۶	ماتریس
۳۲۰	۳۲۰	۳۲۰	۳۲۰	FOV
۷۵	۷۵	۷۵	۷۵	recFOV
۱	۱	۱	۵	تعداد دستیابی

a مد سینمایی، b قطع تنفس

جدول ۱۲-۱۰ پروتکل تصویربرداری MR برای توده‌های قلبی

TSE ^a	TSE ^a	STIR ^b	TSE ^b	TSE ^b	TSE	دنباله پالس
T1	T1	T2	T2	T1	T1	وزن تصویر
محور کوتاه	محور بلند	محور کوتاه	محور کوتاه	محور بلند	محور بلند	صفحة برش
۱	۱۱	۱	۱	۱	۱۱	تعداد برش
۷۰۰	۶۰۰	۸۰۰	۸۰۰	۷۰۰	۶۰۰	TR(ms)
۳۲	۱۲	۵۷	۵۷	۳۲	۱۲	TE (ms)
-	-	۱۷۰	-	-	-	TI (ms)
۱۶۰	۱۸۰	۱۶۰	۱۶۰	۱۶۰	۱۸۰	زاویه فلیپ
۹	۳	۱۵	۱۵	۹	۳	ETL
۶	۶	۶	۶	۶	۶	پهنای برش
۱۶۰×۲۵۶	۱۵۶×۲۵۶	۱۶۰×۲۵۶	۱۶۰×۲۵۶	۱۶۰×۲۵۶	۱۶۰×۲۵۶	ماتریس
۳۲۰	۳۲۰	۳۲۰	۳۲۰	۳۲۰	۳۲۰	FOV
۷۵	۷۵	۷۵		۷۵	۷۵	recFOV
۱	۵	۱		۵	۵	دستیابی

b قطع تنفس، a بعد از تزریق

جدول ۱۲-۱۱ پروتکل تصویربرداری MR برای بیماری‌های دریچه‌ای قلب

FL2D ^a	TSE ^b	FL2D ^b	TSE	دنباله پالس
T1	T1	T1	T1	وزن تصویر
محور کوتاه	محور کوتاه	محور بلند	محور بلند	صفحه برش
۱	۱	۱	۱۱	تعداد برش
۶۰	۷۰۰	۱۶۷	۶۰۰	TR(ms)
۴/۸	۳۲	۶/۲	۱۲	TE (ms)
۲۰	۱۶۰	۳۰	۱۸۰	زاویه فلیپ
-	۹	-	۳	ETL
۶	۶	۶	۶	پهنهای برش (mm)
۱۲۸×۲۵۶	۱۶۰×۲۵۶	۱۶۰×۲۵۶	۱۶۰×۲۵۶	ماتریس
۳۲۰	۳۲۰	۲۸۰	۳۲۰	FOV
۷۵	۷۵	۱۰۰	۷۵	recFOV
۱	۱	۱	۵	تعداد دستیابی

a قطع تنفس، مد سینمایی، b قطع تنفس

جدول ۱۲-۱۲ پروتکل تصویربرداری MR برای بیماری‌های پریکارد

TSE ^{a,b}	TSE ^a	HASTE	TSE ^b	TSE ^b	TSE	دنباله پالس
T1	T1	T2	T2	T1	T1	وزن تصویر
محور کوتاه	محور بلند	محور کوتاه	محور کوتاه	محور بلند	محور بلند	صفحه برش
۱	۱۱	۲۱	۱	۱	۱۱	تعداد برش
۷۰۰	۶۰۰	۸۰۰	۸۰۰	۷۰۰	۶۰۰	TR(ms)
۳۲	۱۲	۴۳	۵۷	۳۲	۱۲	TE (ms)
۱۶۰	۱۸۰	۱۵۰	۱۶۰	۱۶۰	۱۸۰	زاویه فلیپ
۹	۳	-	۱۵	۹	۳	ETL
۶	۶	۶	۶	۶	۶	پهنهای برش (mm)
۱۶۰×۲۵۶	۱۶۰×۲۵۶	۱۶۰×۲۵۶	۱۶۰×۲۵۶	۱۶۰×۲۵۶	۱۶۰×۲۵۶	ماتریس
۳۲۰	۳۲۰	۳۲۰	۳۲۰	۳۲۰	۳۲۰	FOV
۷۵	۷۵	۷۵	۷۵	۷۵	۷۵	recFOV

۱	۵	۱	۱	۱	۵	تعداد دستیابی
---	---	---	---	---	---	---------------

a بعد از تزریق گادولینیوم، فقط وقتی بیماری نئوپلاستیک پریکارد مشکوک باشد، b قطع تنفس

جدول ۱۲-۱۳ پروتکل تصویربرداری MR برای بیماری‌های قلبی مادرزادی

FISP 3D ^{c,d}	FLASH 2D ^{a,d}	FLASH 2D ^d	FLASH 2D ^a	HASTE	TSE	دباله پالس
T1	T1	T1	T1	T2	T1	وزن تصویر
متغیر	متغیر	محور کوتاه	محور بلند	متغیر	متغیر	صفحة برش
قطعه	۱	۱	۱	۲۱	۱۱	تعداد برش
۵	۲۵	۶۰	۱۶۷	۸۰۰	۶۰۰	TR(ms)
۲/۰	۶	۴/۸	۶/۲	۴۳	۱۲	TE (ms)
-	-	-	-			TI (ms)
-	۳۰	۲۰	۳۰	۱۵۰	۱۸۰	زاویه فلیپ
					۳	ETL
۶	۶	۶	۶	۶	۶	پهنای برش (mm)
۱۶۰×۲۵۶	۱۶۰×۲۵۶	۱۶۰×۲۵۶	۱۶۰×۲۵۶	۱۶۰×۲۵۶	۱۶۰×۲۵۶	ماتریس
۳۲۰	۳۲۰	۳۲۰	۳۲۰	۳۲۰	۳۲۰	FOV
۱۰۰	۷۵	۷۵	۱۰۰	۷۵	۷۵	recFOV
۱	۲	۱	۱	۱	۵	تعداد دستیابی

a مد سینمایی، b اندازه‌گیری جریان، در صفحه، c آنژیوگرافی با تزریق گادولینیوم، d قطع تنفس

۱۳ عروق بزرگ و عروق محیطی

۱۳-۱ - مقدمه

آنژیوگرافی تشدید مغناطیسی (MRA) یک روش غیرتهاجمی است که تصاویری مشابه با آنژیوگرافی تفریق دیجیتالی (DSA) به دست می‌دهد. حرکت خون سبب دو پدیده می‌شود که مگنتایزیشن طولی و عرضی را تغییر می‌دهد، هر کدام از این‌ها را می‌توان برای تولید تصاویر آنژیوگرافی به کار برد. اولی، اثر جریان پرواز (TOF) ناشی از حرکت مگنتایزیشن طولی در طی یک دوره نسبتاً بلند است. دوم اثر جریانی است که هنگام حرکت مگنتایزیشن عرضی در جهت یک گرادیان میدان مغناطیسی رخ می‌دهد. این آثار جریان برای تولید تصاویر آنژیوگرافی «زمان پرواز» و «فاز کتراست» بدون استفاده از ماده کتراست است.

تکنیک‌های بدون کتراست، اگرچه در بسیاری از موارد با دقت عمل می‌کند، اما دارای محدودیت‌هایی نظیر دفازینگ داخل واکسلی، آثار اشیاع، وابستگی زیاد به انتخاب مقدار مناسب گرادیان کدگذار سرعت (Venc)، و زمان‌های طولانی اسکن است. تکنیک‌های بهبود کتراست بر بسیاری از این مسائل فائق آمده است.

اگرچه، هنوز MRA ایتراکرaniel بر تکنیک‌های بدون کتراست متکی است، تکنیک‌های بهبود کتراست تقریباً برای تمام کاربردهای بدن جایگزین تکنیک‌های بدون کتراست شده است، که دلیل آن نسبت کتراست به نویز بالاتر، کوتاهی زمان اسکن، و تفکیک فضایی بالاتر است.

آمادگی بیمار برای MRA

هیچ آمادگی خاص و هیچ وضعیت خاصی برای MRA ضروری نیست. اگر دریچه ECG (2D) یا TOF MRA (2D) ترتیبی استفاده می‌شود، الکترودها باید به طور مناسب نصب شوند. در تصویربرداری از شکم و قفسه سینه که نگهداشتن تنفس ضروری است، باید به بیمار آموزش داد و نگهداشتن تنفس با وی تمرین شود. استفاده از اکسیژن از طریق بینی و هایپرونیتیلاسیون پیش از اسکن می‌تواند کمک کند، به خصوص در MRA با تزریق کتراست.

کویل‌ها

تمام کویل‌های قابل دسترس برای MRA مفید است. کویل یکپارچه تنه برای ارسال سیگنال، و کویل استاندارد تنه یا ترجیحاً، کویل آرایه فازی (wrap-around) برای دریافت سیگنال استفاده می‌شود. کویل‌های اختصاصی گردن و پریفرال به ترتیب در MR آنژیوگرافی‌های انتخابی شریان‌های کاروتید و شریان‌های محیطی، مفید می‌باشد.

۱۳-۲ - تکنیک‌های MRA

در کاربردهای MRA برای سیستم عصبی، عمومی ترین روش انجام آنژیوگرافی های TOF یک دستیابی ۳D است، که عمدتاً برای مشاهده عروق ایتراکرaniel و دو شاخه کاروتید استفاده می شود. یک مزیت بزرگ تکنیک ۲D برش های نازکی است که به دست می آید. این تکنیک همچنین به کاهش پراکندگی های فاز درون واکسلی و signal voids کمتر منجر می گردد. به علاوه، دستیابی های ۳D تفکیک فضایی بالاتر و نسبت سیگنال به نویز (SNR) کافی به دست می دهد، که برای مشاهده عروق کوچک محیطی ایتراکرaniel ایده آل است. نهایتاً به دلیل تهییج قطعه ضخیم، از پالس های RF در مدت کوتاه می توان استفاده کرد، که بنابراین اجازه زمان های اکو (TE) کوتاه تر را می دهد، که دفازینگ کمتر را در پی دارد. در مقایسه با تکنیک های ۲D (برش - ترتیبی) برای مشاهده جریان آهسته (مثلاً گردش خون وریدی) و برای به دست آوردن داده ها در طول یک سگمنت بلندتر مفید تر است چون در سگمنت های بلندتر، تکنیک های ۳D به دلیل اشباع فزاینده قطعه تصویربرداری در نتیجه تهییج های متعددی که اسپین های در حال جریان در مدت دستیابی ۳D تجربه می کنند نامناسب است. بنابراین، تکنیک ۲D برای تصویربرداری عروق در طول فواصل بزرگ (نظیر تمام طول شریان های کاروتید و شریان های محیطی) استفاده می شود.

پیش از معرفی MRA با تزریق کتراست، تکنیک برش ترتیبی ۲D MRA رایج ترین تکنیک برای ارزیابی عروق بزرگ شکم، توراکس و پریفرال ها بود. اگرچه، اندازه بزرگتر واکسل (برش های ۲D نوعاً ۲-۴ mm) ضخامت دارند در مقایسه با ضخامت موثر برش ۱mm یا کمتر در دستیابی های ۳D همراه با TE بلندتر به پراکندگی های بیشتر فاز درون واکسلی و، در نتیجه، آثار اشباع منجر می گردد. آثار اشباع به کاهش SNR درون عروقی و در موارد شدیدتر، به signal voids منجر می گردد، که درجه استنوز را بیشتر از آنچه هست نشان می دهد و سبب استنوز و انسداد ساختگی می گردد.

دیگر flow voids و آرتیفیکت ها به دلیل ضربان جریان خون شریانی رخ می دهد که از برگشت جریان خون در حین دیاستول چرخه قلبی ناشی می شود، اثری که به ویژه در شریان های محیطی قابل توجه است، که در این شریان ها معمولاً برگشت جریان در حین دیاستول در بیمارانی با انسداد شدید شریانی دیده می شود. با استفاده از دریچه ECG می توان تا حدی این اثر را حذف کرد، اگرچه، یکی از عدم مزایای اصلی تکنیک TOF ۲D زمان بلند اسکن حدود ۴۰-۶۰ دقیقه برای لگن و اندام های تحتانی است، که با دریچه ECG باز هم طولانی تر می شود. به علاوه، چربی مغز استخوان و چربی زیر جلدی در TOF MRA سیگنالی نسبتاً روشن تولید می کنند، این را می توان با استفاده از تکنیک های اشباع چربی برطرف کرد، اگرچه زمان اسکن را باز هم افزایش می دهد. به دلیل TE نسبتاً بلند، افت شدید سیگنال داخل عروقی در اطراف پروتزهای هیپ و زانو رخ می دهد، اثری که نمی توان به راحتی آن را کاهش داد (این آرتیفیکت در CE MRA حداقل است، چون TE کوتاه تر استفاده می شود). علیرغم محدودیت های زیاد ۲D TOF MRA، که مفید بودن آن را در بسیاری موارد محدود می کند، در بسیاری از موسسات برای کاربردهای انتخابی استفاده می شود. برای مثال، در مقایسه با آنژیوگرافی ستی، TOF MRA عروقی را که به دورتر انشعاب پیدا می کنند نشان می دهد، به دلیل حساسیت عالی آن به جریان آهسته. با این حال، به دلیل زمان های طولانی اسکن، در بیشتر موسسات این تکنیک به عروق دیستال ران، ساق و عروقی کف پا محدود می شود.

جدول ۱۳-۱ اثر تغییر پارامترهای گوناگون

		2D TOF MRA				3D TOF MRA	
پارامتر	تغییر	اثر	پارامتر	تغییر	اثر		
TE	↓	Dephasing, flow voids	↓	TE	↓	Dephasing (higher order motion)	↓
TR	↓	Background suppression, measurement time	↓	TR	↓	Intraluminal signal, measurement time	↑↓
FA	↑	Intraluminal signal, background suppression	↑↑	FA	↑	Inflow saturation, background suppression	↓↑
Slice thickness	↓	Intraluminal signal (slow flow)	↑	Slice thickness	↓	Resolution dephasing	↑↓
No. of slices	↑	FOV in flow direction	↑	No. of slices	↑	Resolution, measurement time	↑↑
FOV	↓	Resolution dephasing	↓	FOV	↓	Resolution dephasing	↑
							↓

استراتژی‌های بهینه‌سازی در MRA زمان پرواز

سیگنال جریان خون را می‌توان با استفاده از Gradient moment-rephrasing (GMR) یا ریفازینگ (ختنی سازی) گشتاور گرادیان (جبران جریان) افزایش داد، در این روش یک پالس گرادیانی اضافی برای حذف جابه‌جایی‌های فاز ناشی از جریان خون استفاده می‌شود، لذا سیگنال جریان خون بهتر می‌شود. استفاده از ترکیبات گادولینیوم (Gd) مشاهده عروق دیستال مغز را بهتر می‌کند، اما همچنین منجر به روی هم افتادن ساختارهای وریدی و یک سیگنال بالاتر از بافت‌های پیرامونی می‌شود. یک توازن مناسب بین زمان تکرار (TR) و زاویه فلیپ برای کاهش دادن شدت سیگنال نسبی بافت ایستا و برعکس، افزایش شدت سیگنال خون در حال جریان ضروری می‌باشد. یک مصالحه معقول استفاده از زاویه فلیپ متوسط ($30\text{--}60^\circ$) همراه با یک TR کوتاه‌تر در مواردی است که جهت قرارگیری رگ به گونه‌ای است که جریان خوبی از میان صفحه برش دارد، و یک TR بلندتر و زاویه فلیپ کوچکتر برای رگی است که جریان آهسته‌ای دارد یا انتظار می‌رود در صفحه برش قرارداشته باشد (جدول ۱۳-۱).

در نتیجه، در TOF MRA برای کاهش آثار اشباع و افزایش شدت سیگنال جریان ورودی، شش راه وجود دارد:

- ۱- مطمئن شوید که صفحه برش عمود بر جهت جریان باشد
- ۲- TR را افزایش دهید
- ۳- زاویه فلیپ را کاهش دهید
- ۴- دستیابی‌های متعدد هم‌پوشای قطعه نازک (MOTSA)
- ۵- تهییج بهینه، غیراشباع زاویه‌دار (TONE)
- ۶- استفاده از ماده کنترast (CM) (به دلیل افزایش سیگنال وریدی عموماً در TOF MRA استفاده نمی‌شود).

با کاهش اندازه پیکسل و استفاده از پالس‌های انتقال مگتایزیشن (MT) بازهم می‌توان TOF MRA را بیشتر بهینه کرد.

D-TOF (multiple, overlapping, thin-slice acquisition) MOTSA برای کاهش آثار اشباع یک قطعه ضخیم است. قطعات 3D نازک متعدد با همپوشانی تقریبی ۳۰٪ استفاده می‌شود. تکنیک MOTSA استفاده از زوایای فلیپ بزرگتر را امکان می‌دهد، که هم شدت سیگنال بالاتر و هم سرکوب بیشتر زمینه را فراهم می‌کند.

حجم تصویربرداری نهایی با استخراج برش‌های مرکزی هر قطعه و دور ریختن برش‌های بالایی و پائینی هر قطعه (که بیشتر تحت تأثیر آثار اشباع قرار می‌گیرند) ایجاد می‌شود. عدم مزیت عمدۀ این تکنیک آرتیفیکت «پرده کرکره‌ای» ناشی از تفاوت‌های شدت سیگنال بین حجم‌های 3D مجاور در مرز همپوشانی قطعات است.

هنگامی که خون به درون قطعه در حال تهییج جریان می‌یابد. اشباع اضافی سیگنال ایترالومینال رخ می‌دهد. با کاربرد یک پالس RF شیبدار با طراحی خاص (TONE)، که زوایای فلیپ بالاتری را به طور فزاینده در حین حرکت از میان برش‌ها فراهم می‌کند، این آثار اشباع را می‌توان به حداقل رساند. این اجازه می‌دهد عروق دیستال و رگ‌هایی با جریان آهسته بهتر مشخص شوند.

جدول ۱۳-۲ ابزاری برای کاهش آثاری که سبب بیش برآورد استنوز در تصاویر MRA می‌شود.

کاهش آثار از طریق	آثار	بیش برآورد شدن استنوز بدلیل
TE (TOF) ↓	دفازینگ در حین TE	شتات جریان
↑ VENC (PC)		جریان متلاطم یا جریان گردابی
↑ افزایش تغذیه‌کننده، ↑ دوز کتراست		دو شاخه شدن مسیر جریان در دیستال استنوز
CE MRA		تورتوزیتی عروق
CE MRA با حجم کوچک یا TOF	افت سیگنال دفازینگ	(PC MRA) رویهم افتادگی عروق در یک واکسل

علل بیش تخمین زدن استنوز

کاملاً معلوم شده است که در MRA استنوز ممکن است بیشتر از آنچه هست دیده شود. علل اصلی آن را می‌توان در جدول ۱۳-۲ به همراه برخی ویژگی‌های کاهش این اثر مشاهده کرد.

خون سیاه MRA

خونی که با سرعت جریان دارد (خون شریانی) افت سیگنال مرتبط با جریان را نشان می‌دهد، در حالی که خونی با جریان آهسته (خون وریدی) شدت سیگنال بالاتری دارد. در MRA خون سیاه یک TE بلندتر (۲۰–۳۰ ms) در مقایسه با تصویربرداری استاندارد وزن T_1 استفاده می‌شود تا اثر خون سیاه را حداکثر کند. این TE مشابه با TR مورد استفاده برای بیشینه کردن افت سیگنال ایتر اواسکولار در TOF MRA است، چون هر دو تکنیک به پدیده یکسان حرکت پروتون‌های تهییج شده به خارج از حجم تصویربرداری متکی است. پالس‌های گوناگون پیش اشباع و دفازینگ را می‌توان در این تکنیک به کاربرد تا خون در حال جریان سیاه تصویر شود.

مزیت این روش فقدان هر نوع آرتیفیکت دفازینگ است (این هدف MRA خون سیاه است)، که به تخمین صحیح‌تری از درجه استنوز منجر می‌شود. با این حال، یک عدم مزیت قابل توجه آن است که پلاک‌های کلسیفیه و دیگر مواد ممکن است با خون در حال جریان شدت سیگنال یکسانی داشته باشند (آیزواینتنس)، بنابراین به کم تخمین‌زدن درجه استنوز منجر می‌شود.

پس پردازش مجموعه داده‌های 3D MRA زمان پرواز

در تمام MRA خون روشن تکنیک پس پردازش استاندارد پروجکشن شدت بیشینه (MIP) است. اگرچه، MRA دارای اشکالات اساسی است. نواحی‌ای که جریان کاهش یافته دارند، شامل لبه‌های عروق خونی و عروق کوچک با جریان آهسته، به کتراست ضعیف بین خون در حال جریان و بافت‌های ایستا منجر می‌شود و بنابراین منجر به نمایشی ضعیف یا فقدان نمایش در تصویر پردازش شده می‌شود. تمامی رگ یا قسمت‌هایی از رگ ممکن است با همپوشانی بافت ایستای روشن‌تر، به خصوص چربی، محو شود. در نتیجه لومن ظاهری رگ به طور کاذب باریک‌تر ظاهر شود و روی استنوزها اغراق شود. چون MIP غیرانتخابی است، تمام اجسام روشن در تصویر نهایی وارد می‌شوند. بنابراین خون تازه اکسترالومینال که به دلیل T_1 کوتاه آن در TOF MRA روشن ظاهر می‌شود (مثلاً در بیمارانی با هموراژ مغزی ایترپارانشیمال) جزئیات عروقی را می‌پوشاند، بدیهی است در PC MRA این یک محدودیت نیست چون خون ایستا سیاه ظاهر می‌شود. بنابراین ضروری است که برای تعیین قطر حقیقی لومن به تصاویر مجزا نگاه کنیم یا حجم مورد نظر برای پردازش را محدود کنیم (MIP هدف).

فاز کتراست MRA

PC-MRA به طور گسترده با دنباله‌هایی قابل دسترس است که مشاهده یک برد خاصی از سرعت‌های جریان را امکان‌پذیر می‌کند، هم با تکنیک‌های 2D و هم با تکنیک‌های 3D PC MRA نوعاً با 2D PC MRA یک قطعه ضخیم به دست می‌آید و به صورت یک پروجکشن نمایش داده می‌شود، در حالیکه 3D PC MRA تمام مزایای یک تکنیک حجمی، از جمله نمایش ویدیویی و بازساخت‌های مالتی پلائر را امکان‌پذیر می‌کند.

هنگامی که مگتایزیشن عرضی در جهت گرادیان مغناطیسی حرکت می‌کند، که منجر به جایه‌جایی فاز می‌شود، سیگنال ناشی از جریان رخ می‌دهد. با به کاربردن دومین پالس گرادیانی با مدت یکسان و اما قطبیت مخالف می‌توان این جایه‌جایی‌های فاز را جبران کرد. اگر پروتون‌ها در فاصله بین این دو پالس گرادیان حرکت کنند، یک جایه‌جایی فاز ناشی از جریان باقی می‌ماند. این جایه‌جایی فاز مستقیماً متناسب با سرعت جریان است و می‌توان آن را در تصاویر آنژیوگرافی نشان داد که روشنایی پیکسل متناسب با سرعت جریان است. با استفاده از این روش، دامنه و مدت گرادیان کدگذار سرعت جریان (Venc) حساسیت به سرعت جریان را تعیین می‌کند. در مواردی که جایه‌جایی‌های فاز بزرگتر از 180° است، آلایزینگ رخ می‌دهد، و سیگنال MR نمایانگر اطلاعات حقیقی سرعت نمی‌باشد. به این دلیل، سرعت بیشینه مورد انتظار را باید یا پیش از شروع اندازه‌گیری از روی اطلاعات قبلی در مورد سرعت‌هایی که نوعاً در رگ مورد نظر وجود دارد تخمین زد (برای تصویربرداری 2D PCA) یا با انجام یک سری تصاویر فاز کتراست 2D با به کاربردن گسترده‌ای از Venc محاسبه کرد (برای تصویربرداری 3D PCA). همه روش‌ها نیازمند به کاربردن یک مجموعه جبران شده جریان و سپس به کاربردن مجموعه‌های اضافی داده‌های کدگذاری شده جریان در جهات مختلف است. اختلاف این دو مجموعه داده‌ها برای محاسبه تصاویر آنژیوگرافی به کار می‌رود. در 3D PCA، زمان‌های اسکن بسیار طولانی است چون باید چهار اندازه‌گیری انجام شود: یک تصویر جبران جریان و یک تصویر کدگذاری جریان در هر سه صفحه متعامد.

روش‌های PC را می‌توان با FOV‌های کوچک و بزرگ به کاربرد و نوعاً سرکوب کامل سیگنال بافت‌های ایستا را فراهم می‌کند. برخلاف تکنیک‌های جریان ورودی (TOF)، روش‌های PC مستقیماً جریان را اندازه می‌گیرد و بنابراین با تظاهر مصنوعی بافت‌های T_1 کوتاهی دارند، نظیر ترومبوزهای تازه تحت تأثیر قرار نمی‌گیرد. با استفاده از یک تکنیک راهاندازی ECG ۲D توپانایی اندازه‌گیری مستقیم جریان را می‌توان برای تعیین سرعت جریان در شریان‌ها به کاربرد.

- قطعات دستیابی ۲D قابل مقایسه با پروجکشن‌های حاصله با DSA شریانی می‌باشند. در مقایسه با TOF MRA ترتیبی، این تکنیک کارآیی بیشتری دارد، با این وجود، چند عدم مزیت دارد:
- برای دستیابی باید به طور آینده نگر یک پارامتر Venc انتخاب شود.
 - ضرورت تفرقی مجموعه تصاویر جبران جریان از مجموعه تصاویر کدگذاری شده جریان می‌تواند به آرتیفکت‌هایی از جریان نبضدار منجر شود.
 - تنفس و پریستالیس در شکم و لگن کیفیت تصویر را خراب می‌کند.
 - واکسل بسیار ناهمسانگرد در این تکنیک می‌تواند به تداخل فاز نابودکننده در موارد روی هم افتادگی عروق منجر شود.
- به این دلایل PCA به طور گسترده در توراکس و شکم استفاده نمی‌شود، و اگرچه در ارزیابی شریان‌های محیطی صحیح است، هوا داران کمی دارد (عمدتاً به دلیل موفقیت CE-MRA). اگرچه، توپانایی اندازه‌گیری جریان در عروق مجزا، مثلًاً شریان‌های کلیوی در بیمارانی با استنوز شریان کلیوی، ممکن است علاقه بیشتر به این تکنیک را در آینده بیشتر کند.

MRA با بهبود کتراست

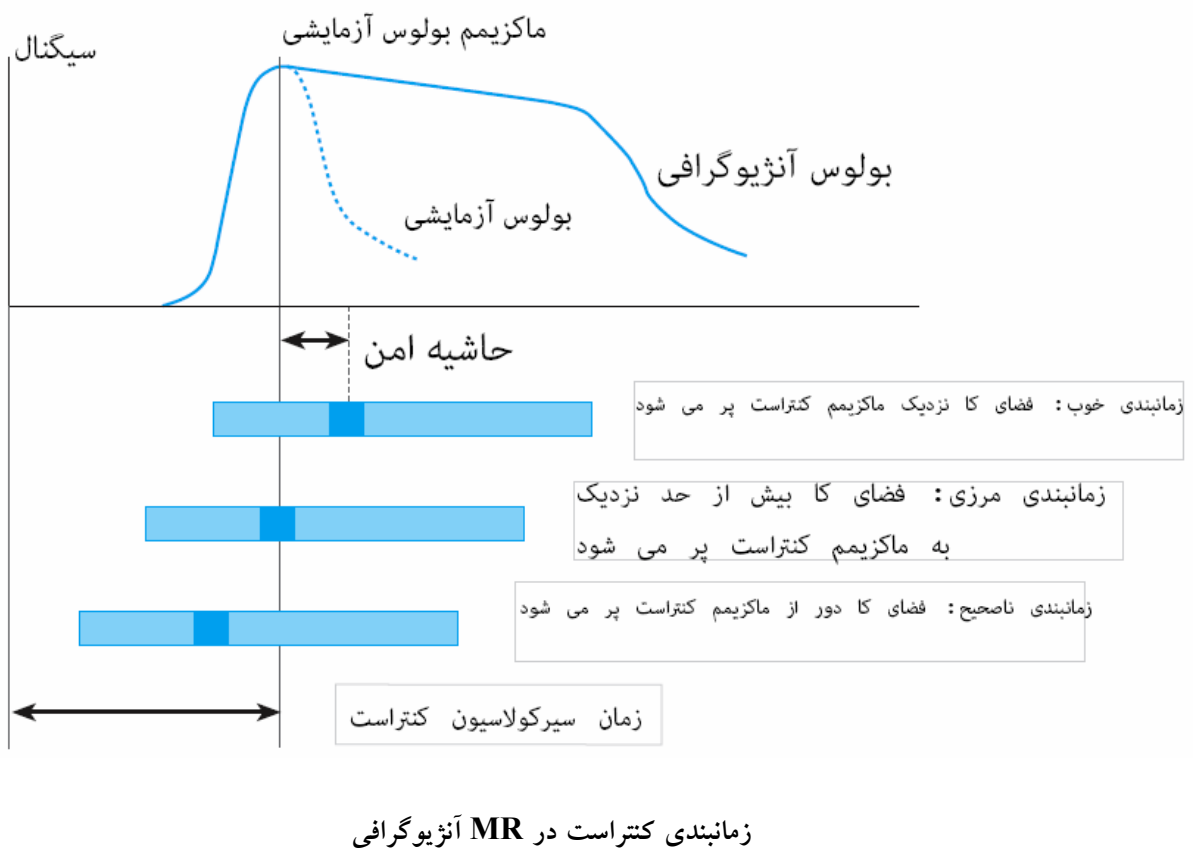
تمام تکنیک‌های CE-MRA اصول یکسانی دارند: کوتاه شدن ۱۰-۲۵ ms برابر زمان آسایش T_1 خون با تزریق یک ماده کتراست (CM) پارامنیتیک. این به اختلاف زیاد شدت سیگنال بین روشن‌ترین بافت زمینه، چربی (که T_1 تقریباً ۲۰۰ ms دارد) و شریان‌های حاوی کتراست (خون با T_1 کمتر از ۵۰ ms بعد از تزریق یک حجم مناسب از ماده کتراست) در تصاویر به دست آمده با یک دنباله سنگین وزن T_1 منجر می‌گردد. چون باید تصاویر در مدت زمان نسبتاً کوتاه اولین عبور شریانی ماده کتراست و پیش از شروع بهبود وریدی (این فاصله زمانی را «پنجره شریانی وریدی» می‌نامند) دستیابی شود، یک دنباله فوق سریع گرادیان اکو (GRE) استفاده می‌شود. مجموعه داده‌های ۳D دستیابی شده را می‌توان با روش MIP و MPR پس پردازش کرد تا پروجکشن‌های متفاوتی از عروق به دست آید.

الزامات سیستم

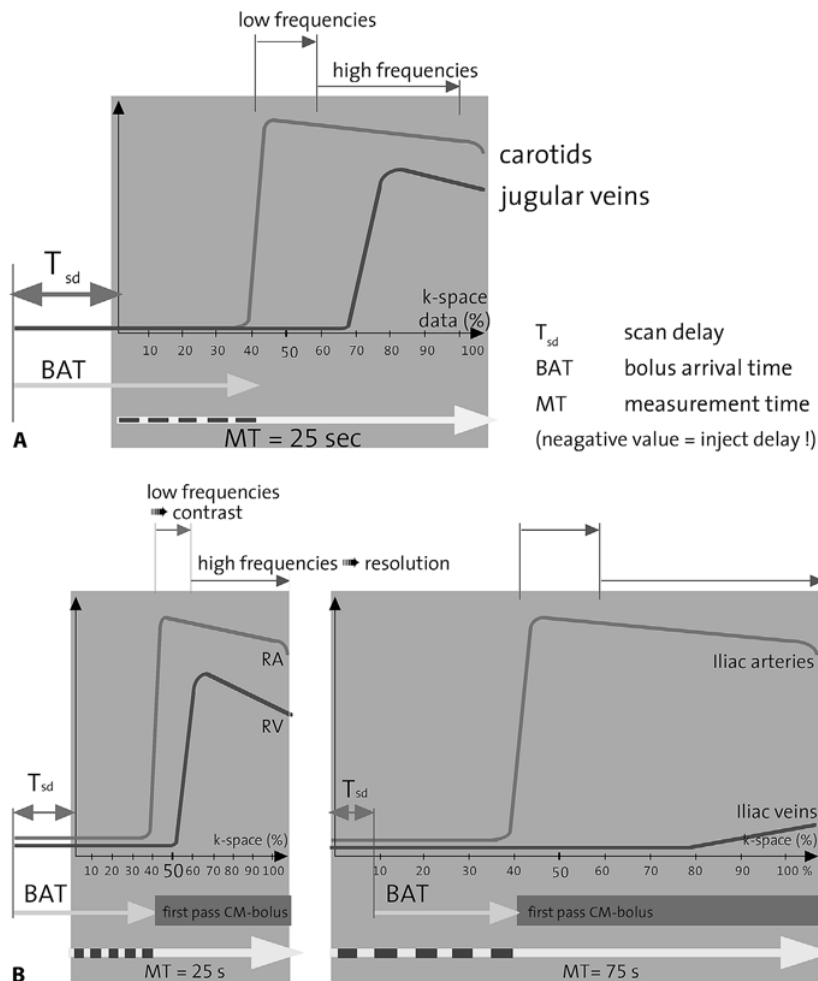
به منظور تولید مجموعه داده‌های ۳D با تفکیک بالا در مدت زمان اولین عبور یا در مدت زمان نگهداشتن تنفس توسط بیمار برای تصویربرداری از عروق توراسیک و شکمی، CE MRA به بهترین شکل در یک سیستم MR با عملکرد عالی با TR و TE کوتاه انجام می‌شود. گرادیان‌های قوی ($600 \mu\text{s}/\text{mT}/\text{m}$ یا بالاتر) و شدت میدان $1/5\text{T}$ یا $1/10\text{T}$ لازم است.

کتراست عروقی و فضای K

در یک دنباله اندازه‌گیری نوعی که از یک پروفایل خطی کدگذاری فاز ساخته شده، داده‌های فضای K خط به خط دستیابی می‌شوند، معمولاً از یکی از گوشه‌های پیرامونی فضای K پُر شدن آغاز می‌شود و به تدریج به طرف مرکز فضای K پیش می‌رود، تا آنکه خط آخر در لبه دیگر فضای K پُر شود. با استفاده از این الگوریتم، خطوط مرکزی فضای K در میانه دستیابی پُر می‌شود، و این استراتژی نمونه‌گیری (پُر شدن) فضای K را استراتژی «خطی» می‌نامند. اگرچه، خطوط فضای K را می‌توان با هر ترتیبی پُر کرد، و مشخصات بی‌نظیر فضای K را می‌توان برای بهبود کیفیت CE MRA به کار گرفت. در حالی که فرکانس‌های بالاتر فضای K، که تفکیک فضایی تصویر حاصله را تعیین می‌کنند، خطوط خارجی فضای K را تشکیل می‌دهند، مرکز فضای K (فرکانس‌های فضایی پائین، خطوط مرکزی) تعیین‌کننده کتراست تصویر است. بنابراین، قسمت مرکزی (حدود ۲۰٪) فضای K برای کتراست عروقی در CE MRA بسیار مهم است، و پیش از آنکه خطوط مرکزی تعیین‌کننده کتراست دستیابی شوند، CM باید در عروق مورد نظر حضور داشته باشد، در غیر این صورت آرتفیکت‌های شدید «طنین» ایجاد و سبب خرابی کیفیت تشخیص می‌شود (شکل ۱۳-۱). از طرف دیگر، شارپنس تصویر در مرازهای عروق بستگی به حضور CM در حین نمونه‌برداری از خطوط پیرامونی فضای K (فرکانس‌های فضایی بالا) دارد. بنابراین هنگامی که CM در تمام مدت اندازه‌گیری با غلظت بیشینه در عروق مورد نظر حضور داشته باشد، می‌توان کیفیت بهینه تصویر را انتظار داشت. با این حال چون پنجره شریانی وریدی (AV) (زمان بین شروع بهبود شریانی و بهبود وریدی) ممکن است کوتاهتر از زمان دستیابی باشد، روی هم افتادن تصویر وریدها روی شریان‌ها می‌تواند سبب مشکلاتی در تفسیر شود. بنابراین برای افزایش تمایز شریانی / وریدی لازم است مرکز فضای K در مدت پیک شریانی پیش از شروع بهبود وریدی دستیابی شود. از طریق یا (۱) زمان‌های بسیار کوتاه تصویربرداری (کوتاهتر از پنجره شریانی وریدی)، و یا (۲) دستیابی خطوط مرکزی فضای K همزمان با پیک شریانی پیش از آنکه بهبود وریدی رخ دهد، می‌توان به این مقصد نائل شد. این روش آخر به زمان‌بندی دقیق بولوس کتراست نیاز دارد و نوعاً روشی را به کار می‌گیرد که در آن خطوط مرکزی فضای K در آغاز دستیابی ۳D به دست می‌آیند. این روش دوم (دستیابی «مرکزی») با استفاده از زمان‌های طولانی‌تر اندازه‌گیری اجازه دستیابی تصاویری با تفکیک بالاتر را می‌دهد، اما چون در این مورد زمان دستیابی بسیار فراتر از زمان‌گذار AV خواهد بود، باید از یک روش دقیق زمان‌بندی بولوس (مثالاً آشکار کردن فلوروسکوپیک بولوس) استفاده کرد. این راهکار به طور گسترده برای تصویربرداری شریان‌های کاروتید استفاده می‌شود، در اینجا زمان گردش خون از شریان کاروتید به ورید ژاگولار بسیار کوتاه است و در ضمن تفکیک فضایی بالا نیز ضروری می‌باشد. این راهکار برای تصویربرداری از شریان‌های کوچک ران و کف پا نیز به کار می‌رود.



$$\text{Timing: } T_{sd} = \text{BAT} - (1/2 \text{ MT} - [10\% \text{ MT}])$$



شکل ۱۳-۱ A,B تنظیم تزریق کترast و اندازه‌گیری ۳D CE MRA: زمان‌بندی بولوس نشان داده شده در CE MRA شریان‌های کاروتید (A) رنال و ایلیک (B). طول فاصله مرکز فضای K نسبت به زمان دستیابی متفاوت می‌باشد، که تفکیک فضایی قابل دسترس را تحت تأثیر قرار می‌دهد.

پارامترهای اندازه‌گیری

پارامترهای اندازه‌گیری برای پوشش تمام ناحیه مورد نظر (ROI) مطابق با الزامات بالینی تنظیم می‌شود. هر صفحه برشی را می‌توان استفاده کرد، نوعاً صفحه کرونال به دلیل پوشش بهینه برای هر ترکیب میدان دید و عمق قطعه انتخاب می‌شود. در اصل، کوتاهترین TR (که کوتاهترین زمان اسکن را می‌دهد) و کوتاهترین TE ممکن (برای به حداقل رساندن دفازینگ) باید استفاده شود. برای افزایش تفکیک فضایی، در صورت امکان از ماتریس 512×512 استفاده می‌شود، عدم مزایای اندک آن کاهش SNR (ابعاد کوچکتر واکسل) و کمی افزایش TE (دفازینگ بیشتر) است. به منظور به دست آوردن تفکیک بالاتر در جهت کدگذاری فاز و جهت انتخاب برش، به ترتیب به گام‌های بیشتر کدگذاری فاز و برش‌های نازک‌تر نیاز است، هر دوی اینها زمان اسکن را طولانی می‌کند. اگرچه، زمان اسکن یا توسط پنجره AV، یا کلی تر، با توانایی نگهداشت تنفس بیمار برای تصویربرداری محدوده توراکس و شکم محدود می‌شود. مهم است بدانیم که یک اسکن قطع تنفس با تفکیک پایین‌تر در تصویربرداری انشعابات آثرت نسبت به اسکنی با تفکیک بالاتر بدون قطع تنفس بسیار برتر است. بنابراین، برای اطمینان از درجه‌بندی صحیح استنوز باید از بهترین تفکیک که با

توانایی قطع تنفس بیمار امکان‌پذیر است استفاده کیم، انتخاب فلیپ تعیین‌کننده نیست ولی باید تا حد امکان به گستره 35° - 50° نزدیک باشد.

به دلیل ساختار بی‌نظیر فضای K، همیشه لازم نیست تمام خطوط فضای K دستیابی شود. به شرط آنکه پیش از نصف خطوط فضای K (شامل خطوط مرکزی) اندازه‌گیری شود، باقیمانده (40%) را می‌توان از روی داده‌های اندازه‌گیری شده به دلیل ماهیت تقارنی فضای K بازسازی کرد، تکنیکی که به آن تصویربرداری فوریه جزئی (یا نصف فوریه) می‌نامند. این سبب کاهش زمان اسکن متناسب با مقدار داده‌های بازسازی شده و نه داده‌های اندازه‌گیری شده می‌گردد، یک مزیت بزرگ در هنگام نیاز به زمان کوتاه اسکن.

در حال حاضر با تجهیزات مدرن زمان‌های به حد کافی کوتاه امکان‌پذیر است. با این حال، با استفاده از تفکیک صفحه‌ای پایین‌تر و تفکیک فضایی پایین‌تر در جهت انتخاب برش (برش‌های ضخیم‌تر) می‌توان زمان اسکن را باز هم کوتاه‌تر کرد. درونیابی برش (slice interpolation)، تکنیکی است که به طور گسترده توسط تمام سازندگان در طراحی دنباله‌های MRA^{3D} به کار می‌رود تا کیفیت تصاویر MIP «خارج صفحه» (Off- plane MIP) را افزایش دهند، اما اکیداً توصیه می‌شود تا از روش فوق (یعنی استفاده از تفکیک صفحه‌ای پائین و برش‌های ضخیم برای کاهش زمان اسکن همراه با درونیابی برش) استفاده نشود، چرا که تفکیک محاسبه شده را نمی‌توان به عنوان تفکیک فضایی حقیقی در نظر گرفت.

کتراست عروق و هندسه بولوس CM

کوتاه شدگی T₁ خون به غلظت عروقی CM بستگی دارد. هدف از تزریق CM به دست آوردن بالاترین غلظت در شریان‌های مورد نظر در حین دستیابی خطوط مرکزی فضای K است (همان‌طور که در بالا ذکر شد). هندسه بولوس به پارامترهای تزریق iV بولوس (سرعت جریان (FR)، دوز CM و حجم سالین دنباله‌رو) و علاوه بر آن به پارامترهای فردی فیزیولوژیک (مثلاً عملکرد ناقص قلب، اضطراب و غیره) بستگی دارد.

- افزایش FR (سرعت تزریق) (در گستره $1-3 \text{ ml/s}$) به کاهش طول بولوس (افزایش کتراست عروقی) منجر می‌شود.
- افزایش سالین دنباله‌رو به افزایش طول بولوس منجر می‌شود.
- افزایش مقدار CM به افزایش طول بولوس منجر می‌شود.

مطالعات نشان می‌دهد که با افزایش سرعت جریان به $1-2 \text{ ml/s}$ کتراست عروقی افزایش می‌یابد. تزریق‌های سریع‌تر بولوس را کوتاه می‌کند، و اگرچه انتظار می‌رود کتراست افزایش یابد، اگر بولوس بسیار کوتاه باشد به طوری که در تمام مدت دستیابی در عروق حضور نداشته باشد، کیفیت تصویر ممکن است تغییری نکند و یا خراب‌تر شود. افزایش حجم سالین دنباله‌رو از طریق شستن کتراستی که در غیر این صورت ممکن است به دلیل استاز در وریدهای بازویی و تحت ترقوهای باقی بماند سبب طولانی کردن بولوس می‌شود. غلظت CM در خون به طور فیزیولوژیک با اولین عبور از میان قلب و ریه‌ها کاهش می‌یابد، در صورت عدم استفاده از سالین دنباله‌رو، یک اثر قابلیت پذیرش در شریان‌های ساب کلاوین و برآکیوسفالیک در همان سمت تزریق CM دیده می‌شود که به دلیل غلظت بسیار زیاد ماده کتراست در وریدهای مجاور است. آثار رقیق شدن بولوس برای تمام عروق سیستمیک یکسان است، با این وجود ممکن است به دلیل محدودیت‌های تفکیک، و اگر سیگنال چربی با تفرقی یا آثار اشباع حذف نشده باشد، با چربی

زیرجلدی یا چربی مغز استخوان برخی عروق به خوبی مشاهده نشوند. به علاوه، قسمت‌های دیستال به استنوزهای شدید، یا قسمت‌های دیستال بازسازی شده از طریق کولرال‌ها ممکن است به دلیل تأخیر در رسیدن CM مشاهده نشوند.

بنابراین، به هنگام تعیین پارامترها (به خصوص زمان اسکن) باید هندسه بولوس را در نظر بگیریم تا کتراست عروق بهینه شود.

زمانبندی بولوس و ملاحظات ماده کتراست در CE-MRA

لازم است زمان اسکن و پارامترهای تزریق CM با یکدیگر هماهنگ باشد تا کیفیت بهینه تصویر حاصل شود.

برای مثال، می‌توانیم یک CE MRA از شریان‌های کلیوی را با استفاده از یک دوز منفرد (۰/۱ mmol/kg) یا یک دوز دو برابر (۰/۲ mmol/kg) از CM با سرعت تزریق یکسان انجام دهیم. با استفاده از پارامترهای یکسان دنباله CE MRA، می‌توان پیش‌بینی کرد که آزمون دوز منفرد به تفکیک پایین‌تر، جزئیات کمتر لبه و نمایش ضعیفتر انشعابات محیطی از تکیک دوز دو برابر منجر می‌شود.

اگرچه CE MRA «مستقل از جریان» می‌باشد به این معنی که وابستگی کمی به آثار "In flow" یا «فاز» دارد، اما کیفیت بالای تصویر به زمانبندی صحیح بولوس نیاز دارد، که به زمان گردش خون از ورید محیطی تا شریان مورد نظر بستگی دارد. چون در افراد مختلف این زمان بسیار متفاوت است، زمان تأخیر اسکن (زمان شروع تزریق تا شروع اسکن) باید به دقت انتخاب شود. به این منظور روش‌های زیر در عمل استفاده می‌شود:

- زمانبندی تجربی (بهترین حدس): زمان تأخیر توسط کاربر تنظیم می‌شود، با به حساب آوردن چند عامل نظیر وضعیت فیزیکی بیمار و دانستن گستره زمان‌های تقریبی گردش خون در بیشتر بیماران، این تکنیک امروزه ندرتاً استفاده می‌شود.

- استفاده از یک بولوس زمانبندی: زمان رسیدن بولوس (BAT) پیش از ۳D CE MRA اندازه‌گیری می‌شود. یک دوز آزمون، ۱-۲ ml آمده کتراست، با حجمی از سالین دنباله‌رو که معادل با حجم کتراست در ۳D MRA است (مثلاً ۳۰ ml) تزریق می‌شود. تصویربرداری تک برش با تفکیک زمانی (2D GRE) با یک تفکیک زمانی یک تصویر در ثانیه استفاده می‌شود تا رسیدن بولوس مشاهده شود. بعد از اولین گردش خون در گردش قلبی ریوی، بولوس به شریان‌های ROI می‌رسد.

سپس تأخیر اسکن (T_{sd}) در ۳D CE MRA را می‌توان با استفاده از فرمول زیر محاسبه کرد. (به شرط آنکه از جدول خطی کدگذاری فاز استفاده شده باشد):

$$T_{sd} = BAT - \left(\frac{1}{2} MT - [0.1MT] \right)$$

= زمان اندازه‌گیری.

* آشکارسازی خودکار بولوس. دو روش استفاده می‌شود:

- آشکارسازی «جعبه سیاه» (SMART PREP): یک حجم ردیاب درون ناحیه مورد نظر قرار داده می‌شود، و شدت سیگنال درون واکسل به طور پیوسته اندازه‌گیری می‌شود، بالا رفتن شدت سیگنال از یک حد آستانه نشان دهنده رسیدن عامل کتراست است، و اسکن ۳D راهاندازی می‌شود.

- آشکارسازی فلوروسکوپی (CAREBOLUS, BOLUS TRACK): تصاویر تک برش ۲D با تفکیک زمانی یک تصویر در ثانیه به طور دینامیک دستیابی می‌شوند و به طور به هنگام روی مانیتور اسکن بازسازی می‌شود. زمانی که کتراست در میدان تصویربرداری مشاهده شود، کاربر اسکن ۲D را قطع و سپس اسکن ۳D را شروع می‌کند.

* مالتی فاز MRA

این رهیافت از دنباله زمان‌بندی استفاده نمی‌کند، در عوض چندین مجموعه کوتاه داده‌های ۳D با سرعت به طور متوالی دستیابی می‌شود، و سپس مناسب‌ترین مجموعه داده‌ها انتخاب می‌شود. عدم مزیت این تکنیک نیاز به گرادیان‌هایی با عملکرد بسیار عالی و نیاز به چندین مرحله قطع تنفس بیمار دارد، که استفاده از آن را در بعضی بیماران ناممکن می‌سازد.

جدول ۱۳-۳ - مزايا و ويژگی‌های اختصاصی تکنیک‌های گوناگون MRA

تکنیک	مزایا	عدم مزايا	ويژگی‌های اختصاصي
4D TOF	افزایش کتراست زمینه / جریان افزایش مشاهده جریان آهسته آثار کم اشباع کاهش زمان اندازه‌گیری	کاهش SNR کاهش مشاهده جریان در صفحه حساسیت به موادی با T1 کوتاه flow voids به دلیل جریان برگشتی دیاستولیک	دریچه ECG، بهبود سیگنال جریان ورودی در حین سیستول
4D TOF	افزایش SNR افزایش تفکیک	اشباع جریان آهسته کاهش سرکوب زمینه حساسیت به مواد با T1 کوتاه	MOTSA TONE MT اشباع
4D PC	کاهش زمان اندازه‌گیری افزایش سرکوب زمینه کاهش آثار اشباع	تفکیک پروجکشن (برش ضخیم منفرد) آرتیفکت‌های دفازینگ به دلیل روحی هم افتادگی عروق غیرحساس به موادی با T1 کوتاه حساس به جریان آهسته	دریچه ECG اندازه‌گیری جریان تصاویر متفاوت جریان در چرخه قلبی (تصاویر دیاستولیک و سیستولیک) VENC متعدد در طول جهت نامناسب (VENC آلایزینگ (انتخاب نامناسب نیاز به تجربه در تفسیر و مهارت کاربر می‌شود

	افزایش زیاد زمان اندازه‌گیری آلبینگ (انتخاب نامناسب VENC) نیاز به تجربه و مهارت کاربر دارد	کاهش آرتیفکت‌های دفازینگ SNR افزایش سرکوب زمینه غیرحساس به مواد با T_1 کوتاه افزایش تفکیکی	۳D PC
تکنیک تفکیک زمان تفریق دیجیتال کویل‌های اختصاصی، (Blood Pool) عوامل خون	به زمان بندی برلوس نیاز دارد آرتیفکت‌های دفازینگ رخ می‌دهد به تزیریق کتراست نیاز دارد	SNR FOV افزایش تفکیکی، کاهش زمان اندازه‌گیری (قطع تنفس امکان‌پذیر است) عدم وابستگی نسبی به جریان تفکیک نسبتاً مستحکم	۳D CE

نکات و ترفندها CE-MRA

- از یک تزریق کننده خودکار استفاده کنید تا تزریق CM طبق استاندارد باشد.
- اگر به تفکیک بالا نیاز دارید از بالاترین دوز ممکن CM استفاده کنید.
- نگهداشتن تنفس را با بیمار تمرين کنید.
- یک مجموعه داده‌های ۳D MRA پیش از تزریق بدست آورید، تا بتوانید تفریق انجام دهید.

۱۳-۳- خلاصه‌ای از مزایا و عدم مزایا در تکنیک‌های مختلف MRA

MRA، به خصوص CE MRA، یک تکنیک دینامیک است. هر روش دچار محدودیت‌ها و آرتیفکت‌هایی است، که در جدول ۱۳-۳ خلاصه شده‌اند. با هر نسل جدید از نرم‌افزار و سخت‌افزار این محدودیت‌ها کمتر و کمتر می‌شود.

MR و نوگرافی با بهبود کتراست (MRV)

چون ماده کتراست تزریقی T_2^* را نیز کوتاه می‌کند، یک اثر قابلیت پذیرش رخ می‌دهد. این به افت شدید سیگنانل درون وریدهای همان طرف تزریق منجر می‌شود، که مانع از دستیابی MR و نوگرام‌ها با کتراست رقیق نشده می‌شود. اگرچه، شریان‌هایی که به صورت روشن بهبود کتراست می‌باشد از تزریق ماده کتراستی حاصل می‌شوند که ناشی از رقیق‌شدن حجم کتراست تزریقی در حین عبور از میان قلب و گوش خون ریوی می‌باشد، که T_2^* را طولانی می‌کند، بنابراین آرتیفکت را حداقل یا حذف می‌کند این ملاحظات به دو روش متفاوت برای انجام MRV با بهبود کتراست می‌انجامد:

۱- MRV «غیرمستقیم»: بعد از تکمیل تصویربرداری فاز شریانی، یک دستیابی دیگر در حین فاز «وریدی» لازم است. این رهیافت را می‌توان برای وریدهای هر ناحیه استفاده کرد و عموماً برای محور اسپلنوپورتال استفاده می‌شود.

MRV -۲ (مستقیم): ماده کتراست پیش از تزریق با سالین رقيق می شود (۶٪-۳٪) و **MR** و نوگرامها در حین اولین عبور دستیابی می شود. این روش را فقط می توان برای ناحیه‌ای به کار برد که CM بعد از تزریق وریدی مستقیماً به ناحیه مورد نظر برسد (مثالاً، ارزیابی ورید اجوف فوکانی بعد از تزریق CM به هر دو اندام فوکانی).

۴-۱۳- پروتکل‌های دنباله و کاربرد بالینی

عروق ایتراکرaniel

3D TOF MRA موثرترین تفکیک در تصویربرداری از شریان‌های ایتراکرaniel است (جدول ۱۳-۴) استنوزهای انشعابات ابتدایی حلقه ویلیس به خوبی نمایش داده می‌شود. متأسفانه این تکنیک برای ارزیابی عروق کوچک دیستال مناسب نیست. استفاده از **Gd** ترکیبات می‌تواند مشاهده عروق محیطی را بهتر کند، اما به هزینه افزایش کتراست بافت‌های اطراف، کاهش کتراست عروق، و افزایش بهبود کتراست وریدی (شکل ۱۳-۲B). جریان کولترال را می‌توان با استفاده از پالس‌های پیش اشباع تعیین کرد، این پالس‌های پیش اشباع سیگنال ناحیه عروقی ای را که توسط عروق پیش اشباع شده خونرسانی می‌شوند سرکوب می‌کند. تعیین درجه تنگی‌های ورتبروبازیلار با دقت انجام می‌شود، به این وسیله استراتژی‌های درمانی (ضد انعقادها) را می‌توان پی‌گیری کرد. تنوعات آناتومیک نظیر ختم شریان ورتبرال در پوستریور یا اینفریور شریان سربرال یا عروق هایپوپلاستیک (شریان سربرال پوستریور هایپوپلاستیک یافتال) به خوبی قابل مشاهده است (شکل ۱۳-۲D).

تصویربرداری تفکیک بالای **3D TOF MRA** آنوریسم‌های کوچک (کمتر از ۳mm) را با دقت بالا نمایش می‌دهد. تصاویر اصلی از مجموعه داده‌های **3D** باید به دقت بررسی شود. بازسازی **MIP** از زیرحجم‌ها (**targeted MIP**) هدف‌دار حذف عروق مزاحم مفید است. این تکنیک را همچنین می‌توان برای تعیین یک نیدوس پایرچا بعد از رادیوسرجری در مالفرماسیون‌های عروقی ایتراکرaniel استفاده کرد اما نمی‌تواند جایگزین کاترآئریوگرافی ستی یا سی تی آئریوگرافی در تعیین عروق تغذیه کننده و شانت شود. گاهی **3D** یا **2D PC MRA** می‌تواند مشاهده چنین ساختارهای عروقی را بهتر کند.

وریدهای ایتراکرaniel را می‌توان با چند روش انجام داد، نظیر **TOF 2D** با پیش اشباع شریانی، تکنیک **PC-MRA** و **CE-MRA**. به این طریق ترومبوزهای سینوس‌های وریدی بزرگ را می‌توان نمایش داد.

جدول ۱۳-۴ پروتکل MRA برای عروق ایتراکرaniel

2D GRE	3D GRE	دنباله پالس
T1	T1	وزن تصویر
آکسیال	آکسیال	صفحة برش
۳۰	۴۰ - ۶۰	TR(ms)
۵ - ۹	۵ - ۶	TE (ms)
۶۰	۲۰ - ۳۰	زاویه فلیپ
۲	۵۶	پهنای برش (mm)
۵۰	۶۴	تعداد قسمت

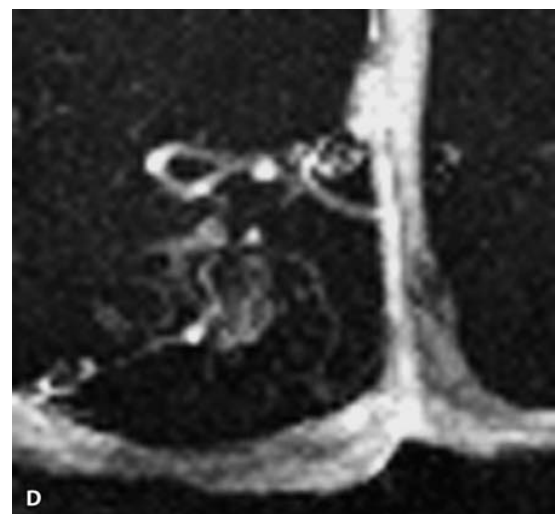
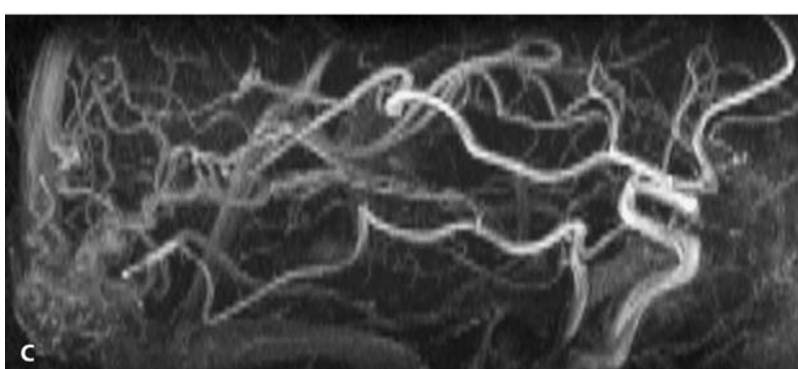
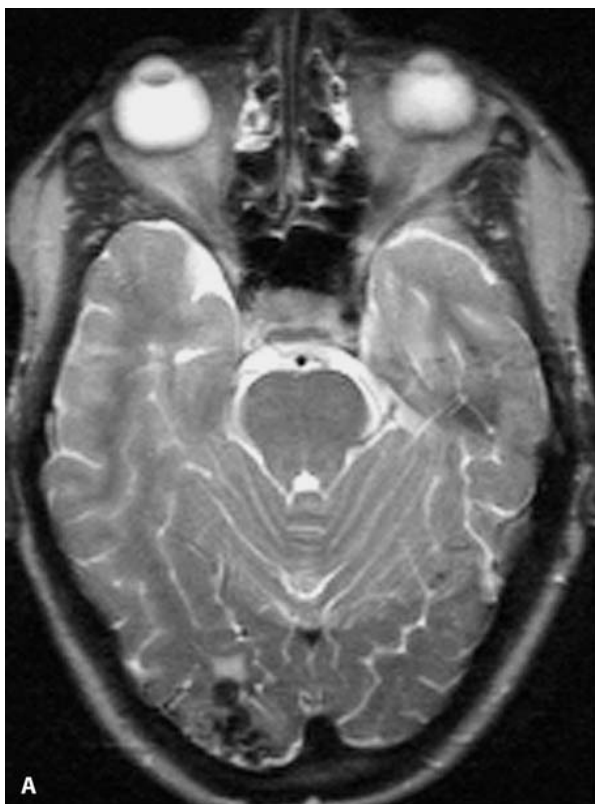
-	۰/۸-۱	ضخامت موثر (mm)
۲۵۶	۵۱۲	ماتریس
۱۸۰	۲۰۰	FOV
۷۵	۶۲۵	(%) RecFOV
۱۹۵	۳۹۰	پهنای باند (Hz)
۱	۱	تعداد دستیابی

جدول ۱۳-۵ پروتکل MRA برای عروق کاروتید اکستراکرaniel

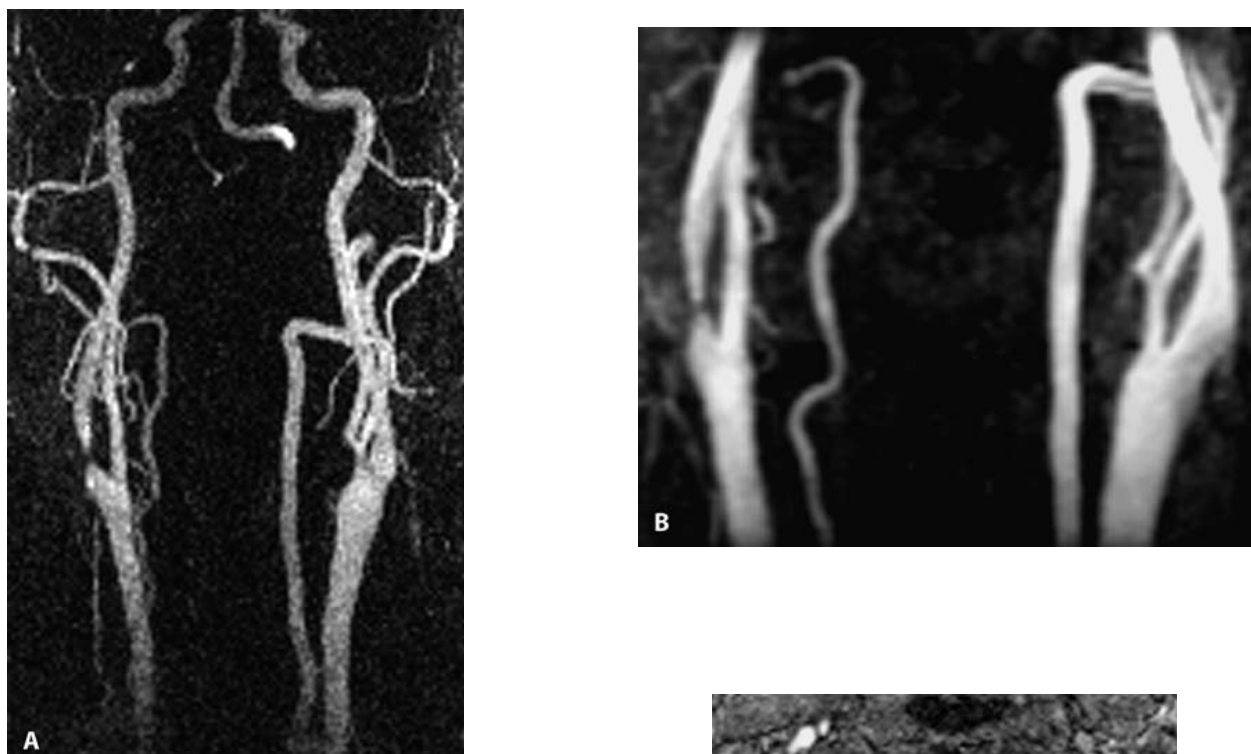
3D GRE MOTSA	3D GRE (CE)	دنباله پالس
T1	T1	وزن تصویر
آکسیال	کرونال	صفحة برش
۳۰	۴/۲	TR(ms)
۶	۱/۹	TE (ms)
۲۵	۳۵	زاویه فلیپ
۱۳۲	۵۰	پهنای برش (mm)
۱۲۲	۵۰	تعداد قسمت
۱	۱	ضخامت موثر (mm)
۲۵۶	۲۵۶	ماتریس
۲۲۰	۲۶۰	FOV
۷۵	۵۰	(%) RecFOV
۳۹۰	۳۹۰	پهنای باند (Hz)
۱	۱	تعداد دستیابی

جدول ۱۳-۶ پروتکل های MRA برای شریان های آئورت، تحت ترقوه و برآکیال

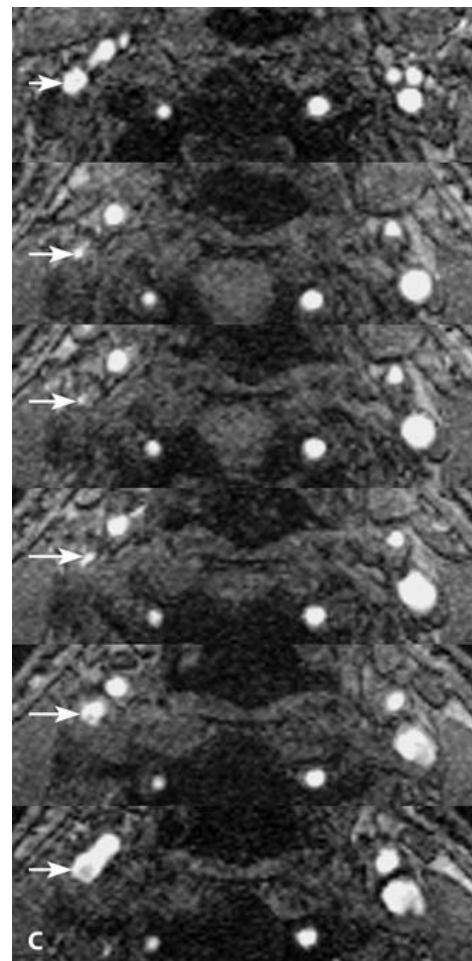
3D GRE(ip)	3D GRE	دنباله پالس
T1	T1	وزن تصویر
پارا ساجیتال	پارا ساجیتال	صفحة برش
۴/۶	۳/۸۵	TR(ms)
۱/۸	۱/۵	TE (ms)
۳۵	۳۵	زاویه فلیپ
۱۰۰	۹۰	پهنای برش (mm)
۶۴ یا ۳۲	۵۸	تعداد قسمت
۲/۳ یا ۳/۱۲	۱/۰۵	ضخامت موثر (mm)
۲۵۶	۲۵۶	ماتریس
۴۰۰	۴۰۰	FOV
۷۵	۷۵	(%) RecFOV
۳۹۰	۶۵۰	پهنای باند (Hz)
۱	۱	تعداد دستیابی



شکل ۱۳-۲ A-C بیماری با یک مالفرماسیون عروقی نیمکرهٔ خلفی راست در تصویر وزن T2 معمولی (A)، چند ناحیهٔ افت سیگناال (signal void) با شک به آسیب عروقی. بنابراین یک 3D TOF MRA با تزریق کترast انجام شد (B و C تصاویر 2D TOF MR آنژیوگرام را نشان می‌دهند). آنژیوگرام (D) برای مشاهدهٔ جریان آهسته در وریدها کافی بود.



شکل ۱۳-۳ A-C استئووز شریان کاروتید راست: در تصاویر CE MRA یک عدم سیگنال بدلیل دفازینگ ناشی از جریان متلاطم مشاهده می‌شود (A). اگرچه، MRA بهبود اندک حریان ایترالومیان را نشان داد که فقط در تصاویر آکسیال دیده می‌شد (پیکان در شکل C). همچنین، به کیفیت پایین تر این تصویر (تکنیک دوز منفرد) در مقایسه با شکل ۱۳-۶A (تکنیک دوز دو برابر) توجه کنید.



شريان‌های کارو‌تید

دنباله‌های MRA بدون کتراست مرسوم عبارتند از MOTSA ۲D TOF یا MOTSA ۳D TOF از تمام شریان کارو‌تید، یا فقط از دو شاخه (جدول ۱۳-۵). به دلیل حساسیت آن به جریان آهسته، ۲D TOF برای تمايز انسداد جزیی از انسداد کامل صحیح‌تر از ۳D TOF است. افت سیگنال در نواحی با جریان متلاطم (turbulent) با هر دو تکنیک ۲D و ۳D می‌تواند رخ دهد، اما تکنیک‌های ۳D نسبت به ۲D ارزیابی بهتری از دو شاخه کارو‌تید برای هم شدت و هم طول استنوز به دست می‌دهد. تکنیک‌های MOTSA بر بسیاری از محدودیت‌های TOF ۳D غلبه می‌کند اما مستعد آرتیفکت‌های حرکتی به دلیل زمان طولانی دستیابی (۱۲-۱۰ دقیقه) نسبت به ۲D CE MRA (شکل ۱۳-۵B) است.

با CE-MRA تمام شریان‌های کارو‌تید و شریان‌های مهره‌ای را می‌توان تصویر کرد. تصاویر را از قوس آئورت تا قاعده جمجمه با استفاده از یک کوبیل آرایه فازی گردن می‌توان به دست آورد (شکل A ۱۳-۴). چون میانگین قطر نرمال ICA تقریباً ۶mm است، مشاهده دقیق قطر باقی‌مانده تقریبی $1/8\text{mm}$ ضروری است تا اجازه آشکارشدن استنوز در ۷۰٪ قطع را بدهد. بنابراین تفکیک بالا، که زمان اسکن را بسیار فراتر از پنجره AV افزایش می‌دهد، باید استفاده شود. با این وجود، تصاویر فاز شریانی بدون آلودگی وریدی را می‌توان با استفاده از کدگذاری فاز مرکزی به همراه آشکارکردن فلوروسکوپیک بولوس استفاده کرد تا پرشدن قسمت مرکزی فضای k در حین پیک شریانی پیش از شروع بهبود وریدی ژاگولات امکان‌پذیر شود، علیرغم این واقعیت که زمان‌گذار AV نوعاً فقط ۸-۱۲S است. با استفاده از فن آوری مدرن، ابعاد واکسل $1\times 1\times 1\text{mm}$ به راحتی قابل حصول است، اما در سیستم کارو‌تید به تفکیک بیشتری نیاز داریم. کتراست بهینه عروقی از طریق تزریق دوز دوبل با سرعت $1-2\text{ml/s}$ (شکل ۱۳-۳ و ۱۳-۴ را باهم مقایسه کنید) حاصل می‌شود. دستیابی‌ها با نگهداشت تنفس مشاهده عروق قوس آئورت را بهتر می‌کند.

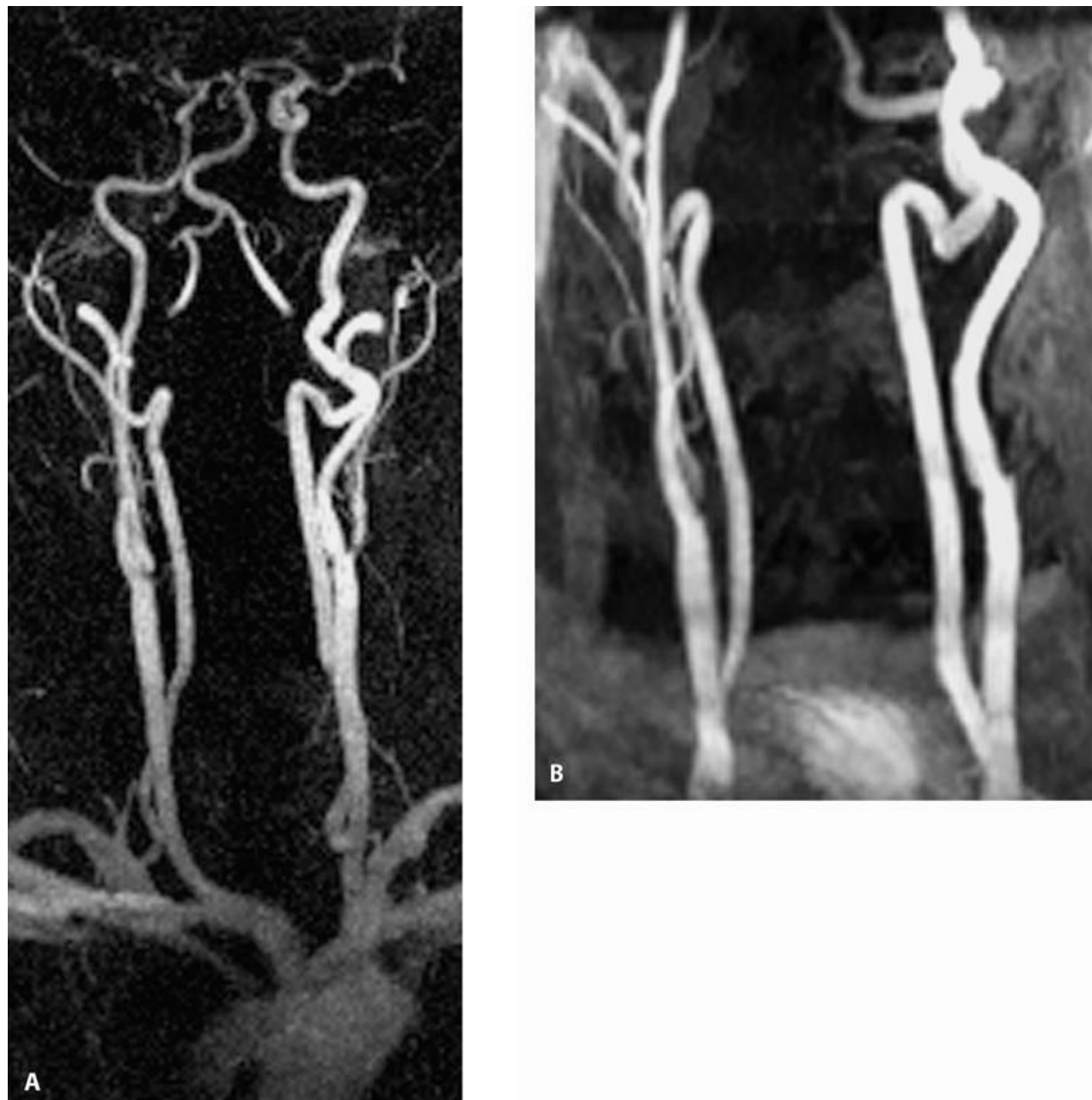
با آموزش به بیمار که در حین دستیابی ۳D MRA (نوعاً کمتر از ۴۰S) بلع انجام ندهد می‌توان از آرتیفکت ناشی از بلع جلوگیری کرد.

آئورت توراسیک و شکمی، شریان‌های تحت ترقوهای و بازویی

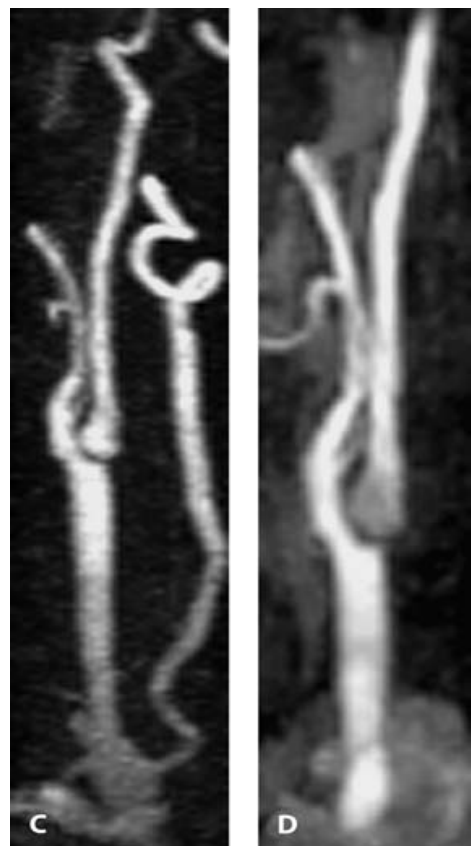
بیماری‌های مادرزادی و اکتسابی عروق قوس آئورت، آئورت توراسیک و شکمی می‌تواند به ایجاد آنوریسم، استنوز و انسداد منجر شود. همچنین اتیولوژی‌های متنوع نظیر آترواسکلروز، ترومما، عفونت، تابش گیری، اختلالات بافت همبند، فیبرودیسپلازی و دیسکشن ممکن است دیده شود. تمام این پاتولوژی‌ها، شامل طراحی درمان و فالواپ، به خوبی توسط CE MRA به تصویر کشیده می‌شود (جدول ۱۳-۶). زمان اندازه‌گیری را باید به هزینه تفکیک کاهش داد تا نگهداشت تنفس تسهیل شود. برای تأمین اطلاعات از اسکن CE، مناسب است که دنباله زمان‌بندی یا تکنیک فلوروسکوپی ۲D در صفحه‌ساجیتال انجام شود تا بتوان اطلاعاتی در مورد دیسکشن آئورتی به دست آورد (شکل ۱۳-۸A)

ارزیابی بیماری انسدادی استنوز در ناحیه تحت ترقوهای یا بازویی، نظیر (thoracic outlet syndrome) با CE MRA و انجام دو اندازه‌گیری در دو وضعیت نرمال و آبدانکشن بازو امکان‌پذیر است (شکل ۱۳-۹). به دلیل اشر قابلیت پذیرش ناشی از کتراست، همیشه باید ماده کتراست در سمت بدون نشانه تزریق شود تا از سوء تفسیر استنوز مصنوعی جائی که شریان و ورید تحت ترقوهای در مجاورت یکدیگر قرار دارند جلوگیری شود؛ در بیمارانی با نشانه‌های دو طرفه، تزریق در سمت راست انجام می‌شود که به

دلیل آناتومی مطلوب‌تر آن است: شریان‌های تحت ترقوه‌ای و پروکسیمال بازویی به یک حجم نسبتاً ضخیم $60-90\text{ mm}$ ($60-40\text{ mm}$) در حین قطع تنفس نیاز دارد، که استفاده از تقسیک متوسط ($7\times5\times1\text{ mm}^3 = 350\text{ mm}^3$) (ابعاد واکسل) را ضروری می‌سازد. برای SNR بهتر یک کویل آرایه فازی تنه ترجیح داده می‌شود. هنگامی که از شریان‌های تحت ترقوه‌ای و برآکیال CE-MRA



شکل ۱۳-۴ A-D بیماری با تنگی کاروتید: استنوز درجه بالا (بیش از ۷۰٪) شریان داخلی راست و خارجی چپ کاروتید. با تصاویر CE MRA (تکنیک دوز دو برابر، سرعت تزریق 3 ml/s) تمام طول شریان کاروتید از قوس آئورت تا حلقه ویلیس مشاهده می‌شود (A)، در بازسازی MIP امکان می‌دهد از استنوز کاروتید در محل انشعاب (bifurcation) (C,D) پروجکشن‌های انتخابی تهیه کنیم.



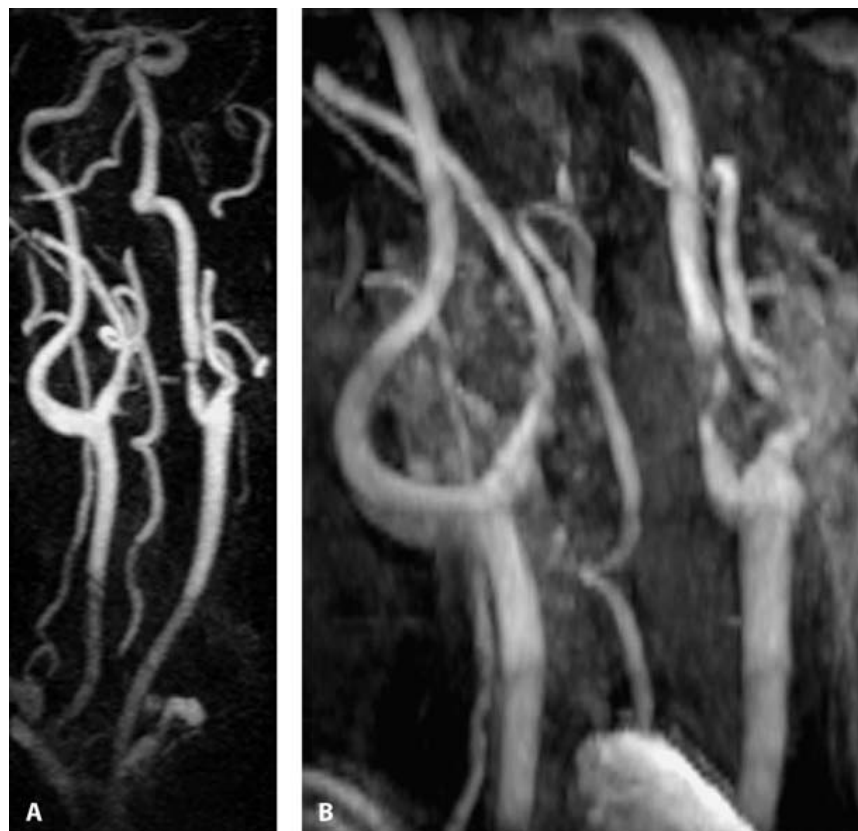
آنژیوگرافی انتخابی انجام می‌دهیم، یک کویل قابل انعطاف $\text{FOV}=300\text{ mm}$ wrap-around، تکنیک دوز دوبل، سرعت تزریق 2 ml/s یا یک کویل تنه آرایه فازی خارج از مرکز را می‌توان استفاده کرد (شکل ۱۳-۸).

شریان‌های پالمونری

یک CNR CE MRA بالا بین خون روشن پر از کتراست و آمبولی تاریک به دست می‌دهد. اگرچه انشعابات مرتبه پنجم تا هفتم شریان پالمونری را می‌توان مشاهده کرد، یک تشخیص قابل اعتماد از آمبولی حاد پالمونری فقط تا انشعاب مرتبه چهارم (شریان‌های سگمنتال) ممکن می‌باشد. این تکنیک همچنین برای طراحی درمان و مطالعات فالوآپ در بیماری مزمن آمبولی ریوی مناسب می‌باشد. اگرچه MIP یک دید کلی از عروق پالمونری به دست می‌دهد، آمبولی‌های انسداد دهنده جزئی ممکن است کاملاً پنهان شوند. این آمبولی‌ها با مشاهده برش‌های مجزا و تهیه تصاویر MIP زیرحجمی (subvolume) و MPR بهتر مشاهده می‌شوند. در سطح ساب سگمنتال، MIP‌ها روند مشاهده را بهتر می‌کنند (همچنین مراجعه کنید به targeted MIP در شکل ۱۳-۱۱C).

به دلیل توانایی محدود بیشتر بیماران با آمبولی ریوی در نگهداشتن تنفس، لازم است تفکیک را به نفع زمان کوتاه‌تری، که بیمار می‌تواند تنفس خود را نگه‌دارد، کاهش دهیم. اگرچه تشخیص آمبولی‌های کوچک ساب سگمنتال غیرممکن می‌شود، با این حال،

اهمیت چنین آمبولی‌هایی نیز مورد سوال است (جدول ۱۳-۹) (شکل ۷-۱۳). هر دو ریه را می‌توان با یک دستیابی منفرد در صفحه کرونال ارزیابی کرد، اما زمان اسکن نسبتاً طولانی است. به منظور کوتاه کردن دستیابی، هر ریه باید به‌طور جداگانه در صفحه ساجیتال ارزیابی شود، با استفاده از تزریق‌های جداگانه یا، در بیمارانی با توانایی نگهداشتن تنفس در حد معقول، می‌توان با به‌کاربردن صفحه ساجیتال، تصاویری با تفکیک بهتر به دست آورد استفاده از یک کویل آرایه فازی تنه برای تقویت SNR در عروق کوچک محیطی، جائی که محدودیت‌های تفکیک بارزتر است ترجیح داده می‌شود.



جدول ۱۳-۷ پروتکل MRA برای عروق پالمونری

3D GRE	دنباله پالس
T1	وزن تصویر
کرونال	صفحة برش
۳/۸۵	TR(ms)
۱/۵	TE (ms)
۴۰	زاویه فلیپ
۹۶	پهنه برش (mm)
۴۸	تعداد قسمت
۲	ضخامت موثر (mm)
۲۵۶	ماتریس
۳۵۰	FOV

۷۵	(%) RecFOV
۶۵۰	پهنه‌ای باند (Hz)
۱	تعداد دستیابی

شکل ۱۳-۵ A,B استنوز تقریباً ۷۰٪ شریان کاروتید داخلی چپ به وسیله CE MRA به درستی نشان داده می‌شود (A). این استنوز به وسیله TOF MRA اندکی بیشتر تخمین زده شد (B) که به دلیل جریان متلاطم بعد از تنگی است که به عدم سیگنال منجر می‌شود. به علاوه، کیفیت تصویری TOF MRA توسط چربی اطراف عروق کاهش می‌یابد.

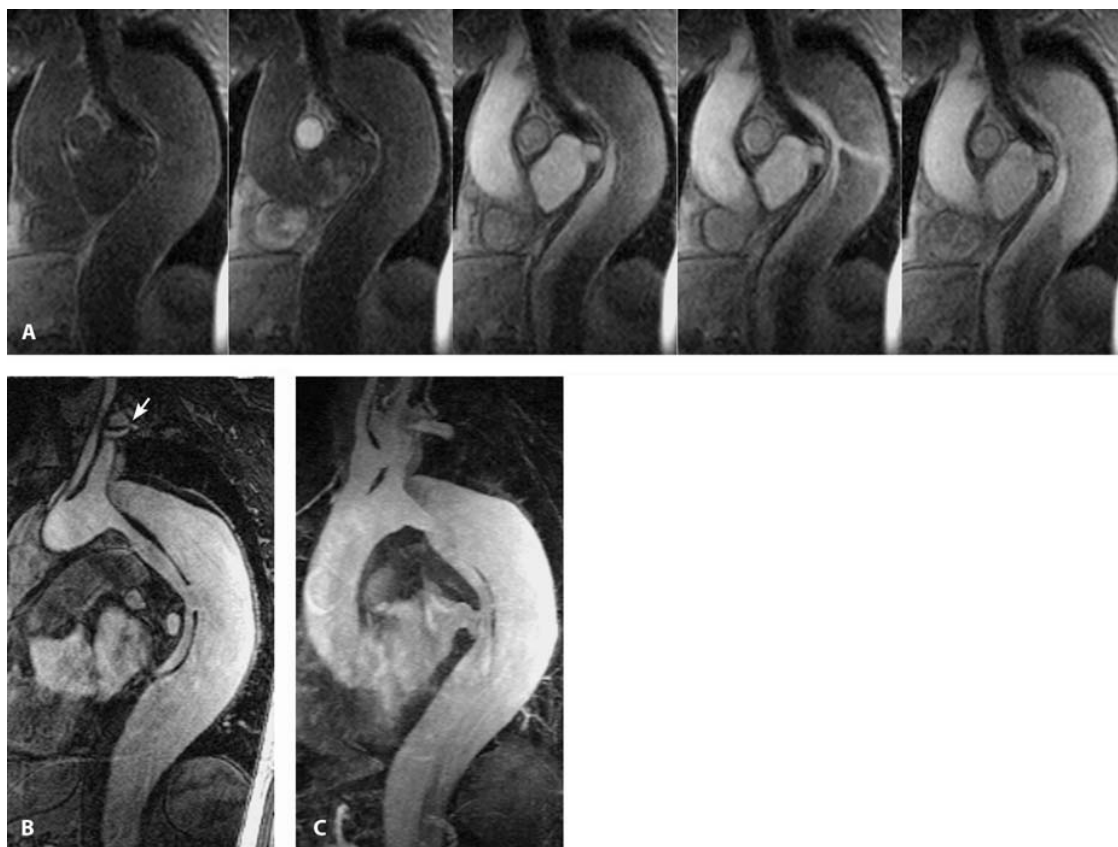
روش دیگر که اخیراً مطالعه شده است ارزیابی شریان‌های ریوی براساس کاربرد ماده کتراست خونی یا blood pool است. تصاویر تلفیک بالا را می‌توان در حین تنفس آزاد به دست آورد، با استفاده از راهاندازی تنفسی یا اکوهای هدایت‌گر برای جبران آرتیفیکت‌های تنفسی. اگر تصویربرداری با تلفیک بالا از شریان‌های پالمونری به طور انتخابی در حال حاضر با استفاده از اولین عبور CE-MRA به دلیل عبور سریع مویرگی و شروع سریع بهبود وریدی نمی‌تواند انجام شود، روی هم افتادگی وریدها که در تصاویر blood pool دیده می‌شود همانند دیگر نواحی که بهبود وریدی می‌تواند اساساً کیفیت تصویری را خراب کند، مسئله‌ساز نیست.

چون این تکنیک یک «نقشه راه» به دست می‌دهد، پاتولوژی‌های دیگر که عروق پالمونری را درگیر می‌کنند، نظریه مالفرماسیون شریانی وریدی (AVM) (شکل ۱۳-۱۰)، استنوز یا انسداد شریان و ورید پالمونری به دلیل تومورهای برونکوژنیک، و سکوستریشن نیز می‌تواند با استفاده از این تکنیک تشخیص داده شود.

شریان‌های کلیوی و مزانتر

۳D CE MRA با قطع تنفس از شریان‌های کلیوی با اندازه متوسط یکی از داستان‌های موفقیت‌آمیز دهه گذشته بوده است (جدول ۱۳-۸) (شکل ۱۳-۱۲). در مراکزی با دسترسی به CE-MRA با کیفیت بالا، کاتتر آرتریوگرافی در بیمارانی با شک به استنوز شریان کلیوی کاملاً منسوخ شده است. با یک دستیابی ۳۰S می‌توان تلفیک فضایی بالایی به دست آورد، که به ابعاد واکسلی همسانگرد $1/25\text{mm}^3$ منجر شود (شکل ۱۳-۱۳ و ۱۳-۱۵). اگرچه، در بسیاری از بیماران مشکوک به بیماری رنوسکولار، بیماری کاردیوپالمونری توانایی نگهداشت تنفس را محدود می‌کند، و برای زمان کوتاه‌تر اسکن، باید تلفیک پایین‌تر انجام شود.

زمان گذار از شریان کلیوی به وریدهای کلیوی حتی کوتاه‌تر از کاروتیدها است (تقریباً ۴-۵ s)، برهم نهی سیگنال به دلیل وریدهای کلیوی (به خصوص در سمت چپ) با زمان‌بندی دقیق بولوس و استفاده از اسکن‌های کوتاه قطع تنفس، می‌توان از برهم نهی سیگنال وریدهای کلیوی (به خصوص در سمت چپ) جلوگیری کرد. به منظور بهبود SNR، یک کویل آرایه فازی نسبت به کویل استاندارد تنه ارجحیت دارد. یک دوز دو برابر (0.2mmol/kg) کفایت می‌کند و به دوز منفرد برتری دارد (شکل ۱۳-۱۴). چنانچه کیفیت بهینه تصویر حاصل شود، شریان‌های کوچک فرعی رنال را می‌توان نمایش داد، که در طراحی درمان جراحی مهم است. شریان‌های ایترارنال به درستی قابل مشاهده نیستند که به دلیل ترکیبی از محدودیت‌های تلفیک، همپوشانی وریدهای کلیوی و پارانشیم کلیوی بهبود یافته روشن است.



شکل ۱۳-۶ A-C بیماری با دیسکشن آنورت نوع B: ابتدا یک CE-MRA (Gd/kg، ۰/۲mmol، ۲ml/s) از آنورت شکمی انجام شد (شکل A)، MIP را نشان می‌دهد) تا از روی همانفناگی سیگنال وریدی جلوگیری شود. بعد، بیمار و کویل تغییر وضعیت داده می‌شوند تا آنورت توراسیک ارزیابی شود. دنباله BAT (زمان رسیدن بولوس Bolus Arival Time) در جهت ساجیتال به دست آمد (A) (که اغلب یک نمای قطع cut view از غشاء دیسکشن به دست می‌دهد). در این مورد، فوران ماده کتراست به داخل لومن کاذب به خوبی آشکار شد. تصاویر ۳D CE MRA (B) بهتر از تصاویر MIP (C) ارزیابی می‌شود. فلپ دیسکشن را در تصاویر اصلی مجموعه داده‌های ۳D CE MRA (B) بهتر از تصاویر MIP (C) ارزیابی می‌شود.

اگرچه شدت تنگی شریان کلیوی با مشاهده ارزیابی می‌شود، علائم ثانویه نظیر کاهش شدت نفوگرام کتراست، و کلیه‌های کوچک شده ارزشمند هستند. ارزیابی سرعت جریان در شریان‌های کلیوی با استفاده از یک دستیابی دریچه قلبی ۲D PC مزایای زیادی در تعیین مناسب‌بودن ریواسکولارایزیشن و پاسخ به درمان ارائه می‌دهد. روش دیگر استفاده از ۳D PCA است.

استنت‌های متداول شریان‌های کلیوی آرتیفکت قابلیت پذیرش گسترهای می‌دهد که مانع از ارزیابی لومن عروقی درون استنت می‌شود، در چنین شرایطی استفاده از حداقل TE و زوایای بسیار بزرگ فلیپ (70°) ضروری می‌باشد، استنت‌های ساخته شده از پلاتین که آرتیفکت کمی می‌دهند تحت بررسی می‌باشد.

شریان‌های مزانتریک نیز ابعادی متوسط دارند که به طور ایده‌آل با CE MRA ارزیابی می‌شوند. اکنون تصویربرداری انتخابی برای ارزیابی بیماران مشکوک به ایسکمی مزانتریک می‌باشد (جدول ۱۳-۸) (شکل ۱۳-۱۲).

جدول ۱۳-۸ پروتکل MRA برای شریان‌های کلیوی و مزانتری

3D GRE	دنباله پالس
--------	-------------

T1	وزن تصویر
کروناł	صفحة برش
۳/۸۵	TR(ms)
۱/۵	TE (ms)
۳۵	زاوية فليپ
۷۰	پهنانی برش (mm)
۳۶	تعداد قسمت
۱/۲۵	ضخامت موثر (mm)
۲۵۶۶	ماتریس
۳۲۰	FOV
۷۰	(%) RecFOV
۶۵۰	پهنانی باند (Hz)
۱	تعداد دستیابی

عروق اندام‌های تحتانی

شریان‌های لگن، ران، ساق و پا

TOF MRA

اگرچه CE MRA در بیشتر کاربردها جایگزین TOF MRA شده است، برای ارزیابی شریان‌های اندام تحتانی TOF MRA یک تکنیک مفید است (جدول ۹-۱۳). نتایج بهتر در شریان‌های نسبتاً مستقیم ران و ساق به دست آمده است، جائیکه حساسیت TOF MRA به جریان آهسته دارای مزایای اساسی است. اما، مسئله اصلی تکنیک‌های in flow زمان‌های طولانی غیرقابل قبول آزمون است. به علاوه، علیرغم رایج شدن فن آوری گرادیان سریع که زمان‌های کوتاه اسکن را سبب می‌شوند (ثانویه به TR های آزمون است. این راه کار سریع اسکن کردن را نمی‌توان به کاربرد چون لازم است یک TR نسبتاً بلند بیش از ۳۰ ms را برای بیشینه کردن آثار in flow به کار برد. بنابراین، TOF MRA، اگرچه صحیح است، اما به دلیل زمان طولانی اسکن بسیار ناکارآ است، محدودیتی که به راحتی نمی‌توان به آن غلبه کرد. در نتیجه در بسیاری از مراکز، TOF MRA فقط به ارزیابی شریان‌های calf و ساق پا محدود می‌شود، جائیکه CE- MRA در برخی موارد زیر بهینه باشد و جائیکه عروق پنهانی (یعنی عروقی که با DSA متداول مشاهده نشده‌اند که روی آن‌ها گرافت‌های با پس می‌توانند قرارداده شود) را می‌توان تشخیص داد.

جدول ۹-۱۳ پارامترهای تصویربرداری MR برای شریان‌های ایلیاک، فمورال و ساق پا

2D FL TOF	2D FL PC	3D GRE HR	3D GRE	دنباله پالس
T1	PD	T1	T1	وزن تصویر
آکسیال	کروناł	کروناł	کروناł	صفحة برش
۸	۸۳	۴/۵۷	۳/۸۵	TR(ms)
۵	۹	۱/۹۵	۱/۵	TE (ms)
۳۰	۱۱	۳۵	۳۵	زاوية فليپ

۳	۸۰	۷۰	۹۰	پهنای برش (mm)
۱۶۰		۷۰	۵۸	تعداد قسمت
۲		۱	۱/۵۵	ضخامت موثر (mm)
۲۵۶	۵۱۲	۵۱۲	۲۵۶	ماتریس
۲۷۰	۴۰۰	۴۰۰	۲۵۰	FOV
۷۵	۷۵	۷۵	۷۵	(%) RecFOV
		۶۵۰	۶۵۰	پهنای باند (Hz)
۱	۱	۱	۱	تعداد دستیابی

PC MRA

برش کروناال را با استفاده از یک FOV بزرگتر در طول جهت جریان امکان‌پذیرمی‌سازد. اگرچه زمان‌های اسکن ۳D طولانی است، یک گرادیان منفرد کدگذار جریان (به جای سه گرادیان مرسوم) را می‌توان در جهت سر-پا به کاربرد به خاطر جهت غالب کرانیوکودال جریان در شریان‌های محیطی، که اساساً زمان اسکن را کاهش می‌دهد (تکنیک ۲D). با این حال، چون چندین سرعت در میدان تصویربرداری وجود دارد، برای تصویربرداری بهینه، باید گرادیان‌های متعدد Venc به کار رود. به دلیل مشکل در انتخاب مناسب venc و نیز موفقیت CE MRA از این تکنیک کمتر استفاده می‌شود.

CE MRA

CE MRA را می‌توان به صورت یک آزمون مکانی منفرد انجام داد، در نتیجه با استفاده از تزریق‌های متواالی برای هر مکان، می‌توان اسکن‌های متواالی را در مکان‌های مختلف تصویربرداری انجام داد، یا می‌توان از روش تخت متحرک استفاده کرد که تصویربرداری در مکان‌های متواالی را در حین یک تزریق منفرد امکان‌پذیر می‌کند.

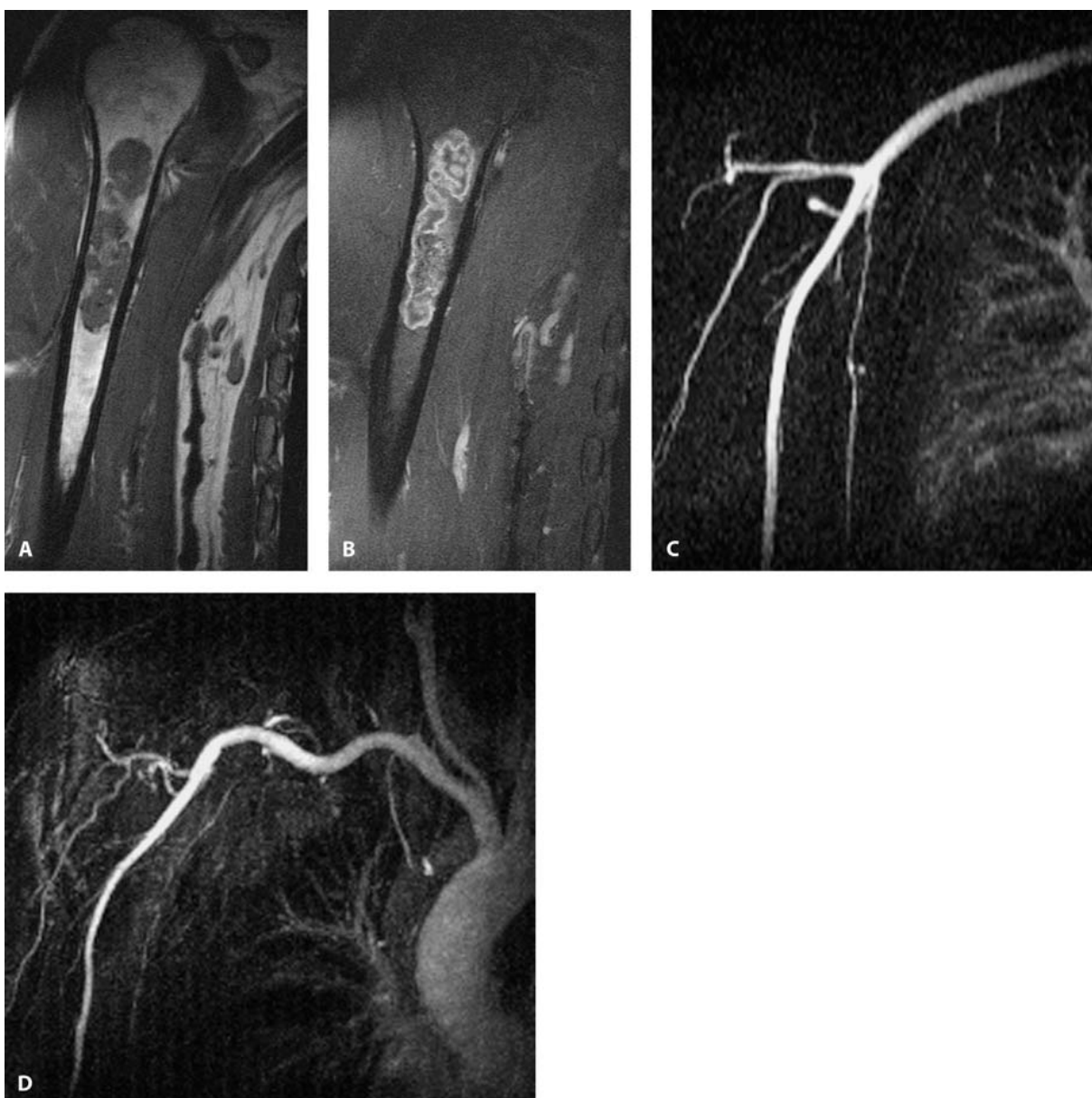


شکل ۱۳-۷ A-D بیماری با سندروم Thoracic Outlet: استئوز متوسط شریان تحت ترقوهای چپ به خوبی هنگامی که بازوها در حین دومین اندازه‌گیری بالا آورده می‌شود (B,D) ارزیابی می‌گردد. دوز بیشینه CM (۰/۳mmol/kg) برای هر دو اندازه‌گیری CE MRA به دو سرعت تقسیم شد ۰/۱۵mmol/kg، برای وضعیت نرمال (A,C) و بالا آوردن بازوها (B,D) با پارامترهای یکسان. زمان اندازه‌گیری برای تکنیک CE MRA کاروتید حدود ۵۰٪ طولانی‌تر بود. بنابراین، کمی همپوشانی وریدی مشاهده شد.

single- location MRA مکان منفرد

۵۰-۴۰، در ناحیه cm FOV بالا را می‌توان به دست آورد. تصاویر با یک SNR تصاویر تفکیک بالا با CE MRA با استفاده از آناتومیک هدف، با استفاده از یک روش استاندارد به دست می‌آید. زمان تأخیر اسکن را می‌توان با استفاده از یک بولوس آزمایشی یا

ترجیحاً، یک تکنیک فلورسکوپی به دست آورد.

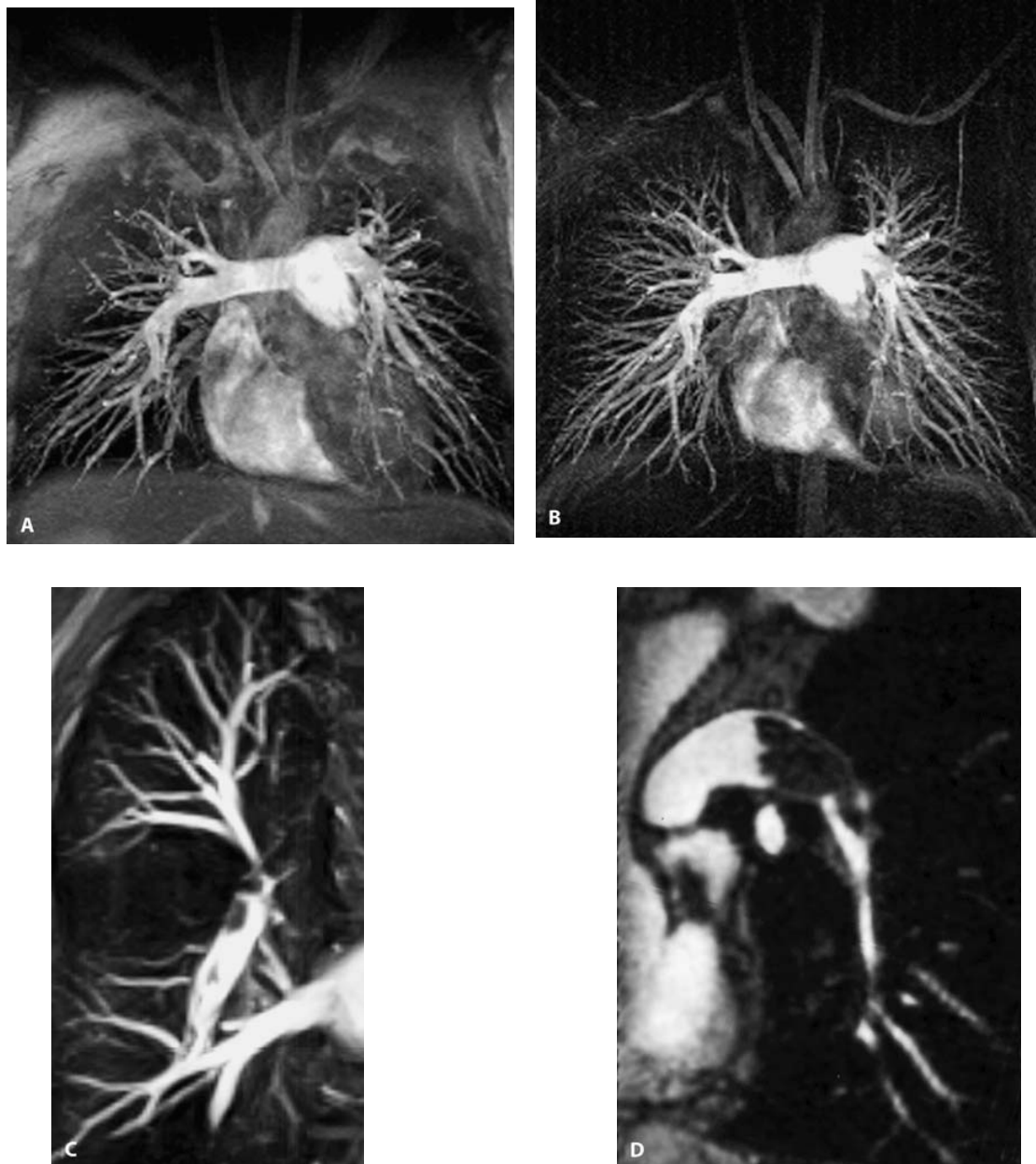


شکل ۳-۸ A-D. اینفارکشن استخوان در پروکسیمال بازو که در تصاویر وزن T_1 قبل (A) و بعد از CM (B) همراه با اشباع چربی) آشکار شد. CE-MRA با استفاده از یک کویل قابل انعطاف wrap-around انجام گرفت (C, D). مالفرماسیون عروقی توسط CE MRA رد شد. D یافته‌های نرمال شریان‌های تحت ترقه‌ای و برآکیال (۰/۲ mmol Gd/kg). توجه کنید که کویل آرایه فازی تصویر بهتری از انشعابات آثرت به دست می‌دهد (شکل ۹-۱۳).

MRA چند مکانی، چند تزریقی

محدودیت پوشش فضایی ضعیف در جهت سر-پا (نیاز به پوشش یک فاصله بیش از ۱۰۰ cm در مقایسه با یک بیشینه مجاز $50\text{ cm} <$ در تمام اسکنرهای تجاری) ابتدا با انجام تصویربرداری متواالی شریان‌های لگن، ران‌ها و ساق‌ها با تزریق‌های جداگانه مقابله شد. اما، سیگنال زمینه و وریدی از تزریق‌های قبلی مانع از ارزیابی شریان‌های ران و به خصوص ساق می‌شود. جهت استفاده از این روش، تزریق 1 mmol/kg در هر کدام از این سه اندازه‌گیری توصیه می‌شود، با کویل آرایه فازی تنه در صورت امکان (وضعیت کویل باید دوبار تغییر کند) چون SNR بالاتر می‌دهد.

عروق دیستال کف پا را می‌توان یا با یک اندازه‌گیری کرد یا با یک CE MRA پیش از TOF MRA اندازه‌گیری کرد. با حداقل 0.2 mmol/kg MRA با تصاویر تفکیک بالا را امکان‌پذیر می‌کند. در هر دو تکنیک از کویل سر استفاده می‌شود. ارزیابی شریان‌های پا ممکن است در همه بیماران ضروری نباشد، اما در هنگامی که جراحی باشد پس دیستال انجام می‌شود اهمیت دارد.



شکل ۱۳-۹ A-D CE MRA از شریان‌های نرمال پالمونری با زمان‌بندی بهینه بولوس (0.2 mmol/kg , 3 ml/s). توجه کنید که MIP از مجموعه داده‌های تفریق نشده (A) عروق پیرامونی کمتری را از MIP داده‌های تفریق شده (B) نشان می‌دهد. تکنیک MRA تفریق شده به دلیل حذف ساختارهای زمینه کیفیت تصویر را افزایش می‌دهد. تصویر MIP هدف‌دار و تصویر MPR از یک بیمار دیگر آمبولی‌های متعددی را درون شریان لب تحتانی راست (C) و یک آمبولی بزرگ را در شریان اصلی پالمونری چپ (D) نشان می‌دهد.

MRA با تخت متحرک

اخيراً، با استفاده از راه کار تخت متحرک با انتقال سریع تخت بین اسکن های متواالی سانتر شده روی لگن، رانها، و ساقها همراه با يك تزریق منفرد کتتراست، محدودیت پوشش فضایی حل شده است. چون زمان اسکن برای سه اسکن متواالی ۳D طولانی تر از زمان گذار از آئورت به وریدهای ران و ساق است، چند مصالحه باید انجام شود تا از اتمام تصویربرداری پیش از شروع بهبود وریدی در ايستگاه دوم و سوم مطمئن شويم. برای مثال، سرعت تزریق کتتراست باید کاسته شود (که کاهش SNR را درپی دارد) به دلیل زمان طولانی اسکن، و بنابراین کویل های آرایه فازی که SNR را تقویت می کند در صورت امکان باید استفاده شود. يك ماسک پیش کتتراست می تواند بر بعضی محدودیتهای سرعت پایین تر تزریق غلبه کند که این کار با حذف سیگنال چربی از تصویر بعد از تفریق تصاویر پیش کتتراست انجام می شود.

این فناوری فقط اخیراً در طراحی سیستم های MR اضافه شده، و توسعه بیشتر آن ضروری است. با این وجود، نتایج CE ۳D MRA در مقایسه با DSA، بدون توجه به تکنیک مورد استفاده عالی است.

در ارزیابی شریان های ایلیاک، نگهداشت تنفس کاملاً ضروری نیست، اما چون همراه با بیماری عروق محیطی کراراً استنوز شریان کلیوی نیز وجود دارد، در صورت امکان حجم قطعه باید شریان های کلیوی را نیز دربرگیرد، و در این صورت نگهداشت تنفس ضروری می باشد. حجم های ۳D ضخیم (تقریباً ۱۰۰-۶۰ mm) در جهت کرونال برای ناحیه ایلیاک لازم است که به دلیل مسیر سطحی ایلیاک در بین آنها می باشد. ضخامت این قسمت به طور بهینه ۵/۱ mm برای ایلیاک با يك ماتریس ۲۵۶ (در جهت کدگذاری فرکانس) کافیت می کند. اگرچه، استفاده از ماتریس ۲۵۶ تفکیک را در جهت سر-پا دو برابر می کند بدون افزایش زمان اسکن، و اندکی کاهش SNR و کمی افزایش زمان اکو.

برای ارزیابی رانها، می توان از پارامترهای مشابه با شریان های لگن استفاده کرد، اما به دلیل اندازه کوچکتر عروق، تفکیک بالاتر ترجیح داده می شود.

برای ارزیابی شریان های calf، به دلیل اندازه کوچکتر شریان های ساق تفکیک بالاتر ضروری است.

نقش تصویربرداری دو بعدی

اگرچه تکنیک ۳D توسط بیشتر مؤلفین مورد استفاده قرار گرفته است، تصویربرداری ۲D با بهبود کتتراست (با استفاده از تفریق در صورت امکان) مزایای زیادی از نظر تفکیک زمانی ارائه می کند. ۲D CE MRA دینامیک از ساق و کف پا (MR DSA) نسبت به ۲D TOF MRA برتری دارد. برخی مؤلفین استفاده از تکنیک های مخلوط ۲D/۳D را توصیه می کنند.

شریان های ساق و کف پا

نوعاً آرتیفیکت حرکتی در این ناحیه رخ نمی دهد. روی هم افتادگی وریدی ممکن است رخ دهد به خصوص در موارد شانت های AV، اما زمان دستیابی با استفاده از کدگذاری فاز مرکزی یا بیضوی-مرکزی (همراه با آشکارسازی بولوس) ممکن است طولانی

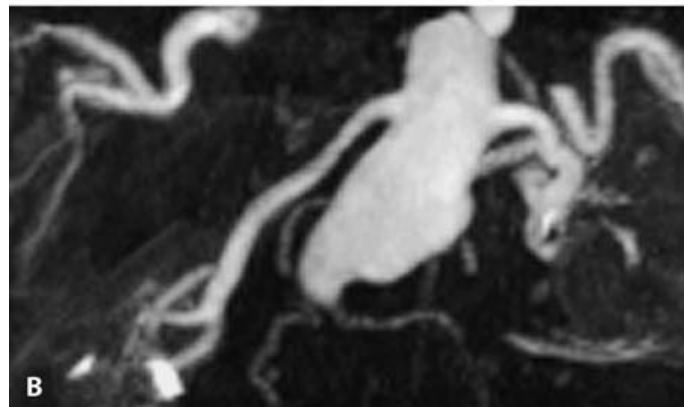
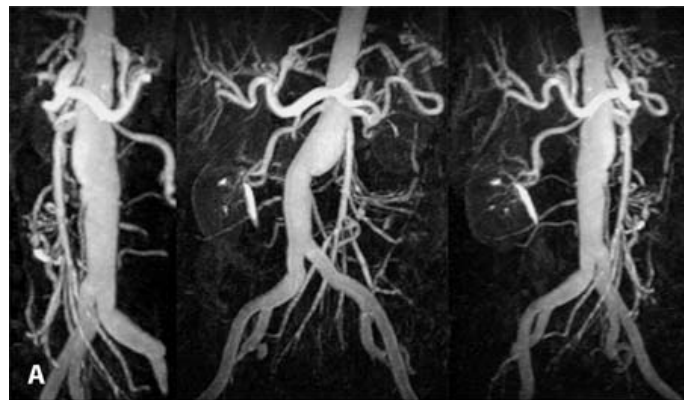
شود، این روش کدگذاری (یا روش پرشدن فضای K) تفکیک فضایی را افزایش می‌دهد، که یک عامل مهم به حساب می‌آید چون قطر سه شریان اصلی ساق پا بین 1 mm تا 3 mm متغیر است. بنابراین ابعاد واکسل در تمام سه جهت باید برای تفکیک فضایی 1 mm تنظیم شود تا نتایج بهینه حاصل شود. برای جبران کاهش SNR در نتیجه ابعاد کوچک واکسل، استفاده از کویل‌های سطحی مشابه با کویل‌های آرایه فازی مورد نیاز است. شریان‌های دورتر در کف پا را می‌توان با یک اسکن دیگر ارزیابی کرد، در صورت امکان با یک تکنیک $2D$ پیش از اسکن تخت متحرک به بهترین شکل انجام می‌شود، یا با دوز منفرد (0.1 mmol/kg) یا دوز دوبل (0.05 mmol/kg). یک تفکیک فضایی در صفحه $1\times 1\text{ mm}$ برای یک اسکن $2D$ (ضخامت برش $60-100\text{ mm}$) یا $1\times 1\text{ mm}$ اگر اسکن $3D$ استفاده می‌شود.

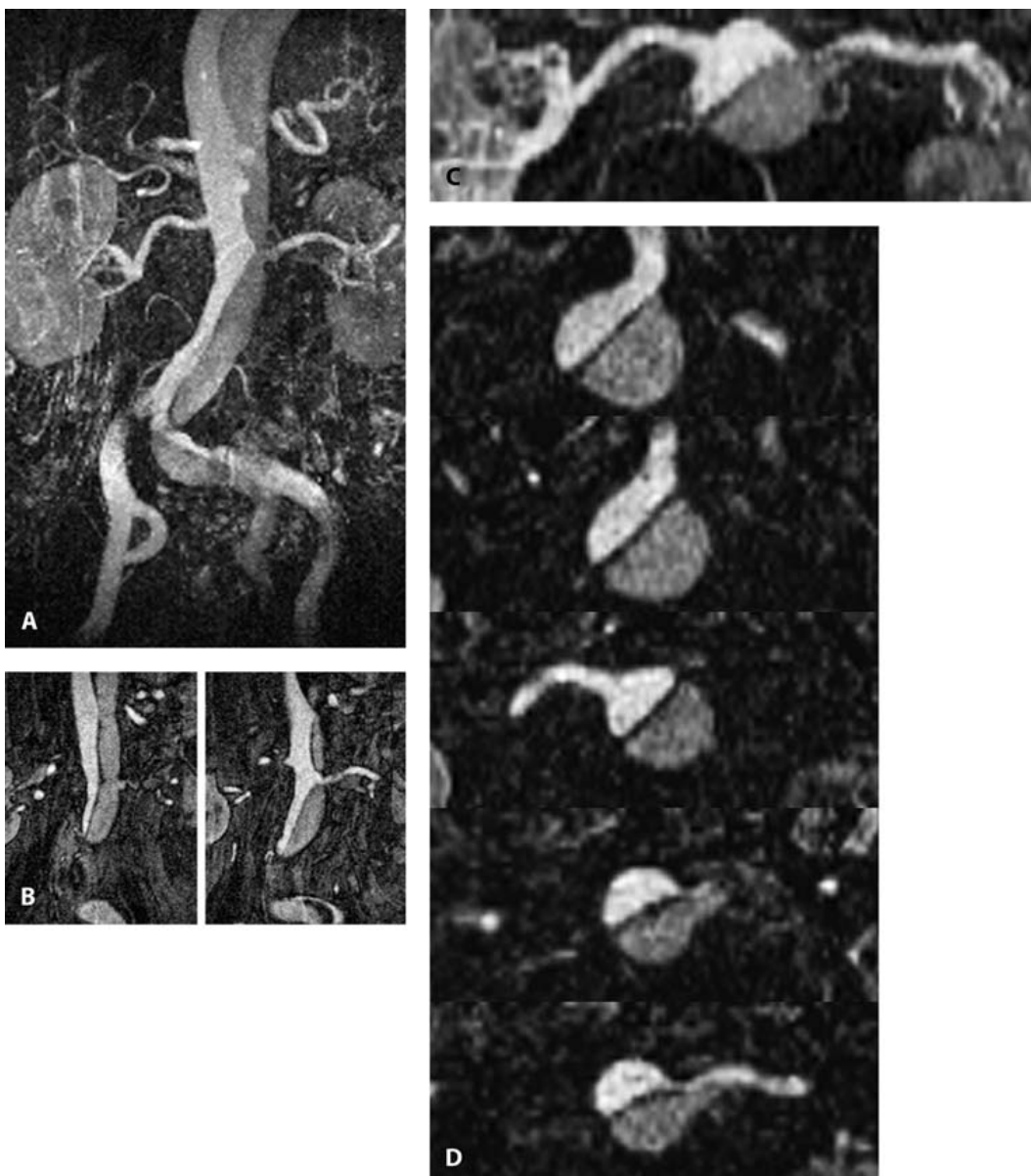
شکل ۱۳-۱۰ MIP ساجیتال یک مالفرماسیون AV پالمونری را در لب تحتانی راست نشان می‌دهد. این تصویر در صفحه ساجیتال با یک دوز منفرد (0.1 mmol Gd/kg) به دست آمده است.



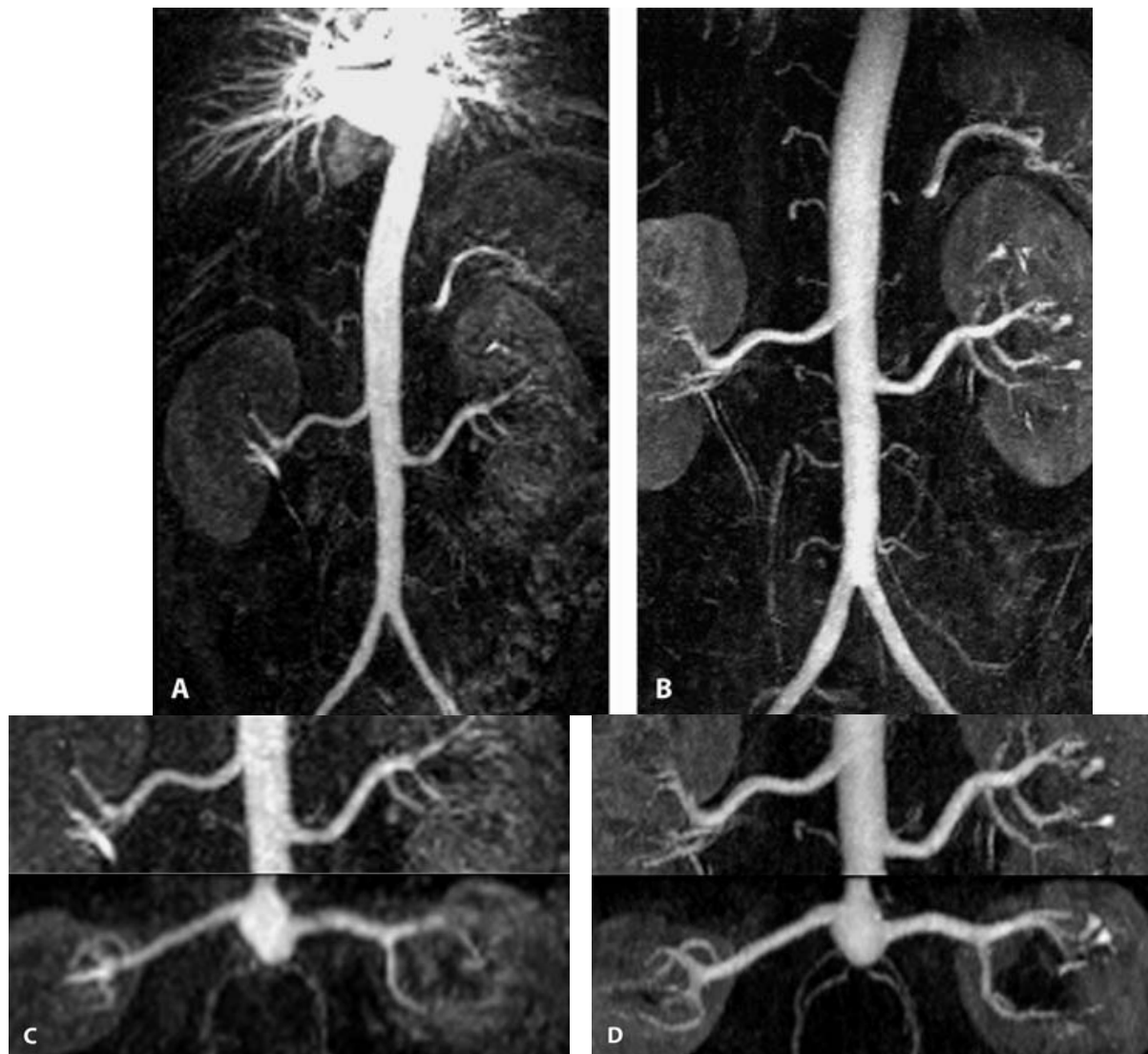


شکل ۱۲-۱۳ A، B بیماری با یک چین خورده‌گی آئورت و یک آنوریسم کوچک زیر کلیه، برای مشاهده تمام عروق مزانتری تزریق دوز دوبل Gd (سرعت تزریق ۲ml/s) ضروری است. گاهی MIP از تمام حجم اطلاعات سردرگم کننده‌ای می‌دد (A)، و بنابراین MIP‌های انتخابی (selective MIPs) مفید می‌باشد (B). استنوز شریان سلیاک (پیکان) و شریان‌های نرم‌ال ولی بلند رنال با MIP‌های انتخابی به خوبی تشخیص داده می‌شود.

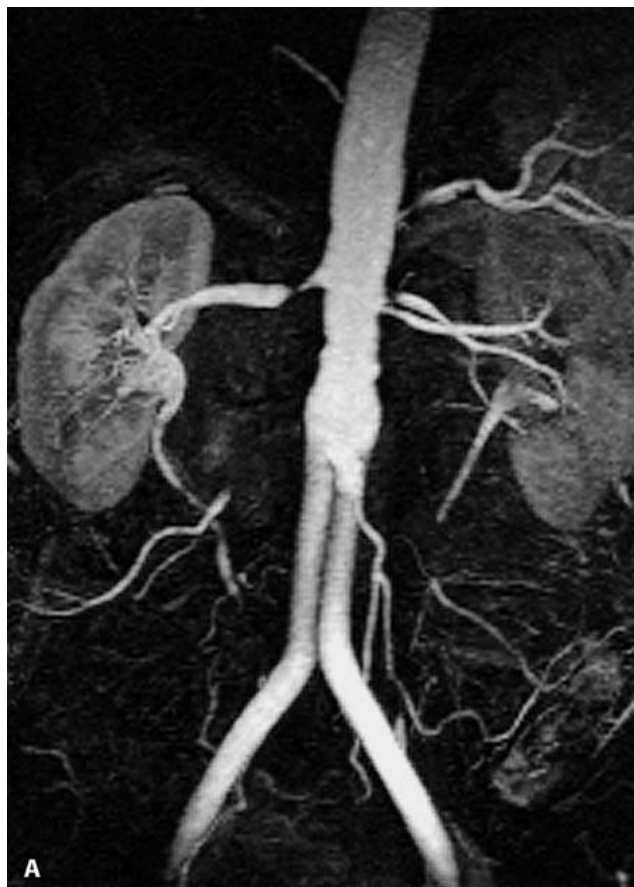




شکل ۱۳-۸ A-D ۱۳ غشاء دیسکشن نشان داده شده در شکل ۱۳-۸ به درون شریان‌های ایلیاک توسعه یافته است. تصاویر با تفکیک بالا برای نشان دادن اینکه دیسکشن شریان‌های رنال را درگیر کرده است ضروری می‌باشد، که به استئوуз منجر می‌شود. کرونال MIP (A) و تصاویر اصلی (source) مشکوک به استئوуз شریان کلیوی چپ است. این یافته‌ها توسط MIP انتخابی با دوران آکسیال (C) و تصاویر MPR (D) اثبات می‌شود.



شکل ۳-۱۴A-D مطالعات CE MRA از شریان‌های کلیوی: مقایسه اندازه‌گیری‌های کویل استاندارد تنہ با کویل آرایه فازی تنہ در یک بیمار با دوز یکسان (دوز دوبل) ماده کتراست. یک FOV بزرگتر (500mm) را می‌توان با استفاده از کویل استاندارد تنہ به دست آورد اما به هزینه کاهش تفکیک و کاهش SNR. C. شاخه‌های کوچکتر عروق معجیطی را فقط با کویل آرایه فازی می‌توان مشاهده کرد (B, D). همچنین به وضوح لبه‌های عروق در D در مقایسه با C توجه کنید.



شکل ۱۳-۱۵ A, B ۱۳-۱۵ دوز دوبل Gd و تکنیک تفکیک بالا امکان می‌دهد تصاویری با کیفیت بالا از شریان‌های کلیوی به دست آید. استئوز درجه بالای شریان کلیوی راست همراه با اشیاع بعد از استئوز در تصاویر MIP آکسیال (B) مشاهده می‌شود، به شرط آنکه تفکیک بالا و ضخامت برش کمتر از ۱/۵mm انتخاب شود. اما این تکنیک فقط برای بیمارانی مناسب است که توانایی نگهداری تنفس را دارند. علاوه بر آن استئوز شریان اصلی کلیه چپ و شریان فرعی کلیه چپ نیز به خوبی تصویر شده است.

۱۴ قفسه سینه

به طور سنتی، MRI از قفسه سینه به دلیل آرتیفکت‌های حرکتی ریه‌ها و قلب و تعداد کم پروتون‌ها محدودیت دارد. به علاوه، آرتیفکت‌های قابلیت پذیرش ناشی از هوا یک عامل محدودکننده است. اخیراً توسعه دنباله‌های سریع (نگهداشت تنفس) و معرفی مواد کتراست و مکانیسم‌های جدید، سبب شده است که MRI از قفسه سینه در گستره رو به رشدی از پاتولوژی‌ها به کارگرفته شود. در این فصل، الزامات تکنیکی و پارامترهای تصویربرداری را بحث می‌کنیم.

۱-۱۴- نیازهای تکنیکی

کویل‌ها، وضعیت و صفحات برش

تصویربرداری MR از قفسه سینه به وضعیت قرارگیری کویل‌های رادیو فرکانس (RF) در نزدیکی بدن متکی است. این نیازمند طراحی پیشرفت‌های کویل است، که باید هم اندازه و هم شکل بدن همچنین تغییر قطر ناشی از تنفس را به حساب آورد. یعنی کویل‌ها باید حداقل از دو قسمت ساخته شوند و یا قابل انعطاف باشند. بنابراین بیشتر کویل‌ها از طراحی آرایه فازی استفاده می‌کنند، به جز اینکه بعضی تعدیلات (نظیر کویل‌های wrap-around) نیز استفاده می‌شود. به علاوه، تصویربرداری تفکیک بالا از جدار قفسه سینه نیازمند استفاده از کویل‌های سطحی، مانند کویل ستون فقرات، یا کاربرد انتخابی آرایه‌های فردی کویل تنه آرایه فازی است.

در MRI، تصاویر آکسیال همچنان مفید هستند به خصوص هنگام مقایسه با CT، با این حال تصاویر کرونال دارای یک مزیت عمده است از این جهت که تمام قفسه سینه را پوشش می‌دهد و می‌تواند جزئیات ساختارهایی نظیر دیافراگم را با وضوح بیشتری نمایش دهد. در احتمال درگیری جدار قفسه سینه باید به سطوح ساقیتال نگاه شود، و در توده‌های سوپریور سالکاس نیز که احتمال درگیری شبکه بازویی و عروقی وجود دارد چنین است.

به طور کلی بیمار در وضعیت سوپاین قرارداده می‌شود و از سر وارد اسکنر MR می‌شود. در بیشتر موارد، از بیمار خواسته می‌شود که بازوها را در کنار بدن نگه دارد. اما در تصویربرداری تفکیک بالا از مدیاستن یا عروق خونی، معمولاً بهتر است بازوها در بالای سرقارگیرد چون آرتیفکت‌های wrap-around را کاهش می‌دهد.

عوامل موثر بر کیفیت تصویر

مشاهده پارانشیم نرمال ریه با استفاده از MRI بی‌نهایت مشکل است. تفکیک فضایی در MRI ذاتاً پایین‌تر از CT است، اسپیرال با تفکیک بالا، یا CT مالتی اسالیس، به طور کلی به عنوان استاندارد طلایی برای مشاهده مورفو‌لوژی پارانشیم ریوی پذیرفته شده است. CT نتایجی عالی با واکسل‌های همسان‌گرد در ۱mm به دست می‌دهد.

به منظور به دست آوردن تصاویری با کیفیت تشخیصی مطلوب از قفسه سینه لازم است چند چالش تکیکی مورد ملاحظه قرار گیرد، که در پاراگراف‌های بعدی آن‌ها را بحث می‌کنیم.

افت سیگنال به دلیل حرکت فیزیولوژیک

حرکات فیزیولوژیک از چند جا ناشی می‌شود. مهم‌ترین آن‌ها عبارتند از: (۱) ریه‌ها، (۲) قلب و عروق خونی بزرگ، و (۳) حرکت خون.

حرکت تنفسی

حرکت تنفسی روی کیفیت تصویر MRI از قفسه سینه مهم‌ترین تأثیر را دارد. این حرکت سبب محوشدگی، از دست رفتن جزئیات و کاهش تفکیک می‌شود. ساده‌ترین تکیک که در کاهش آرتیفکت حرکتی بسیار موثر است تصویربرداری با نگه داشتن تنفس است. این نیازمند دنباله‌هایی با زمان دستیابی کمتر از ۳۰۸ است. برای این منظور دنباله‌هایی نظری HASTE یا FLASH با موفقیت به کار گرفته شده است، به دلیل سادگی و نتایج خوب آن‌ها، مقبولیت و کاربرد گسترده‌ای یافته است.

شیوه‌های دیگر برای کاهش آرتیفکت تنفسی روش‌های دریچه گذاری(gating) است، که ممکن است شامل پالس‌های هدایتگر navigator، یک کمربند دریچه تنفسی یا باز ترتیبی (reordering) کدگذاری فاز باشد. پالس‌های navigator مکان دیافراگم را ردیابی می‌کنند، و امکان می‌دهد تا تصویربرداری همواره در موقعیتی ثابت از دیافراگم و حجم ریه انجام گیرد. دریچه تنفس با استفاده از یک کمربند آکاردئونی نیز کیفیت تصویر را به طور قابل توجهی بهبود داده است، همین‌طور جبران تنفس با استفاده از باز ترتیبی کدگذاری فاز. از بین این تکنیک‌ها، به نظر می‌رسد پالس‌های navigator و کدگذاری فاز مفیدتر باشد.

تعداد بیشتر دستیابی‌ها نیز از طریق متوسطگیری می‌تواند شدت آرتیفکت‌های تنفسی را کاهش دهد. عدم مزیت این روش‌ها طولانی کردن زمان دستیابی داده‌ها است. این به خصوص در بیماران با دیسپنه مشکل ساز است.

حرکت قلب و عروق خونی بزرگ

راهاندازی ECG به طور گسترده‌ای برای کاهش آرتیفکت‌های ضربان قلب و عروق، مانند آرتیفکت سایه افکنی در جهت کدگذاری فاز و محوشدگی، به کار می‌رود. راهاندازی در دیاستول فرصت بیشتری برای به دست آوردن داده‌ها فراهم می‌کند، در صورتی که راهاندازی در سیستول دارای مزیت یک پروفایل زمانی ثابت‌تر است. باز ترتیبی کدگذاری فاز عمده‌ای برای کاهش محوشدگی پارانشیم ریوی در مجاورت قلب و عروق بزرگ به کار گرفته می‌شود. شبیه به روش‌های دریچه تنفسی، راهاندازی ECG زمان تصویربرداری را طولانی می‌کند.

حرکت خون

راهاندازی ECG در سیستول را می‌توان برای به دست آوردن تصاویری در حین سرعت بالاتر جریان خون استفاده کرد، بنابراین به یک اثر بزرگتر flow void (تصویربرداری خون سیاه) منجر می‌شود.

آرٹیفکت‌های قابلیت پذیرش

آریفکت‌های قابلیت پذیرش در ارتباط نزدیک با مورفولوژی اختصاصی ریه می‌باشد. ترکیب بی‌نظیر هوا و بافت نرم که ریه هودار را تشکیل می‌دهد علت اصلی آریفکت‌های قابلیت پذیرش است، چون سطح تماس هوا-بافت گرادیان‌های موضعی تشکیل می‌دهد. این گرادیان‌ها به ناهمگنی‌های میدان مغناطیسی منجر می‌شود، یک بیناب پیچیده از فرکانس‌ها تولید می‌کند، که تا 9 ppm گسترش می‌یابد. آنها همچنین سبب افت سیگنال ناشی از پراکندگی فاز درون واکسلی می‌شوند که با یک $T2^*$ کوتاه بازتاب می‌یابد. در حالی که تصویربرداری از پارانشیم نرمال به دلیل آریفکت‌های قابلیت پذیرش مشکل است، تصویربرداری از کونسولیداسیون‌های ریه بسیار ساده‌تر است. کاهش هوا و افزایش همایند بافت، سلول‌یا مایع تعداد سطوح تماس هوا-بافت و در نتیجه میزان آریفکت‌های قابلیت پذیرش را به طور قابل ملاحظه‌ای کاهش می‌دهد. $T2^*$ از 7 ms در ریه نرمال تا 35 ms در ریه دچار آلتکتازی و تا بیش از 140 ms در تومورهای ریه افزایش می‌یابد. این $T2^*$ های بسیار کوتاه در پارانشیم نرمال یک تاثیر بسیار مهم روی دنباله های گرادیان اکو (GRE) دارد، چون این دنباله‌ها خیلی بیش از دنباله‌های اسپین اکو (SE) سبب محوشدنگی ساختارهای ریوی می‌شود. در این ضمن، زمان کوتاه آسایش $T2$ پارانشیم ریوی دنباله‌های GRE و SE را به همین طریق تحت تأثیر قرارمی‌دهد.

استراتژی‌های متفاوتی برای کاهش آریفکت‌های قابلیت پذیرش پیشنهاد شده است. استفاده از زمان‌های کوتاه TE برای دنباله‌های SE وزن T_1 یا دنباله‌های GRE به کار گرفته می‌شود. TE‌های فوق کوتاه (μs ۵۰-۲۵۰) به طور موفقیت‌آمیزی برای پارانشیم ریوی به کار رفته است. این‌ها منجر به بهبود قابل ملاحظه SNR می‌شوند. یا می‌توان از دنباله‌های TSE وزن T_2 یا دنباله‌های فوق سریع وزن T_2 با تربو فاکتورهای بالا استفاده کرد. به علاوه می‌توان با استفاده از پالس‌های RF ریفوکاسینگ 180° آریفکت‌های قابلیت پذیرش را به حداقل رساند.

نیت سیگنال به نویز

چون حدود دو سوم ریه محتوی هوا است و فقط یک سوم آن بافت و خون است، دانسته پروتون ها به طور قابل توجه ای پایین تر از هر اندام دیگر است. دانسته پایین پروتون مهمترین عدم مزیت MRI از ریهها است. به خصوص برای مشاهده بیماری های ریوی که با کاهش بافت همراه است، مانند آمفیزیم. اما، در دیگر بیماری های ریه، مقدار بافت، مایع و یا سلول توسط فرآیندهای پاتولوژیک افزایش می یابد. بنابراین تعداد بیشتری پروتون قابل دسترس خواهد بود، و بهبود قابل ملاحظه SNR به دست می آید. برای سود بردن از این تعداد بالاتر پروتون ها، دنباله های SE وزن $T1$ با TE (τ_{ms})، دنباله های GRE وزن $T1$ ، مانند FLASH، با TE کوتاه ($3ms$)، یا یک تعداد بالاتر دستیابی توصیه می شود. زمان های کوتاه اکو به ویژه برای جلوگیری از افت سیگنال ناشی از آسایش $T2$ هستند، که منجر به افزایش SNR می شود. به این منظور دنباله های GRE نسبت به دنباله های SE برتری دارند.

۱۴-۲- دنباله‌های پالس

هنگام تصویربرداری از قفسه سینه، دنباله‌های پالس مورد استفاده به دلیل قید و بندهای آرتیفکت‌های حرکتی و قابلیت پذیرش نسبتاً محدود هستند. به طورکلی، دنباله‌های تصویربرداری سریع با استفاده از TR کوتاه و TE کوتاه با موفقیت به کار رفته‌اند. تصویربرداری با سرکوب چربی، با استفاده از تکنیک‌های بازگشت وارون (IR)، در ارزیابی توده‌های مدياستن و دیواره قفسه سینه مفید می‌باشد. همچنین افزایش نسبی سیگنال ریه‌ها را سبب می‌شود، به علاوه، از ترکیبات گادولینیوم (Gd) برای بهبود کتراست عروق و توده‌ها استفاده می‌شود. در ارزیابی توده‌ها تصاویر بعد از تزریق باید شامل تکنیک‌های سرکوب چربی باشد. تکنیک‌های دینامیک کتراست را می‌توان برای مطالعات عروقی (پالمونری آنژیوگرافی) و در ارزیابی توده‌ها یا نودول‌های ریوی استفاده کرد. جدول ۱۴-۱ پروتکلهای رایج در MRI قفسه سینه را نشان می‌دهد. در بین سیستم‌های گوناگون MR برخی تغییرات ممکن است لازم باشد، و این پروتکل‌ها را فقط باید به عنوان یک راهنمای برای تصویربرداری خوب از قفسه سینه در نظر گرفت.

مکانیسم‌های کتراست

در تمام بیماری‌های ریوی که با افزایش مقدار بافت، مایع و یا سلول‌ها همراه است، تعداد پروتون‌ها افزایش می‌یابد، و سیگنال بالاتر می‌توان به دست آورد. این را با عنوان مکانیسم کتراست مرتبط با بیماری می‌نامند که به یک SNR بالاتر منجر می‌شود. اما در بسیاری موارد این مکانیسم برای مشخص کردن صحیح جزئیات و تشخیص فرآیند بیماری کافی نیست. برای این منظور از مواد کتراست استفاده می‌شود.

مواد کتراست

عمومی‌ترین تکنیک تزریق وریدی مواد کتراست، مانند ترکیبات Gd است که به افزایش آسایش‌پذیری اسپین‌های موجود منجر می‌شود. این مواد کتراست برای بهبود کتراست ندول‌ها و اپاسیفیکاسیون‌ها، MR آنژیوگرافی یا تصویربرداری پرفیوژن استفاده می‌شود. مواد کتراست جدیدتر، نظیر عوامل خونی مبتنی بر Gd و ذرات USPIO نیز تحت آزمون قراردارند. گادولینیوم به شکل یک ترکیب دی‌اتیلن تری‌آمین پنتا- استات (DTPA) به صورت آثروسل برای ارزیابی راههای هوایی به کار رفته است. نهایتاً، تصویربرداری تهويه ریوی با استفاده از اکسیژن استنشاقی مورد بررسی قرار گرفته است.

ترکیبات گادولینیوم: تزریق وریدی

اصول اساسی کتراست Gd در فصل ۲ توصیف شد. مواد کتراست پارامنیتیک می‌تواند جزئیات و مشخصات فرآیندهای پاتولوژیک، نظیر تعیین خوش خیم یا بدخیم بودن ندول‌ها و تمایز تومورها از ساختارهای مجاور را تعیین کند. همچنین، امکان بررسی فعال بودن بیماری، نظیر فیبروز ریوی و آلوئولیت وجود دارد. عدم مزیت ترکیبات Gd آن است که به سرعت ترشح می‌شوند و خون را ترک می‌کنند. آنچه عوامل خونی (blood pool) نامیده می‌شود. در خون باقی می‌مانند و برای MR آنژیوگرافی مزیت دارند.

MR آنژیوگرافی

به طور کلی، تکنیک‌های ۳D با یک TR کمینه کمتر از ۵ms و TE کمتر از ۲ms از شریان‌های پالمونری استفاده می‌شود. یک TR کوتاه امکان دستیابی در مدت نگهداشت تنفس را امکان‌پذیر می‌کند. یک TE کوتاه سیگنال زمینه و آرتیفکت‌های قابلیت پذیرش را حداقل می‌کند. استفاده از CE-MRA با تفکیک زمانی (time-resolved) می‌تواند مفید باشد. با تفریق مجموعه داده‌ها، مانند آنژیوگرافی با تفریق دیجیتالی (DSA)، می‌توان به طور انتخابی آرتربیوگرام‌ها یا ونوگرام‌های پالمونری را به دست آورد. زوایای فلیپ مختلف از ۱۵° تا ۴۰°، و تا ۷۰° پیشنهاد شده است. حتی افزایش خطی زوایای فلیپ (tilted TONE)، (variable angle uniform signal excitation VUSE) یا افزایش غیرخطی زوایای فلیپ (optimised N excitation، که در دستیابی‌های بدون کتراست، بدون نگهداشت تنفس استفاده شده‌اند، می‌تواند در CE-MRA برای بهتر آشکارکردن عروق محیطی ریوی به کار رود.

زمان‌بندی مناسب ماده کتراست (mmol/kg/۰/۱-۰/۲) با یک تزریق کننده خودکار جهت حصول کتراست بالا بین شاخه‌های شریان ریوی و ساختارهای پیرامونی ضروری می‌باشد. به طور کلی، بهبود کتراست شریانی باید غالب باشد چون وریدهای پالمونری اهمیت تشخیصی اندکی دارند. از آنجا که فاصله زمانی بین بهبود کتراست شریان‌ها و وریدهای پالمونری بسیار کوتاه است، مشاهده انتخابی عروق مشکل است. به این منظور، یک بولوس فشرده، با سرعت تزریق بین ۲ تا ۲۰ ml/s که با ۵ml سالین دنبال می‌شود توصیه می‌گردد.

معیارهای کیفیت در CE-MRA به ترتیب اهمیت عبارتند از: (۱) مشاهده کامل شریان‌های پالمونری مرکزی (شامل تنہ اصلی شریان پالمونری و شریان‌های لب‌ها) و شریان‌های سگمنتال با سیگنال بالا؛ (۲) مشاهده سیگنال بالای شریان‌های محیطی پالمونری (انشعابات ساب سگمنتال)؛ (۳) مشاهده انتخابی شریان‌های پالمونری بدون روی هم افتادگی قابل ملاحظه وریدهای ریه یا آئورت و شاخه‌های جانبی آن.

در حالت روی هم افتادگی چند استراتژی برای تمایز شریان‌ها و وریدها پیشنهاد شده است: (۱) نمایش سینمایی یا stack mode، (۲) چرخش پیوسته، (۳) بازساخت مالتی پلانار (MPR) یا (۴) پروجکشن شدت بیشینه (MIP). این استراتژی‌ها کمک می‌کند تا شریان‌ها و وریدها را مطابق با مسیر ویژه آناتومیک آن‌ها تشخیص دهیم (شریان‌ها یک مسیر عمقی‌تر دارند در صورتی که وریدها در قفسه سینه مسیری افقی‌تر دارند).

جدول ۱۴-۱- دنباله های پالس مورد استفاده در MRI از قفسه سینه (chest).

SE	2D HASTE	True Fisp	3D GRE (FLASH)	2D GRE (FLASH)	SE	دنباله پالس
T2	T2	T2	T1	T1	T1	وزن تصویر
آکسیال یا کرونال	آکسیال یا کرونال	آکسیال یا کرونال	آکس یا کرون یا ساجیتال	آکسیال یا کرونال	آکسیال یا کرونال	صفحة برش
۱۰	۸	۱۰	قطعه	۱۱	۸	تعداد برش
۲۲۰۰-۲۷۰۰	ECG ۸۰۰	<۷/۵	۴/۶-۶/۷	۱۴۰-۱۶۵	ECG ۶۰۰-۱۱۰۰	TR(ms)
۸۰	۲۵	<۳/۵	۱/۸-۲/۲	۴/۵	۲۰	TE (ms)
					۵۰	TI (ms)
	۱۶۰	<۸۰	۱۵-۳۰	۸۰		زاوية فلیپ
	۱۶۰	-	-			ETL
۸	۶	۱۰	۴-۱۰	۶	۵	پهنای برش (mm)
۱۲۸×۲۵۶	۱۲۸×۲۵۶	۱۲۸×۲۵۶	۱۲۸×۲۵۶	۱۲۸×۲۵۶	۱۲۸×۲۵۶	ماتریس
۲	۱	۱	۱	۱	۴	تعداد دستیابی

ادامه جدول ۱۴-۱

TONE/VUSE	FAIR/FAIRER	3D FLASH	3D VIBE قطع تنفس	STIR	UF TSE راه اندازی تنفس	دنباله پالس
		T1	T1	T2	T2	وزن تصویر
آکسیال یا کرونال	صفحة برش					
قطعه	۱	قطعه	۳ قطعه	۸	۱۰	تعداد برش
۷/۷	ECG	۳/۶۵-۶/۵	۴/۵	۲۲۰۰	۳۰۰۰-۵۰۰۰	TR(ms)
۱/۹	۳۶	۱/۶-۱/۸	۱/۹	۴۳	۱۲۰	TE (ms)
	۱۰۰-۱۸۰۰			۱۶۰		TI (ms)
۶-۳۵		۲۵-۴۰	۱۲	۱۸۰	۹۰/۱۸۰	زاوية فلیپ
		-	-	۷-۱۱	۱۵-۷	ETL
۱/۲	۸	۱/۲۵-۳	۲/۵ موثر	۸	۶	پهنای برش (mm)
۶۴×۲۵۶	۱۲۸×۲۵۶	۱۲۸×۲۵۶	۵۱۲×۵۱۲	۱۲۸×۲۵۶	۲۷۰×۵۱۲	ماتریس
۱	۳-۵	۱	۱	۲	۲	تعداد دستیابی

MRI پستان ۱۵

۱۵- پیش از شروع

برای انجام یک MRI موفق از پستان، یکی از مهم‌ترین مراحل انجام مصاحبه با بیمار پیش از ورود به مگنت است. با این کار دو هدف مهم دنبال می‌شود: (۱) به دست آوردن اطلاعاتی از سابقه بیمار، که برای تفسیر کافی تصویر ضروری است، و (۲) توضیح دادن به بیمار که چه کاری در حال انجام است، تا از همکاری وی اطمینان حاصل شود (به خصوص کاهش آرتیفکت حرکتی، از این رو، آرتیفکت‌های تفرقی). نوعاً، این قسمت از آزمون بیشتر از قسمت مگنت به طول می‌انجامد. گرفتن سابقه از بیمار باید به موضوعات مرتبط با بیماری‌ها و فیزیولوژی پستان مرتبط باشد. پرسش‌هایی که باید پاسخ داده شوند عبارتند از:

- ۱- سرطان قبلی پستان، شامل مرحله، سن در زمان تشخیص
- ۲- در صورت امکان، نوع درمان سرطان پستان، کنسرواتیو یا ماستکتومی، پرتو درمانی قبلی، جراحی بازسازی کننده، شیمی درمانی، درمان ضد هورمونی
- ۳- سابقه خانوادگی از سرطان پستان یا تخمداهن، شامل سن در زمان تشخیص
- ۴- آسپیراسیون سوزن باریک قبلی، بیوپسی قبلی از آسیب‌های خوش خیم
- ۵- حالت قاعده‌گی یا یائسگی
- ۶- درمان جایگزینی هورمون
- ۷- حاملگی یا شیردهی (اگر پاسخ مثبت است، آزمون MR از پستان را انجام ندهید)
- ۸- شکایت فعلی بیمار، به ویژه در موارد:
- ۹- ترشح از نوک پستان (به قوام و رنگ آن توجه کنید)
- ۱۰- درد پستان (آیا به دوره قاعده‌گی وابسته است؟)
- ۱۱- ناهنجاری‌های قابل لمس

پستان را برای ترشح از نوک پستان یا تغییرات پوستی بررسی کنید. به هرگونه تغییر التهابی توجه کنید، چون این‌ها می‌تواند سبب مشکلات جدی در تشخیص افتراقی شود. اگر هر نوع تغییرات التهابی وجود دارد، به تعویق انداختن تصویربرداری را تا زمان برطرف شدن آن در نظر داشته باشید. یک معاینه بالینی از پستان‌ها بخشی از مطالعات تصویربرداری MR است و لازم است به طور کامل انجام گیرد تا هر نوع ناهنجاری قابل لمس مشخص گردد.

پیش از شروع MRI از پستان ضروری است قبلًا تصویربرداری‌های سنتی (ماموگرافی، سونوگرافی) انجام شده باشد و در دسترس باشد.

اگر مورد بیمار ناشناخته است، مطمئن شوید که مسئله بیمار که باید توسط MRI پستان بررسی شود کاملاً درک شده است. به ویژه، اگر یک یافته مشکوک ماموگرافی وجود دارد، آن را روی ماموگرام‌ها مشخص کنید، چون آزمون MR باید مطابق با آن طراحی شود. مثلاً در حالتی که توسعه پاتولوژی به امتداد آگزیلاری یافت می‌شود، ممکن است به تغییر جهت تصویربرداری برای چرخاندن و دورکردن نوار آرتیفیکت ضربان قلب نیاز باشد.

مهم است که اندیکاسیون‌های MRI پستان را کنترل کنیم. می‌توان از بسیاری مشکلات تشخیصی با اندیکاسیون و انتخاب مناسب بیمار جلوگیری کرد. اندیکاسیون‌های MRI پستان را می‌توان در دو مقوله اصلی تقسیم‌بندی کرد.

۱- توضیح یافته‌های مشکوک در تصویربرداری‌های سنتی (ماموگرافی، سونوگرافی)، به ویژه بعد از درمان، یا در بیمارانی با ریسک بالا با پستان‌های بسیار متراکم، این شامل موارد فالوآپ بعد از جراحی کنسرواتیو و پرتودرمانی (تمایز اسکار از عود تومور)، فالوآپ بعد از جراحی بازسازی یا ایمپلنت، پایش شیمی درمانی اولیه یا کمکی، و جستجوی سرطان اولیه پستان در بیمارانی با لف آدنوباتی آگزیلاری.

۲- MRI پستان پیش از عمل جراحی، در بیمارانی که قرار است در آنها بیوپسی اکسیژنال excisional از یک کانون مشکوک انجام شود. این به مرحله‌بندی لوکال پیش از عمل کمک می‌کند تا گسترش حقیقی تومور ارزیابی شود، تا یک مؤلفه گستره‌ده ایتراداکتال (EIC) یا انفیلتراسیون دیواره قفسه سینه یا نوک پستان نمایش داده شود، و بیماری مالتی فوکال، مالتی ستریک یا درگیری پستان دیگر پیش از شروع جراحی بازسازی پستان، رد شود.

باید به خاطر داشته باشیم که، برای توضیح ناهنجاری‌های قابل لمس یا یافت شده در تصویربرداری سنتی، بیوپسی مرکزی (core biopsy) (تحت راهنمایی ماموگرافی، یا سونوگرافی) یک جایگزین ایمن و ارزان برای MRI از پستان‌ها است. باید بگوئیم که MRI پستان نمی‌تواند به عنوان جایگزین یک ماموگرافی استفاده شود. یک ماموگرام باید خواندن هر MR پستان را همراهی کند- این یک الزام رسمی نیست، بلکه برای کنترل اندیکاسیون ضروری است، تا از تشخیص حساس کانسرهای in-situ مطمئن شویم، و از خطاهای تشخیصی ثانویه به خطاهایی در کانسرهای پستان با تظاهر غیرنوعی در تصاویر MR (مانند، کانسرهایی با افزایش سطحی کتراست) جلوگیری کنیم.

۱۵-۲- الزامات سخت افزاری

برای تصویربرداری از پستان، یک کویل سطحی اختصاصی پستان یک پیش نیاز ضروری است. معمولاً این یک کویل سطحی پستان دوبل است که امکان تصویربرداری همزمان از هر دو پستان را فراهم می کند. مهم نیست که گستره کویل سطحی را توسعه دهیم تا زیر بغل را نیز دربر گیرد. تشخیص درگیری گره لنفی یک جزء ضروری یکپارچه از MRI پستان نیست، چون به هر حال معیاری برای تمایز گره درگیر از نرمال وجود ندارد. اگر رادیولوژیست هنوز هم مایل است گره های لنفی بزرگ شده را جستجو کند، می توان این کار را با یک کویل تنہ انجام داد.

در ارتباط با سیستم MR مورد استفاده برای MR پستان، یک قاعده ساده وجود دارد: هرچه میدان بالاتر و گرادیان قوی تر باشد، بهتر است. نسبت سیگنال به نویز (SNR) بالاتری که توسط مگنت های $1/5\text{ T}$ ارائه می شود قادر است الزامات فنی اختصاصی MR پستان را کاملاً برآورده نماید. اما، اگر دنباله های مناسب پالس و گرادیان های قوی در دسترس باشد، MR پستان با سیستم های $1/0\text{ T}$ یا $0/5\text{ T}$ راحت است.

۱۵-۳- وضعیت بیمار

تصویربرداری باید با قرار گرفتن بیمار در وضعیت پرون انجام گیرد. بازوها باید در کنار بدن قرار گیرد. بالا آوردن بازوها در بالای سر دارای مزایای کاهش آرتیفیکت های تاشه دگی over fold است، اما در این وضعیت، جریان گردش خون محدود می شود، که به نوبه خود به حرکت بیمار منجر می شود. به علاوه، با قرار گرفتن بازوها در بالای سر، احتمال بیشتری دارد که پستان های بیمار از درون کویل خارج گردد.

یک آنژیوکاتتر (G ۲۰-۲۸) در ورید قدامی آرنج قرار می گیرد و با انفوژیون سالین بازنگه داشته می شود. پیش از حرکت بیمار به درون مگنت، دوباره به بیمار توضیح دهید که باید کاملاً بی حرکت دراز بکشد - همچنین بین اسکن ها (وقتی سرو صدای اسکنر متوقف می شود) - و به او توضیح دهید که چرا بی حرکت بودن اهمیت زیادی دارد. به روشنی به او آموزش دهید که سرخود را به این سو و آن سو نچرخاند، و بازو هایش را حرکت ندهد، به ویژه در حین تزریق ماده کتراست. حرکت اندام فوقانی تقریباً همیشه با انقباضات عضلات سینه ای همراه است، که به نوبه خود به تغییرات نمای عرضی از تمامی پستان منجر می شود، از این رو سبب آرتیفیکت های شدید حرکتی و تفریقی می شود.

۱۵-۴- تصویربرداری: پارامتر های دنباله پالس و مستندسازی

در گذشته، دو «مکتب» متفاوت در MRI پستان تکامل یافته است. «رهیافت اروپایی» انجام تصویربرداری دینامیک برای ارزیابی مشخصات بهبود کتراست آسیب ها است. «رهیافت آمریکایی» تصویربرداری استاتیک با تفکیک بالا برای مشخص کردن مورفو لوژی آسیب را ترجیح می دهد. در نتیجه، این دو مکتب مختلف از تکنیک های کاملاً متفاوتی استفاده می کنند. فقط بسته به معیار تشخیصی که قبل از این شد، و محدودیت معین تجهیزات MRI، دنباله های پیشنهادی تصویربرداری در اینجا تفکیک فضایی بهینه یا تفکیک زمانی

بهینه را امکان‌پذیر می‌کند. تا این زمان، بین کسانی که MRI پستان انجام می‌دهند، این توافق جمعی وجود دارد که هر دو مفهوم باید یکپارچه شود. این به معنی آن است که MRI پستان باید هم مورفولوژی آسیب و هم سیتیک بهبود کتراست آسیب را به حساب آورد. اگرچه، هنوز با سیستم‌های رایج MR و نرمافزار دنباله پالس، هر دنباله پالس پیشنهادی فقط مصالحه‌ای است بین نیازهای متفاوت تفکیک زمانی و تفکیک فضایی. بنابراین، چیزی مانند یک «دنباله پالس بهینه» وجود ندارد. تمام پارامترهای ارائه شده در اینجا پیشنهادی تفکیک زمانی و تفکیک فضایی. باشد؛ باید براین اساس شناخته شوند، در عمل با یک اسکنر $T_1/5T$ این دنباله‌ها تفکیک زمانی کافی و تفکیک فضایی بالا به دست می‌دهند.

پیش از بحث درباره موارد تکنیکی گوناگون، مهم است درک کنیم که تجربه عملی شخصی در MRI پستان باید به عنوان یک پیش نیاز مطلق برای استفاده بالینی از تصویربرداری MR پستان در نظر گرفته شود، و این قطعاً روی صحت تکنیک از هر پارامتر دیگری بیشتر موثر است. از این نظر، MR پستان به هیچ وجه با تکنیک‌های تصویربرداری سنتی پستان متفاوت نیست. تمام دنباله‌های پالس پیشنهادی برای MRI پستان دنباله‌های گرادیان اکو (GRE) وزن سنگین T_1 (و بعدی D) یا $3D$ هستند (جدول ۱۵-۱). چون زمان‌های اکو (TE) کم و بیش با فرکانس‌های تشید آب و چربی در حالت هم‌فاز که وابسته به شدت میدان می‌باشند تعیین می‌شود، افزایش کتراست T_1 دنباله‌ها فقط با کاهش زمان تکرار (TR) ممکن می‌شود. سپس زاویه فلیپ باید مطابق با TR باشد؛ به طور کلی، با TR‌های کوتاه‌تر، زاویه فلیپ باید کوچک‌تر تنظیم شود.

در $T_1/5T$ ، از یک دنباله پالس GRE با $TE = 4/6$ ، $TR = 290$ ، $FA = 90^\circ$ ، $2D$ با ماتریس تصویربرداری 400×512 استفاده می‌کنیم. میدان دید (FOV) باید با اندازه پستان تنظیم شود، نوعاً $280\text{--}300\text{ mm}$ برای دستیابی دوطرفه. ضخامت برش باید 3 mm یا کمتر بدون فاصله بین برش‌ها باشد. با این تنظیمات برش، حدود $30\text{--}35$ برش برای پوشش تمام پارانشیم پستان لازم است. مجموعاً $5\text{--}7$ اسکن دینامیک در یک سری به دست می‌آید، یعنی یک اسکن پیش از کتراست و $6\text{--}4$ اسکن بعد از تزریق 1 mmol/kg از magnevist تفکیک زمانی باید در حد $1\text{--}2$ دقیقه برای هر اسکن دینامیک نگهداشته شود، افزایش تفکیک زمانی به کمتر از ۱ دقیقه توصیه نمی‌شود، چون اطلاعات تشخیصی بیشتری به دست نمی‌آید. در عوض، تفکیک زمانی باید در $1\text{--}2\text{ min}$ تنظیم شود، و باقیمانده ظرفیت اسکنر باید روی بهبود تفکیک فضایی سرمایه‌گذاری شود.

اگر قرار است MRI پستان در $T_1/5T$ انجام شود لازم است، زمان‌های کوتاه‌تر آسایش T_1 بافت با استفاده از یک دنباله پالسی با TR کوتاه‌تر جبران شود. به این دلیل است که یک دنباله پالس $3D$ برای MR پستان در این شدت میدان اجباری است. در $T_1/5T$ ، TE هم فاز برای فرکانس‌های تشید آب و چربی 14 ms است، با این حال، برای یک تفکیک زمانی کافی این مقدار خیلی بلند است، و به علاوه، TE بلند مقداری کتراست T_2 وارد می‌کند. بنابراین یک $TE = 30\text{ ms}$ برای کاهش آثار خنثی‌سازی فاز، در عین حال که قابلیت‌های تصویربرداری دینامیک را حفظ می‌کند، توصیه می‌شود. در $T_1/5T$ ، تنظیمات تصویربرداری هم فاز (in-phase)، یک $TE = 70\text{ ms}$ را دیکته می‌کند، ضرورتی که سرعت دستیابی تصویر را به طور قابل ملاحظه‌ای محدود می‌کند.

در ارتباط با انتخاب جهت تصویر، نکات ذیل مهم هستند؛ با مکنت‌های فعلی، تصویربرداری ساجیتال فقط در پروتکل‌های تک پستانی عملی می‌باشد. در پروتکل‌های دوطرفه، باید بین جهت آکسیال و کرونال تصمیم بگیریم. برش‌های آکسیال برای ارزیابی ناحیه خلفی آرثولار و قدامی پکتورال راحت‌تر است، و برای پوشش پارانشیم برش‌های کمتری ضروری است. مزیت تصویربرداری کرونال

در جبران تفکیک زمانی محدود ثانویه به تنظیمات TE بلند هم فاز در $1/0\text{T}$ است: با تصویربرداری کرونا، در جهت کدگذاری فاز پا-سر، می‌توان از یک میدان دید مستطیلی استفاده کرد تا تعداد مراحل کدگذاری فاز را در یک تفکیک فضایی معین کاهش داد.

در تمام پروتکل‌های MR پستان، سیگنال بافت چربی باید سرکوب شود تا جزئیات آسیب‌هایی که بهبود کتراست پیدا می‌کنند بهتر آشکار شود. در اصل، سرکوب چربی را می‌توان با تکنیک‌های فعال (پیش پالس‌های بینابی یا فرکانسی انتخابی) یا غیرفعال (تفریق) انجام داد. در تصویربرداری دینامیک، سرکوب چربی باید از طریق تفریق تصویر انجام گیرد. یک سرکوب انتخاب فرکانسی یا بینابی چربی آنقدر وقت‌گیر است که دستیابی سریع با الگوی دینامیک امکان‌پذیر نیست.

بعد از سری‌های دینامیک، توصیه نمی‌شود تا تصاویری از جهات تکمیلی به دست آید، چون کتراست آسیب-نسبت به-بافت به سرعت در دوره میانی و دیرهنگام بعد از تزریق کاهش می‌یابد، به طوری که آسیب مورد سؤال به سختی در این تصاویر آشکار می‌شود. به منظور مشخص کردن مکان آسیب از روی صفحات آکسیال یا کرونا، مفیدتر است که پروجکشن‌های شدت بیشینه (MIP) یا ناماهای بازسازی مالتی پلاناز (MPR) از تصاویر تفریق شده زود هنگام بعد از تزریق به دست آید. پیش از سری دینامیک، یک دنباله TSE وزن T_2 با پارامترهای $TF=16$, $TE=110$, $TR=2800$ و پارامترهای هندسی مشابه با سری دینامیک به دست می‌آوریم. تصاویر وزن T_2 برای بهتر آشکارشدن ادم ایتراستیشل بعد از رادیوتراپی یا بعد از تغییرات التهابی، برای بهتر آشکار شدن جزئیات لنف آثیوزیس یا آسیب‌های سیستیک، و همچنین کمک به طبقه‌بندی بهبود کتراست تومورهای جامد، به دست می‌آید.

اگر در گیری گره‌های لنفی ناحیه‌ای (اگزیلاری، داخل پستانی) یا دوردست (فوق ترقوه‌ای) یا متاستازهای استخوانی باید ارزیابی شود، از کویل داخلی (built-in) تنہ برای دستیابی تصاویر SE وزن T_1 پیش از سری دینامیک استفاده کنید. این باید پیش از تزریق کتراست انجام شود، چون گره‌های لنفاوی یا متاستازهای استخوان فقط در تصاویر قبل از کتراست به صورت آسیب‌های هایپوایتنس در برابر بافت چربی مغز استخوان یا زیر جلدی که هایپرایتنس است دیده می‌شود.

مستندسازی باید حداقل شامل کپی‌های سخت (چاپ روی فیلم) از تصاویر زودهنگام، میانی و دیرهنگام بعد از کتراست با سرکوب چربی (یا تفریق شده) و تصاویر تفریق نشده قبل از کتراست و بعد از کتراست باشد. به علاوه، منحنی‌های زمان-شدت (بخش بعدی را بینید) باید همراه با تصویر آسیب متناظر آن مستند شود.

۵- آنالیز سیستیک

برای آنالیز سیستیک بهبود کتراست آسیب، باید روی آسیب یک ناحیه کوچک مورد نظر (ROI) تعریف شود تا روند زمانی شدت سیگنال در طول سری دینامیک به دست آید. این ROI باید روی قسمت زنده تومور انتخاب شود، چون فقط در این قسمت روند زمانی معنی‌دار به دست می‌آید. تومور زنده باید ابتدا روی تصویر زودهنگام بعد از تزریق کتراست با جستجوی بهبود کتراست تشخیص داده شود، یعنی از طریق تعیین ناحیه‌ای با سریع‌ترین و شدیدترین بهبود، در بازترین تنظیم پنجره تصاویر پارامتری می‌تواند در تعیین نواحی تومور با سریع‌ترین بهبود کتراست کمک کند. قراردادن یک ROI بزرگ روی آسیب یا قراردادن یک ناحیه بزرگ

که تمامی آسیب را دربرگیرد مفید نیست، چون نواحی نکروتیک یا هایپرواسکولار تومور همراه با ناحیه زنده متوسط‌گیری می‌شوند. دو پارامتر سیتیک را می‌توان از منحنی شدت سیگنال (SI)- زمان ROI استخراج کرد:

۱- صعود اولیه SI در دوره زودهنگام بعد از کنتراست (قسمت بالا رونده منحنی) سرعت افزایش کنتراست آسیب را به دست می‌دهد.

۲- رفتار SI در دوره دیرهنگام و میانی بعد از کنتراست (رونده زمانی یا شکل منحنی) به طور شهودی ارزیابی می‌شود و به نوع I-III طبقه‌بندی می‌شود.

جدول ۱۵-۱ پارامترهای دنباله پالس در MRI پستان

دنباله پالس	TSE ^a	TSE ^b	SE ^c	2D or 3D dynamic GRE ^d
وزن تصویر	T2	T2	T1	
صفحة برش	آکسیال	آکسیال	کرونال	آکسیال
تعداد برش	۲۰-۳۵	۲۵-۳۵	۲۵-۳۵	۲۰-۳۵
TR(ms)	۲۵۰۰-۴۰۰۰	۲۵۰۰-۴۰۰۰	۳۰۰-۵۰۰	۱۵ (3D) و ۲۵۰ (2D)
TE (ms)	۹۰-۱۱۰	۹۰-۱۱۰	۱۰-۱۵	۴/۶
زاویه فلیپ	۹۰	۹۰	۹۰	۹۰ (2D) و ۹۰ (3D)
ETL	۱۲-۱۵	۱۲-۱۵	-	-
پهنای برش (mm)	۳-۴	۳-۴	۳-۴	۳-۴
ماتریس	۵۱۲×۵۱۲	۵۱۲×۵۱۲	۵۱۲×۵۱۲	۵۱۲×۵۱۲
FOV	۲۷۰ - ۳۲۰	۲۷۰ - ۳۲۰	۳۵۰	۲۷۰ - ۳۲۰
recFOV	۱۰۰	۱۰۰	۶۰	۱۰۰
تعداد دستیابی	۲	۲	۲	۱

a : دنباله استاندارد بدون سرکوب چربی.

b : دنباله دلخواه با سرکوب ییناب انتخابی چربی.

c: دنباله دلخواه برای پوشش دیواره قفسه سینه شامل آگزیلاری، با جهت کد گذاری فاز کرانیو- کودال.

d : دنباله استاندارد برای مطالعه پیش از تزریق کنتراست و ۸ - ۵ بار تصویر برداری متوالی بعد از کنتراست (گادولینیوم).